

กรรมวิธีที่ใช้ศึกษาผลกระทบจากปรากฏการณ์เลี้ยวเบนที่ขอบของ
ระบบสายอากาศชนิดจานสะท้อนเดี่ยวรูปพาราโบลิก

ความนำ

ประสิทธิภาพและความแม่นยำในการวิเคราะห์ปรากฏการณ์เลี้ยวเบนในย่านความถี่สูงได้รับความสนใจมาเป็นเวลาหลายปี ทำให้มีกรรมวิธีและทฤษฎีมากมายถูกคิดขึ้นเพื่อนำมาศึกษาปรากฏการณ์เลี้ยวเบนที่เกิดขึ้น เช่น ทฤษฎีการเลี้ยวเบนเชิงกายภาพ (physical theory of diffraction, PTD) ทฤษฎีการเลี้ยวเบนเชิงเรขาคณิต (geometrical theory of diffraction, GTD) และกรรมวิธีกระแสสมมูลที่ขอบ (equivalent edge currents method, EEC) เป็นต้น ซึ่งในแต่ละวิธีก็จะมีข้อดีข้อเสียแตกต่างกัน สำหรับในบทนี้ได้ประยุกต์กรรมวิธีและทฤษฎีที่ง่ายต่อการทำความเข้าใจ และทำให้เห็นถึงกลไกของการเกิดการเลี้ยวเบนมาวิเคราะห์ผลกระทบจากปรากฏการณ์เลี้ยวเบนที่ขอบของจานสะท้อนที่มีต่อขีดจำกัดเกี่ยวกับสมรรถนะของระบบสายอากาศชนิดจานสะท้อนเดี่ยวรูปพาราโบลิก เช่น แบบรูปการแผ่พลังงานย่านสนามไกล โพลาริเซชันร่วม โพลาริเซชันไขว้ และอัตราขยาย โดยแบ่งออกเป็นหัวข้อต่าง ๆ ดังนี้คือ หัวข้อแรกกล่าวถึงแนวทางในการวิเคราะห์ซึ่งบ่งบอกถึงการเลือกใช้กรรมวิธีและทฤษฎีต่าง ๆ ในขั้นตอนที่ใช้วิเคราะห์หาขีดจำกัดเกี่ยวกับสมรรถนะของระบบสายอากาศชนิดจานสะท้อนเดี่ยวรูปพาราโบลิก ในหัวข้อที่สองกล่าวถึงสายอากาศป้อนกำลังคลื่นที่นำมาใช้วิเคราะห์และการแปลงระบบพิกัดของสายอากาศป้อนกำลังคลื่น ส่วนในหัวข้อที่สามกล่าวถึงรายละเอียดของทฤษฎีที่ใช้ศึกษาพฤติกรรมการสะท้อนของคลื่นแม่เหล็กไฟฟ้าที่พื้นผิวสะท้อนเพื่อนำมาใช้หาสนามไฟฟ้าและสนามแม่เหล็กที่สะท้อนจากพื้นผิวจานสะท้อนมายังบรรณานพหน้าจาน และหัวข้อที่สี่และห้ากล่าวถึงรายละเอียดของทฤษฎีที่ใช้ศึกษาพฤติกรรมการเลี้ยวเบนของคลื่นแม่เหล็กไฟฟ้าที่ขอบของจานสะท้อนเพื่อนำมาใช้หาสนามไฟฟ้าและสนามแม่เหล็กที่เลี้ยวเบนจากขอบจานสะท้อนมายังบรรณานพหน้าจาน หัวข้อสุดท้ายกล่าวถึงรายละเอียดในการหาขีดจำกัดเกี่ยวกับสมรรถนะของระบบสายอากาศชนิดจานสะท้อนเดี่ยวรูปพาราโบลิกคือ แบบรูปการแผ่พลังงานย่านสนามไกล โพลาริเซชันร่วม โพลาริเซชันไขว้ อัตราขยาย และประสิทธิภาพต่าง ๆ จากสนามไฟฟ้าและสนามแม่เหล็กบนบรรณานพหน้าจาน

แนวทางในการวิเคราะห์

การวิเคราะห์ระบบสายอากาศชนิดจานสะท้อนคลื่นสามารถทำได้หลายวิธี (G. Franceschetti and A. Mohsen, 1986) เช่น กรรมวิธีทัศนศาสตร์เชิงกายภาพ (physical optics, PO) ซึ่งทำการอินทิเกรตกระแสบนพื้นผิวจานสะท้อน (Silver, 1949) กรรมวิธีทัศนศาสตร์เชิงเรขาคณิต (geometrical optics, GO) รวมกับการอินทิเกรตสนามบนบรรณานพหน้าจาน (aperture field integration) (Silver, 1949) หรือกรรมวิธีทัศนศาสตร์เชิงเรขาคณิตรวมกับการแปลงฟูริเยร์ของสเปกตรัมคลื่นระนาบ (plane wave spectrum method, PWS) เป็นต้น

กรรมวิธีที่กล่าวมาข้างต้นเป็นกรรมวิธีที่นำมาใช้วิเคราะห์ระบบสายอากาศชนิดจานสะท้อนคลื่นอย่างกว้างขวางในช่วงระยะแรกของการวิเคราะห์ระบบสายอากาศชนิดจานสะท้อนซึ่งไม่สามารถอธิบายผลกระทบเนื่องจากปรากฏการณ์เลี้ยวเบนที่

ขอบของงานสะท้อนได้ สำหรับกรรมวิธีที่นำมาใช้ในการศึกษาปรากฏการณ์เลี้ยวเบนนั้นได้พัฒนาขึ้นจากกรรมวิธีต่าง ๆ ข้างต้น ในปัจจุบันนี้มีกรรมวิธีและทฤษฎีที่ใช้ศึกษาปรากฏการณ์เลี้ยวเบนอย่างกว้างขวางแบ่งออกได้ 3 วิธีคือ

1. ทฤษฎีการเลี้ยวเบนเชิงเรขาคณิต (J. B. Keller, 1962) เป็นทฤษฎีที่ขยายแนวความคิดของกรรมวิธีทัศนศาสตร์เชิงเรขาคณิต โดย Keller เสนอว่ามีสนามการเลี้ยวเบนเกิดขึ้นเมื่อมีสนามตกกระทบที่บริเวณที่เป็นขอบ หรือจุดยอด

2. ทฤษฎีการเลี้ยวเบนเชิงกายภาพ (P. Y. Ufimtsev, 1962, quoted in E. F. Knott and B. A. Thomas, 1974) เป็นทฤษฎีที่ขยายแนวความคิดของกรรมวิธีทัศนศาสตร์เชิงกายภาพ โดย Ufimtsev เสนอว่ามีกระแสไม่ต่อเนื่องเกิดขึ้นที่บริเวณขอบ หรือจุดยอด

3. กรรมวิธีกระแสสมมูลที่ขอบ เป็นกรรมวิธีที่อธิบายปรากฏการณ์เลี้ยวเบนโดยสมมุติว่า มีแหล่งกระแสสมมูลที่ขอบที่สามารถให้กำเนิดสนามเลี้ยวเบนที่สอดคล้องกับทฤษฎีการเลี้ยวเบนเชิงเรขาคณิต ซึ่งโดยปกติแล้วมักนำมาใช้ในการแก้จุดบกพร่องของทฤษฎีการเลี้ยวเบนเชิงเรขาคณิตที่ไม่สามารถหาสนามที่บริเวณการตัดกันของรังสีได้

เมื่อพิจารณากรรมวิธีและทฤษฎีที่นำมาใช้วิเคราะห์ระบบสายอากาศชนิดงานสะท้อนคลื่นข้างต้นสามารถสรุปข้อดีและข้อเสียเป็นดังตาราง 3.1 ดังนี้

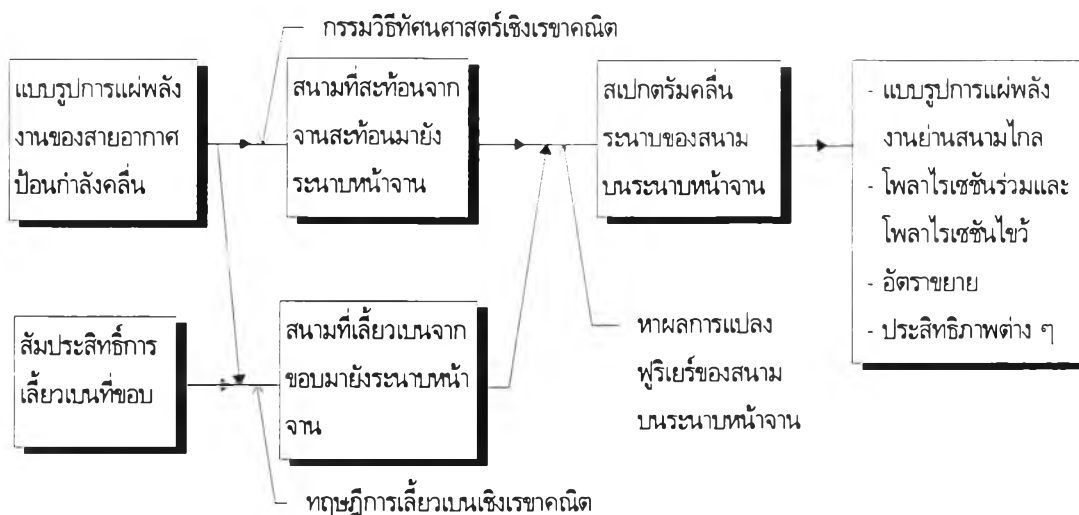
ตาราง 3.1 ข้อดีและข้อเสียของกรรมวิธีและทฤษฎีที่ใช้วิเคราะห์ระบบสายอากาศชนิดงานสะท้อนคลื่น

กรรมวิธีหรือทฤษฎี	ข้อดี	ข้อเสีย
กรรมวิธีทัศนศาสตร์เรขาคณิต	<ol style="list-style-type: none"> 1. เป็นวิธีการที่ง่ายต่อการทำความเข้าใจ 2. สามารถเห็นกลไกในการเกิดพฤติกรรมการสะท้อนของคลื่นได้ชัดเจน 3. ใช้เวลาในการคำนวณหาสนามที่จุดสังเกตใด ๆ ไม่มากนักขึ้นอยู่กับเวลาที่ใช้ในการหาจุดที่เกิดการสะท้อน 4. ใช้เวลาไม่มากในการคำนวณหาสนามเมื่อระบบสายอากาศอากาศมีงานสะท้อนหลายตัวและมีสายอากาศป้อนกำลังคลื่นเพียงตัวเดียว 	<ol style="list-style-type: none"> 1. ต้องคำนวณหาจุดที่เกิดการสะท้อนตามกฎการสะท้อนโดยใช้กรรมวิธีเชิงเลข 2. อาจเกิดจุดที่เกิดการตัดกันของรังสีสะท้อนซึ่งทำให้ไม่สามารถหาค่าสนามที่จุดนั้นได้ 3. ต้องใช้เวลาคำนวณหาจุดที่เกิดการสะท้อนมากเมื่อระบบสายอากาศมีสายอากาศป้อนกำลังคลื่นหลายตัว
กรรมวิธีทัศนศาสตร์เชิงกายภาพ	<ol style="list-style-type: none"> 1. เป็นวิธีการที่ง่ายต่อการทำความเข้าใจ 2. ไม่มีจุดสังเกตที่ไม่สามารถหาค่าได้ 	<ol style="list-style-type: none"> 1. ต้องอินทิเกรตกระแสซึ่งเป็นปริมาณแบบเวกเตอร์ทั่วทั้งโดเมนของพื้นผิวงานสะท้อนทำให้เสียเวลาอย่างมากในการคำนวณหาสนามที่จุดสังเกตใด ๆ 2. ต้องใช้เวลาอย่างมากเมื่อนำไปใช้วิเคราะห์ระบบสายอากาศที่มีงานสะท้อนหลายตัว
กรรมวิธีอินทิเกรตสนามบนระนาบหน้างาน	<ol style="list-style-type: none"> 1. เป็นวิธีการที่ง่ายต่อการทำความเข้าใจ 	<ol style="list-style-type: none"> 1. ต้องทำการอินทิเกรตสนามบนระนาบหน้างานซึ่งเป็นปริมาณแบบเวกเตอร์ทั่วทั้งโดเมนบนระนาบหน้างาน

ตาราง 3.1 (ต่อ) ข้อดีและข้อเสียของกรรมวิธีและทฤษฎีที่ใช้วิเคราะห์ระบบสายอากาศชนิดจานสะท้อนคลื่น

กรรมวิธีหรือทฤษฎี	ข้อดี	ข้อเสีย
กรรมวิธีการแปลงฟูรีเยร์ สเปกตรัมคลื่นระนาบ	1. เป็นวิธีการที่ง่ายต่อการทำความเข้าใจ 2. ทำให้เห็นกลไกของการแผ่พลังงานคลื่น เนื่องจากมองคลื่นที่แผ่กระจายออกไปใน ลักษณะของสเปกตรัมคลื่นระนาบ	1. ต้องทำการอินทิเกรตทั่วทั้งโดเมนบน ระนาบจากสนามในแนวขนานกับระนาบ เพื่อหาสเปกตรัมคลื่นระนาบที่เกิดขึ้น
ทฤษฎีการเลี้ยวเบนเชิง เรขาคณิต	1. เป็นวิธีที่ง่ายต่อการทำความเข้าใจ 2. สามารถเห็นกลไกการเกิดพฤติกรรมการ เลี้ยวเบนของคลื่นได้อย่างชัดเจน 3. สามารถคิดผลจากการเลี้ยวเบนหลาย ๆ ครั้งได้ (multiple diffraction) 4. ใช้เวลาไม่มากในการคำนวณหาสนาม เมื่อระบบสายอากาศอากาศมีจานสะท้อน หลายตัวและมีสายอากาศป้อนกำลังคลื่น เพียงตัวเดียว	1. ต้องคำนวณหาจุดที่เกิดการเลี้ยวเบนตาม กฎการเลี้ยวเบน 2. อาจเกิดจุดตัดกันของรังสีเลี้ยวเบนทำให้ไม่ สามารถคำนวณหาสนามที่จุดนั้นได้ แต่ สามารถแก้ไขได้โดยใช้กรรมวิธีกระแส สมมูลที่ชอบ 3. ต้องใช้เวลาในการคำนวณหาจุดที่เกิดเลี้ยว เบนมากเมื่อระบบสายอากาศมีสายอากาศ ป้อนกำลังคลื่นหลายตัว
ทฤษฎีการเลี้ยวเบนเชิงกาย ภาพ	1. ไม่เกิดปัญหาในการเกิดจุดที่หาค่าสนามไม่ ได้	1. ยากต่อการทำความเข้าใจ 2. ไม่สามารถคิดผลจากการเลี้ยวเบนหลาย ๆ ครั้งได้

จากข้อดีและข้อเสียที่กล่าวมา ในวิทยานิพนธ์นี้จึงได้ประยุกต์กรรมวิธีและทฤษฎีข้างต้นในการวิเคราะห์หาขีดจำกัดเกี่ยวกับสมรรถนะของระบบสายอากาศชนิดจานสะท้อนเดี่ยวรูปพาราโบลา เช่น แบบรูปการแผ่พลังงานย่านสนามไกล โพลาริเซชันร่วมและโพลาริเซชันไขว้ อัตราขยาย และประสิทธิภาพต่าง ๆ ดังแสดงได้ดังรูป 3.1



รูป 3.1 ขั้นตอนการวิเคราะห์หาขีดจำกัดเกี่ยวกับสมรรถนะของระบบสายอากาศชนิดจานสะท้อนเดี่ยวรูปพาราโบลา

การประยุกต์กรรมวิธีและทฤษฎีตามขั้นตอนในรูป 3.1 เป็นการเลือกใช้กรรมวิธีและทฤษฎีที่ง่ายในการทำความเข้าใจ และสามารถทำให้เห็นกลไกของการเกิดการเลี้ยวเบนและการแผ่พลังงานของระบบสายอากาศชนิดจานสะท้อนเดี่ยวรูปพาราโบลิกได้อย่างชัดเจน นอกจากนี้ขั้นตอนดังกล่าวยังสามารถดัดแปลงเพื่อนำไปใช้วิเคราะห์ระบบสายอากาศชนิดจานสะท้อนหลายตัวที่มีสายอากาศป้อนกำลังคลื่นตัวเดียวได้โดยทำให้ไม่เสียเวลาในการคำนวณมากนัก หรือนำมาใช้วิเคราะห์หาสนามในย่านเฟรส์เนลเพื่อดูผลกระทบจากปรากฏการณ์เลี้ยวเบนที่ขอบที่มีต่อการสังเคราะห์คลื่นระนาบของการวัดสายอากาศในย่านทดสอบแบบกระชับได้อีกด้วย ซึ่งรายละเอียดของกรรมวิธี ทฤษฎี และการวิเคราะห์ในแต่ละขั้นตอนในรูป 3.1 ได้กล่าวไว้ในหัวข้อต่อไป

สายอากาศป้อนกำลังคลื่น

สายอากาศป้อนกำลังคลื่นเป็นองค์ประกอบที่สำคัญของระบบสายอากาศชนิดจานสะท้อนเดี่ยวรูปพาราโบลิก เนื่องจากเป็นแหล่งกำเนิดชั้นปฐมภูมิที่กำเนิดคลื่นแม่เหล็กไฟฟ้ามาตกกระทบพื้นผิวจานสะท้อนแล้วแผ่พลังงานออกไปทำให้ได้แบบรูปการแผ่พลังงานที่ต้องการ ดังนั้นในการวิเคราะห์ระบบสายอากาศชนิดจานสะท้อนเดี่ยวรูปพาราโบลิก ต้องพิจารณาสนามที่แผ่พลังงานออกมาจากสายอากาศป้อนกำลังคลื่นเป็นอันดับแรก

สายอากาศที่นำมาใช้เป็นสายอากาศป้อนกำลังคลื่นในระบบสายอากาศชนิดจานสะท้อนเดี่ยวรูปพาราโบลิกมีอยู่หลายชนิดขึ้นอยู่กับนำไปประยุกต์ใช้งาน (A.D. Olver, P.J.B. Clamcoats, A.A. Kishk และ L. Shafar, 1994) ซึ่งอาจจะเป็นสายอากาศที่มีโพลาไรเซชันแบบเชิงเส้น (linear polarization) หรือแบบวงกลม (circular polarization) ก็ได้ วิทยานิพนธ์นี้ได้เลือกใช้สายอากาศที่มีโพลาไรเซชันแบบเชิงเส้นมาเป็นสายอากาศป้อนกำลังคลื่นในการศึกษาผลกระทบเนื่องจากการเลี้ยวเบนที่มีต่อขีดจำกัดเกี่ยวกับสมรรถนะของระบบสายอากาศ และโดยปกติในระบบสายอากาศชนิดจานสะท้อนเดี่ยวรูปพาราโบลิก จานสะท้อนถูกวางอยู่ในบริเวณย่านสนามไกลของสายอากาศป้อนกำลังคลื่น ดังนั้นสนามที่แผ่พลังงานจากสายอากาศที่นำมาใช้เป็นสายอากาศป้อนกำลังคลื่นสามารถพิจารณาได้จากแบบรูปการแผ่พลังงานย่านสนามไกลของสายอากาศนั้น

ในบริเวณย่านสนามไกลของสายอากาศใด ๆ คลื่นแม่เหล็กไฟฟ้าที่แผ่พลังงานมาจากสายอากาศเป็นคลื่นแม่เหล็กไฟฟ้าตามขวาง (transverse electromagnetic wave, TEM) ซึ่งไม่มีองค์ประกอบของสนามไฟฟ้าและสนามแม่เหล็กในแนวที่คลื่นเคลื่อนที่ไป ดังนั้นสำหรับในระบบพิกัดทรงกลม $r^*\theta^*\phi^*$ แบบรูปการแผ่พลังงานย่านสนามไกลของสายอากาศสามารถเขียนอยู่ในรูปแบบทั่วไปเป็น

$$\vec{E}^{feed}(r^*, \theta^*, \phi^*) = \left[E_{\theta^*}(\theta^*, \phi^*) \vec{a}_{\theta^*} + E_{\phi^*}(\theta^*, \phi^*) \vec{a}_{\phi^*} \right] \frac{e^{-jk_0 r^*}}{r^*} \quad (3.1)$$

เมื่อพิจารณาองค์ประกอบในระบบพิกัดคาร์ทีเซียน $x^*y^*z^*$ จะได้

$$\begin{aligned} E_x(\theta^*, \phi^*) &= E_{\theta^*}(\theta^*, \phi^*) \cos\theta^* \cos\phi^* - E_{\phi^*}(\theta^*, \phi^*) \sin\phi^* \\ E_y(\theta^*, \phi^*) &= E_{\theta^*}(\theta^*, \phi^*) \cos\theta^* \sin\phi^* + E_{\phi^*}(\theta^*, \phi^*) \cos\phi^* \\ E_z(\theta^*, \phi^*) &= -E_{\theta^*}(\theta^*, \phi^*) \sin\theta^* \end{aligned} \quad (3.2)$$

สำหรับสายอากาศที่มีโพลาริเซชันแบบเชิงเส้น แบบรูปการแผ่พลังงานย่านสนามไกลสามารถพิจารณาได้จากองค์ประกอบของสนามที่เกิดขึ้นในทิศทางตามแนวเล็งหลัก (boresight direction) เช่น สายอากาศที่มีโพลาริเซชันแบบเชิงเส้นในแนว y^* นั้น องค์ประกอบของสนามไฟฟ้าในแนวตั้งฉากกับ y^* (x^* กับ z^*) เป็นศูนย์ในทิศทางตามแนวเล็งหลัก ($\theta^* = 0, \phi^*$ ใด ๆ กับ $\theta^* = \frac{\pi}{2}, \phi^* = 0, \pi$) ดังนั้นเมื่อพิจารณาในทิศทาง $\theta^* = 0, \phi^*$ ใด ๆ

$$\begin{aligned} E_{x^*}(0, \phi^*) &= E_{\theta^*}(0, \phi^*) \cos \phi^* - E_{\phi^*}(0, \phi^*) \sin \phi^* = 0 \\ E_{z^*}(0, \phi^*) &= -E_{\theta^*}(0, \phi^*) \sin 0 = 0 \end{aligned} \quad (3.3n)$$

และในทิศทาง $\theta^* = \frac{\pi}{2}, \phi^* = 0, \pi$

$$\begin{aligned} E_{x^*}\left(\frac{\pi}{2}, 0\right) &= E_{\theta^*}\left(\frac{\pi}{2}, 0\right) \cos \frac{\pi}{2} \cos 0 - E_{\phi^*}\left(\frac{\pi}{2}, 0\right) \sin 0 = 0 \\ E_{z^*}\left(\frac{\pi}{2}, 0\right) &= -E_{\theta^*}\left(\frac{\pi}{2}, 0\right) \sin \frac{\pi}{2} = 0 \\ E_{x^*}\left(\frac{\pi}{2}, \pi\right) &= E_{\theta^*}\left(\frac{\pi}{2}, \pi\right) \cos \frac{\pi}{2} \cos \pi - E_{\phi^*}\left(\frac{\pi}{2}, \pi\right) \sin \pi = 0 \\ E_{z^*}\left(\frac{\pi}{2}, \pi\right) &= -E_{\theta^*}\left(\frac{\pi}{2}, \pi\right) \sin \frac{\pi}{2} = 0 \end{aligned} \quad (3.3ข)$$

เนื่องจาก θ^* กับ ϕ^* เป็นอิสระต่อกัน ดังนั้น $E_{\theta^*}(\theta^*, \phi^*) = E_{\theta^*}(\theta^*)E_{\phi^*}(\phi^*)$ และ $E_{\phi^*}(\theta^*, \phi^*) = E_{\phi^*}(\theta^*)E_{\phi^*}(\phi^*)$ ทำให้สมการ (3.3n) เขียนใหม่ได้เป็น

$$E_{\theta^*}(0)E_{\phi^*}(\phi^*) \cos \phi^* = E_{\phi^*}(0)E_{\phi^*}(\phi^*) \sin \phi^*$$

ซึ่งเป็นจริงทุก ϕ^* เมื่อ

$$E_{\theta^*}(0) = E_{\phi^*}(0) \quad (3.4n)$$

$$E_{\theta^*}(\phi^*) \cos \phi^* = E_{\phi^*}(\phi^*) \sin \phi^* \quad (3.4ข)$$

และสมการ (3.3ข) เขียนใหม่ได้เป็น

$$\begin{aligned} -E_{\theta^*}\left(\frac{\pi}{2}\right)E_{\theta^*}(0) &= 0 \\ -E_{\theta^*}\left(\frac{\pi}{2}\right)E_{\theta^*}(\pi) &= 0 \end{aligned} \quad (3.4ค)$$

จากสมการ (3.4ก-ค) ทำให้ได้ $E_{\theta^*}(0) = E_{\phi^*}(0)$, $E_{\theta^*}(\phi^*) = \sin \phi^*$ และ $E_{\phi^*}(\phi^*) = \cos \phi^*$ ซึ่งเมื่อแทนลงในสมการ (3.1) จะได้

$$\vec{E}^{feed}(r^*, \theta^*, \phi^*) = \left[E_{\theta^*}(\theta^*) \sin \phi^* \vec{a}_{\theta^*} + E_{\phi^*}(\theta^*) \cos \phi^* \vec{a}_{\phi^*} \right] \frac{e^{-jk_0 r^*}}{r^*} \quad (3.5)$$

โดยที่ $E_{\theta^*}(\theta^*)$ เป็นสนามไฟฟ้าที่เกิดจากการวัดรอบแกนของสายอากาศในระนาบ $\phi^* = \pi/2$ หรือที่เรียกว่าระนาบสนามไฟฟ้าเนื่องจากมีเพียงสนามไฟฟ้าวางตัวอยู่ในระนาบนั้น และ $E_{\phi^*}(\theta^*)$ เป็นสนามไฟฟ้าที่เกิดจากการวัดรอบแกนของสายอากาศในระนาบ $\phi^* = 0$ หรือที่เรียกว่าระนาบสนามแม่เหล็กเนื่องจากมีเพียงสนามแม่เหล็กวางตัวอยู่ในระนาบนั้น

สมการ (3.5) แสดงถึงแบบรูปการแผ่พลังงานย่านสนามไกลของสายอากาศที่มีโพลาริเซชันแบบเชิงเส้นในแนว y^* ซึ่งถ้า $E_{\theta^*}(\theta^*) = E_{\phi^*}(\theta^*)$ สำหรับทุก ๆ θ^* เราเรียกสายอากาศที่มีคุณสมบัติเช่นนี้ว่า สายอากาศที่มีโพลาริเซชันแบบเชิงเส้นในแนว y^* แบบสมมาตร แต่ถ้า $E_{\theta^*}(0) \neq E_{\phi^*}(0)$ สายอากาศจะมีโพลาริเซชันในแนว x^* ซึ่งเป็นโพลาริเซชันไขว้ (cross polarization) เกิดขึ้นในทิศทาง $\theta^* = 0$ สายอากาศที่มีคุณสมบัติเช่นนี้เป็นเพียงสายอากาศที่มีโพลาริเซชันแบบเชิงเส้น และถ้า $E_{\theta^*}(0) = E_{\phi^*}(0)$ แต่ $E_{\theta^*}(\theta^*) \neq E_{\phi^*}(\theta^*)$ ที่ $\theta^* \neq 0$ เราเรียกสายอากาศที่มีคุณสมบัติแบบนี้ว่า สายอากาศที่มีโพลาริเซชันแบบเชิงเส้นในแนว y^* แบบไม่สมมาตร

ในทำนองเดียวกัน สายอากาศที่มีโพลาริเซชันแบบเชิงเส้นในแนว x^* องค์ประกอบของสนามไฟฟ้าในแนวตั้งฉากกับ x^* (y^* กับ z^*) เป็นศูนย์ในทิศทางตามแนวเล็งหลัก ($\theta^* = 0$, ϕ^* ใด ๆ กับ $\theta^* = \frac{\pi}{2}$, $\phi^* = \frac{\pi}{2}, \frac{3\pi}{2}$) ซึ่งเมื่อพิจารณาในทิศทาง $\theta^* = 0$, ϕ^* ใด ๆ

$$\begin{aligned} E_{y^*}(0, \phi^*) &= E_{\theta^*}(0, \phi^*) \sin \phi^* + E_{\phi^*}(0, \phi^*) \cos \phi^* = 0 \\ E_{z^*}(0, \phi^*) &= -E_{\theta^*}(0, \phi^*) \sin 0 = 0 \end{aligned} \quad (3.6ก)$$

และในทิศทาง $\theta^* = \frac{\pi}{2}$, $\phi^* = \frac{\pi}{2}, \frac{3\pi}{2}$

$$\begin{aligned} E_{y^*}\left(\frac{\pi}{2}, \frac{\pi}{2}\right) &= E_{\theta^*}\left(\frac{\pi}{2}, \frac{\pi}{2}\right) \cos \frac{\pi}{2} \sin \frac{\pi}{2} + E_{\phi^*}\left(\frac{\pi}{2}, \frac{\pi}{2}\right) \cos \frac{\pi}{2} = 0 \\ E_{z^*}\left(\frac{\pi}{2}, \frac{\pi}{2}\right) &= -E_{\theta^*}\left(\frac{\pi}{2}, \frac{\pi}{2}\right) \sin \frac{\pi}{2} = 0 \\ E_{y^*}\left(\frac{\pi}{2}, \frac{3\pi}{2}\right) &= E_{\theta^*}\left(\frac{\pi}{2}, \frac{3\pi}{2}\right) \cos \frac{\pi}{2} \sin \frac{3\pi}{2} + E_{\phi^*}\left(\frac{\pi}{2}, \frac{3\pi}{2}\right) \cos \frac{3\pi}{2} = 0 \\ E_{z^*}\left(\frac{\pi}{2}, \frac{3\pi}{2}\right) &= -E_{\theta^*}\left(\frac{\pi}{2}, \frac{3\pi}{2}\right) \sin \frac{\pi}{2} = 0 \end{aligned} \quad (3.6ข)$$

เนื่องจาก θ^* กับ ϕ^* เป็นอิสระต่อกัน ดังนั้น $E_{\theta^*}(\theta^*, \phi^*) = E_{\theta^*}(\theta^*)E_{\phi^*}(\phi^*)$ และ $E_{\phi^*}(\theta^*, \phi^*) = E_{\theta^*}(\theta^*)E_{\phi^*}(\phi^*)$ ทำให้สมการ (3.6ก) เขียนใหม่ได้เป็น

$$E_{\theta^*}(0)E_{\phi^*}(\phi^*) \sin \phi^* = -E_{\phi^*}(0)E_{\theta^*}(\phi^*) \cos \phi^*$$

ซึ่งเป็นจริงทุก ϕ^* เมื่อ

$$E_{\theta^*}(0) = E_{\phi^*}(0) \quad (3.7n)$$

$$E_{\theta^*}(\phi^*) \sin \phi^* = -E_{\phi^*}(\phi^*) \cos \phi^* \quad (3.7ข)$$

และสมการ (3.6ข) เขียนใหม่ได้เป็น

$$\begin{aligned} -E_{\theta^*}\left(\frac{\pi}{2}\right)E_{\phi^*}\left(\frac{\pi}{2}\right) &= 0 \\ -E_{\theta^*}\left(\frac{\pi}{2}\right)E_{\phi^*}\left(\frac{3\pi}{2}\right) &= 0 \end{aligned} \quad (3.7ค)$$

จากสมการ (3.7n-ค) ทำให้ได้ $E_{\theta^*}(0) = E_{\phi^*}(0)$, $E_{\theta^*}(\phi^*) = \cos \phi^*$ และ $E_{\phi^*}(\phi^*) = -\sin \phi^*$ ซึ่งเมื่อแทนลงในสมการ (3.1) จะได้

$$\vec{E}^{feed}(r^*, \theta^*, \phi^*) = \left[E_{\theta^*}(\theta^*) \cos \phi^* \bar{a}_{\theta^*} - E_{\phi^*}(\theta^*) \sin \phi^* \bar{a}_{\phi^*} \right] \frac{e^{-jk_0 r^*}}{r^*} \quad (3.8)$$

โดยที่ $E_{\theta^*}(\theta^*)$ เป็นสนามไฟฟ้าที่เกิดจากการวัดรอบแกนของสายอากาศในระนาบ $\phi^* = 0$ หรือที่เรียกว่าระนาบสนามไฟฟ้า เนื่องจากมีเพียงสนามไฟฟ้าวางตัวอยู่ในระนาบนั้นและ $E_{\phi^*}(\theta^*)$ เป็นสนามไฟฟ้าที่เกิดจากการวัดรอบแกนของสายอากาศในระนาบ $\phi^* = \pi/2$ หรือที่เรียกว่าระนาบสนามแม่เหล็กเนื่องจากมีเพียงสนามแม่เหล็กวางตัวอยู่ในระนาบนั้น

สมการ (3.8) แสดงถึงแบบรูปการแผ่พลังงานย่านสนามไกลของสายอากาศที่มีโพลาไรเซชันแบบเชิงเส้นในแนว x^* ซึ่งถ้า $E_{\theta^*}(\theta^*) = E_{\phi^*}(\theta^*)$ สำหรับทุก ๆ θ^* เราเรียกสายอากาศที่มีคุณสมบัติเช่นนี้ว่า สายอากาศที่มีโพลาไรเซชันแบบเชิงเส้นในแนว x^* แบบสมมาตร แต่ถ้า $E_{\theta^*}(0) \neq E_{\phi^*}(0)$ สายอากาศจะมีโพลาไรเซชันในแนว y^* ซึ่งเป็นโพลาไรเซชันไขว้ (cross polarization) เกิดขึ้นในทิศทาง $\theta^* = 0$ สายอากาศที่มีคุณสมบัติเช่นนี้เป็นเพียงสายอากาศที่มีโพลาไรเซชันแบบเชิงเส้น และถ้า $E_{\theta^*}(0) = E_{\phi^*}(0)$ แต่ $E_{\theta^*}(\theta^*) \neq E_{\phi^*}(\theta^*)$ ที่ $\theta^* \neq 0$ เราเรียกสายอากาศที่มีคุณสมบัติแบบนี้ว่า สายอากาศที่มีโพลาไรเซชันแบบเชิงเส้นในแนว x^* แบบไม่สมมาตร

จากการวิเคราะห์ข้างต้น แบบรูปการแผ่พลังงานย่านสนามไกลของสายอากาศที่มีโพลาไรเซชันแบบเชิงเส้นสามารถเขียนอยู่ในรูปทั่วไปได้ดังสมการ (3.9)

$$\vec{E}^{feed}(r^*, \theta^*, \phi^*) = \left[f_E(\theta^*) \sin(\phi^* - \phi_{pol}) \bar{a}_{\theta^*} + f_H(\theta^*) \cos(\phi^* - \phi_{pol}) \bar{a}_{\phi^*} \right] \frac{e^{-jk_0 r^*}}{r^*} \quad (3.9)$$

โดยที่ ϕ_{pol} คือ ค่าปัจจัยที่ใช้กำหนดโพลาไรเซชัน ซึ่ง $\phi_{pol} = 0$ โพลาไรเซชันของสายอากาศอยู่ในแนวแกน y^* และ $\phi_{pol} = -\pi/2$ โพลาไรเซชันของสายอากาศอยู่ในแนวแกน x^* และ $f_E(\theta^*)$ คือ สนามไฟฟ้าที่เกิดจากการวัดรอบแกนของสายอากาศในระนาบ $\phi^* - \phi_{pol} = \pi/2$ และ $f_H(\theta^*)$ คือ สนามไฟฟ้าที่เกิดจากการวัดรอบแกนของสายอากาศในระนาบ

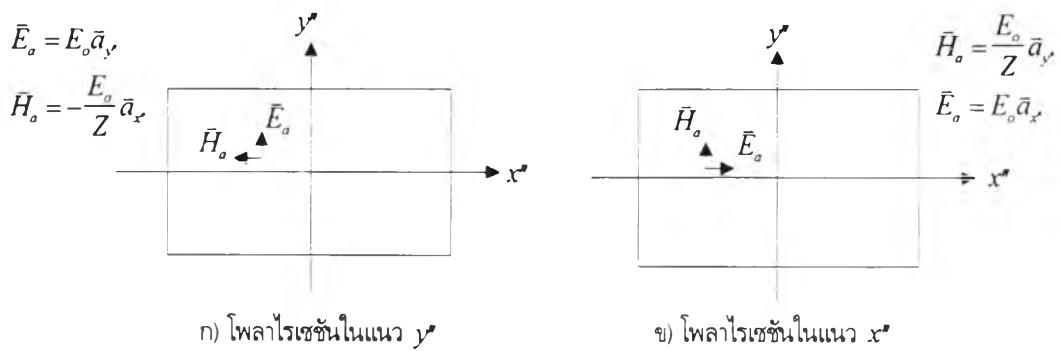
$\phi' - \phi_{pol} = 0$ ซึ่งเป็นค่าปัจจัยที่ใช้กำหนดชนิดของสายอากาศ สำหรับในวิทยานิพนธ์นี้ได้เลือกสายอากาศที่มีโพลาริเซชันแบบเชิงเส้นและมี $f_E(\theta'')$ กับ $f_H(\theta'')$ ดังต่อไปนี้มาเป็นสายอากาศป้อนกำลังคลื่น

1. เมื่อ $f_E(\theta'') = \cos^q \theta''$ และ $f_H(\theta'') = \cos^q \theta''$ ซึ่งในที่นี้เรียกว่า สายอากาศชนิดโคไซน์กำลังต่าง ๆ (raised cosine)

2. เมื่อ $f_E(\theta'') = \cos \theta''$ และ $f_H(\theta'') = 1$ เป็นกรณีเฉพาะของสายอากาศชนิดโคไซน์กำลังต่าง ๆ ($q_E = 1$ และ $q_H = 0$) ซึ่งมีแบบรูปการแผ่พลังงานย่านสนามไกลเหมือนกับสายอากาศชนิดไดโพลขนาดสั้นมาก (infinitesimal dipole) ดังนั้นจึงเรียกว่า สายอากาศชนิดไดโพลขนาดสั้นมาก (R. E. Collin, 1985)

3. เมื่อ $f_E(\theta'') = 1$ และ $f_H(\theta'') = 1$ เป็นกรณีเฉพาะของสายอากาศชนิดโคไซน์กำลังต่าง ๆ ($q_E = 0$ และ $q_H = 0$) โดยในที่นี้เรียกว่า สายอากาศชนิดโคไซน์กำลังศูนย์หรือสายอากาศชนิดเอกรูป (uniform)

4. เมื่อ $f_E(\theta'') = 1 + \cos \theta''$ และ $f_H(\theta'') = 1 + \cos \theta''$ เรียกว่า สายอากาศชนิดฮอยเกนหรือแหล่งกำเนิดแบบฮอยเกน (Huygen source) ซึ่งเกิดจากมีสนามไฟฟ้าและสนามแม่เหล็กวางตัวขนานกับช่องเปิดขนาดเล็กดังรูป 3.2 (R. E. Collin, 1985)

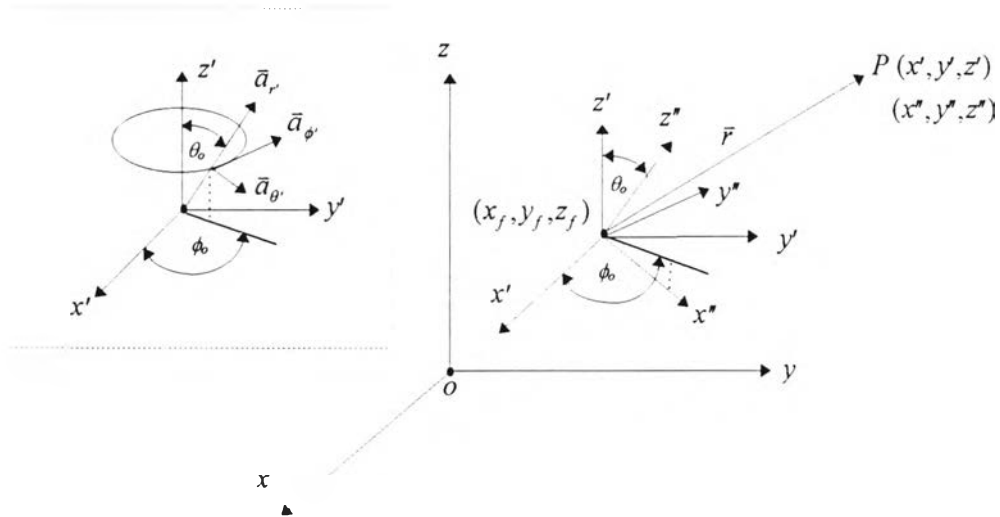


รูป 3.2 สายอากาศชนิดฮอยเกนหรือแหล่งกำเนิดแบบฮอยเกน

โดยปกติแล้วสายอากาศป้อนกำลังคลื่นสามารถวางตัวที่ตำแหน่งและในทิศทางใด ๆ ก็ได้ ดังนั้นในการวิเคราะห์ระบบสายอากาศชนิดจานสะท้อนเดี่ยวรูปพาราโบลิกจึงประกอบด้วยระบบพิกัดหลัก ๆ ที่ใช้ในการวิเคราะห์คือ ระบบพิกัดของสายอากาศป้อนกำลังคลื่น ระบบพิกัดของจานสะท้อน และระบบพิกัดของการแผ่พลังงาน ในวิทยานิพนธ์นี้ระบบพิกัดของการแผ่พลังงานและระบบพิกัดของจานสะท้อนเป็นระบบพิกัดเดียวกัน ส่วนระบบพิกัดของสายอากาศป้อนกำลังคลื่นไม่สามารถใช้ระบบพิกัดเดียวกันได้ ดังนั้นในการวิเคราะห์หาสนามจากสายอากาศป้อนกำลังคลื่นจึงต้องหาความสัมพันธ์ระหว่างระบบพิกัดที่ใช้ทั้งสอง ซึ่งสามารถทำได้โดยแปลงระบบพิกัดของสายอากาศป้อนกำลังคลื่นให้อยู่ในระบบพิกัดของจานสะท้อน ในที่นี้กำหนดให้ระบบพิกัดคาร์ทีเซียน xyz เป็นระบบพิกัดของจานสะท้อนและระบบพิกัดคาร์ทีเซียน $x'y'z'$ เป็นระบบพิกัดของสายอากาศป้อนกำลังคลื่นดังรูป 3.3

จากรูป 3.3 ระบบพิกัดคาร์ทีเซียน $x'y'z'$ เกิดจากการแปลงระบบพิกัด xyz โดยการย้ายจุดกำเนิดของระบบพิกัด xyz ไปอยู่ที่ (x_f, y_f, z_f) ทำให้เกิดระบบพิกัด $x'y'z'$ ซึ่งมีความสัมพันธ์กับระบบพิกัด xyz เป็นดังสมการ (3.10)

$$\begin{bmatrix} x' \\ y' \\ z' \end{bmatrix} = \begin{bmatrix} x - x_f \\ y - y_f \\ z - z_f \end{bmatrix} \tag{3.10}$$



รูป 3.3 ความสัมพันธ์ระหว่างระบบพิกัดของจานสะท้อน $x'y'z'$ กับระบบพิกัดของสายอากาศป้อนกำลังคลื่น $x''y''z''$

และระบบพิกัด $x''y''z''$ เกิดจากหมุนแกน z' รอบแกน y' เป็นมุม θ_0 ในทิศทางทวนเข็มนาฬิกา และหมุนแกน x' รอบแกน z' เป็นมุม ϕ_0 ในทิศทางตามเข็มนาฬิกา ซึ่งความสัมพันธ์ระหว่างระบบพิกัด $x''y''z''$ กับระบบพิกัด $x'y'z'$ สามารถพิจารณาจากเวกเตอร์บอกตำแหน่ง \vec{r} ที่จุด P ใด ๆ ของระบบพิกัดทั้งสองดังนี้

จากรูป 3.3 เวกเตอร์บอกตำแหน่ง \vec{r} ที่จุด P ใด ๆ ของระบบพิกัดทั้งสองเป็นดังสมการ (3.11)

$$\vec{r} = x'\vec{a}_{x'} + y'\vec{a}_{y'} + z'\vec{a}_{z'} = x''\vec{a}_{x''} + y''\vec{a}_{y''} + z''\vec{a}_{z''} \quad (3.11)$$

และเนื่องจากเวกเตอร์หนึ่งหน่วยที่ตั้งฉากกัน $\vec{a}_{x'}, \vec{a}_{y'}, \vec{a}_{z'}$ ของระบบพิกัด $x'y'z'$ มีความสัมพันธ์กับเวกเตอร์หนึ่งหน่วยที่ตั้งฉากกัน $\vec{a}_r, \vec{a}_\theta, \vec{a}_\phi$ ของระบบพิกัดทรงกลม $r'\theta'\phi'$ ของระบบพิกัดจานสะท้อนในทิศทาง (θ_0, ϕ_0) คือ

$$\vec{a}_{x'} = \vec{a}_\theta, \quad \vec{a}_{y'} = \vec{a}_\phi, \quad \vec{a}_{z'} = \vec{a}_r \quad (3.12)$$

จากสมการ (3.11) (3.12) และความสัมพันธ์ระหว่างระบบพิกัดทรงกลม $r'\theta'\phi'$ กับระบบพิกัดคาร์ทีเซียน $x'y'z'$ ในภาคผนวก ก. จะได้ระบบพิกัด $x''y''z''$ มีความสัมพันธ์กับระบบพิกัด $x'y'z'$ เป็น

$$\begin{aligned} x'' &= \vec{r} \cdot \vec{a}_{x''} = x'(\vec{a}_{x'} \cdot \vec{a}_{x''}) + y'(\vec{a}_{y'} \cdot \vec{a}_{x''}) + z'(\vec{a}_{z'} \cdot \vec{a}_{x''}) \\ &= x'(\vec{a}_{x'} \cdot \vec{a}_\theta) + y'(\vec{a}_{y'} \cdot \vec{a}_\theta) + z'(\vec{a}_{z'} \cdot \vec{a}_\theta) \\ &= x' \cos \theta_0 \cos \phi_0 + y' \cos \theta_0 \sin \phi_0 - z' \sin \theta_0 \end{aligned} \quad (3.13ก)$$

$$\begin{aligned} y'' &= \vec{r} \cdot \vec{a}_{y''} = x'(\vec{a}_{x'} \cdot \vec{a}_{y''}) + y'(\vec{a}_{y'} \cdot \vec{a}_{y''}) + z'(\vec{a}_{z'} \cdot \vec{a}_{y''}) \\ &= x'(\vec{a}_{x'} \cdot \vec{a}_\phi) + y'(\vec{a}_{y'} \cdot \vec{a}_\phi) + z'(\vec{a}_{z'} \cdot \vec{a}_\phi) \\ &= -x' \sin \phi_0 + y' \cos \phi_0 \end{aligned} \quad (3.13ข)$$

$$\begin{aligned}
z'' &= \bar{r} \cdot \bar{a}_z = x'(\bar{a}_x \cdot \bar{a}_z) + y'(\bar{a}_y \cdot \bar{a}_z) + z'(\bar{a}_z \cdot \bar{a}_z) \\
&= x'(\bar{a}_x \cdot \bar{a}_z) + y'(\bar{a}_y \cdot \bar{a}_z) + z'(\bar{a}_z \cdot \bar{a}_z) \\
&= x' \sin \theta_o \cos \phi_o + y' \sin \theta_o \sin \phi_o + z' \cos \theta_o
\end{aligned} \tag{3.13ค)$$

สมการ (3.13ก-ค) สามารถเขียนในรูปเมตริกซ์ได้เป็น

$$\begin{bmatrix} x'' \\ y'' \\ z'' \end{bmatrix} = \begin{bmatrix} \cos \theta_o \cos \phi_o & \cos \theta_o \sin \phi_o & -\sin \theta_o \\ -\sin \phi_o & \cos \phi_o & 0 \\ \sin \theta_o \cos \phi_o & \sin \theta_o \sin \phi_o & \cos \theta_o \end{bmatrix} \begin{bmatrix} x' \\ y' \\ z' \end{bmatrix} \tag{3.14}$$

เมื่อแทนสมการ (3.10) ลงในสมการ (3.14) ระบบพิกัดของระบบสายอากาศบ่อนกำลังคลื่น $x''y''z''$ มีความสัมพันธ์กับระบบพิกัดของจานสะท้อน xyz เป็น

$$\begin{bmatrix} x'' \\ y'' \\ z'' \end{bmatrix} = \begin{bmatrix} \cos \theta_o \cos \phi_o & \cos \theta_o \sin \phi_o & -\sin \theta_o \\ -\sin \phi_o & \cos \phi_o & 0 \\ \sin \theta_o \cos \phi_o & \sin \theta_o \sin \phi_o & \cos \theta_o \end{bmatrix} \begin{bmatrix} x - x_f \\ y - y_f \\ z - z_f \end{bmatrix} \tag{3.15}$$

และเมื่อแปลงแบบรูปการแผ่พลังงานย่านสนามไกลของสายอากาศบ่อนกำลังคลื่นแบบเชิงเส้นในระบบพิกัดทรงกลม $r''\theta''\phi''$ ดังสมการ (3.9) ไปอยู่ในระบบพิกัดคาร์ทีเซียน $x''y''z''$ จะได้

$$\begin{bmatrix} E_x^{feed}(x, y, z) \\ E_y^{feed}(x, y, z) \\ E_z^{feed}(x, y, z) \end{bmatrix} = \begin{bmatrix} \sin \theta'' \cos \phi'' & \cos \theta'' \cos \phi'' & -\sin \phi'' \\ \sin \theta'' \sin \phi'' & \cos \theta'' \sin \phi'' & \cos \phi'' \\ \cos \theta'' & -\sin \theta'' & 0 \end{bmatrix} \begin{bmatrix} 0 \\ f_E(\theta'') \sin(\phi'' - \phi_{pol}) \\ f_H(\theta'') \cos(\phi'' - \phi_{pol}) \end{bmatrix} \frac{e^{-jk''r''}}{r''} \tag{3.16}$$

โดยที่ $r'' = \sqrt{x''^2 + y''^2 + z''^2}$, $\theta'' = \tan^{-1} \left(\frac{\sqrt{x''^2 + y''^2}}{z''} \right)$ และ $\phi'' = \tan^{-1} \left(\frac{y''}{x''} \right)$ และจากรูป 3.3 $\bar{a}_x = \bar{a}_x$, $\bar{a}_y = \bar{a}_y$ และ $\bar{a}_z = \bar{a}_z$ ดังนั้นจากสมการ (3.12) สนามไฟฟ้าในระบบพิกัด $x''y''z''$ สามารถเขียนอยู่ในระบบพิกัดของจานสะท้อน xyz ได้เป็น

$$\begin{bmatrix} E_x^{feed}(x, y, z) \\ E_y^{feed}(x, y, z) \\ E_z^{feed}(x, y, z) \end{bmatrix} = \begin{bmatrix} \cos \theta_o \cos \phi_o & -\sin \phi_o & \sin \theta_o \cos \phi_o \\ \cos \theta_o \sin \phi_o & \cos \phi_o & \sin \theta_o \sin \phi_o \\ -\sin \theta_o & 0 & \cos \theta_o \end{bmatrix} \begin{bmatrix} E_x^{feed}(x, y, z) \\ E_y^{feed}(x, y, z) \\ E_z^{feed}(x, y, z) \end{bmatrix} \tag{3.17}$$

จากการแปลงระบบพิกัดข้างต้น สังเกตว่าแกน y'' ของระบบพิกัดสายอากาศบ่อนกำลังคลื่นนั้นวางตัวอยู่ในระนาบ xy เท่านั้น ซึ่งการกำหนดระบบพิกัดสายอากาศบ่อนกำลังคลื่นแบบนี้มีความเหมาะสมสำหรับสายอากาศบ่อนกำลังคลื่นที่มีโพลาริเซชันแบบเชิงเส้นในแนว y ที่นำมาใช้วิเคราะห์ในวิทยานิพนธ์นี้ เนื่องจากสายอากาศที่มีโพลาริเซชันในแนว y เกิดจาก

การใช้สายอากาศที่มีโพลาริเซชันในแนว y^* ($\phi_{pol} = 0$) และภาพฉายของแกนของสายอากาศป้อนกำลังคลื่นบนระนาบ xy ทำมุม $\phi_0 = 0$ กับแกน x แกนของสายอากาศป้อนกำลังคลื่นสามารถทำมุมกับแกน z เป็นมุม θ_0 ใด ๆ ดังแกน $x^*y^*z^*$ ที่แสดงในรูป 2.8 และ 2.9 ดังนั้นทำให้สามารถหาสนามไฟฟ้าจากสายอากาศป้อนกำลังคลื่นที่มีโพลาริเซชันแบบเชิงเส้นในแนว y ซึ่งมีการวางตัวอยู่ที่ตำแหน่ง (x_f, y_f, z_f) ในระบบพิกัดคาร์ทีเซียน xyz และแกนของสายอากาศป้อนกำลังคลื่นทำมุมกับแกน z เป็นมุม θ_0 ในระบบพิกัดของงานสะท้อนและมีทิศทางอยู่ในรูปของเวกเตอร์หนึ่งหน่วย $\vec{a}_x, \vec{a}_y, \vec{a}_z$ ได้ดังสมการ (3.16)

นอกจากการแปลงระบบพิกัดเพื่อหาสนามไฟฟ้าจากสายอากาศป้อนกำลังคลื่นในระบบพิกัดงานสะท้อนที่กล่าวไว้ข้างต้นแล้ว การวิเคราะห์ระบบสายอากาศชนิดงานสะท้อนเดี่ยวรูปพาราโบลิกยังมีค่าปัจจัยที่เกี่ยวข้องกับสายอากาศป้อนกำลังคลื่นที่สำคัญอย่างหนึ่งในการดูสมรรถนะของระบบสายอากาศชนิดงานสะท้อนเดี่ยวรูปพาราโบลิกคือ ระดับความเรียวที่ขอบ (edge taper) ของงานสะท้อน

ระดับความเรียวที่ขอบของงานสะท้อนเป็นค่าปัจจัยที่กำหนดจากระดับความเข้มของสนามไฟฟ้าจากสายอากาศป้อนกำลังคลื่นที่ขอบของงานสะท้อนเปรียบเทียบกับระดับความเข้มของสนามไฟฟ้าจากสายอากาศป้อนกำลังคลื่นในทิศทางตามแกนของสายอากาศป้อนกำลังคลื่นที่จุดบนพื้นผิวสะท้อนดังสมการ (3.18)

$$ET(dB) = 20 \log \left(\frac{|\vec{E}_{edge}^{feed}|}{|\vec{E}_{boresight}^{feed}|} \right) \quad (3.18)$$

โดยที่ \vec{E}_{edge}^{feed} คือ สนามไฟฟ้าจากสายอากาศป้อนกำลังคลื่นที่ขอบของงานสะท้อน และ $\vec{E}_{boresight}^{feed}$ คือ สนามไฟฟ้าจากสายอากาศป้อนกำลังคลื่นในทิศทางแนวเล็งหลักของสายอากาศป้อนกำลังคลื่นที่จุดบนพื้นผิวสะท้อน

จากข้อกำหนดของระดับความเรียวที่ขอบข้างต้น เมื่อพิจารณาในระบบสายอากาศชนิดงานสะท้อนเดี่ยวรูปพาราโบลิกแบบสมมาตรที่ใช้วิเคราะห์ในวิทยานิพนธ์นี้ดังรูป 2.8 สายอากาศป้อนกำลังคลื่นวางตัวอยู่ที่จุดโฟกัสซึ่งเป็นจุดกำเนิดของระบบพิกัดงานสะท้อน $(x_f = 0, y_f = 0, z_f = 0)$ โดยแกนของสายอากาศป้อนกำลังคลื่นทำมุมกับแกน z เป็นมุม $\theta_0 = \pi$ และภาพฉายของแกนของสายอากาศป้อนกำลังคลื่นบนระนาบ xy ทำมุม $\phi_0 = 0$ กับแกน x ดังนั้นระดับความเรียวที่ขอบในระนาบ xz จึงเป็น

$$\begin{aligned} ET(dB) &= 20 \log \left(\frac{|\vec{E}^{feed}(r_e, \Psi_0, 0)|}{|\vec{E}^{feed}(r_o, 0, 0)|} \right) \\ &= 20 \log \left(\frac{\sqrt{|f_E(\Psi_0)|^2 \sin^2(\phi_{pol}) + |f_H(\Psi_0)|^2 \cos^2(\phi_{pol})} r_o}{\sqrt{|f_E(0)|^2 \sin^2(\phi_{pol}) + |f_H(0)|^2 \cos^2(\phi_{pol})} r_e} \right) \end{aligned} \quad (3.19)$$

จากสมการ (2.2ข) $r_o = \frac{2f}{1 + \cos \theta_0} = f$ คือ ระยะทางจากจุดโฟกัสไปยังจุดบนงานสะท้อนในทิศทางตามแนวแกนของสายอากาศป้อนกำลังคลื่น และ $r_e = \frac{2f}{1 + \cos \Psi_0}$ คือ ระยะทางจากจุดโฟกัสไปยังจุดขอบของงานสะท้อนรูปพาราโบลิกแบบสมมาตร ซึ่งเมื่อแทนลงในสมการ (3.19) จะได้

$$ET(dB) = 20 \log \left(\frac{\sqrt{|f_E(\Psi_o)|^2 \sin^2(\phi_{pol}) + |f_H(\Psi_o)|^2 \cos^2(\phi_{pol})} \cdot 1 + \cos(\Psi_o/2)}{\sqrt{|f_E(0)|^2 \sin^2(\phi_{pol}) + |f_H(0)|^2 \cos^2(\phi_{pol})} \cdot 2} \right) \quad (3.20)$$

โดยที่ Ψ_o คือ มุมกว้างของงานสะท้อนรูปพาราโบลิกแบบสมมาตรหาได้ดังสมการ (2.6) และสำหรับในระบบสายอากาศชนิดงานสะท้อนเดี่ยวรูปพาราโบลิกแบบไม่สมมาตรที่ใช้ในการวิเคราะห์ในวิทยานิพนธ์นี้ดังรูป 2.9 สายอากาศป้อนกำลังคลื่นวางตัวอยู่ที่จุดโฟกัสซึ่งเป็นจุดกำเนิดของระบบพิกัดงานสะท้อน ($x_f = 0, y_f = 0, z_f = 0$) โดยแกนของสายอากาศป้อนกำลังคลื่นทำมุมกับแกน z เป็นมุม $\theta_o = \pi - \Psi_f$ และภาพฉายของแกนของสายอากาศป้อนกำลังคลื่นบนระนาบ xz ทำมุม $\phi_o = 0$ กับแกน x ดังนั้นระดับความเร็วที่ขอบในระนาบ xz ที่ขอบบนและขอบล่างเป็น

$$\begin{aligned} ET_U(dB) &= 20 \log \left(\frac{|\bar{E}^{feed}(r_U, \Psi_U - \Psi_f, 0)|}{|\bar{E}^{feed}(r_f, 0, 0)|} \right) \\ &= 20 \log \left(\frac{\sqrt{|f_E(\Psi_U - \Psi_f)|^2 \sin^2(\phi_{pol}) + |f_H(\Psi_U - \Psi_f)|^2 \cos^2(\phi_{pol})} \cdot r_f}{\sqrt{|f_E(0)|^2 \sin^2(\phi_{pol}) + |f_H(0)|^2 \cos^2(\phi_{pol})} \cdot r_U} \right) \end{aligned} \quad (3.21\text{ก})$$

$$\begin{aligned} ET_L(dB) &= 20 \log \left(\frac{|\bar{E}^{feed}(r_L, \Psi_f - \Psi_L, 0)|}{|\bar{E}^{feed}(r_f, 0, 0)|} \right) \\ &= 20 \log \left(\frac{\sqrt{|f_E(\Psi_f - \Psi_L)|^2 \sin^2(\phi_{pol}) + |f_H(\Psi_f - \Psi_L)|^2 \cos^2(\phi_{pol})} \cdot r_f}{\sqrt{|f_E(0)|^2 \sin^2(\phi_{pol}) + |f_H(0)|^2 \cos^2(\phi_{pol})} \cdot r_L} \right) \end{aligned} \quad (3.21\text{ข})$$

จากสมการ (2.2ข) $r_f = \frac{2f}{1 + \cos \Psi_f}$ คือ ระยะทางจากจุดโฟกัสไปยังจุดบนงานสะท้อนในทิศทางตามแนวแกนของสายอากาศป้อนกำลังคลื่น $r_U = \frac{2f}{1 + \cos \Psi_U}$ คือ ระยะทางจากจุดโฟกัสไปยังจุดขอบบนในระนาบ xz ของงานสะท้อนรูปพาราโบลิกแบบไม่สมมาตร และ $r_L = \frac{2f}{1 + \cos \Psi_L}$ คือ ระยะทางจากจุดโฟกัสไปยังจุดขอบล่างในระนาบ xz ของงานสะท้อนรูปพาราโบลิกแบบไม่สมมาตร ซึ่งเมื่อแทนลงในสมการ (3.21ก-ข) จะได้

$$ET_U(dB) = 20 \log \left(\frac{\sqrt{|f_E(\Psi_U - \Psi_f)|^2 \sin^2(\phi_{pol}) + |f_H(\Psi_U - \Psi_f)|^2 \cos^2(\phi_{pol})} \cdot 1 + \cos \Psi_U}{\sqrt{|f_E(0)|^2 \sin^2(\phi_{pol}) + |f_H(0)|^2 \cos^2(\phi_{pol})} \cdot 1 + \cos \Psi_f} \right) \quad (3.22\text{ก})$$

$$ET_L (dB) = 20 \log \left(\frac{\sqrt{|f_E(\Psi_f - \Psi_L)|^2 \sin^2(\phi_{pol}) + |f_H(\Psi_f - \Psi_L)|^2 \cos^2(\phi_{pol})} \cdot 1 + \cos \Psi_L}{\sqrt{|f_E(0)|^2 \sin^2(\phi_{pol}) + |f_H(0)|^2 \cos^2(\phi_{pol})} \cdot 1 + \cos \Psi_f} \right) \quad (3.22ข)$$

โดยที่ Ψ_f คือ มุมเงยของสายอากาศป้อนกำลังคลื่น Ψ_U, Ψ_L คือ มุมกว้างของขอบบนและขอบล่างของจานสะท้อนรูปพาราโบลิกแบบไม่สมมาตรในระนาบออฟเซต ตามลำดับ

ระดับความเรียบที่ขอบที่กล่าวไว้ข้างต้นเป็นค่าปัจจัยที่ใช้เป็นดูผลกระทบจากปรากฏการณ์เลี้ยวเบนที่เกิดขึ้นในระบบสายอากาศชนิดจานสะท้อนเดี่ยวรูปพาราโบลิก ซึ่งได้แสดงไว้ในผลการวิเคราะห์ในบทที่ 4 ต่อไป

กรรมวิธีทัศนศาสตร์เชิงเรขาคณิต

กรรมวิธีทัศนศาสตร์เชิงเรขาคณิตเป็นวิธีประมาณเชิงวิเคราะห์ในย่านความถี่สูงสำหรับการศึกษาพฤติกรรมของคลื่นในตัวกลาง เช่น การตกกระทบ การสะท้อน และการหักเหที่ผิวรอยต่อ โดยใช้แนวความคิดเกี่ยวกับรังสีมาอธิบาย การเคลื่อนที่ของรังสีและการเคลื่อนไปของสนามไฟฟ้าและสนามแม่เหล็กตามลำรังสีเป็นแนวความคิดสำคัญในการวิเคราะห์คลื่นที่แผ่กระจายในชั้นบรรยากาศเมื่อความยาวคลื่นเข้าใกล้ศูนย์ ($\lambda \rightarrow 0$)

ดังนั้นในการศึกษาพฤติกรรมของคลื่นที่พื้นผิวจานสะท้อนของระบบสายอากาศชนิดจานสะท้อนเดี่ยวรูปพาราโบลิกในวิทยานพธรณี ขนาดของจานสะท้อนจะมีขนาดใหญ่มากเมื่อเทียบกับความยาวคลื่นที่ใช้งาน หรือกล่าวคือความยาวคลื่นที่ใช้งานมีค่าเข้าใกล้ศูนย์เมื่อเทียบกับขนาดของพื้นผิวจานสะท้อนที่พิจารณา ($\lambda/D \rightarrow 0$) ทำให้สนามไฟฟ้าและสนามแม่เหล็กบนระนาบหน้าจานที่เกิดจากคลื่นแม่เหล็กไฟฟ้าจากสายอากาศป้อนกำลังคลื่นแผ่พลังงานมาตกกระทบบนพื้นผิวจานสะท้อนแล้วเกิดการสะท้อนมายังระนาบหน้าจานสามารถหาได้จากกรรมวิธีทัศนศาสตร์เชิงเรขาคณิต

กรรมวิธีทัศนศาสตร์เชิงเรขาคณิตแบบดั้งเดิมนั้นถูกพัฒนาเพื่อวิเคราะห์การเคลื่อนไปของแสงซึ่งมีความถี่สูงพิเศษ โดยไม่จำเป็นต้องพิจารณาธรรมชาติความเป็นคลื่นของแสง โดยการเคลื่อนที่และการส่งผ่านพลังงานจากจุดหนึ่งไปยังอีกจุดหนึ่งสามารถคำนวณได้ด้วยหลักการพื้นฐาน 2 ประการที่อธิบายการเคลื่อนที่ไปของคลื่นในลักษณะของรังสีคือ

1. หลักการของแฟร์มาต์ (Fermat's principle) เป็นหลักการที่ทำให้ทราบว่าคลื่นเคลื่อนที่ไปตามเส้นทางใด กล่าวไว้ว่า แนวนรังสีระหว่างจุดสองจุดใด ๆ P_1 กับ P_2 นั้นเป็นไปตามเส้นทางที่ใช้เวลาในการเดินทางน้อยที่สุด หรือคลื่นจะเคลื่อนที่ไปในเส้นทางที่ใช้เวลาน้อยที่สุดในการเดินทาง ซึ่งหลักการดังกล่าวนี้เขียนเป็นสมการคณิตศาสตร์ได้ดังนี้

$$\delta \int_{P_1}^{P_2} n(s) ds = 0 \quad (3.23)$$

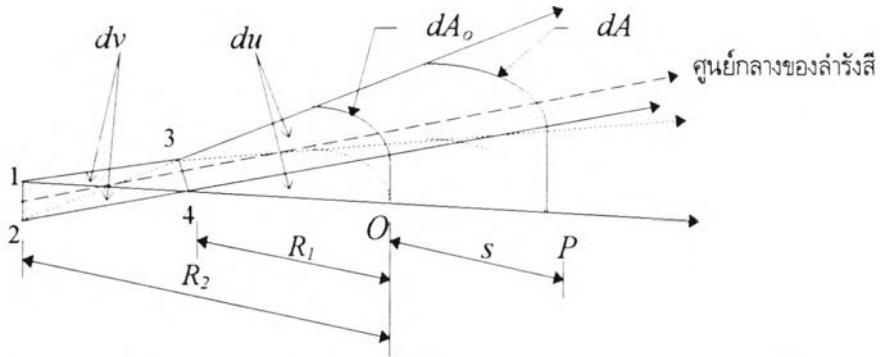
โดยที่ δ แสดงถึงอัตราการเปลี่ยนแปลงเทียบกับ s ซึ่งเป็นระยะทางที่รังสีเคลื่อนไปและ $n(s)$ คือ ดัชนีหักเหของตัวกลางซึ่งเท่ากับ $k(s)/k_0$ และบ่งบอกว่าเส้นทางการเคลื่อนที่ของรังสีระหว่างจุดสองจุดใด ๆ P_1 กับ P_2 ต้องคงตัว (stationary) เมื่อมีการเปลี่ยนแปลงเล็ก ๆ ในทิศทางที่รังสีเคลื่อนไป

2. หลักการอนุรักษ์พลังงานภายในลำรังสีเล็ก ๆ บ่งบอกถึงการลดทอนความเข้มของคลื่นที่เคลื่อนไป โดยมีหลักว่ากำลังงานที่ส่งผ่านภาคตัดขวางใด ๆ ภายในลำรังสีเล็ก ๆ จะคงที่ตลอดความยาวของลำรังสีนั้น

หลักการอนุรักษ์พลังงานภายในลำรังสีเล็ก ๆ นี้ สามารถอธิบายความเข้มของคลื่นที่ตำแหน่งต่าง ๆ โดยสมมุติว่าคลื่นที่เคลื่อนที่ไปถูกแทนด้วยลำรังสีดังรูป 3.4 โดยที่หน้าคลื่นของคลื่นถูกกำหนดโดยจุดต่าง ๆ บนพื้นที่หน้าตัดของลำรังสี

และรัศมีความโค้งหลัก (principal radu) ของหน้าคลื่นถูกกำหนดด้วย R_1 และ R_2 ทำให้ลำรังสีนี้สามารถใช้แทนคลื่นที่มีหน้าคลื่นแบบใด ๆ ได้ เช่น

1. ถ้ารัศมีความโค้งหลัก R_1 และ R_2 เท่ากัน ลำรังสีนี้ใช้แทนคลื่นที่มีหน้าคลื่นแบบทรงกลม
2. ถ้ารัศมีความโค้งหลัก R_1 หรือ R_2 มีค่าเป็นอนันต์ ลำรังสีนี้ใช้แทนคลื่นที่มีหน้าคลื่นแบบทรงกระบอก
3. ถ้ารัศมีความโค้งหลัก R_1 และ R_2 มีค่าเป็นอนันต์ ลำรังสีนี้ใช้แทนคลื่นที่มีหน้าคลื่นแบบระนาบ



รูป 3.4 ลำรังสีที่ใช้อธิบายความเข้มของคลื่นที่ตำแหน่งใด ๆ โดยหลักการอนุรักษ์พลังงานภายในลำรังสีเล็ก ๆ

จากรูป 3.4 และหลักการอนุรักษ์พลังงานภายในลำรังสีเล็ก ๆ กำลังงานที่ผ่านภาคตัดขวาง dA_0 กับ dA มีค่าเท่ากัน ดังนั้น

$$S_0 dA_0 = S dA \tag{3.24}$$

โดยที่ S_0 และ S คือ ความหนาแน่นของกำลังงานที่จุด O และจุด P ตามลำดับ

สำหรับคลื่นแม่เหล็กไฟฟ้า ความหนาแน่นของกำลังงาน $S(\vec{r})$ สามารถหาได้จากความเข้มสนามไฟฟ้า $\vec{E}(\vec{r})$ ดังสมการ (3.25)

$$S(\vec{r}) = \frac{|\vec{E}(\vec{r})|^2}{2Z} = \frac{|\vec{E}(\vec{r})|^2}{2} \sqrt{\frac{\epsilon}{\mu}} \tag{3.25}$$

โดยที่ $Z = \sqrt{\mu/\epsilon}$ คือ อิมพีแดนซ์ลักษณะสมบัติของตัวกลางในบริเวณการแผ่กระจายคลื่น

ถ้าความเข้มสนามไฟฟ้าที่จุด O และ P เป็น \vec{E}_0 และ \vec{E}_p ตามลำดับ ดังนั้นกำลังงานที่ผ่านพื้นที่ภาคตัดขวาง dA_0 กับ dA เท่ากับ $\frac{|\vec{E}_0|^2 R_1 du dR_2 dv}{2Z}$ และ $\frac{|\vec{E}_p|^2 (R_1 + s) du (R_2 + s) dv}{2Z}$ ตามลำดับ ซึ่งเมื่อแทนลงในสมการ (3.24) จะได้

$$|\vec{E}_p| = |\vec{E}_0| \sqrt{\frac{R_1 R_2}{(R_1 + s)(R_2 + s)}} \tag{3.26}$$

จากสมการ (3.26) พบว่า ความเข้มของสนามไฟฟ้าที่จุดใด ๆ แปรผันตาม $\sqrt{\frac{R_1 R_2}{(R_1 + s)(R_2 + s)}}$ ซึ่งเรียกว่าตัวประกอบการลดทอนเชิงอวกาศ (spatial attenuation factor)

หลักการพื้นฐานทั้ง 2 ที่กล่าวมาไม่สามารถบอกข้อมูลเกี่ยวกับเฟสและโพลาไรเซชันของคลื่น ทำให้กรรมวิธีทัศนศาสตร์เชิงเรขาคณิตแบบดั้งเดิมไม่สามารถอธิบายพฤติกรรมของคลื่นในตัวกลางได้ครบถ้วน เนื่องจากข้อมูลเกี่ยวกับโพลาไรเซชันและเฟสเป็นคุณสมบัติสำคัญที่ต้องรวมเข้าไปพิจารณาพฤติกรรมของคลื่น ดังนั้นกรรมวิธีทัศนศาสตร์เชิงเรขาคณิตแบบดั้งเดิมจึงถูกปรับปรุงเพื่อให้สามารถอธิบายพฤติกรรมของคลื่นได้อย่างครบถ้วน โดยทำการหาผลเฉลยของสมการแมกซ์เวลล์และสมการคลื่นด้วยวิธีการประมาณเชิงวิเคราะหึ่ในย่านความถี่สูงหรือเมื่อความถี่เชิงมุมเข้าใกล้ค่าอนันต์ ซึ่ง Luneberg และ Kline สมมุติว่าผลเฉลยดังกล่าวอยู่ในรูปอนุกรมที่เป็นส่วนกลับของความถี่เชิงมุมกำลังต่าง ๆ ดังนี้

$$\vec{E}(\vec{r}) = \sum_{m=0}^{\infty} \frac{\vec{E}_m(\vec{r})}{(j\omega)^m} e^{-jk_0\psi(\vec{r})} \quad (3.27ก)$$

$$\vec{H}(\vec{r}) = \sum_{m=0}^{\infty} \frac{\vec{H}_m(\vec{r})}{(j\omega)^m} e^{-jk_0\psi(\vec{r})} \quad (3.27ข)$$

โดยที่ k_0 เท่ากับ $\omega\sqrt{\mu_0\epsilon_0}$ และถ้าตัวกลางที่คลื่นเคลื่อนที่ไปเป็นตัวกลางแบบไอโซทรอปิกที่มีค่าสภาพยอมทางไฟฟ้า (ϵ) และค่าความซึมซาบทางแม่เหล็ก (μ) เป็นฟังก์ชันขององค์ประกอบเชิงตำแหน่ง x , y และ z และเมื่อแทนผลเฉลยในสมการ (3.27ก-ข) ลงในสมการแมกซ์เวลล์ในบริเวณปราศจากแหล่งกำเนิดดังสมการ (3.28ก-ง)

$$\nabla \times \vec{E}(\vec{r}, \omega) = -j\omega\mu\vec{H}(\vec{r}, \omega) \quad (3.28ก)$$

$$\nabla \times \vec{H}(\vec{r}, \omega) = j\omega\epsilon\vec{E}(\vec{r}, \omega) \quad (3.28ข)$$

$$\nabla \cdot \vec{D} = 0 \quad (3.28ค)$$

$$\nabla \cdot \vec{B} = 0 \quad (3.28ง)$$

และใช้เอกลักษณ์เวกเตอร์ $\nabla \times \Psi\vec{A} \equiv \nabla\Psi \times \vec{A} + \Psi\nabla \times \vec{A}$ และ $\nabla\Psi \times \vec{A} \equiv -\vec{A} \times \nabla\Psi$ จะได้

$$\sum_{m=0}^{\infty} \left[\frac{\nabla \times \vec{E}_m(\vec{r})}{(j\omega)^m} + \frac{jk_0 \vec{E}_m(\vec{r}) \times \nabla\psi(\vec{r})}{(j\omega)^m} \right] e^{-jk_0\psi(\vec{r})} = \sum_{m=0}^{\infty} \frac{-j\omega\mu\vec{H}_m(\vec{r})}{(j\omega)^m} e^{-jk_0\psi(\vec{r})} \quad (3.29ก)$$

$$\sum_{m=0}^{\infty} \left[\frac{\nabla \times \vec{H}_m(\vec{r})}{(j\omega)^m} + \frac{jk_0 \vec{H}_m(\vec{r}) \times \nabla\psi(\vec{r})}{(j\omega)^m} \right] e^{-jk_0\psi(\vec{r})} = \sum_{m=0}^{\infty} \frac{-j\omega\epsilon\vec{E}_m(\vec{r})}{(j\omega)^m} e^{-jk_0\psi(\vec{r})} \quad (3.29ข)$$

จาก $\vec{D} = \epsilon\vec{E}$ และ $\vec{B} = \mu\vec{H}$ และใช้เอกลักษณ์เวกเตอร์ $\nabla \cdot \Psi\vec{A} \equiv \nabla\Psi \cdot \vec{A} + \Psi\nabla \cdot \vec{A}$ กับสมการ (3.28ค-ง) จะได้

$$\sum_{m=0}^{\infty} \left[\frac{\nabla \cdot \mathcal{E}_m(\vec{r})}{(j\omega)^m} - \frac{jk_0 \mathcal{E}_m(\vec{r}) \cdot \nabla \psi(\vec{r})}{(j\omega)^m} \right] e^{-jk_0 \psi(\vec{r})} = 0$$

หรือ

$$\sum_{m=0}^{\infty} \left[\frac{\nabla \varepsilon \cdot \bar{E}_m(\vec{r})}{(j\omega)^m} + \frac{\varepsilon \nabla \cdot \bar{E}_m(\vec{r})}{(j\omega)^m} - \frac{jk_0 \mathcal{E}_m(\vec{r}) \cdot \nabla \psi(\vec{r})}{(j\omega)^m} \right] = 0 \quad (3.29ค)$$

และ

$$\sum_{m=0}^{\infty} \left[\frac{\nabla \cdot \mu \bar{H}_m(\vec{r})}{(j\omega)^m} - \frac{jk_0 \mu \bar{H}_m(\vec{r}) \cdot \nabla \psi(\vec{r})}{(j\omega)^m} \right] e^{-jk_0 \psi(\vec{r})} = 0$$

หรือ

$$\sum_{m=0}^{\infty} \left[\frac{\nabla \mu \cdot \bar{H}_m(\vec{r})}{(j\omega)^m} + \frac{\mu \nabla \cdot \bar{H}_m(\vec{r})}{(j\omega)^m} - \frac{jk_0 \mu \bar{H}_m(\vec{r}) \cdot \nabla \psi(\vec{r})}{(j\omega)^m} \right] = 0 \quad (3.29ง)$$

จากสมการ (3.29ก-ง) เมื่อกระจายอนุกรมเพียงพจน์แรก ๆ แล้วเทียบสัมประสิทธิ์ของพจน์ที่มีกำลังของความถี่เชิงมุมเท่ากันในสมการ (3.29ค) จะได้

$$k_0 \bar{E}_0 \times \nabla \psi = -\omega \mu \bar{H}_0 \quad (3.30ก)$$

$$\nabla \times \bar{E}_0 + \frac{k_0}{\omega} \bar{E}_1 \times \nabla \psi = -\mu \bar{H}_1 \quad (3.30ข)$$

ในทำนองเดียวกันสมการ (3.29ข) จะเป็น

$$k_0 \bar{H}_0 \times \nabla \psi = -\omega \varepsilon \bar{E}_0 \quad (3.31ก)$$

$$\nabla \times \bar{H}_0 + \frac{k_0}{\omega} \bar{H}_1 \times \nabla \psi = -\varepsilon \bar{E}_1 \quad (3.31ข)$$

และจากสมการ (3.29ค) จะได้

$$-jk_0 \mathcal{E}_0 \cdot \nabla \psi = 0 \quad (3.32ก)$$

$$\varepsilon \nabla \cdot \bar{E}_0 - \frac{k_0}{\omega} \varepsilon \bar{E}_1 \cdot \nabla \psi + \bar{E}_0 \cdot \nabla \varepsilon = 0 \quad (3.32ข)$$

ในทำนองเดียวกันสมการ (3.29ง) จะเป็น

$$-jk_0 \mu \bar{H}_0 \cdot \nabla \psi = 0 \quad (3.33ก)$$

$$\mu \nabla \cdot \vec{H}_0 - \frac{k_0}{\omega} \mu \vec{H}_1 \cdot \nabla \psi + \vec{H}_0 \cdot \nabla \mu = 0 \quad (3.33\text{ข})$$

จากการกระจายอนุกรมของผลเฉลยข้างต้นพบว่า สนามไฟฟ้าและสนามแม่เหล็กที่เป็นผลเฉลยนั้นเกิดจากการแก้สมการหาผลเฉลยในลำดับแรก ๆ ก่อนแล้วแทนผลเฉลยในลำดับแรก ๆ ลงไปเพื่อหาผลเฉลยในลำดับต่อ ๆ ไป ซึ่งผลเฉลยแน่นอนตรงเกิดจากการรวมผลเฉลยในลำดับต่าง ๆ ที่ได้ตามสมการ (3.27ก) และ (3.27ข) แต่สำหรับการประมาณค่าผลเฉลยของสนามไฟฟ้าและสนามแม่เหล็กโดยกรรมวิธีที่ศตวรรษที่สิบเก้าของเฮนริช เรชาคอนิต สนามไฟฟ้าและสนามแม่เหล็กในลำดับที่ศูนย์ของผลเฉลยโดยประมาณเท่านั้นที่ถูกนำมาใช้อธิบายพฤติกรรมต่าง ๆ ของคลื่น ดังนั้นเมื่อพิจารณาสมการ (3.30ก-3.33ก) พบว่า

$$\vec{E}_0 \times \nabla \psi = -\frac{\omega \mu}{k_0} \vec{H}_0 \quad (3.34\text{ก})$$

$$\vec{H}_0 \times \nabla \psi = \frac{\omega \epsilon}{k_0} \vec{E}_0 \quad (3.34\text{ข})$$

$$\vec{E}_0 \cdot \nabla \psi = 0 \quad (3.34\text{ค})$$

$$\vec{H}_0 \cdot \nabla \psi = 0 \quad (3.34\text{ง})$$

จากสมการ (3.34ก-ง) พบว่า เวกเตอร์ \vec{E}_0 , \vec{H}_0 และ $\nabla \psi$ ตั้งฉากซึ่งกันและกัน หรือกล่าวคือ สนามไฟฟ้า สนามแม่เหล็ก และ $\nabla \psi$ ตั้งฉากซึ่งกันและกัน และเนื่องจากการแปรเปลี่ยนของเฟสจากสมการ (3.27ก-ง) ขึ้นอยู่กับพื้นผิว ψ ดังนั้นหน้าคลื่นหรือแนวที่เฟสคงที่ถูกระบุโดยพื้นผิว ψ เท่ากับค่าคงที่เมื่อ ψ เป็นจำนวนจริง หรือกำหนดด้วยส่วนจริงของ ψ เท่ากับค่าคงที่เมื่อ ψ เป็นจำนวนเชิงซ้อน และทิศทางการส่งผ่านพลังงานคลื่นสามารถพิจารณาได้จากพอยน์ติงเวกเตอร์แบบเชิงซ้อน ดังนั้นจากสมการ (3.34ก) จะได้

$$\vec{E}_0 \times \vec{H}_0^* = \vec{E}_0 \times \left(-\frac{k_0}{\omega \mu} \vec{E}_0 \times \nabla \psi^* \right) \quad (3.35)$$

จากเอกลักษณ์เวกเตอร์ $\vec{A} \times (\vec{B} \times \vec{C}) = (\vec{A} \cdot \vec{C})\vec{B} - (\vec{A} \cdot \vec{B})\vec{C}$ และสมการ (3.34ค) $\vec{E}_0 \cdot \nabla \psi^* = 0$ ทำให้สมการ (3.35) เขียนใหม่ได้เป็น

$$\vec{E}_0 \times \vec{H}_0^* = -\frac{k_0}{\omega \mu} \left[(\vec{E}_0 \cdot \nabla \psi^*) \vec{E}_0 - (\vec{E}_0 \cdot \vec{E}_0^*) \nabla \psi^* \right] = \frac{k_0}{\omega \mu} (\vec{E}_0 \cdot \vec{E}_0^*) \nabla \psi^* \quad (3.36)$$

จากสมการ (3.36) พบว่า พอยน์ติงเวกเตอร์อยู่ในทิศทางของ $\nabla \psi^*$ ดังนั้นการส่งผ่านพลังงานคลื่นจะอยู่ในทิศทางของ $\nabla \psi$ เมื่อ ψ เป็นจำนวนจริง และเนื่องจาก ψ เป็นฟังก์ชันพื้นผิว ดังนั้น $\nabla \psi$ คือ เวกเตอร์ที่ตั้งฉากกับพื้นผิว ψ ซึ่งทำให้ทิศทางการส่งผ่านพลังงานคลื่นตั้งฉากกับพื้นผิวหรือตั้งฉากกับหน้าคลื่น แต่สำหรับในตัวกลางแบบมีการสูญเสีย (lossy

media) ค่าสภาพยอมทางไฟฟ้า $\epsilon = \epsilon' - j\epsilon''$ และค่าความขบขี้มทางแม่เหล็ก $\mu = \mu' - j\mu''$ และ $\psi = \psi_r - j\psi_i$ นั้นเป็นจำนวนเชิงซ้อน ดังนั้นในการบ่งบอกถึงทิศทางการเคลื่อนที่ของรังสีหรือการส่งผ่านพลังงานคลื่นในตัวกลางแบบมีการสูญเสียพิจารณาจากส่วนจริงของสมการ (3.36)

$$\operatorname{Re}[\bar{E}_0 \times \bar{H}_0^*] = \operatorname{Re}\left[\frac{k_0}{\omega\mu}(\bar{E}_0 \cdot \bar{E}_0^*)\nabla\psi^*\right] = \frac{k_0}{\omega\mu}(\bar{E}_0 \cdot \bar{E}_0^*)(\mu\nabla\psi_r + \mu''\nabla\psi_i) \quad (3.37)$$

และเมื่อดำเนินการ $\nabla\psi \times$ กับทั้งสองด้านของสมการ (3.34ก) จะได้

$$\begin{aligned} \nabla\psi \times (\bar{E}_0 \times \nabla\psi) &= (\nabla\psi \cdot \nabla\psi)\bar{E}_0 - (\nabla\psi \cdot \bar{E}_0)\nabla\psi = (\nabla\psi \cdot \nabla\psi)\bar{E}_0 \\ &= -\frac{\omega\mu}{k_0}\nabla\psi \times \bar{H}_0 = \frac{\omega^2\mu\epsilon}{k_0^2}\bar{E}_0 \end{aligned} \quad (3.38)$$

ดังนั้น
$$\nabla\psi \cdot \nabla\psi = n^2 = \frac{\mu\epsilon}{\mu_0\epsilon_0} \quad (3.39)$$

สมการ (3.39) เรียกว่า สมการอีโคนัล (eikonal equation) และ ψ เรียกว่า ฟังก์ชันอีโคนัล (eikonal function) ซึ่งเป็นผลเฉลยของสมการ (3.39) ที่บ่งบอกได้เพียงทิศทางการเคลื่อนที่ของรังสีและหน้าคลื่น แต่ไม่สามารถบ่งบอกถึงการเคลื่อนที่ไปของสนามไฟฟ้า \bar{E}_0 และสนามแม่เหล็ก \bar{H}_0 ในตัวกลาง

การบ่งบอกการเคลื่อนที่ไปของสนามไฟฟ้า \bar{E}_0 และสนามแม่เหล็ก \bar{H}_0 ในตัวกลางนั้นหาได้จากการแทนผลเฉลยในสมการ (3.27ก-ข) ลงในสมการคลื่นซึ่งเกิดจากการดำเนินการ $\nabla \times$ กับทั้งสองด้านของสมการ (3.28ก) ดังนี้

$$\nabla \times \nabla \times \bar{E} = \nabla \nabla \cdot \bar{E} - \nabla^2 \bar{E} = \nabla \times (-j\omega\mu\bar{H}) = -j\omega\mu\nabla \times \bar{H} + j\omega\bar{H} \times \nabla\mu \quad (3.40)$$

และแทนสมการ (3.28ข) ลงในสมการ (3.40) จะได้

$$\nabla \nabla \cdot \bar{E} - \nabla^2 \bar{E} = -j\omega\mu \cdot (j\omega\epsilon\bar{E}) - \frac{\nabla \times \bar{E}}{\mu} \times \nabla\mu$$

หรือ
$$\nabla^2 \bar{E} - \nabla \nabla \cdot \bar{E} + \omega^2\mu\epsilon\bar{E} + \frac{\nabla\mu}{\mu} \times (\nabla \times \bar{E}) = 0 \quad (3.41)$$

แทนผลเฉลยจากสมการ (3.27ก) ลงในแต่ละพจน์ของสมการ (3.41) และจากเอกลักษณ์ไดแอดิก $\nabla(\Psi\bar{A}) \equiv \Psi\nabla\bar{A} + \bar{A}\nabla\Psi$ จะได้

$$\nabla^2 \bar{E} = \nabla \cdot \nabla \bar{E} = \nabla \cdot \left\{ \sum_{m=1}^{\infty} \left[\frac{\nabla \bar{E}_m}{(j\omega)^m} - jk_0 \nabla\psi_r \frac{\bar{E}_m}{(j\omega)^m} \right] e^{-jk_0\psi} \right\} \quad (3.42)$$

จากเอกลักษณ์ไดแอดิก $\nabla \cdot (\Psi \bar{A}) \equiv \Psi \nabla \cdot \bar{A} + \bar{A} \cdot \nabla \Psi$ สมการ (3.42) เขียนใหม่เป็น

$$\begin{aligned} \nabla^2 \bar{E} &= \sum_{m=0}^{\infty} \left[\frac{e^{-jk_0 \psi} \nabla \cdot \nabla \bar{E}_m}{(j\omega)^m} - \frac{jk_0 \nabla \psi e^{-jk_0 \psi} \cdot \nabla \bar{E}_m}{(j\omega)^m} \right] \left[\frac{jk_0 e^{-jk_0 \psi} \nabla \cdot (\nabla \psi \bar{E}_m)}{(j\omega)^m} - \frac{(jk_0)^2 \nabla \psi e^{-jk_0 \psi} \cdot (\nabla \psi \bar{E}_m)}{(j\omega)^m} \right] \\ &= \sum_{m=0}^{\infty} \left[\frac{\nabla \cdot \nabla \bar{E}_m}{(j\omega)^m} - jk_0 \frac{\nabla \cdot (\nabla \psi \bar{E}_m)}{(j\omega)^m} \right] e^{-jk_0 \psi} - (jk_0 \nabla \psi e^{-jk_0 \psi}) \cdot \left[\frac{\nabla \bar{E}_m}{(j\omega)^m} - jk_0 \frac{\nabla \psi \bar{E}_m}{(j\omega)^m} \right] \end{aligned}$$

และเนื่องจาก $\nabla \cdot (\nabla \psi \bar{E}_m) = \bar{E}_m \nabla \cdot \nabla \psi + \nabla \psi \cdot \nabla \bar{E}_m$ ดังนั้น

$$\begin{aligned} \nabla^2 \bar{E} &= \sum_{m=0}^{\infty} \left\{ \frac{\nabla \cdot \nabla \bar{E}_m}{(j\omega)^m} - jk_0 \frac{\nabla \cdot (\nabla \psi \bar{E}_m)}{(j\omega)^m} - jk_0 \nabla \psi \cdot \left[\frac{\nabla \bar{E}_m}{(j\omega)^m} - jk_0 \nabla \psi \frac{\bar{E}_m}{(j\omega)^m} \right] \right\} e^{-jk_0 \psi} \\ &= \sum_{m=0}^{\infty} \left\{ \frac{\nabla^2 \bar{E}_m}{(j\omega)^m} - jk_0 \frac{\bar{E}_m \nabla \cdot \nabla \psi + \nabla \psi \cdot \nabla \bar{E}_m}{(j\omega)^m} - jk_0 \nabla \psi \cdot \left[\frac{\nabla \bar{E}_m}{(j\omega)^m} - jk_0 \nabla \psi \frac{\bar{E}_m}{(j\omega)^m} \right] \right\} e^{-jk_0 \psi} \end{aligned}$$

หรือ

$$\nabla^2 \bar{E} = \sum_{m=0}^{\infty} \left\{ \frac{\nabla^2 \bar{E}_m}{(j\omega)^m} - jk_0 \nabla^2 \psi \frac{\bar{E}_m}{(j\omega)^m} - jk_0 \nabla \psi \cdot \frac{\nabla \bar{E}_m}{(j\omega)^m} - jk_0 \nabla \psi \cdot \left[\frac{\nabla \bar{E}_m}{(j\omega)^m} - jk_0 \nabla \psi \frac{\bar{E}_m}{(j\omega)^m} \right] \right\} e^{-jk_0 \psi}$$

และ

$$\begin{aligned} \nabla \nabla \cdot \bar{E} &= \nabla \left\{ \sum_{m=0}^{\infty} \left[\frac{\nabla \cdot \bar{E}_m}{(j\omega)^m} - jk_0 \frac{\nabla \psi \cdot \bar{E}_m}{(j\omega)^m} \right] e^{-jk_0 \psi} \right\} \\ &= \sum_{m=0}^{\infty} \left\{ -jk_0 \nabla \psi \left[\frac{\nabla \cdot \bar{E}_m}{(j\omega)^m} - jk_0 \frac{\nabla \psi \cdot \bar{E}_m}{(j\omega)^m} \right] + \frac{\nabla \nabla \cdot \bar{E}_m}{(j\omega)^m} - jk_0 \frac{\nabla (\nabla \psi \cdot \bar{E}_m)}{(j\omega)^m} \right\} e^{-jk_0 \psi} \end{aligned}$$

และพจน์ $\nabla \times \bar{E}$ ถูกกำหนดโดยพจน์ด้านซ้ายของสมการ (3.29ก) ซึ่งเมื่อแทนแต่ละพจน์ลงในสมการ (3.41) แล้วเทียบสัมประสิทธิ์พจน์ ω^2 จะได้

$$-k_0^2 (\nabla \psi \cdot \bar{E}_0) \nabla \psi - k_0^2 (\nabla \psi \cdot \nabla \psi) \bar{E}_0 + n^2 k_0^2 \bar{E}_0 = 0$$

จากสมการ (3.34ค) $\bar{E}_0 \cdot \nabla \psi = 0$ ดังนั้น

$$\nabla \psi \cdot \nabla \psi = n^2$$

และเทียบสัมประสิทธิ์พจน์ ω จะได้

$$\begin{aligned} \frac{jk_0^2}{\omega} (\nabla\psi \cdot \nabla\psi) \bar{E}_1 - jk_0 \nabla\psi \cdot \nabla\bar{E}_0 - jk_0 \nabla^2 \psi \bar{E}_0 - jk_0 \nabla\psi \cdot \nabla\bar{E}_0 - \frac{jk_0^2}{\omega} \nabla\psi \nabla\psi \cdot \bar{E}_1 \\ + jk_0 \nabla\psi \nabla \cdot \bar{E}_0 + jk_0 \nabla(\nabla\psi \cdot \bar{E}_0) - \frac{jn^2 k_0^2}{\omega} \bar{E}_1 + jk_0 \nabla \ln \mu \times (\bar{E}_0 \times \nabla\psi) = 0 \end{aligned} \quad (3.43)$$

จากสมการ (3.33ข) (3.34ค) และ (3.39) ทำให้สมการ (3.43) สามารถเขียนใหม่ได้เป็น

$$-2jk_0 \nabla\psi \cdot \nabla\bar{E}_0 - jk_0 \nabla^2 \psi \bar{E}_0 - \nabla\psi jk_0 (\nabla \ln \varepsilon \cdot \bar{E}_0 + \nabla \cdot \bar{E}_0) + jk_0 \nabla\psi \nabla \cdot \bar{E}_0 + jk_0 \nabla \ln \mu \times (\bar{E}_0 \times \nabla\psi) = 0$$

$$\text{หรือ} \quad \frac{1}{2} \nabla^2 \psi \bar{E}_0 + \nabla\psi \cdot \nabla\bar{E}_0 + \frac{1}{2} \nabla\psi \nabla \ln \varepsilon \cdot \bar{E}_0 - \frac{1}{2} \nabla \ln \mu \times (\bar{E}_0 \times \nabla\psi) = 0 \quad (3.44)$$

และจากความสมมูลของ \bar{E}_0 กับ \bar{H}_0 และ μ กับ ε จะได้ \bar{H}_0 ที่สอดคล้องเป็นดังสมการ (3.45)

$$\frac{1}{2} \nabla^2 \psi \bar{H}_0 + \nabla\psi \cdot \nabla\bar{H}_0 + \frac{1}{2} \nabla\psi \nabla \ln \mu \cdot \bar{H}_0 - \frac{1}{2} \nabla \ln \varepsilon \times (\bar{H}_0 \times \nabla\psi) = 0 \quad (3.45)$$

สมการ (3.44) และ (3.45) เป็นสมการที่แสดงถึงการเคลื่อนที่ไปของสนามไฟฟ้าและสนามแม่เหล็กในตัวกลางซึ่งเรียกว่า สมการการขนส่ง (transport equation) และเนื่องจาก $\nabla\psi$ แสดงถึงทิศทางเคลื่อนที่ของรังสีในตัวกลางแบบไม่สูญเสียเมื่อ ψ เป็นจำนวนจริง ดังนั้นเวกเตอร์หนึ่งหน่วยที่ใช้บ่งบอกทิศทางเคลื่อนที่ของรังสีถูกกำหนดเป็น

$$\hat{s} = \frac{\nabla\psi}{\sqrt{\nabla\psi \cdot \nabla\psi}} = \frac{\nabla\psi}{n} \quad (3.46)$$

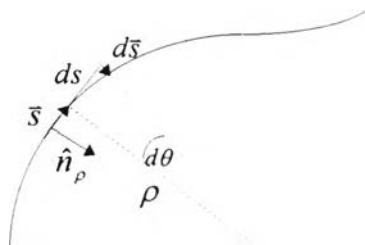
ซึ่งเมื่อแทนลงในสมการ (3.34ก) จะได้

$$\bar{H}_0 = \frac{k_0}{\omega\mu} n \hat{s} \times \bar{E}_0 = \frac{\hat{s} \times \bar{E}_0}{Z} \quad (3.47)$$

โดยที่ $Z = \sqrt{\mu/\varepsilon}$ คือ อิมพีแดนซ์ลักษณะสมบัติของตัวกลางในบริเวณการแผ่กระจายคลื่น

จากความสัมพันธ์ของ \bar{E}_0 , \bar{H}_0 และ \hat{s} ในสมการ (3.34ค) (3.34ง) และ (3.47) พบว่า สนามไฟฟ้าและสนามแม่เหล็กเนื่องจากกรณีทัศนศาสตร์เชิงเรขาคณิตนั้นสอดคล้องกับคุณสมบัติของคลื่นระนาบในตัวกลางแบบไม่มีการสูญเสีย และถ้าเป็นตัวกลางแบบมีการสูญเสีย \hat{s} จะมีทิศทางตามสมการ (3.37)

จากที่กล่าวมาในตัวกลางแบบไม่มีการสูญเสีย การเคลื่อนที่ของรังสีเป็นไปตาม \hat{s} ในสมการ (3.46) ซึ่งการเคลื่อนที่ของรังสีนั้นอาจจะเคลื่อนที่ไปตามเส้นทางใด ๆ ถ้าสมมุติว่าเส้นทางการเคลื่อนที่ของรังสีเป็นดังรูป 3.5 ซึ่งมีแนวการเคลื่อนที่เป็นเส้นโค้ง การบ่งบอกแนวการเคลื่อนที่ของรังสีก็สามารถทำได้โดยพิจารณาจากรัศมีความโค้งของรังสี



รูป 3.5 การพิจารณาเส้นทางการเคลื่อนที่ของรังสีใด ๆ จากรัศมีความโค้งของรังสี

จากรูป 3.5 ρ คือ รัศมีความโค้งของรังสี และ \hat{n}_ρ คือ เวกเตอร์หนึ่งหน่วยในทิศทางของรัศมีความโค้ง ดังนั้นจากแคลคูลัส (อรุณี, 2533)

$$\frac{d\hat{s}}{ds} = \frac{\hat{n}_\rho}{\rho}$$

และเนื่องจาก $\hat{s} \cdot \nabla \hat{s} = ds/ds$ และจากเอกลักษณ์เวกเตอร์ $\nabla(\vec{A} \cdot \vec{B}) \equiv (\vec{A} \cdot \nabla)\vec{B} + (\vec{B} \cdot \nabla)\vec{A} + \vec{B} \times (\nabla \times \vec{A})$ ทำให้ $\hat{s} \cdot \nabla \hat{s} = -\hat{s} \times (\nabla \times \hat{s})$ ดังนั้น

$$\frac{d\hat{s}}{ds} = -\hat{s} \times (\nabla \times \hat{s}) = \frac{\hat{n}_\rho}{\rho} \quad (3.48)$$

เมื่อแทน \hat{s} ในสมการ (3.46) ลงในสมการ (3.48) ใช้เอกลักษณ์เวกเตอร์ $\nabla \times (\Psi \vec{A}) \equiv \nabla \Psi \times \vec{A} + \Psi \nabla \times \vec{A}$ และ $\nabla \times \nabla \Psi \equiv 0$ และเนื่องจาก $\nabla \frac{1}{n} = -\frac{1}{n^2} \nabla n = -\frac{\nabla \ln n}{n}$ จะได้

$$\begin{aligned} \frac{\hat{n}_\rho}{\rho} &= -\hat{s} \times \left(\nabla \times \frac{\nabla \psi}{n} \right) = -\hat{s} \times \left(\nabla \frac{1}{n} \times \nabla \psi + \frac{1}{n} \nabla \times \nabla \psi \right) = -\hat{s} \times \left(\nabla \frac{1}{n} \times \nabla \psi \right) \\ &= -\hat{s} \times \left(-\frac{1}{n} \nabla \ln n \times \nabla \psi \right) = -\hat{s} \times (\hat{s} \times \nabla \ln n) \end{aligned}$$

จากเอกลักษณ์เวกเตอร์ $\vec{A} \times (\vec{B} \times \vec{C}) \equiv (\vec{A} \cdot \vec{C})\vec{B} - (\vec{A} \cdot \vec{B})\vec{C}$ ดังนั้น

$$\frac{\hat{n}_\rho}{\rho} = -(\hat{s} \cdot \nabla \ln n)\hat{s} + (\hat{s} \cdot \hat{s})\nabla \ln n = -(\hat{s} \cdot \nabla \ln n)\hat{s} + \nabla \ln n \quad (3.49)$$

ซึ่งทำการดำเนินการ $\hat{n}_\rho \cdot$ กับสมการ (3.49) และเนื่องจาก $\hat{n}_\rho \cdot \vec{r} = 0$ ดังนั้น

$$\frac{1}{\rho} = \hat{n}_\rho \cdot \nabla \ln n \quad (3.50)$$

เนื่องจากรัศมีความโค้งของรังสีเป็นค่าบวก เมื่อกำหนดให้ \hat{n}_ρ มีทิศทางเข้าหาศูนย์กลางความโค้ง ดังนั้นจากสมการ (3.50) อัตราการเปลี่ยนแปลงของดัชนีหักเหในทิศทางของรัศมีความโค้งจะต้องมีค่าเป็นบวกนั่นคือ รังสีจะมีทิศทางเบนเข้าหาตัวกลางที่มีดัชนีหักเหสูงกว่า และสำหรับในตัวกลางเอกพันธ์ดัชนีหักเหไม่ขึ้นอยู่กับองค์ประกอบเชิงตำแหน่ง ดังนั้น $\nabla \ln n = 0$ ทำให้รัศมีความโค้งของรังสีมีค่าเป็นอนันต์ หรือกล่าวได้ว่ารังสีเคลื่อนที่เป็นเส้นตรงในตัวกลางเอกพันธ์

การวิเคราะห์ข้างต้นพิจารณาตัวกลางแบบไอโซทรอปิกใด ๆ แต่ในการศึกษาพฤติกรรมคลื่นโดยส่วนใหญ่จะพิจารณาตัวกลางแบบไอโซทรอปิกที่เป็นตัวกลางเอกพันธ์และไม่มีการสูญเสีย รวมทั้งระบบสายอากาศชนิดจานสะท้อนเดี่ยวรูปพาราโบลิกก็ถูกนำมาใช้งานในอวกาศว่าง (free space) ก็เป็นตัวกลางแบบนี้ ซึ่งค่าสภาพยอมทางไฟฟ้าและค่าความซึมทางแม่เหล็กเป็นค่าคงที่ไม่ขึ้นกับองค์ประกอบเชิงตำแหน่ง ดังนั้นสมการที่ใช้ศึกษาการเคลื่อนที่ไปของคลื่นในตัวกลางดังสมการ (3.39) (3.44) และ (3.47) จะกลายเป็น

$$\nabla \psi \cdot \nabla \psi = n^2 = \frac{\mu \mathcal{E}}{\mu_0 \mathcal{E}_0} \quad (3.51ก)$$

$$(\nabla \psi \cdot \nabla) \vec{E}_0 + \frac{1}{2} \nabla^2 \psi \vec{E}_0 = 0 \quad (3.51ข)$$

$$\vec{H}_0 = \frac{\vec{s} \times \vec{E}_0}{Z} \quad (3.51ค)$$

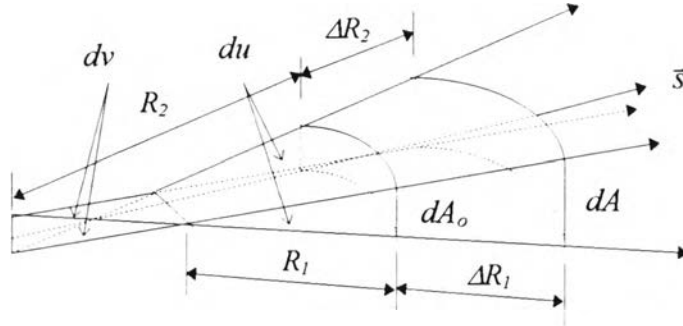
โดยที่ $\vec{s} = \nabla \psi / n$ และสำหรับตัวกลางแบบไม่สูญเสีย

$$\vec{E}_0 \times \vec{H}_0 = \frac{k_0}{\omega \mu} (\vec{E}_0 \cdot \vec{E}_0) \nabla \psi = \frac{(\vec{E}_0 \cdot \vec{E}_0) \vec{s}}{Z}$$

เนื่องจาก $\nabla \psi \cdot \nabla = n(\nabla \psi / n) \cdot \nabla = n \vec{s} \cdot \nabla = n d/ds$ เป็นอนุพันธ์ในทิศทางรังสี ดังนั้นสมการ (3.51ก) และ (3.51ข) เขียนใหม่ได้เป็น

$$\frac{d\psi}{ds} = n \quad (3.52ก)$$

$$n \frac{d\vec{E}_0}{ds} + \frac{1}{2} \nabla^2 \psi \vec{E}_0 = 0 \quad (3.52ข)$$



รูป 3.6 ล้ำรังสีที่ใช้แทนการเคลื่อนที่ไปของคลื่นในตัวกลางเอกพันธ์ที่ไม่มีการสูญเสีย

และเมื่ออินทิเกรตสมการ (3.52ก) และ (3.52ข) ตามเส้นทางการเคลื่อนที่ของรังสีจะได้

$$\psi(s) = \psi(s_0) + \int_{s_0}^s n ds = \psi(s_0) + n(s - s_0) \tag{3.53ก}$$

$$\bar{E}_0(s) = \bar{E}_0(s_0) \exp\left(-\frac{1}{2} \int_{s_0}^s \frac{\nabla^2 \psi}{n} ds\right) \tag{3.53ข}$$

จากรูป 3.6 การเคลื่อนที่ไปของคลื่นในตัวกลางเอกพันธ์ที่ไม่มีการสูญเสียสามารถแทนได้ด้วยล้ำรังสีเล็ก ๆ ซึ่งมี \bar{s} เป็นเวกเตอร์ที่บ่งบอกทิศทางการเคลื่อนที่ของรังสีอยู่ในแนวเส้นตรง เนื่องจากรังสีเคลื่อนที่เป็นเส้นตรงในตัวกลางเอกพันธ์ตามที่ได้กล่าวมาแล้ว และพื้นผิวเฟสคงที่หรือหน้าคลื่นใด ๆ ψ ของคลื่นถูกกำหนดโดยจุดบนพื้นที่ภาคตัดขวาง dA_0 ซึ่งมีรัศมีความโค้งหลักเป็น R_1 และ R_2 และมีค่าความโค้งแบบเกาส์ $K_1 = 1/R_1 R_2$ และพื้นผิวเฟสคงที่หรือหน้าคลื่น $\psi + \Delta\psi$ ใกล้เคียง ๆ ถูกกำหนดโดยจุดบนพื้นที่ภาคตัดขวาง dA ซึ่งมีรัศมีความโค้งหลักเป็น $R_1 + \Delta R_1$ และ $R_2 + \Delta R_2$ และมีค่าความโค้งแบบเกาส์ $K_2 = 1/(R_1 + \Delta R_1)(R_2 + \Delta R_2)$ ดังนั้นถ้ากำหนดให้ $\bar{F} = Kn\bar{s}$ จะได้

$$\oint \bar{F} \cdot d\bar{A} = \bar{F} \cdot \bar{s}|_{\psi+\Delta\psi} dA - \bar{F} \cdot \bar{s}|_{\psi} dA_0 = K_2 n (R_1 + \Delta R_1)(R_2 + \Delta R_2) du dv - K_1 n R_1 R_2 du dv = 0$$

โดยที่ dA คือ พื้นผิววงปิดซึ่งประกอบด้วยพื้นผิวด้านข้างทั้งสองด้านของล้ำรังสีและหน้าคลื่น ψ และ $\psi + \Delta\psi$ และจากทฤษฎีบทไดเวอร์เจนซ์จะได้ $\oint \bar{F} \cdot d\bar{A} = \int \nabla \cdot \bar{F} dV = 0$ ดังนั้น $\nabla \cdot \bar{F} = 0$ หรือ $\nabla \cdot Kn\bar{s} = Kn\nabla \cdot \bar{s} + \bar{s} \cdot \nabla Kn = 0$ ซึ่งจะได้

$$\nabla \cdot \bar{s} = -\frac{\bar{s} \cdot \nabla Kn}{Kn} = -\frac{1}{Kn} \frac{dKn}{ds} = -\frac{d \ln(Kn)}{ds}$$

เนื่องจาก $\nabla^2 \psi = \nabla \cdot \nabla \psi = \nabla \cdot n\bar{s}$ และสำหรับกรณีในตัวกลางเป็นสารเอกพันธ์ ดัชนีหักเห n มีค่าคงที่ไม่ขึ้นกับองค์ประกอบเชิงตำแหน่ง ดังนั้น

$$\nabla^2 \psi = n \nabla \cdot \bar{s} = -n \frac{d \ln(Kn)}{ds} = -n \frac{d \ln K}{ds} \quad (3.54)$$

ซึ่งเมื่อแทนลงในสมการ (3.53) จะได้

$$\begin{aligned} \bar{E}_0(s) &= \bar{E}_0(s_0) \exp\left(-\frac{1}{2} \int_{s_0}^s \frac{\nabla^2 \psi}{n} ds\right) = \bar{E}_0(s_0) \exp\left(\frac{1}{2} \int_{s_0}^s \frac{d \ln K}{ds} ds\right) \\ &= \bar{E}_0(s_0) \exp\left(\frac{1}{2} \int_{K(s_0)}^{K(s)} d \ln K\right) = \bar{E}_0(s_0) \exp\left(\frac{1}{2} [\ln K(s) - \ln K(s_0)]\right) \\ &= \bar{E}_0(s_0) \exp\left(\ln \sqrt{\frac{K(s)}{K(s_0)}}\right) = \bar{E}_0(s_0) \sqrt{\frac{K(s)}{K(s_0)}} \end{aligned} \quad (3.55)$$

และเมื่อแทนสมการ (3.55) และ (3.53) ลงในสมการ (3.27) โดยคิดเฉพาะพจน์แรกของอนุกรมจะได้

$$\begin{aligned} \bar{E}(s) &= \bar{E}_0(s) e^{-jk_0 \psi(s)} = \bar{E}_0(s_0) \sqrt{\frac{K(s)}{K(s_0)}} e^{-jk_0 \psi(s) - jk_0 n(s-s_0)} \\ &= \bar{E}_0(s_0) \sqrt{\frac{R_1 R_2}{(R_1 + \Delta R_1)(R_2 + \Delta R_2)}} e^{-jk_0 \psi(s) - jk_0 n(s-s_0)} \end{aligned} \quad (3.56)$$

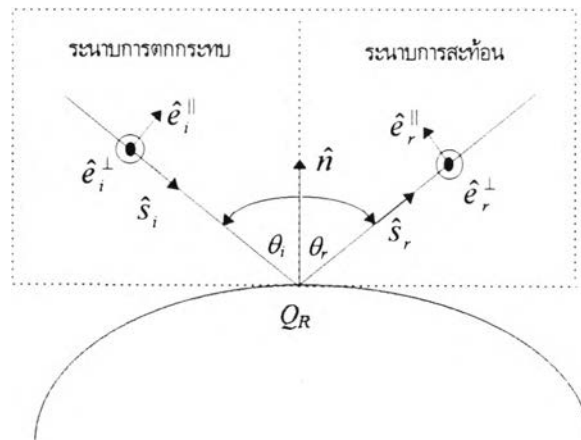
สมการ (3.56) คือ ผลเฉลยของสนามไฟฟ้าเนื่องจากการรวมวิถีทัศนศาสตร์เชิงเรขาคณิตในตัวกลางเอกพันธ์ที่ไม่มีการสูญเสีย ซึ่งสามารถนำมาใช้ในการอธิบายคลื่นที่แผ่กระจายไปในอวกาศว่างได้ เนื่องจากในอวกาศว่างเป็นสารเอกพันธ์ที่ไม่มีการสูญเสียโดยมีค่าดัชนีหักเหเป็นหนึ่ง และจากรูป 3.6 ถ้ากำหนดให้ตำแหน่งอ้างอิงอยู่ที่จุด Q ใด ๆ ที่ซึ่ง $s_0 = 0$ และเมื่อคลื่นเคลื่อนที่ไปเป็นระยะทาง $\Delta R_1 = \Delta R_2 = s$ ดังนั้นสนามไฟฟ้าที่แผ่พลังงานจากจุดอ้างอิง Q ใด ๆ เป็นดังสมการ (3.57)

$$\bar{E}(s) = \bar{E}(Q) \sqrt{\frac{R_1 R_2}{(R_1 + s)(R_2 + s)}} e^{-jk_0 s} \quad (3.57)$$

โดยที่ $\bar{E}(Q)$ คือ สนามไฟฟ้าที่จุดอ้างอิง Q ใด ๆ ซึ่งมีค่าเท่ากับ $\bar{E}_0(s_0 = 0) e^{-jk_0 \psi(0)}$ และเมื่อพิจารณาสมการ (3.57) เราพบว่า สนามไฟฟ้าที่แผ่พลังงานจากจุดอ้างอิงใด ๆ ไปยังจุดสังเกตนั้นมีการลดทอนเนื่องจากตัวประกอบการลดทอนเช่นเดียวกับในกรรมวิธีทัศนศาสตร์เชิงเรขาคณิตแบบดั้งเดิมซึ่งหาได้จากหลักการอนุรักษ์พลังงานภายในลำรังสีเล็ก ๆ แต่สมการ (3.57) สามารถบ่งบอกถึงโพลาริเซชันและเฟสของของคลื่นแม่เหล็กไฟฟ้าได้ โดยที่โพลาริเซชันของคลื่นเป็นไปตามโพลาริเซชันของคลื่นที่จุดอ้างอิงใด ๆ และเฟสของคลื่นแปรเปลี่ยนตามเอกซ์โพเนนเชียลฟังก์ชันของระยะทางที่รังสีเคลื่อนที่ แต่ในตัวกลางไม่เอกพันธ์ที่มีการสูญเสีย โพลาริเซชันของคลื่นจะเป็นไปตามสมการ (3.44) และ (3.45) และเฟสของคลื่นแปรเปลี่ยนตามเอกซ์โพเนนเชียลฟังก์ชันของพื้นผิว ψ และเมื่อพิจารณาสมการ (3.57) พบว่า ข้อเสียของกรรมวิธีทัศนศาสตร์เชิงเรขาคณิตคือไม่สามารถหาสนามไฟฟ้าที่จุดหรือแนวการตัดกันของรังสี (caustic) ซึ่งเกิดขึ้นเมื่อระยะทางที่รังสีเคลื่อนที่ s เท่ากับ $-R_1$ หรือ $-R_2$ ซึ่งทำให้ค่าปัจจัยการลดทอนมีค่าเป็นอนันต์ โดยถ้า $-R_2 < s < -R_1$ พจน์ $R_1 + s$ ในค่าปัจจัยการลดทอนจะเป็นลบทำให้

ค่าปัจจัยการลดทอนเป็นจำนวนจินตภาพแท้ ดังนั้นเมื่อคลื่นผ่านจุดหรือแนวการตัดกันของรังสีจะทำให้เฟสของคลื่นเปลี่ยนไป 90 องศา และเมื่อ $s < -R_2 < -R_1$ ทั้งเทอม R_1+s และ R_2+s จะเป็นลบดังนั้นเฟสของคลื่นก็จะเปลี่ยนไปอีก 90 องศา

จากกรรมวิธีทัศนศาสตร์เชิงเรขาคณิตข้างต้นเป็นการอธิบายถึงการเคลื่อนที่ไปของคลื่นในตัวกลางแบบต่าง ๆ โดยไม่ได้กล่าวถึงพฤติกรรมที่เกิดขึ้นที่ผิวรอยต่อ เช่น การสะท้อน และการหักเห ดังนั้นในการอธิบายพฤติกรรมดังกล่าวเพื่อหาสนามไฟฟ้าที่สะท้อนจากพื้นผิวงานสะท้อนมายังระนาบหน้างานของระบบสายอากาศชนิดงานสะท้อนเดี่ยวรูปพาราโบลิกสามารถทำได้โดยพิจารณาสนามเนื่องจากกรรมวิธีทัศนศาสตร์เชิงเรขาคณิตและเงื่อนไขขอบเขตที่ผิวรอยต่อ ซึ่งในกรณีตัวกลางแบบไอโซทรอปิกที่เป็นตัวกลางเอกพันธ์และไม่มีการสูญเสีย สนามไฟฟ้าและสนามแม่เหล็กเนื่องจากกรรมวิธีทัศนศาสตร์เชิงเรขาคณิตเคลื่อนที่ไปในลักษณะของคลื่นระนาบในทิศทางของรังสี ดังนั้นในการศึกษาพฤติกรรมการสะท้อนของคลื่นสามารถทำได้โดยสมมติให้สนามไฟฟ้าที่ตกกระทบที่จุด Q_R บนพื้นผิวสะท้อนเคลื่อนที่ไปในทิศทาง \hat{s}_i ซึ่งเป็นเวกเตอร์หนึ่งหน่วยในทิศทางของการตกกระทบและมีโพลาไรเซชันในทิศทาง \hat{e}_i^+ และ \hat{e}_i^{\parallel} ซึ่งเป็นเวกเตอร์หนึ่งหน่วยที่ตั้งฉากและขนานกับระนาบการตกกระทบ (plane of incidence) ที่ประกอบด้วยเวกเตอร์ \hat{s}_i กับเวกเตอร์ \hat{n} ซึ่งเป็นเวกเตอร์หนึ่งหน่วยที่ตั้งฉากกับพื้นผิวสะท้อนที่จุด Q_R โดยที่ไม่มีองค์ประกอบในแนวการเคลื่อนที่ดังรูป 3.7 และ \hat{s}_i , \hat{e}_i^+ และ \hat{e}_i^{\parallel} ถูกเลือกให้มีความสัมพันธ์ดังสมการ (3.58ก-ข)



รูป 3.7 ทิศทางและโพลาไรเซชันของสนามไฟฟ้าที่ตกกระทบและที่สะท้อนจากจุด Q_R บนพื้นผิวสะท้อน

$$\hat{e}_i^{\parallel} = \hat{e}_i^+ \times \hat{s}_i \quad (3.58ก)$$

และ

$$\hat{e}_i^+ = \frac{\hat{n} \times \hat{s}_i}{|\hat{n} \times \hat{s}_i|} \quad (3.58ข)$$

ดังนั้นสนามไฟฟ้าที่ตกกระทบที่จุด Q_R สามารถเขียนอยู่ในรูปของสมการได้เป็น

$$\bar{E}^i(Q_R) = [\bar{E}^i(Q_R) \cdot \hat{e}_i^+] \hat{e}_i^+ + [\bar{E}^i(Q_R) \cdot \hat{e}_i^{\parallel}] \hat{e}_i^{\parallel} \quad (3.59)$$

และถ้าสมมติว่าสนามไฟฟ้าที่สะท้อนที่จุด Q_R เกิดจากสนามไฟฟ้าที่ตกกระทบที่จุด Q_R คูณกับสัมประสิทธิ์การสะท้อนแบบไดแอดิก \vec{R} (dyadic reflection coefficient) ซึ่งสอดคล้องกับเงื่อนไขขอบเขตบนพื้นผิวสะท้อน ดังนั้น

$$\vec{E}^r(Q_R) = \vec{E}^i(Q_R) \cdot \vec{R} \quad (3.60)$$

ในทำนองเดียวกันกับสนามไฟฟ้าที่ตกกระทบที่จุด Q_R สนามไฟฟ้าที่สะท้อนจากจุด Q_R ก็จะเคลื่อนที่ออกไปในลักษณะของคลื่นระนาบในทิศทางที่กำหนดโดย \hat{s}_r ซึ่งเป็นเวกเตอร์หนึ่งหน่วยในทิศทางของการสะท้อนและมีโพลาไรเซชันในทิศทาง \hat{e}_r^\perp และ \hat{e}_r^\parallel ซึ่งเป็นเวกเตอร์หนึ่งหน่วยที่ตั้งฉากและขนานกับระนาบการสะท้อนที่ประกอบด้วยเวกเตอร์ \hat{s}_r กับเวกเตอร์ \hat{n} ซึ่งเป็นเวกเตอร์หนึ่งหน่วยที่ตั้งฉากกับพื้นผิวสะท้อนที่จุด Q_R และจากหลักการของแฟร์มาต์พบว่า \hat{s}_r วางตัวอยู่ในระนาบการสะท้อน (plane of reflection) ซึ่งเป็นระนาบเดียวกับระนาบการตกกระทบดังรูป 3.7 และ \hat{s}_r , \hat{e}_r^\perp และ \hat{e}_r^\parallel ถูกเลือกให้มีความสัมพันธ์ดังสมการ (3.61ก-ข)

$$\hat{e}_r^\parallel = \hat{e}_r^\perp \times \hat{s}_r \quad (3.61ก)$$

และ

$$\hat{e}_r^\perp = \frac{\hat{n} \times \hat{s}_r}{|\hat{n} \times \hat{s}_r|} \quad (3.61ข)$$

ดังนั้นสนามไฟฟ้าสะท้อนที่จุด Q_R เป็น

$$\vec{E}^r(Q_R) = [\vec{E}^i(Q_R) \cdot \hat{e}_r^\perp] \hat{e}_r^\perp + [\vec{E}^i(Q_R) \cdot \hat{e}_r^\parallel] \hat{e}_r^\parallel \quad (3.62)$$

จากสนามไฟฟ้าตกกระทบดังสมการ (3.59) และสนามไฟฟ้าสะท้อนดังสมการ (3.62) เมื่อแทนลงในสมการ (3.60) ทำให้สัมประสิทธิ์การสะท้อนแบบไดแอดิกที่สอดคล้องเป็นดังสมการ (3.63)

$$\vec{R} = R_s \hat{e}_r^\perp \hat{e}_r^\perp + R_h \hat{e}_r^\parallel \hat{e}_r^\parallel \quad (3.63)$$

โดยที่ R_h คือ สัมประสิทธิ์การสะท้อนเนื่องจากสนามไฟฟ้าตกกระทบที่มีโพลาไรเซชันในทิศที่ขนานกับระนาบการตกกระทบ (hard polarization) และ R_s คือ สัมประสิทธิ์การสะท้อนเนื่องจากสนามไฟฟ้าตกกระทบที่มีโพลาไรเซชันในทิศที่ตั้งฉากกับระนาบการตกกระทบ (soft polarization) เมื่อแทนสมการ (3.63) ลงในสมการ (3.60) จะได้

$$\vec{E}^r(Q_R) = \vec{E}^i(Q_R) \cdot [R_s \hat{e}_r^\perp \hat{e}_r^\perp + R_h \hat{e}_r^\parallel \hat{e}_r^\parallel] = [\vec{E}^i(Q_R) \cdot \hat{e}_r^\perp] R_s \hat{e}_r^\perp + [\vec{E}^i(Q_R) \cdot \hat{e}_r^\parallel] R_h \hat{e}_r^\parallel \quad (3.64)$$

เมื่อเปรียบเทียบสนามไฟฟ้าสะท้อนจากสมการ (3.62) กับ (3.64) จะได้

$$\vec{E}^r(Q_R) \cdot \hat{e}_r^\perp = \vec{E}^i(Q_R) \cdot \hat{e}_r^\perp R_s \quad (3.65ก)$$

และ
$$\bar{E}'(Q_R) \cdot \hat{e}_r^{\parallel} = \bar{E}'(Q_R) \cdot \hat{e}_i^{\parallel} R_n \quad (3.65\text{ข})$$

โดยที่สัมประสิทธิ์การสะท้อนสามารถหาได้จากเงื่อนไขขอบเขตที่พื้นผิวสะท้อน และสำหรับในระบบสายอากาศชนิดจานสะท้อนเดี่ยวรูปพาราโบลิกพื้นผิวสะท้อนเป็นตัวนำสมบูรณ์ ดังนั้นจากเงื่อนไขขอบเขตสนามไฟฟ้าในแนวขนานกับพื้นผิวรอยต่อต้องต่อเนื่องระหว่างพื้นผิวทั้งสอง และเนื่องจากไม่มีสนามไฟฟ้าในบริเวณพื้นผิวจานสะท้อนที่เป็นตัวนำสมบูรณ์ ทำให้ไม่มีสนามไฟฟ้ารวมในแนวขนานที่บริเวณเหนือพื้นผิวสะท้อนตามเงื่อนไขขอบเขต ดังนั้นที่จุด Q_R ใด ๆ บนพื้นผิวจานสะท้อน สนามไฟฟ้ารวมในแนวขนานซึ่งประกอบด้วยสนามไฟฟ้าตกกระทบและสนามไฟฟ้าสะท้อนในแนวขนานจะเป็นศูนย์ ดังนั้น

$$\hat{n} \times [\bar{E}'(Q_R) + \bar{E}''(Q_R)] = 0 \quad (3.66)$$

และเมื่อแทนสมการ (3.59) และ (3.62) ลงในสมการ (3.66) จะได้

$$[\bar{E}'(Q_R) \cdot \hat{e}_i^{\perp}] \hat{n} \times \hat{e}_i^{\perp} + [\bar{E}'(Q_R) \cdot \hat{e}_i^{\parallel}] \hat{n} \times \hat{e}_i^{\parallel} + [\bar{E}''(Q_R) \cdot \hat{e}_r^{\perp}] \hat{n} \times \hat{e}_r^{\perp} + [\bar{E}''(Q_R) \cdot \hat{e}_r^{\parallel}] \hat{n} \times \hat{e}_r^{\parallel} = 0 \quad (3.67)$$

เนื่องจาก $\hat{n} \times \hat{e}_i^{\parallel} = -\hat{n} \times \hat{e}_r^{\parallel} = \hat{e}_i^{\perp} = \hat{e}_r^{\perp}$ เป็นเวกเตอร์ที่ขนานกับพื้นผิวดำนำสมบูรณ์ในระนาบที่ตั้งฉากกับระนาบการตกกระทบ และ $\hat{n} \times \hat{e}_i^{\perp} = \hat{n} \times \hat{e}_r^{\perp}$ เป็นเวกเตอร์ที่ขนานกับพื้นผิวดำนำสมบูรณ์ในระนาบการตกกระทบ ดังนั้นจากสมการ (3.67) เมื่อพิจารณาองค์ประกอบในแนวขนานกับพื้นผิวดำนำสมบูรณ์ในแต่ละระนาบจะได้

$$\bar{E}'(Q_R) \cdot \hat{e}_i^{\perp} + \bar{E}''(Q_R) \cdot \hat{e}_r^{\perp} = 0 \quad (3.68\text{ก})$$

และ
$$\bar{E}'(Q_R) \cdot \hat{e}_i^{\parallel} - \bar{E}''(Q_R) \cdot \hat{e}_r^{\parallel} = 0 \quad (3.68\text{ข})$$

เมื่อแทนสมการ (3.65ก-ข) ลงในสมการ (3.68ก-ข) ทำให้ได้

$$\bar{E}'(Q_R) \cdot \hat{e}_i^{\perp} + \bar{E}'(Q_R) \cdot \hat{e}_i^{\perp} R_s = 0 \quad (3.69\text{ก})$$

และ
$$\bar{E}'(Q_R) \cdot \hat{e}_i^{\parallel} - \bar{E}'(Q_R) \cdot \hat{e}_i^{\parallel} R_n = 0 \quad (3.69\text{ข})$$

ดังนั้น $R_s = -1$ และ $R_n = 1$ ซึ่งเมื่อแทนลงในสมการ (3.64) จะได้

$$\bar{E}''(Q_R) = \bar{E}'(Q_R) \cdot [-\hat{e}_i^{\perp} \hat{e}_r^{\perp} + \hat{e}_i^{\parallel} \hat{e}_r^{\parallel}] \quad (3.70)$$

สมการ (3.70) แสดงถึงสนามไฟฟ้าสะท้อนที่จุด Q_R บนพื้นผิวดำนำสมบูรณ์โดยอธิบายจากค่าสัมประสิทธิ์การสะท้อน และจากเงื่อนไขขอบเขตสามารถหาสนามไฟฟ้าสะท้อนที่จุด Q_R ได้โดยหักองค์ประกอบในแนวตั้งฉากกับพื้นผิวดำนำสมบูรณ์ของสนามไฟฟ้ารวมออกทำให้เหลือเพียงองค์ประกอบในแนวขนานกับพื้นผิวดำนำสมบูรณ์ดังสมการ (3.71)

$$[\bar{E}'(Q_R) - (\bar{E}'(Q_R) \cdot \hat{n})\hat{n}] + [\bar{E}'(Q_R) - (\bar{E}'(Q_R) \cdot \hat{n})\hat{n}] = 0 \quad (3.71)$$

จากสมการ (3.59) และ (3.70) จะพบว่า

$$\hat{n} \cdot [\bar{E}'(Q_R) - \bar{E}'(Q_R)] = \bar{E}'(Q_R) \cdot \hat{e}_i^{\parallel} [\hat{n} \cdot \hat{e}_i^{\parallel} - \hat{n} \cdot \hat{e}_r^{\parallel}]$$

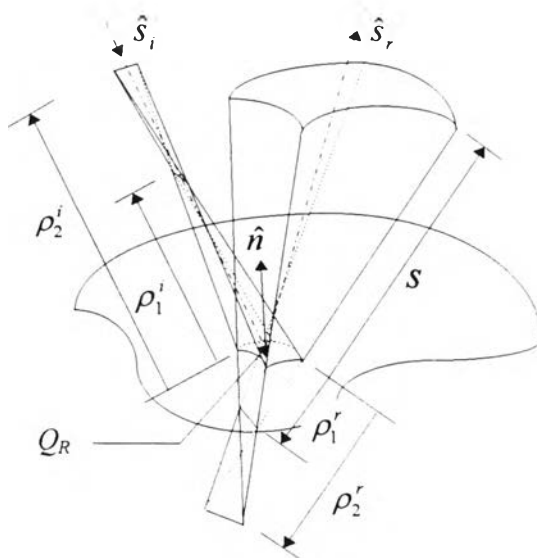
และจากสมการ (3.58n) และ (3.61n) จะได้ $\hat{n} \cdot [\bar{E}'(Q_R) - \bar{E}'(Q_R)] = \bar{E}'(Q_R) \cdot \hat{e}_i^{\parallel} [\hat{n} \cdot (\hat{e}_i^{\perp} \times \hat{s}_i) - \hat{n} \cdot (\hat{e}_r^{\perp} \times \hat{s}_r)]$ และจากสมการ (3.58ข) (3.61ข) และเอกลักษณ์เวกเตอร์ $(\bar{A} \times \bar{B}) \cdot \bar{C} \equiv (\bar{C} \times \bar{A}) \cdot \bar{B} \equiv (\bar{B} \times \bar{C}) \cdot \bar{A}$ จะได้

$$\hat{n} \cdot [\bar{E}'(Q_R) - \bar{E}'(Q_R)] = \bar{E}'(Q_R) \cdot \hat{e}_i^{\parallel} [-(\hat{e}_i^{\perp} \cdot \hat{e}_i^{\perp})|\hat{s}_i \times \hat{n}| + (\hat{e}_r^{\perp} \cdot \hat{e}_r^{\perp})|\hat{s}_r \times \hat{n}|]$$

จากหลักการของแฟร์มาต์หรือกฎการสะท้อนของสเนลล์ $|\hat{s}_i \times \hat{n}| = |\hat{s}_r \times \hat{n}|$ ทำให้ $\bar{E}'(Q_R) \cdot \hat{n} = \bar{E}'(Q_R) \cdot \hat{n}$ ซึ่งเมื่อแทนลงในสมการ (3.71) สนามไฟฟ้าสะท้อนที่จุด Q_R บนพื้นผิวตัวนำสมบูรณ์จะเป็น

$$\bar{E}'(Q_R) = -\bar{E}'(Q_R) + 2(\bar{E}'(Q_R) \cdot \hat{n})\hat{n} \quad (3.72)$$

สมการ (3.70) และ (3.72) แสดงถึงสนามไฟฟ้าสะท้อนที่จุด Q_R ซึ่งจากการมวธิทัศน์ศาสตร์เชิงเรขาคณิต ถ้าสมมุติว่าจุด Q_R เป็นจุดอ้างอิงของสนามไฟฟ้าสะท้อนจากพื้นผิวสะท้อนและการเคลื่อนที่ไปของสนามไฟฟ้าสะท้อนแทนด้วยลำรังสี ดังรูป 3.8 ดังนั้นสนามไฟฟ้าสะท้อนที่จุดสังเกตใด ๆ เป็นดังสมการ (3.73ก-ข)



รูป 3.8 ลำรังสีที่ใช้แทนหน้าคลื่นและการเคลื่อนที่ไปของสนามตกกระทบและสนามสะท้อนที่พื้นผิวสะท้อนในตัวกลางเอกพันธ์ที่ไม่มีการสูญเสีย

$$\bar{E}'(s) = \bar{E}'(Q_R) \cdot [-\hat{e}_i^{\perp} \hat{e}_r^{\perp} + \hat{e}_i^{\parallel} \hat{e}_r^{\parallel}] \sqrt{\frac{\rho_1^i \rho_2^i}{(\rho_1^i + s)(\rho_2^i + s)}} e^{-jk_r s} \quad (3.73ก)$$

หรือ

$$\bar{E}'(s) = \left[-\bar{E}'(Q_R) + 2(\bar{E}'(Q_R) \cdot \hat{n})\hat{n} \right] \sqrt{\frac{\rho_1' \rho_2'}{(\rho_1' + s)(\rho_2' + s)}} e^{-jk_0 s} \quad (3.73ข)$$

โดยที่ ρ_1', ρ_2' คือ รัศมีความโค้งหลักของหน้าคลื่นสะท้อนที่จุดสะท้อน ซึ่งมีความสัมพันธ์กับรัศมีความโค้งหลักของหน้าคลื่นตกกระทบที่จุดสะท้อนดังแสดงไว้ในภาคผนวก ข. เป็น

$$\frac{1}{\rho_{1,2}'} = \frac{1}{2} \left(\frac{1}{\rho_1'} + \frac{1}{\rho_2'} \right) + \frac{1}{f_{1,2}} \quad (3.74)$$

โดยที่ ρ_1', ρ_2' คือ รัศมีความโค้งหลักของหน้าคลื่นตกกระทบที่จุดสะท้อน และ f_1, f_2 คือ ระยะโฟกัสซึ่งขึ้นอยู่กับหน้าคลื่นของคลื่นตกกระทบและค่าปัจจัยต่าง ๆ ของพื้นผิวสะท้อนที่จุดสะท้อนดังสมการ (3.75)

$$\begin{aligned} \frac{1}{f_{1,2}} = & \frac{\cos \theta_i}{|\Theta|^2} \left(\frac{\Theta_{22}^2 + \Theta_{12}^2}{R_1} + \frac{\Theta_{21}^2 + \Theta_{11}^2}{R_2} \right) \\ & \pm \frac{1}{2} \left\{ \left[\left(\frac{1}{\rho_1'} - \frac{1}{\rho_2'} \right)^2 + \left(\frac{1}{\rho_1'} - \frac{1}{\rho_2'} \right) \frac{4 \cos \theta_i}{|\Theta|^2} \left(\frac{\Theta_{22}^2 - \Theta_{12}^2}{R_1} + \frac{\Theta_{21}^2 - \Theta_{11}^2}{R_2} \right) \right]^{1/2} \right. \\ & \left. + \frac{4 \cos^2 \theta_i}{|\Theta|^4} \left[\left(\frac{\Theta_{22}^2 + \Theta_{12}^2}{R_1} + \frac{\Theta_{21}^2 + \Theta_{11}^2}{R_2} \right)^2 - \frac{4|\Theta|^2}{R_1 R_2} \right] \right\} \end{aligned} \quad (3.75)$$

ในสมการ (3.75) เครื่องหมายบวกใช้สำหรับ f_1 เครื่องหมายลบใช้สำหรับ f_2 และ R_1, R_2 คือ รัศมีความโค้งหลักของพื้นผิวสะท้อนที่จุดสะท้อน และ $|\Theta|$ คือ ค่าดีเทอร์มิแนนต์ของเมตริกซ์ Θ กำหนดดังสมการ (3.76)

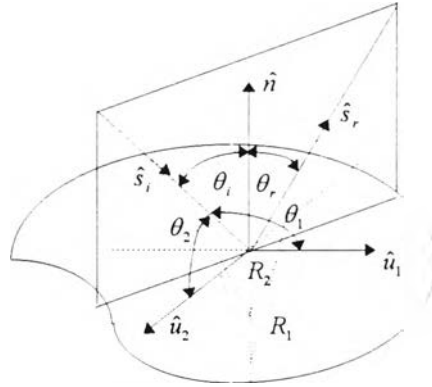
$$\Theta = \begin{bmatrix} \hat{X}'_1 \cdot \hat{u}_1 & \hat{X}'_1 \cdot \hat{u}_2 \\ \hat{X}'_2 \cdot \hat{u}_1 & \hat{X}'_2 \cdot \hat{u}_2 \end{bmatrix} \quad (3.76)$$

โดยที่สมาชิกของเมตริกซ์ Θ คือ $\Theta_{jk} = \hat{X}'_j \cdot \hat{u}_k$ และเวกเตอร์ \hat{X}'_1, \hat{X}'_2 คือ เวกเตอร์หนึ่งหน่วยในทิศทางหลักของหน้าคลื่นตกกระทบที่จุดสะท้อนมีความสัมพันธ์กับเวกเตอร์หนึ่งหน่วยในทิศทางการตกกระทบ \hat{s}_i ดังสมการ (3.77) และ \hat{u}_1, \hat{u}_2 คือ เวกเตอร์หนึ่งหน่วยในทิศทางหลักของพื้นผิวสะท้อนมีความสัมพันธ์กับเวกเตอร์หนึ่งหน่วยที่ตั้งฉากกับพื้นผิวสะท้อนและมีทิศทางพุ่งออกจากศูนย์กลางความโค้ง \hat{n} ดังสมการ (3.78)

$$\hat{s}_i = \hat{X}'_2 \times \hat{X}'_1 \quad (3.77)$$

$$\hat{n} = \hat{u}_2 \times \hat{u}_1 \quad (3.78)$$

และ θ คือ มุมระหว่างเวกเตอร์ในทิศทางการตกกระทบ \hat{s}_i กับเวกเตอร์หนึ่งหน่วย \hat{n} ดังรูป 3.9 และในสมการ (3.75) ค่า $\Theta_{11}^2 + \Theta_{21}^2$, $\Theta_{12}^2 + \Theta_{22}^2$ และ $|\Theta| = \Theta_{11}\Theta_{22} - \Theta_{21}\Theta_{12}$ สามารถพิจารณาได้จาก $\hat{s}_i \times \hat{n}_1$, $\hat{s}_i \times \hat{n}_2$ และ $(\hat{s}_i \times \hat{n}_1) \times (\hat{s}_i \times \hat{n}_2)$ ดังนี้



รูป 3.9 ค่าปัจจัยทางเรขาคณิตต่าง ๆ บนพื้นผิวสะท้อนเพื่อใช้หาค่าสัมประสิทธิ์ความโค้งหลักของหน้าคลื่นสะท้อนที่จุดสะท้อน

$$\begin{aligned}\hat{s}_i \times \hat{n}_1 &= (\hat{X}'_2 \times \hat{X}'_1) \times \hat{n}_1 = -\hat{n}_1 \times (\hat{X}'_2 \times \hat{X}'_1) \\ &= -(\hat{n}_1 \cdot \hat{X}'_1) \hat{X}'_2 + (\hat{n}_1 \cdot \hat{X}'_2) \hat{X}'_1 = -\Theta_{11} \hat{X}'_2 + \Theta_{21} \hat{X}'_1\end{aligned}\quad (3.79n)$$

$$\begin{aligned}\hat{s}_i \times \hat{n}_2 &= (\hat{X}'_2 \times \hat{X}'_1) \times \hat{n}_2 = -\hat{n}_2 \times (\hat{X}'_2 \times \hat{X}'_1) \\ &= -(\hat{n}_2 \cdot \hat{X}'_1) \hat{X}'_2 + (\hat{n}_2 \cdot \hat{X}'_2) \hat{X}'_1 = -\Theta_{12} \hat{X}'_2 + \Theta_{22} \hat{X}'_1\end{aligned}\quad (3.79ข)$$

ดังนั้น $|\hat{s}_i \times \hat{n}_1|^2 = |\hat{s}_i|^2 |\hat{n}_1|^2 \sin^2 \theta_1 = \sin^2 \theta_1 = \Theta_{11}^2 + \Theta_{21}^2$ โดยที่ θ_1 คือ มุมระหว่างเวกเตอร์หนึ่งหน่วยในทิศทางการตกกระทบ \hat{s}_i กับเวกเตอร์หนึ่งหน่วยในทิศทางการหักเหของพื้นผิวสะท้อน \hat{n}_1 และ $|\hat{s}_i \times \hat{n}_2|^2 = |\hat{s}_i|^2 |\hat{n}_2|^2 \sin^2 \theta_2 = \sin^2 \theta_2 = \Theta_{12}^2 + \Theta_{22}^2$ โดยที่ θ_2 คือ มุมระหว่างเวกเตอร์หนึ่งหน่วยในทิศทางการตกกระทบ \hat{s}_i กับเวกเตอร์หนึ่งหน่วยในทิศทางการหักเหของพื้นผิวสะท้อน \hat{n}_2 และสำหรับ $|\Theta| = \Theta_{11}\Theta_{22} - \Theta_{21}\Theta_{12}$ พิจารณาได้จาก

$$(\hat{s}_i \times \hat{n}_1) \times (\hat{s}_i \times \hat{n}_2) = [(\hat{s}_i \times \hat{n}_1) \cdot \hat{n}_2] \hat{s}_i - [(\hat{s}_i \times \hat{n}_1) \cdot \hat{s}_i] \hat{n}_2$$

จากเอกลักษณ์เวกเตอร์ $(\vec{A} \times \vec{B}) \cdot \vec{C} \equiv (\vec{C} \times \vec{A}) \cdot \vec{B} \equiv (\vec{B} \times \vec{C}) \cdot \vec{A}$ จะได้

$$(\hat{s}_i \times \hat{n}_1) \times (\hat{s}_i \times \hat{n}_2) = [(\hat{n}_1 \times \hat{n}_2) \cdot \hat{s}_i] \hat{s}_i - [(\hat{s}_i \times \hat{s}_i) \cdot \hat{n}_1] \hat{n}_2 = (-\hat{n} \cdot \hat{s}_i) \hat{s}_i \quad (3.80)$$

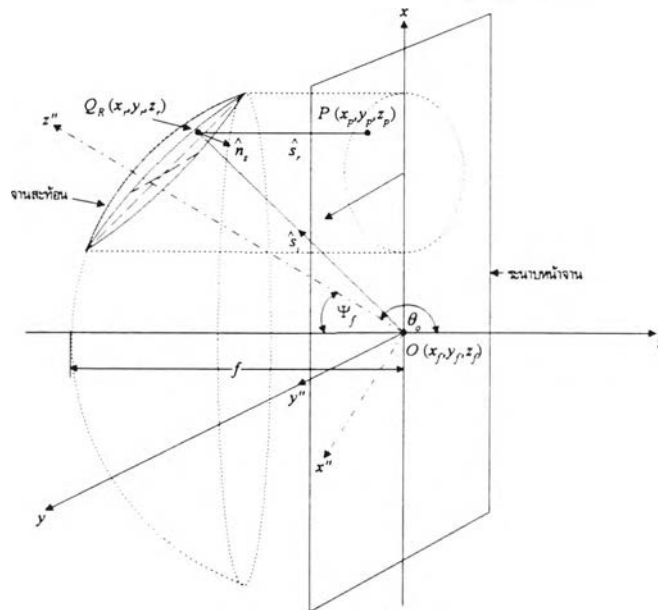
และจากสมการ (3.79ก-ข)

$$(\hat{s}_i \times \hat{n}_1) \times (\hat{s}_i \times \hat{n}_2) = (-\Theta_{11} \hat{X}'_2 + \Theta_{21} \hat{X}'_1) \times (-\Theta_{12} \hat{X}'_2 + \Theta_{22} \hat{X}'_1) = (\Theta_{21}\Theta_{12} - \Theta_{11}\Theta_{22}) \hat{s}_i \quad (3.81)$$

ดังนั้นจากสมการ (3.80) และ (3.81) $|\Theta|^2 = |(\hat{s}_i \times \hat{u}_1) \times (\hat{s}_i \times \hat{u}_2)|^2 = (\Theta_{11}\Theta_{22} - \Theta_{21}\Theta_{12})^2 = (-\hat{n} \cdot \hat{s}_i)^2 = \cos^2 \theta_i$ ซึ่งเมื่อแทนลงในสมการ (3.75) จะได้

$$\frac{1}{f_{1,2}} = \frac{1}{\cos \theta_i} \left(\frac{\sin^2 \theta_2}{R_1} + \frac{\sin^2 \theta_1}{R_2} \right) \pm \frac{1}{2} \left\{ \left[\left(\frac{1}{\rho_1'} - \frac{1}{\rho_2'} \right)^2 + \left(\frac{1}{\rho_1'} - \frac{1}{\rho_2'} \right) \cos \theta_i \left(\frac{\Theta_{22}^2 - \Theta_{12}^2}{R_1} + \frac{\Theta_{21}^2 - \Theta_{11}^2}{R_2} \right) + 4 \left[\frac{1}{\cos^2 \theta_i} \left(\frac{\sin^2 \theta_2}{R_1} + \frac{\sin^2 \theta_1}{R_2} \right)^2 - \frac{4}{R_1 R_2} \right] \right] \right\}^{1/2} \quad (3.82)$$

จากข้างต้นสนามไฟฟ้าที่สะท้อนจากพื้นผิวสะท้อนตัวนำสมบูรณ์รูปร่างใด ๆ สามารถหาได้จากสมการ (3.73ก) หรือ (3.73ข) ดังนั้นสามารถนำสมการทั้งสองมาใช้หาสนามไฟฟ้าบนระนาบหน้างานของระบบสายอากาศชนิดงานสะท้อนเดี่ยวรูปพาราโบลิกที่สะท้อนจากพื้นผิวสะท้อนตัวนำสมบูรณ์รูปพาราโบลิกดังรูป 3.10 ได้ โดยสมมุติว่าสายอากาศป้อนกำลังคลื่นอยู่ที่จุด $O(x_f, y_f, z_f)$ และสนามไฟฟ้าบนระนาบหน้างานที่ต้องการหาอยู่ที่จุด $P(x_p, y_p, z_p)$



รูป 3.10 การหาสนามไฟฟ้าบนระนาบหน้างานของระบบสายอากาศชนิดงานสะท้อนเดี่ยวรูปพาราโบลิก

เมื่อพิจารณาสมการ (3.73ก) และ (3.73ข) พบว่า สนามไฟฟ้าที่สะท้อนจากพื้นผิวรูปพาราโบลิกมายังจุดสังเกต $P(x_p, y_p, z_p)$ ใด ๆ บนระนาบหน้างานนั้น ขึ้นอยู่กับสนามไฟฟ้าจากสายอากาศป้อนกำลังคลื่นที่ตกกระทบที่จุดสะท้อน $Q_R(x_r, y_r, z_r)$ บนพื้นผิวสะท้อนรูปพาราโบลิก โดยจุดสะท้อน $Q_R(x_r, y_r, z_r)$ นี้เป็นจุดที่สอดคล้องกับเงื่อนไขการสะท้อนคือ

1. มุมตกกระทบเท่ากับมุมสะท้อน ซึ่งจากรูป 3.10 จะได้

$$\hat{s}_i \cdot \hat{n}_s = -\hat{s}_r \cdot \hat{n}_s \quad (3.83ก)$$

โดยที่ \hat{n}_s คือ เวกเตอร์หนึ่งหน่วยที่ตั้งฉากกับพื้นผิวสะท้อนรูปพาราโบลิกที่จุดสะท้อน Q_R และมีทิศทางพุ่งเข้าหารังสีตกกระทบ

2 เวกเตอร์หนึ่งหน่วยในทิศทางตกกระทบ \hat{s}_i , เวกเตอร์หนึ่งหน่วยในทิศทางสะท้อน \hat{s}_r , และเวกเตอร์หนึ่งหน่วยที่ตั้งฉากกับพื้นผิวสะท้อนที่จุดสะท้อน $Q_R(x_r, y_r, z_r)$ ต้องวางตัวอยู่ในระนาบเดียวกันซึ่งก็คือ ระนาบการตกกระทบ ดังนั้น

$$\hat{s}_i \cdot (\hat{n}_s \times \hat{s}_r) = \hat{s}_r \cdot (\hat{n}_s \times \hat{s}_i) = 0 \quad (3.83ข)$$

และเนื่องจากพื้นผิวรูปพาราโบลิกมีสมการพื้นผิวเป็นดังสมการ (2.3ข) และในวิทยานิพนธ์นี้สายอากาศป้อนกำลังคลื่นวางอยู่ที่จุดโฟกัสของจานสะท้อนรูปพาราโบลิก ($x_f = 0, y_f = 0, z_f = 0$) ดังนั้น \hat{s}_i, \hat{s}_r และ \hat{n}_s แสดงอยู่ในรูปของเวกเตอร์หนึ่งหน่วย $\vec{a}_x, \vec{a}_y, \vec{a}_z$ ของระบบพิกัดจานสะท้อน xyz เป็น

$$\hat{s}_i = \frac{x_r \vec{a}_x + y_r \vec{a}_y + \left(\frac{x_r^2 + y_r^2}{4f} - f \right) \vec{a}_z}{\sqrt{x_r^2 + y_r^2 + \left(\frac{x_r^2 + y_r^2}{4f} - f \right)^2}} \quad (3.84ก)$$

$$\hat{s}_r = \frac{(x_p - x_r) \vec{a}_x + (y_p - y_r) \vec{a}_y + \left[z_p - \left(\frac{x_r^2 + y_r^2}{4f} - f \right) \right] \vec{a}_z}{\sqrt{(x_p - x_r)^2 + (y_p - y_r)^2 + \left[z_p - \left(\frac{x_r^2 + y_r^2}{4f} - f \right) \right]^2}} \quad (3.84ข)$$

และ

$$\hat{n}_s = \frac{-x_r \vec{a}_x - y_r \vec{a}_y + 2f \vec{a}_z}{\sqrt{x_r^2 + y_r^2 + 4f^2}} \quad (3.84ค)$$

โดยที่ f คือ ระยะโฟกัสของระบบสายอากาศชนิดจานสะท้อนรูปพาราโบลิก

จากเงื่อนไขการสะท้อนดังสมการ (3.83ก) และ (3.83ข) เป็นสมการแบบไม่เชิงเส้น (nonlinear equation) ที่ประกอบด้วยตัวแปรที่ไม่ทราบค่า 2 ตัวแปรคือ x_r, y_r ซึ่งในการแก้หา x_r, y_r สามารถทำได้โดยใช้กรรมวิธีเชิงเลข สำหรับในวิทยานิพนธ์นี้ได้ใช้วิธีการของนิวตัน-ราฟสัน (Newton-Raphson method) (R. L. Burden and J. D. Faires, 1993) จากฟังก์ชัน `fsolve` ของโปรแกรม MATLAB มาแก้หา x_r, y_r ดังกล่าว โดยกำหนดให้ทำการวนซ้ำมากที่สุด 60 ครั้ง และมีความแม่นยำอยู่ในเกณฑ์ 10^{-10} ก็จะได้ตำแหน่งของจุดสะท้อน $Q_R = \left(x_r, y_r, z_r = \frac{x_r^2 + y_r^2}{4f} - f \right)$

ค่า x_r, y_r ของจุดสะท้อนที่หาได้ต้องมีกรตรวจสอบว่าอยู่ในขอบเขตของพื้นผิวสะท้อนรูปพาราโบลิก สำหรับระบบสายอากาศชนิดจานสะท้อนเดี่ยวรูปพาราโบลิกแบบสมมาตรที่จานสะท้อนมีขนาดเส้นผ่านศูนย์กลางเท่ากับ D ดังรูป 2.8 ตำแหน่ง x_r, y_r ที่คำนวณได้ต้องอยู่ในขอบเขตภาพฉายของจานสะท้อนรูปพาราโบลิกแบบสมมาตร ซึ่งในวิทยานิพนธ์นี้ตรวจสอบจากเงื่อนไขดังสมการ (3.85)

$$\left| x_r^2 + y_r^2 - \left(\frac{D}{2}\right)^2 \right| \leq 10^{-10} \quad (3.85)$$

และสำหรับระบบสายอากาศชนิดจานสะท้อนเดี่ยวรูปพาราโบลิคแบบไม่สมมาตรที่ภาพฉายของจานสะท้อนมีขนาดเส้นผ่านศูนย์กลางเท่ากับ D ดังรูป 2.9 ตำแหน่ง x_r, y_r ที่คำนวณได้ต้องอยู่ในขอบเขตภาพฉายของจานสะท้อนรูปพาราโบลิคแบบไม่สมมาตร ซึ่งในวิทยานิพนธ์นี้ตรวจสอบจากเงื่อนไขดังสมการ (3.86)

$$\left| \left[x_r - \left(\frac{D}{2} + h\right) \right]^2 + y_r^2 - \left(\frac{D}{2}\right)^2 \right| \leq 10^{-10} \quad (3.86)$$

เมื่อทราบตำแหน่งของจุดสะท้อน $Q_R = \left(x_r, y_r, z_r = \frac{x_r^2 + y_r^2}{4f} - f \right)$ ดังนั้นสนามไฟฟ้าจากสายอากาศป้อนกำลังคลื่นที่จุดสะท้อน $Q_R = (x_r, y_r, z_r)$ สามารถหาได้จากสมการ (3.17) เป็น

$$\begin{bmatrix} E_x^{feed}(x_r, y_r, z_r) \\ E_y^{feed}(x_r, y_r, z_r) \\ E_z^{feed}(x_r, y_r, z_r) \end{bmatrix} = \begin{bmatrix} \cos\theta_o \cos\phi_o & -\sin\phi_o & \sin\theta_o \cos\phi_o \\ \cos\theta_o \sin\phi_o & \cos\phi_o & \sin\theta_o \sin\phi_o \\ -\sin\theta_o & 0 & \cos\theta_o \end{bmatrix} \begin{bmatrix} E_x^{feed}(x_r, y_r, z_r) \\ E_y^{feed}(x_r, y_r, z_r) \\ E_z^{feed}(x_r, y_r, z_r) \end{bmatrix} \quad (3.87)$$

โดยในระบบสายอากาศชนิดจานสะท้อนเดี่ยวรูปพาราโบลิคแบบสมมาตร $\theta_o = \pi$ และ $\phi_o = 0$ และในระบบสายอากาศชนิดจานสะท้อนเดี่ยวรูปพาราโบลิคแบบไม่สมมาตร $\theta_o = \pi - \Psi_f$ และ $\phi_o = 0$

เมื่อแทนสมการ (3.87) ลงในสมการ (3.73ข) จะได้สนามไฟฟ้าที่สะท้อนจากจุดสะท้อน $Q_R = (x_r, y_r, z_r)$ มายังจุด $P(x_p, y_p, z_p)$ บนระนาบหน้าจานเป็น

$$\begin{bmatrix} E_x^r(P) \\ E_y^r(P) \\ E_z^r(P) \end{bmatrix} = \begin{bmatrix} E_x^{feed}(Q_R) \\ E_y^{feed}(Q_R) \\ E_z^{feed}(Q_R) \end{bmatrix} + 2 \begin{bmatrix} n_{sx} \\ n_{sy} \\ n_{sz} \end{bmatrix} \begin{bmatrix} E_x^{feed}(Q_R) \\ E_y^{feed}(Q_R) \\ E_z^{feed}(Q_R) \end{bmatrix} \begin{bmatrix} n_{sx} \\ n_{sy} \\ n_{sz} \end{bmatrix} \sqrt{\frac{\rho_1' \rho_2'}{(\rho_1' + s_r)(\rho_2' + s_r)}} e^{-jk_s} \quad (3.88)$$

โดยที่ n_{sx}, n_{sy} และ n_{sz} คือ องค์ประกอบตามแนวแกน x, y และ z ของ \hat{n}_i ตามลำดับ และรัศมีความโค้งของหน้าคลื่นสะท้อน ρ_1', ρ_2' เป็นดังสมการ (3.74) และเนื่องจากในวิทยานิพนธ์นี้สมมุติว่าคลื่นที่มาจากสายอากาศป้อนกำลังคลื่นเป็นคลื่นทรงกลม ดังนั้นรัศมีความโค้งหลักของหน้าคลื่นตกกระทบ $\rho_1' = \rho_2' = s_i$ ซึ่งเมื่อแทนลงในสมการ (3.74) จะได้

$$\frac{1}{\rho_{1,2}'} = \frac{1}{s_i} + \frac{1}{\cos\theta_i} \left(\frac{\sin^2\theta_2}{R_1} + \frac{\sin^2\theta_1}{R_2} \right) \pm \frac{1}{2} \left[4 \left[\frac{1}{\cos^2\theta_i} \left(\frac{\sin^2\theta_2}{R_1} + \frac{\sin^2\theta_1}{R_2} \right)^2 - \frac{4}{R_1 R_2} \right] \right]^{1/2} \quad (3.89)$$

โดยที่ $\cos\theta_1 = -\hat{n}_1 \cdot \hat{s}_1$, $\sin\theta_1 = \sqrt{1 - (\hat{s}_1 \cdot \hat{n}_1)^2}$, $\sin\theta_2 = \sqrt{1 - (\hat{s}_2 \cdot \hat{n}_2)^2}$ และค่าปัจจัยทางเรขาคณิตของพื้นผิวรูปพาราโบลิกที่จุดสะท้อนซึ่งประกอบด้วย รัศมีความโค้งหลัก R_1, R_2 และเวกเตอร์หนึ่งหน่วยในทิศทางหลัก \hat{n}_1, \hat{n}_2 ของพื้นผิวรูปพาราโบลิกสามารถหาได้ดังสมการ (2.39ก-ข) และ (2.42ก-ข) ตามลำดับ

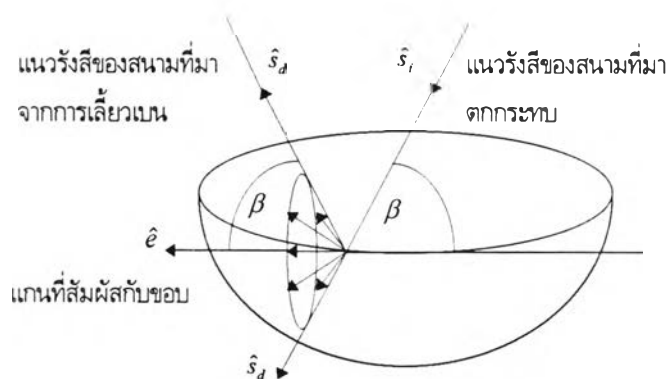
จากการวิเคราะห์รัศมีความโค้งหลักของหน้าคลื่นสะท้อนดังสมการ (3.89) พบว่า เมื่อสายอากาศป้อนกำลังคลื่นวางอยู่ที่จุดโฟกัส รัศมีความโค้งหลักของหน้าคลื่นสะท้อน $\rho'_1 = \rho'_2 \rightarrow \infty$ ซึ่งมีลักษณะเป็นคลื่นระนาบสะท้อนออกมาจากพื้นผิวรูปพาราโบลิกตรงกับคุณสมบัติทางเรขาคณิตของจานสะท้อนรูปพาราโบลิกที่ทำหน้าที่ในการัดหน้าคลื่น ดังนั้นตัวประกอบ

$$\text{การลดทอน} \sqrt{\frac{\rho'_1 \rho'_2}{(\rho'_1 + s_r)(\rho'_2 + s_r)}} = \sqrt{\frac{1}{(1 + \frac{s_r}{\rho'_1})(1 + \frac{s_r}{\rho'_2})}} \approx 1$$

จากข้างต้นสนามไฟฟ้าเนื่องจากการสะท้อนบนพื้นผิวรูปพาราโบลิกมายังจุดสังเกตใด ๆ บนระนาบหน้าจานสามารถหาได้ดังสมการ (3.88) ซึ่งใช้ได้กับทั้งกรณีที่เป็นจานสะท้อนรูปพาราโบลิกแบบสมมาตรและไม่สมมาตร เนื่องจากมีคุณสมบัติและค่าปัจจัยทางเรขาคณิตของพื้นผิวเหมือนกัน สนามไฟฟ้าเนื่องจากการสะท้อนเป็นองค์ประกอบหนึ่งของสนามที่แผ่พลังงานออกมาจากจานสะท้อนไปยังจุดสังเกตใด ๆ บนระนาบหน้าจานที่เกิดจากพฤติกรรมของการสะท้อนของคลื่น สำหรับอีกองค์ประกอบหนึ่งที่แผ่พลังงานออกมานั้นเกิดจากพฤติกรรมการเลี้ยวเบนที่ขอบของจานสะท้อนคลื่น ซึ่งรายละเอียดในการหาสนามเนื่องจากการเลี้ยวเบนนั้นได้กล่าวไว้ในหัวข้อถัดไป

ทฤษฎีการเลี้ยวเบนเชิงเรขาคณิต

การศึกษาพฤติกรรมของคลื่นเนื่องจากการเลี้ยวเบนทำได้หลายวิธีดังได้กล่าวไว้ในหัวข้อแนวทางในการวิเคราะห์ แต่ในการศึกษาผลกระทบเนื่องจากการเลี้ยวเบนที่ขอบที่มีต่อระบบสายอากาศชนิดจานสะท้อนเดี่ยวรูปพาราโบลิกในวิทยานพินธ์นี้ ทฤษฎีการเลี้ยวเบนเชิงเรขาคณิตได้นำมาใช้ในการวิเคราะห์ตามเหตุผลที่กล่าวไว้ในหัวข้อแนวทางในการวิเคราะห์



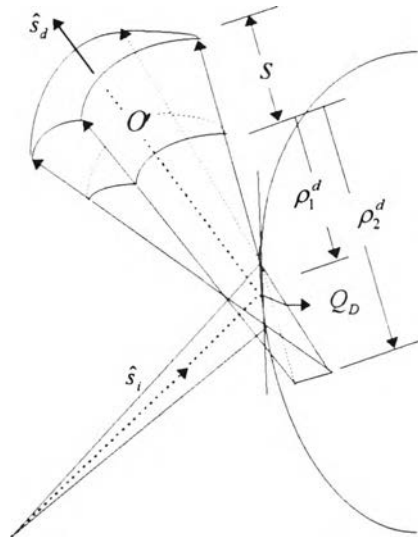
รูป 3.11 แนวรังสีของสนามเนื่องจากการเลี้ยวเบนที่ขอบเมื่อแนวรังสีของสนามที่มาตกกระทบทำมุม β กับแกนที่สัมผัสกับขอบในบริเวณที่เป็นตัวกลางเอกพันธ์ตามเงื่อนไขการเลี้ยวเบนของทฤษฎีการเลี้ยวเบนเชิงเรขาคณิต

ทฤษฎีการเลี้ยวเบนเชิงเรขาคณิตเป็นกรรมวิธีที่ใช้ในย่านความถี่สูงวิธีหนึ่ง ซึ่ง J.B. Keller (1962) ได้ขยายแนวความคิดของกรรมวิธีทัศนศาสตร์เชิงเรขาคณิตเพื่อนำมาอธิบายปรากฏการณ์เกี่ยวกับการเลี้ยวเบนของแสงที่เกิดขึ้นในบริเวณเงา (shadow region) ที่กรรมวิธีทัศนศาสตร์เชิงเรขาคณิตไม่สามารถอธิบายได้ โดยคิดว่ามีสนามปริมาณหนึ่งเกิดขึ้นเมื่อมี

สนามตกกระทบที่ขอบ (edge) มุม (corner) หรือจุดยอด (vertex) แล้วเลี้ยวเบนไปในบริเวณเงา Keller เรียกสนามปริมาณนี้ว่า สนามเนื่องจากการเลี้ยวเบน (diffracted field) สนามเนื่องจากการเลี้ยวเบนนี้ Keller ได้ใช้คุณสมบัติของรังสีที่ใช้ในกรรมวิธีทัศนศาสตร์เชิงเรขาคณิตมาอธิบายโดยมีกฎของการเลี้ยวเบน (law of diffraction) ซึ่งหาได้จากกฎของสเนลล์หรือดัดแปลงหลักการของแฟร์มาต์โดยกล่าวว่า ในบริเวณที่เป็นตัวกลางเอกพันธ์ รังสีที่มาจากการเลี้ยวเบนที่ขอบมีทิศทางทำมุมกับแนวแกนที่สัมผัสกับขอบเท่ากับมุมที่รังสีตกกระทบทำกับแนวแกนที่สัมผัสกับขอบที่จุดเลี้ยวเบนในทุกกรณีรอบแกนนั้น หรือกล่าวคือรังสีการเลี้ยวเบน (diffracted rays) มีทิศทางอยู่บนพื้นผิวกรวยที่มีมุมเป็นสองเท่าของมุมระหว่างรังสีตกกระทบกับแนวแกนที่สัมผัสกับขอบ (แกนของกรวย) ดังรูป 3.11

จากรูป 3.11 แนวรังสีของสนามที่มาจากการเลี้ยวเบนกำหนดโดยเวกเตอร์หนึ่งหน่วยในทิศทางการเลี้ยวเบน \hat{s}_d แนวรังสีของสนามที่มาตกกระทบกำหนดโดยเวกเตอร์หนึ่งหน่วยในทิศทางการตกกระทบ \hat{s}_i และแนวแกนที่สัมผัสกับขอบกำหนดโดยเวกเตอร์หนึ่งหน่วยในทิศทางสัมผัสกับขอบ \hat{e} ดังนั้นกฎของการเลี้ยวเบนสามารถกำหนดด้วยสมการคณิตศาสตร์ดังนี้

$$\hat{s}_i \cdot \hat{e} = \hat{s}_d \cdot \hat{e} \quad (3.90)$$



รูป 3.12 ลำรังสีของสนามไฟฟ้าตกกระทบและสนามไฟฟ้าเนื่องจากการเลี้ยวเบนที่จุดขอบ Q_D

จากแนวความคิดของ Keller และกรรมวิธีทัศนศาสตร์เชิงเรขาคณิต เมื่อมีสนามไฟฟ้าตกกระทบพื้นผิวที่มีขอบในบริเวณที่เป็นตัวกลางเอกพันธ์ดังรูป 3.12 สนามไฟฟ้าเนื่องจากการเลี้ยวเบนจากจุดขอบสามารถหาได้เช่นเดียวกับสนามไฟฟ้าเนื่องจากการสะท้อนจากพื้นผิวสะท้อนในหัวข้อกรรมวิธีทัศนศาสตร์เชิงเรขาคณิต ดังนั้น

$$\vec{E}^d(s) = \vec{E}^d(O) \sqrt{\frac{\rho_1^d \rho_2^d}{(\rho_1^d + s)(\rho_2^d + s)}} e^{-jks} \quad (3.91)$$

โดยที่ $\bar{E}^d(O)$ คือ สนามไฟฟ้าเนื่องจากการเลี้ยวเบนที่จุดอ้างอิง O ใด ๆ

ρ_1^d, ρ_2^d คือ รัศมีความโค้งหลักของสนามไฟฟ้าเนื่องจากการเลี้ยวเบน หรือระยะตัดกันของลำรังสีเลี้ยวเบน (caustic of diffracted field) ลำดับที่หนึ่งและสองตามลำดับ

S คือ ระยะตามแนวรังสีการเลี้ยวเบนจากจุดอ้างอิง O ใด ๆ

จากสมการ (3.91) สนามไฟฟ้าเนื่องจากการเลี้ยวเบนไม่ขึ้นอยู่กับตำแหน่งของจุดอ้างอิง O ดังนั้นจากรูป 3.12 ถ้าเลือกให้จุดอ้างอิง O อยู่ที่จุดขอบ Q_D ซึ่งเป็นจุดตัดกันของลำรังสีเลี้ยวเบนลำดับที่หนึ่ง เนื่องจากลำรังสีเลี้ยวเบนที่พุ่งออกจากจุดเลี้ยวเบนมีลักษณะเป็นกรวยที่มีจุดยอดของกรวยหรือจุดตัดของลำรังสีอยู่ที่จุดขอบนั้นตามเงื่อนไขการเลี้ยวเบน จากรูป 3.12 เมื่อจุดอ้างอิง O อยู่ที่จุดขอบ Q_D ระยะตัดกันของลำรังสีเลี้ยวเบนลำดับที่หนึ่งเป็นศูนย์ ($\rho_1^d = 0$) และสนามไฟฟ้าเนื่องจากการเลี้ยวเบนที่จุดขอบต้องมีค่าจำกัดเมื่อ $\rho_1^d \rightarrow 0$ และสมมุติว่ามีความสัมพันธ์กับสนามไฟฟ้าตกกระทบที่จุดขอบเช่นเดียวกับสนามไฟฟ้าเนื่องจากการสะท้อนที่จุดสะท้อนที่มีความสัมพันธ์กับสนามไฟฟ้าตกกระทบที่จุดสะท้อนในกรณีวิธีทัศนศาสตร์เชิงเรขาคณิต ดังนั้น

$$\bar{E}^d(Q_D) = \lim_{\rho_1^d \rightarrow 0} \bar{E}^d(O) \sqrt{\rho_1^d} = \bar{E}^i(Q_D) \cdot \bar{D} \quad (3.92)$$

โดยที่ \bar{D} คือ สัมประสิทธิ์การเลี้ยวเบนแบบไดแอดิก (dyadic diffraction coefficient) ซึ่งคล้ายกับสัมประสิทธิ์การสะท้อนแบบไดแอดิกในกรณีวิธีทัศนศาสตร์เชิงเรขาคณิต และเมื่อแทนสมการ (3.92) ลงในสมการ (3.91) สนามไฟฟ้าเนื่องจากการเลี้ยวเบนที่ตำแหน่งใด ๆ เมื่อจุดอ้างอิงอยู่ที่จุดขอบเป็นดังสมการ (3.93)

$$\bar{E}^d(s) = \lim_{\rho_1^d \rightarrow 0} \left[\bar{E}^d(O) \sqrt{\rho_1^d} \sqrt{\frac{\rho_2^d}{(\rho_1^d + s)(\rho_2^d + s)}} e^{-jks} \right] = \bar{E}^i(Q_D) \cdot \bar{D} \sqrt{\frac{\rho_2^d}{s(\rho_2^d + s)}} e^{-jks} \quad (3.93)$$

โดยที่ $\sqrt{\frac{\rho_2^d}{s(\rho_2^d + s)}}$ เรียกว่า ตัวประกอบการลดทอน และ ρ_2^d คือ ระยะระหว่างจุดขอบหรือจุดตัดกันของลำรังสีเลี้ยวเบนลำดับที่หนึ่งกับจุดตัดกันของลำรังสีเลี้ยวเบนลำดับที่สองซึ่งสามารถหาได้ดังแสดงในภาคผนวก ข. เป็นดังสมการ (3.94)

$$\frac{1}{\rho_2^d} = \frac{1}{\rho_e^d} - \frac{\hat{n}_e \cdot (\hat{s}_i - \hat{s}_d)}{R_E \sin^2 \beta_i} \quad (3.94)$$

โดยที่ ρ_e^d คือ รัศมีความโค้งของหน้าคลื่นตกกระทบในระนาบตกกระทบ

R_E คือ รัศมีความโค้งของขอบที่จุดเลี้ยวเบน

\hat{n}_e คือ เวกเตอร์หนึ่งหน่วยตั้งฉากกับขอบที่จุดเลี้ยวเบนและมีทิศพุ่งออกจากศูนย์กลางความโค้ง

\hat{s}_i คือ เวกเตอร์หนึ่งหน่วยในทิศทางการตกกระทบ

\hat{s}_d คือ เวกเตอร์หนึ่งหน่วยในทิศทางการเลี้ยวเบน

β_i คือ มุมตกกระทบซึ่งเท่ากับมุมระหว่าง \hat{s}_i กับเวกเตอร์หนึ่งหน่วยที่ขนานกับขอบที่จุดเลี้ยวเบน \hat{e}

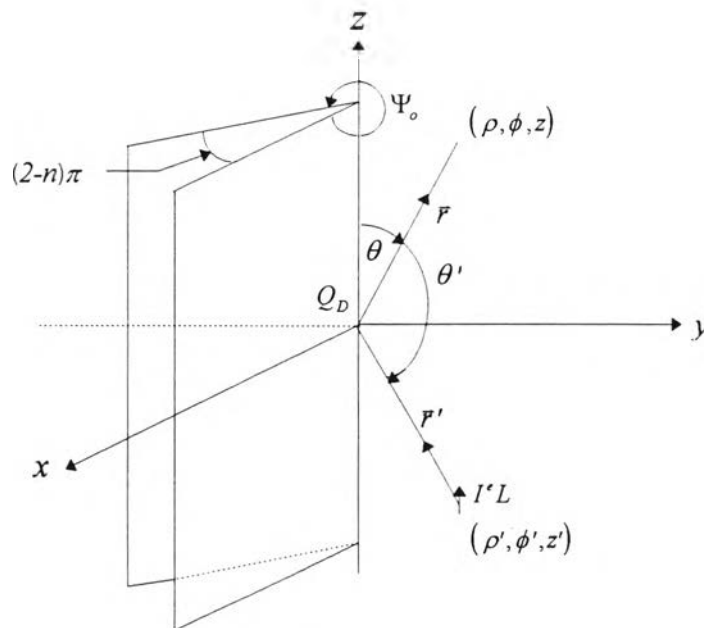
จากสมการ (3.94) ρ_2^d ขึ้นอยู่กับรัศมีความโค้งของคลื่นตกกระทบ มุมระหว่างรังสีตกกระทบและรังสีเลี้ยวเบนที่ทำกับเวกเตอร์หนึ่งหน่วยที่พุ่งออกตั้งฉากกับขอบที่จุดเลี้ยวเบน มุมตกกระทบ และรัศมีความโค้งของขอบที่จุดเลี้ยวเบน

สัมประสิทธิ์การเลี้ยวเบนแบบไดแอดิกในสมการ (3.93) โดยปกติสามารถหาได้จากปัญหาที่รู้จักกันดี (canonical problems) ที่ซึ่งมีลักษณะทางเรขาคณิตง่าย ๆ และใกล้เคียงกับจุดที่เกิดการเลี้ยวเบนในปัญหาที่กำลังพิจารณา สำหรับในการศึกษาผลกระทบเนื่องจากปรากฏการณ์เลี้ยวเบนที่ขอบที่เป็นเส้นตรง (straight edge) หรือเป็นมุม (corner) สัมประสิทธิ์การเลี้ยวเบนแบบไดแอดิกหาได้จากการวิเคราะห์ปัญหารูปสามเหลี่ยม (conducting wedge) ซึ่งถูกกระตุ้นด้วยสายอากาศไดโพลไฟฟ้าขนาดสั้นมากที่วางตัวในทิศทาง z และถูกกระตุ้นด้วยไดโพลแม่เหล็กขนาดสั้นมากที่วางตัวในทิศทาง z โดยในกรณีที่ถูกกระตุ้นด้วยสายอากาศไดโพลไฟฟ้าขนาดสั้นมากที่วางตัวในทิศทาง z ที่จุด (ρ', ϕ', z') ดังรูป 3.13 สนามไฟฟ้าที่จุดสังเกต (ρ, ϕ, z) สามารถหาได้โดยใช้เฮิร์ตซ์เวกเตอร์ (Hertz vectors) $\bar{\Pi}^e$ ซึ่งสอดคล้องกับสมการอนุพันธ์ดังสมการ (3.95)

$$(\nabla^2 + k^2)\bar{\Pi}^e = -\frac{\bar{J}_s}{j\omega\epsilon} \tag{3.95}$$

โดยที่ $k = \omega\sqrt{\mu\epsilon}$ และเนื่องจากถูกกระตุ้นด้วยไดโพลไฟฟ้าขนาดสั้นมากวางตัวในทิศทาง z ดังนั้นความหนาแน่นกระแสไฟฟ้า \bar{J}_s เป็นดังสมการ (3.96)

$$\bar{J}_s = I^e L \delta(\bar{r} - \bar{r}') \bar{a}_z \tag{3.96}$$



รูป 3.13 รูปสามเหลี่ยมมีความยาวอนันต์ตามแกน z ถูกกระตุ้นด้วยไดโพลไฟฟ้าขนาดสั้นมาก ($L \ll \lambda$)

เนื่องจากความหนาแน่นกระแสไฟฟ้าอยู่ในทิศทาง z ดังนั้นสมการ (3.95) ลดรูปลงเป็น

$$(\nabla^2 + k^2)\bar{\Pi}_z^e = -\frac{I^e L \delta(\bar{r} - \bar{r}')}{j\omega\epsilon} \tag{3.97}$$

และเขียนอยู่ในรูปของกรีนฟังก์ชันได้ดังสมการ (3.98)

$$(\nabla^2 + k^2)G^s(\bar{r}, \bar{r}') = -\delta(\bar{r} - \bar{r}') \quad (3.98)$$

ซึ่งเมื่อพิจารณาในระบบพิกัดทรงกระบอกจะได้

$$\left(\frac{\partial^2}{\partial \rho^2} + \frac{1}{\rho} \frac{\partial}{\partial \rho} + \frac{1}{\rho^2} \frac{\partial^2}{\partial \phi^2} + \frac{\partial^2}{\partial z^2} + k^2 \right) G^s(\rho, \phi, z, \rho', \phi', z') = -\frac{\delta(\rho - \rho')\delta(\phi - \phi')\delta(z - z')}{\rho} \quad (3.99)$$

โดยที่ $\Pi_z^* = \frac{I^* L}{j\omega\epsilon} G^s(\bar{r}, \bar{r}')$ และสอดคล้องกับเงื่อนไขขอบเขตแบบดิริชเลต์ (Dirichlet boundary condition) คือ

$$E_\rho^* \Big|_{\phi=0, \Psi_0} = \frac{\partial^2 \Pi_z^*}{\partial \rho \partial z} \Big|_{\phi=0, \Psi_0} = 0 \quad \text{และ} \quad E_z^* \Big|_{\phi=0, \Psi_0} = \frac{\partial^2 \Pi_z^*}{\partial z^2} \Big|_{\phi=0, \Psi_0} = 0 \quad \text{ดังนั้น} \quad \Pi_z^* = 0 \quad \text{บนพื้นผิวรูปทึบตัวนำ หรือจะได้}$$

$$G^s(\rho, \phi, z, \rho', \phi', z') = 0 \quad \text{ที่} \quad \phi = 0 \quad \text{และ} \quad \phi = \Psi_0 \quad (3.100)$$

การหากรีนฟังก์ชันของสมการ (3.99) ซึ่งมีเงื่อนไขขอบเขตดังสมการ (3.100) สำหรับบริเวณปิด (close region) ทำได้โดยกระจายกรีนฟังก์ชันในรูปอนุกรมของฟังก์ชันเฉพาะที่ปรับบรรทัดฐานแล้ว (normalized eigenfunctions) $\Phi_m(\phi)$ ดังสมการ (3.101)

$$G^s(\rho, \phi, z, \rho', \phi', z') = \sum_{m=0}^{\infty} G_m(\rho, z, \rho', z') \Phi_m(\phi) \Phi_m(\phi') \quad (3.101)$$

เมื่อแทนสมการ (3.101) ลงในสมการ (3.99) และเนื่องจาก $\delta(\phi - \phi') = \sum_{m=0}^{\infty} \Phi_m(\phi) \Phi_m(\phi')$ ดังนั้น

$$\sum_{m=0}^{\infty} \left[\Phi_m(\phi) \Phi_m(\phi') \left(\frac{\partial^2}{\partial \rho^2} + \frac{1}{\rho} \frac{\partial}{\partial \rho} + \frac{\partial^2}{\partial z^2} + k^2 \right) G_m + \frac{G_m \Phi_m(\phi')}{\rho^2} \frac{\partial^2 \Phi_m(\phi)}{\partial \phi^2} \right] = -\frac{\delta(\rho - \rho')\delta(z - z')}{\rho} \sum_{m=0}^{\infty} \Phi_m(\phi) \Phi_m(\phi') \quad (3.102)$$

คูณสมการ (3.102) ด้วย $\frac{\rho^2}{G_m \Phi_m(\phi) \Phi_m(\phi')}$ จะได้

$$\frac{\rho^2}{G_m} \left(\frac{\partial^2}{\partial \rho^2} + \frac{1}{\rho} \frac{\partial}{\partial \rho} + \frac{\partial^2}{\partial z^2} + k^2 + \frac{\delta(\rho - \rho')\delta(z - z')}{\rho} \right) G_m = v_m^2 = -\frac{1}{\Phi_m(\phi)} \frac{\partial^2 \Phi_m(\phi)}{\partial \phi^2} \quad (3.103)$$

สมการ (3.103) สามารถแยกพิจารณาออกเป็น 2 สมการดังนี้

$$\frac{\partial^2 \Phi_m(\phi)}{\partial \phi^2} + v_m^2 \Phi_m(\phi) = 0 \quad (3.104ก)$$

และ

$$\left(\frac{\partial^2}{\partial \rho^2} + \frac{1}{\rho} \frac{\partial}{\partial \rho} + \frac{\partial^2}{\partial z^2} + k^2 - \frac{v_m^2}{\rho^2} \right) G_m = -\frac{\delta(\rho - \rho') \delta(z - z')}{\rho} \quad (3.104ข)$$

ผลเฉลยทั่วไปของสมการ (3.104ก) สามารถเขียนอยู่ในรูปทั่วไปคือ

$$\Phi_m(\phi) = C_1 \cos(v_m \phi) + C_2 \sin(v_m \phi) \quad (3.105)$$

และจากเงื่อนไขขอบเขตในสมการ (3.100) $\Phi_m(0) = 0$ และ $\Phi_m(\Psi_0) = 0$ ดังนั้น

$$\Phi_m(0) = C_1 \cos(0) + C_2 \sin(0) = 0 \quad (3.106ก)$$

$$\Phi_m(\Psi_0) = C_1 \cos(v_m \Psi_0) + C_2 \sin(v_m \Psi_0) = 0 \quad (3.106ข)$$

จากสมการ (3.106ก) $C_1 = 0$ ซึ่งเมื่อแทนลงในสมการ (3.106ข) C_2 ต้องไม่เท่ากับศูนย์ ดังนั้น $\sin(v_m \Psi_0) = 0$ เป็นจริงเมื่อ

$$v_m = \frac{m\pi}{\Psi_0} \quad \text{โดยที่ } m = 0, 1, 2, \dots \quad (3.107)$$

ดังนั้นผลเฉลยทั่วไปของสมการ (3.104ก) คือ

$$\Phi_m(\phi) = C_2 \sin\left(\frac{m\pi}{\Psi_0} \phi\right) \quad (3.108)$$

และเมื่อทำการปรับบรรทัดฐานโดยกำหนดว่า $\int_0^{\Psi_0} [\Phi_m(\phi)]^2 d\phi = 1$ จะได้ $C_2 = \sqrt{\frac{2}{\Psi_0}}$ ทำให้ฟังก์ชันค่าเจาะจงที่ถูกรับบรรทัดฐานแล้วเป็นดังสมการ (3.109)

$$\Phi_m(\phi) = \sqrt{\frac{2}{\Psi_0}} \sin\left(\frac{m\pi}{\Psi_0} \phi\right) \quad (3.109)$$

เมื่อแทนสมการ (3.109) ลงในสมการ (3.101) จะได้

$$G^s(\rho, \phi, z; \rho', \phi', z') = \frac{2}{\Psi_0} \sum_{m=1}^{\infty} G_m(\rho, z; \rho', z') \sin\left(\frac{m\pi}{\Psi_0} \phi\right) \sin\left(\frac{m\pi}{\Psi_0} \phi'\right) \quad (3.110)$$

จากสมการ (3.104ข) เมื่อพิจารณากรีนฟังก์ชันในบริเวณเปิด (open region) ตามทิศทาง z ต้องสอดคล้องกับเงื่อนไขการแผ่พลังงาน (radiation condition) คือ $G_m(\rho, z=\infty; \rho', z')=0$ และ $G_m(\rho, z=-\infty; \rho', z')=0$ ดังนั้นจากภาคผนวก ค. กรีนฟังก์ชันสามารถหาได้โดยทำการแปลงฟูรีเยร์สมการ (1.15ข) โดยใช้คุณสมบัติของการแปลงฟูรีเยร์คือ

$$G_m(\rho, z; \rho', z') = \frac{1}{2\pi} \int_{-\infty}^{+\infty} g_m(\rho, h) e^{-jhz} dh \quad (3.111)$$

ซึ่งมีคู่การแปลงกลับฟูรีเยร์เป็น

$$g_m(\rho, h) = \int_{-\infty}^{+\infty} G_m(\rho, z; \rho', z') e^{jhz} dz \quad (3.112)$$

และ

$$\int_{-\infty}^{+\infty} \frac{\partial G_m(\rho, z; \rho', z')}{\partial z^2} e^{jhz} dz = -h^2 g_m(\rho, h) \quad (3.113)$$

จะได้

$$\left(\frac{\partial^2}{\partial \rho^2} + \frac{1}{\rho} \frac{\partial}{\partial \rho} + k^2 - h^2 - \frac{v_m^2}{\rho^2} \right) g_m(\rho, h) = -\frac{\delta(\rho - \rho')}{\rho} e^{jhz} \quad (3.114ก)$$

หรือ

$$\left(\frac{\partial^2}{\partial \rho^2} + \frac{1}{\rho} \frac{\partial}{\partial \rho} + k^2 - h^2 - \frac{v_m^2}{\rho^2} \right) g'_m(\rho, h) = -\frac{\delta(\rho - \rho')}{\rho} \quad (3.114ข)$$

โดยที่ $g'_m(\rho, h) = g_m(\rho, h) e^{-jhz}$ และผลเฉลยของสมการ (3.114ข) ในบริเวณ $\rho > \rho'$ ต้องสอดคล้องกับเงื่อนไขการแผ่พลังงาน กล่าวคือสนามไฟฟ้าที่ระยะอนันต์มีค่าเป็นศูนย์ดังนั้น $g'_m(\rho, h) = 0$ เมื่อ $\rho \rightarrow \infty$ และในบริเวณ $\rho < \rho'$ สนามไฟฟ้าต้องมีปริมาณจำกัดในทุก ๆ ตำแหน่งรวมทั้งที่ $\rho = 0$

จากภาคผนวก ค. ผลเฉลยของสมการ (3.114ข) สามารถหาได้โดยทำการหาผลเฉลยของสมการอนุพันธ์แบบเอกพันธ์ตั้งสมการ (3.115)

$$\left(\frac{\partial^2}{\partial \rho^2} + \frac{1}{\rho} \frac{\partial}{\partial \rho} + k^2 - h^2 - \frac{v_m^2}{\rho^2} \right) g'_m(\rho, h) = 0 \quad (3.115)$$

ผลเฉลยทั่วไปของสมการ (3.115) สามารถแสดงได้ 2 รูปแบบคือ

$$g'_m = A_m^1 H_{\nu_m}^{(1)}(\sqrt{k^2 - h^2} \rho) + A_m^2 H_{\nu_m}^{(2)}(\sqrt{k^2 - h^2} \rho)$$

โดยที่ $H_{\nu_m}^{(1)}(\sqrt{k^2 - h^2} \rho)$ คือ ฟังก์ชันฮันเกิล (Hankel function) ชนิดที่หนึ่งอันดับที่ ν_m และ $H_{\nu_m}^{(2)}(\sqrt{k^2 - h^2} \rho)$ คือ ฟังก์ชันฮันเกิลชนิดที่สองอันดับที่ ν_m

หรือ

$$g'_m = B_m^1 J_{\nu_m}(\sqrt{k^2 - h^2} \rho) + B_m^2 Y_{\nu_m}(\sqrt{k^2 - h^2} \rho)$$

โดยที่ $J_{\nu_m}(\sqrt{k^2 - h^2} \rho)$ คือ ฟังก์ชันเบสเซล (Bessel function) ชนิดที่หนึ่งอันดับที่ ν_m และ $Y_{\nu_m}(\sqrt{k^2 - h^2} \rho)$ คือ ฟังก์ชันเบสเซลชนิดที่สองอันดับที่ ν_m

สำหรับในบริเวณ $\rho > \rho'$ $g'_m(\rho, h) = 0$ เมื่อ $\rho \rightarrow \infty$ และสนามในบริเวณนี้มีลักษณะเป็นคลื่นจรที่เคลื่อนที่ออกไป (outward traveling wave) ดังนั้น

$$g'_m^{(1)} = A_m^2 H_{\nu_m}^{(2)}(\sqrt{k^2 - h^2} \rho) \quad \text{เมื่อ } \rho > \rho' \quad (3.116ก)$$

และสำหรับในบริเวณ $\rho < \rho'$ $g'_m(\rho, h)$ ต้องมีปริมาณจำกัดที่ $\rho = 0$ แต่เนื่องจาก $Y_{\nu_m}(\sqrt{k^2 - h^2} \rho)$ มีค่าเป็นอนันต์ที่ $\rho = 0$ ดังนั้น

$$g'_m^{(2)} = B_m^1 J_{\nu_m}(\sqrt{k^2 - h^2} \rho) \quad \text{เมื่อ } \rho < \rho' \quad (3.116ข)$$

จากภาคผนวก ค. ตัวกำหนดวอรอนสกี $\Delta(\rho')$ ของผลเฉลยดังสมการ (3.116ก) และ (3.116ข) เป็นดังสมการ (3.117)

$$\Delta(\rho') = A_m^2 H_{\nu_m}^{(2)}(\sqrt{k^2 - h^2} \rho') B_m^1 J'_{\nu_m}(\sqrt{k^2 - h^2} \rho') - A_m^2 H_{\nu_m}^{(2)}(\sqrt{k^2 - h^2} \rho') B_m^1 J_{\nu_m}(\sqrt{k^2 - h^2} \rho') \quad (3.117)$$

เนื่องจาก $H_n^{(2)}(x) = J_n(x) - jY_n(x)$ และ $H_n^{(2)}(x) = J'_n(x) - jY'_n(x)$ ดังนั้น

$$\Delta(\rho') = -jA_m^2 B_m^1 \sqrt{k^2 - h^2} \left[J'_{\nu_m}(\sqrt{k^2 - h^2} \rho') Y_{\nu_m}(\sqrt{k^2 - h^2} \rho') - J_{\nu_m}(\sqrt{k^2 - h^2} \rho') Y'_{\nu_m}(\sqrt{k^2 - h^2} \rho') \right] \quad (3.118)$$

และจาก $J_n(x)Y'_n(x) - Y_n(x)J'_n(x) = \frac{2}{\pi x}$ สมการ (3.118) เขียนใหม่ได้เป็น

$$\Delta(\rho') = -jA_m^2 B_m^1 \sqrt{k^2 - h^2} \left[\frac{-2}{\pi \sqrt{k^2 - h^2} \rho'} \right] = \frac{2jA_m^2 B_m^1}{\rho'} \quad (3.119)$$

จากภาคผนวก ค. ผลเฉลยของสมการ (3.114ข) คือ

$$g'_m(\rho, h) = \begin{cases} -\frac{j\pi}{2} H_{\nu_m}^{(2)}(\sqrt{k^2 - h^2} \rho) J_{\nu_m}(\sqrt{k^2 - h^2} \rho') & , \rho > \rho' \\ -\frac{j\pi}{2} J_{\nu_m}(\sqrt{k^2 - h^2} \rho) H_{\nu_m}^{(2)}(\sqrt{k^2 - h^2} \rho') & , \rho < \rho' \end{cases} \quad (3.120n)$$

หรือ

$$g_m(\rho, h) = \begin{cases} -\frac{j\pi}{2} H_{\nu_m}^{(2)}(\sqrt{k^2 - h^2} \rho) J_{\nu_m}(\sqrt{k^2 - h^2} \rho') e^{jh\rho'} & , \rho > \rho' \\ -\frac{j\pi}{2} J_{\nu_m}(\sqrt{k^2 - h^2} \rho) H_{\nu_m}^{(2)}(\sqrt{k^2 - h^2} \rho') e^{jh\rho'} & , \rho < \rho' \end{cases} \quad (3.120ข)$$

ซึ่งเมื่อทำการแปลงฟูริเยร์กลับจะได้

$$G_m(\rho, z, \rho', z') = \begin{cases} \frac{1}{2\pi} \int_{-\infty}^{+\infty} -\frac{j\pi}{2} H_{\nu_m}^{(2)}(\sqrt{k^2 - h^2} \rho) J_{\nu_m}(\sqrt{k^2 - h^2} \rho') e^{-jh(z-z')} dh & , \rho > \rho' \\ \frac{1}{2\pi} \int_{-\infty}^{+\infty} -\frac{j\pi}{2} J_{\nu_m}(\sqrt{k^2 - h^2} \rho) H_{\nu_m}^{(2)}(\sqrt{k^2 - h^2} \rho') e^{-jh(z-z')} dh & , \rho < \rho' \end{cases} \quad (3.121)$$

แทนสมการ (3.121) ลงในสมการ (3.110) จะได้

$$G(\rho, \phi, z, \rho', \phi', z') = \begin{cases} \sum_{m=1}^{\infty} \frac{2}{\Psi_0} \sin\left(\frac{m\pi}{\Psi_0} \phi\right) \sin\left(\frac{m\pi}{\Psi_0} \phi'\right) \frac{1}{2\pi} \int_{-\infty}^{+\infty} -\frac{j\pi}{2} H_{\nu_m}^{(2)}(\sqrt{k^2 - h^2} \rho) J_{\nu_m}(\sqrt{k^2 - h^2} \rho') e^{-jh(z-z')} dh & , \rho > \rho' \\ \sum_{m=1}^{\infty} \frac{2}{\Psi_0} \sin\left(\frac{m\pi}{\Psi_0} \phi\right) \sin\left(\frac{m\pi}{\Psi_0} \phi'\right) \frac{1}{2\pi} \int_{-\infty}^{+\infty} -\frac{j\pi}{2} J_{\nu_m}(\sqrt{k^2 - h^2} \rho) H_{\nu_m}^{(2)}(\sqrt{k^2 - h^2} \rho') e^{-jh(z-z')} dh & , \rho < \rho' \end{cases}$$

เมื่อพิจารณากรณีที่แหล่งกำเนิดไดโพลไฟฟ้าขนาดสั้นมากวางอยู่ที่ตำแหน่งไกล ๆ ($r' \rightarrow \infty$) สนามไฟฟ้าที่จุดสังเกต (ρ, ϕ, z) ใด ๆ สอดคล้องกับกรีนฟังก์ชันในกรณีที่ $\rho < \rho'$ ดังสมการ (3.122)

$$G(\rho, \phi, z, \rho', \phi', z') = \sum_{m=1}^{\infty} \frac{2}{\Psi_0} \sin\left(\frac{m\pi}{\Psi_0} \phi\right) \sin\left(\frac{m\pi}{\Psi_0} \phi'\right) \frac{1}{2\pi} \int_{-\infty}^{+\infty} -\frac{j\pi}{2} J_{\nu_m}(\sqrt{k^2 - h^2} \rho) H_{\nu_m}^{(2)}(\sqrt{k^2 - h^2} \rho') e^{-jh(z-z')} dh \quad (3.122)$$

สมการ (3.122) อยู่ในรูปอินทิรัลที่มีขอบเขตอนันต์ซึ่งไม่สามารถหาผลเฉลยแน่นอนตรงได้ แต่เนื่องจากในกรณีแหล่งกำเนิดไดโพลไฟฟ้าวางอยู่ที่ตำแหน่งไกล ๆ ($r' \rightarrow \infty$) การหาค่าสมการ (3.122) สามารถทำได้โดยใช้กรรมวิธีการประมาณที่เรียกว่า เทคนิคจุดอานม้า (saddle point techniques) มาประมาณค่าอินทิรัลที่มีขอบเขตอนันต์ดังสมการ (3.123) ได้ดังนี้

$$I = \int_{-\infty}^{+\infty} J_{\nu_m}(\sqrt{k^2 - h^2} \rho) H_{\nu_m}^{(2)}(\sqrt{k^2 - h^2} \rho') e^{-jh(z-z')} dh \quad (3.123)$$

เมื่อ $r' \rightarrow \infty$ ($\rho' \rightarrow \infty$) ดังนั้น $H_{\nu_m}^{(2)}(\sqrt{k^2 - h^2} \rho')$ สามารถประมาณได้ดังสมการ (3.124)

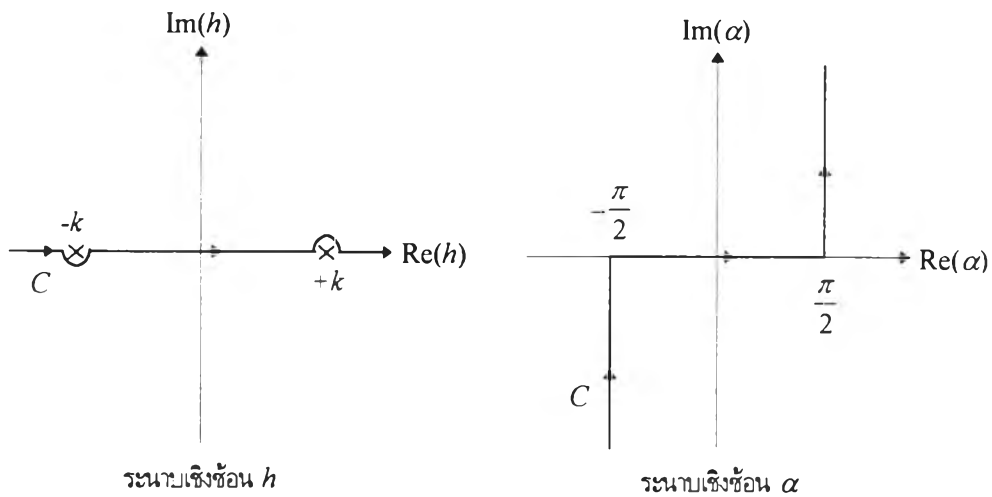
$$H_{\nu_m}^{(2)}(\sqrt{k^2 - h^2} \rho') \stackrel{\rho' \rightarrow \infty}{\cong} \sqrt{\frac{2}{\pi \rho'}} \frac{e^{-j\sqrt{k^2 - h^2} \rho' + j(2\nu_m + 1)\frac{\pi}{4}}}{(k^2 - h^2)^{\nu/4}} \quad (3.124)$$

แทนสมการ (3.124) ลงในสมการ (3.123) จะได้

$$I = \int_{-\alpha}^{+\infty} A(h) e^{-j\sqrt{k^2 - h^2} \rho' + jhz'} dh \quad (3.125)$$

โดยที่ $A(h) = J_{\nu_m}(\sqrt{k^2 - h^2} \rho') \sqrt{\frac{2}{\pi \rho'}} \frac{e^{j(2\nu_m + 1)\frac{\pi}{4}}}{(k^2 - h^2)^{\nu/4}} e^{-jhz'}$ ซึ่งมีขั้ว (pole) ในระนาบเชิงซ้อน h อยู่ที่ $\pm k$ ถ้าให้ $\theta_c = \frac{\pi}{2} - \theta'$ เมื่อพิจารณาในระบบพิกัดทรงกลม $z' = r' \cos \theta' = r' \sin \theta_c$ และ $\rho' = r' \sin \theta' = r' \cos \theta_c$ และแปลง h ไปอยู่ในระนาบเชิงซ้อน α โดยให้ $h = k \sin \alpha$ สมการ (3.125) จะเป็น

$$\begin{aligned} I &= \int_C A(k \sin \alpha) e^{-jk r' \cos \alpha \cos \theta_c + jkr' \sin \alpha \sin \theta_c} k \cos \alpha d\alpha \\ &= \int_C A(k \sin \alpha) k \cos \alpha e^{-jk r' \cos(\alpha + \theta_c)} d\alpha \end{aligned} \quad (3.126)$$



รูป 3.14 เส้นทาง C ในระนาบเชิงซ้อน h และในระนาบเชิงซ้อน alpha

โดยมีเส้นทาง C เป็นดังรูป 3.14 และจากเทคนิคจุดอานม้า (Ishimaru, 1991) เมื่อ $kr' \rightarrow \infty$ และ $f(\alpha) = -j \cos(\alpha + \theta_c)$ อินทิกรัลในสมการ (3.126) สามารถประมาณเป็น

$$I \cong A(k \sin \alpha_s) k \cos \alpha_s \sqrt{\frac{2}{k \alpha' |f''(\alpha_s)|}} e^{k \gamma f(\alpha_s) + j \gamma} \quad (3.127)$$

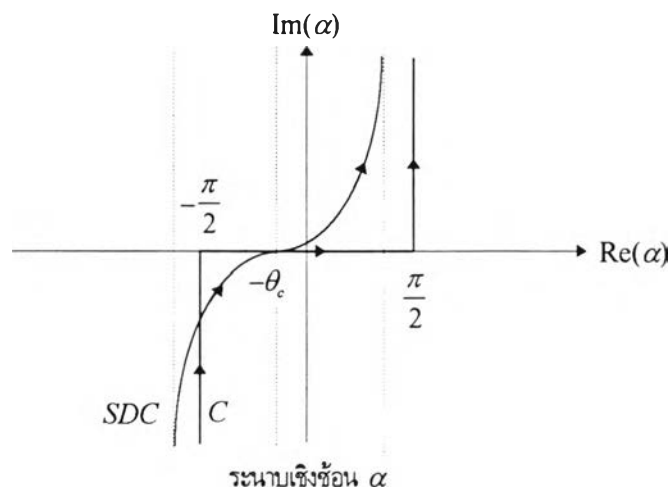
โดยที่ α_s คือ ค่า α ที่ทำให้เกิดจุดอานม้า (saddle point) ซึ่งเป็นจุดที่ทำให้ $\frac{df}{d\alpha} = 0$ ดังสมการ (3.128)

$$\frac{df(\alpha_s)}{d\alpha} = j \sin(\alpha_s + \theta_c) = 0 \quad (3.128)$$

ดังนั้น $\alpha_s = -\theta_c$ และ γ คือ มุมที่เส้นทาง steepest descent ทำกับแกนส่วนจริงของ α ซึ่งต้องเลือกให้ $[e^{j2\gamma} f''(\alpha_s)]$ เป็นจำนวนจริงลบ และเนื่องจาก $f''(\alpha_s) = j \cos(0) = j$ และ $f(\alpha_s) = -j \cos(0) = -j$ ดังนั้น

$$2\gamma + \frac{\pi}{2} = \pm\pi \quad (3.129)$$

ซึ่งจะได้ γ เท่ากับ $\frac{\pi}{4}$ หรือ $-\frac{3\pi}{4}$ ขึ้นอยู่กับเส้นทาง steepest descent โดย $\gamma = \frac{\pi}{4}$ ถ้าเส้นทาง steepest descent เริ่มจากจุดภาค (quadrant) ที่ 3 มายังจุดภาคที่ 1 หรือจากจุดภาคที่ 2 มายังจุดภาคที่ 4 และ $\gamma = -\frac{3\pi}{4}$ ถ้าเส้นทาง steepest descent เริ่มจากจุดภาคที่ 1 มายังจุดภาคที่ 3 หรือจากจุดภาคที่ 4 มายังจุดภาคที่ 2 สำหรับในกรณีนี้เส้นทาง steepest descent เป็นดังรูป 1.5 ซึ่งเริ่มจากจุดภาคที่ 3 มายังจุดภาคที่ 1 ดังนั้น $\gamma = \frac{\pi}{4}$ และเนื่องจาก $\theta_c = \frac{\pi}{2} - \theta'$ ดังนั้นสมการ (3.127) จะเป็น



รูป 3.15 เส้นทาง steepest descent ในระนาบเชิงซ้อน α

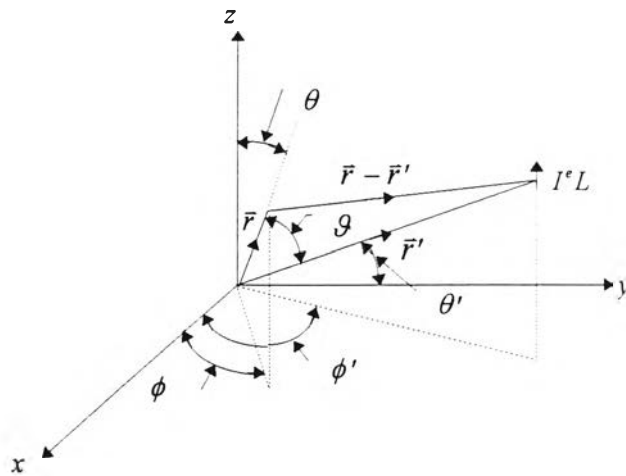
$$\begin{aligned}
I &\cong A(-k \cos \theta') k \sin \theta' \sqrt{\frac{2}{kr'}} e^{-jkz + j\frac{\pi}{4}} \\
&= J_{\nu_m}(k\rho \sin \theta') \sqrt{\frac{2}{\pi\rho'}} \frac{e^{j(2\nu_m+1)\frac{\pi}{4} + jkz \cos \theta'}}{\sqrt{k \sin \theta'}} k \sin \theta' \sqrt{\frac{2\pi}{kr'}} e^{-jkz + j\frac{\pi}{4}} \\
&= 2J_{\nu_m}(k\rho \sin \theta') \sqrt{\frac{1}{\rho' r' \sin \theta'}} \sin \theta' e^{j(\nu_m+1)\frac{\pi}{2} + jkz \cos \theta' - jkr'} \\
&= 2J_{\nu_m}(k\rho \sin \theta') e^{j(\nu_m+1)\frac{\pi}{2} + jkz \cos \theta'} \frac{e^{-jkr'}}{r'}
\end{aligned} \tag{3.130}$$

เมื่อแทนลงในสมการ (3.122) จะได้

$$G^s(\rho, \phi, z; \rho', \phi', z') = \sum_{m=1}^{\infty} \frac{1}{\Psi_0} \sin\left(\frac{m\pi}{\Psi_0} \phi\right) \sin\left(\frac{m\pi}{\Psi_0} \phi'\right) J_{\nu_m}(k\rho \sin \theta') e^{jkz \cos \theta' + j\nu_m \frac{\pi}{2}} \frac{e^{-jkr'}}{r'} \tag{3.131}$$

เนื่องจาก $\bar{\Pi}^e = \Pi_z^e \bar{a}_z = \frac{I^e L}{j\omega\epsilon} G^s(\bar{r}, \bar{r}') \bar{a}_z$ และ $\bar{E}^e = \nabla(\nabla \cdot \bar{\Pi}^e) + k^2 \bar{\Pi}^e$ ดังนั้น

$$E_z^e = \left(\frac{\partial^2}{\partial z^2} + k^2\right) \Pi_z^e = \left(\frac{\partial^2}{\partial z^2} + k^2\right) \frac{I^e L}{j\omega\epsilon} G^s(\bar{r}, \bar{r}') \tag{3.132}$$



รูป 3.16 ไดโพลไฟฟ้าขนาดสั้นมากเมื่อวางอยู่ที่ตำแหน่งไกล ๆ

เมื่อแทนสมการ (3.131) ลงในสมการ (3.132) สนามไฟฟ้าในทิศทางตามแกน z ที่จุดสังเกตใด ๆ รอบรูปลิมิตด้านที่ถูกต้องเริ่มต้นด้วยไดโพลไฟฟ้าขนาดสั้นมากที่วางอยู่ที่ตำแหน่งไกล ๆ เป็นดังสมการ (3.133)

$$\begin{aligned}
E_z^e &= \left[(jk \cos \theta')^2 + k^2 \right] \frac{I^e L}{j\omega\epsilon} \sum_{m=1}^{\infty} \frac{1}{\Psi_o} \sin\left(\frac{m\pi}{\Psi_o} \phi\right) \sin\left(\frac{m\pi}{\Psi_o} \phi'\right) J_{\nu_m}(k\rho \sin \theta') e^{jkz \cos \theta' + j\nu_m \frac{\pi}{2}} \frac{e^{-jk r'}}{r'} \\
&= -j\omega\mu I^e L \sin^2 \theta' \sum_{m=1}^{\infty} \frac{1}{\Psi_o} \sin\left(\frac{m\pi}{\Psi_o} \phi\right) \sin\left(\frac{m\pi}{\Psi_o} \phi'\right) J_{\nu_m}(k\rho \sin \theta') e^{jkz \cos \theta' + j\nu_m \frac{\pi}{2}} \frac{e^{-jk r'}}{r'}
\end{aligned} \quad (3.133)$$

และเมื่อพิจารณาสนามไฟฟ้าที่มาจากไดโพลไฟฟ้าขนาดสั้นมากที่วางตัวอยู่ในทิศทาง z ดังสมการ (3.96) และอยู่ที่ตำแหน่งไกลมากดังรูป 3.16 สามารถหาได้จากศักย์เวกเตอร์แม่เหล็ก (magnetic vector potential) ดังสมการ (3.134)

$$A_z = \frac{\mu}{4\pi} \int_{-L/2}^{+L/2} \frac{I^e e^{-jk|\bar{r}-\bar{r}'|}}{|\bar{r}-\bar{r}'|} dz \quad (3.134)$$

จากสมการ (3.134) พจน์ $|\bar{r}-\bar{r}'| = [r^2 + r'^2 - 2rr' \cos \theta]^2$ โดยที่ θ คือ มุมระหว่างเวกเตอร์ \bar{r} กับ \bar{r}' เป็นดังสมการ (3.135)

$$\cos \theta = \frac{\bar{r} \cdot \bar{r}'}{rr'} = \cos \theta \cos \theta' + \sin \theta \sin \theta' \cos(\phi - \phi') \quad (3.135)$$

เมื่อ $r' \rightarrow \infty$ พจน์ $|\bar{r}-\bar{r}'| \approx r' - r \cos \theta + O(1/r')$ และเนื่องจากไดโพลไฟฟ้ามีความยาวสั้นมากเมื่อเทียบกับระยะทางจากไดโพลไปยังจุดสังเกต ดังนั้นพจน์ $|\bar{r}-\bar{r}'|$ ซึ่งเป็นตัวหารในสมการ (3.134) อาจถือได้ว่ามีค่าคงตัวเท่ากับ r' ตลอดช่วงการอินทิเกรต และไดโพลไฟฟ้ามีขนาดสั้นมากเมื่อเทียบกับความยาวคลื่นที่ใช้งานทำให้เฟสที่ปรากฏที่ปลายด้านหนึ่งต่างกับเฟสที่ปรากฏที่อีกปลายด้านหนึ่งน้อยมาก ดังนั้นพจน์ $I^e e^{-jk|\bar{r}-\bar{r}'|}$ ซึ่งเป็นตัวตั้งในสมการ (3.134) สามารถประมาณว่ามีค่าคงตัวเท่ากับ $I^e e^{-jk(r-r \cos \theta)}$ ตลอดช่วงการอินทิเกรต ซึ่งจากการประมาณดังกล่าวทำให้ศักย์เวกเตอร์แม่เหล็กในสมการ (3.134) เป็น

$$A_z = \frac{\mu I^e L e^{-jk r' + jkr [\cos \theta \cos \theta' + \sin \theta \sin \theta' \cos(\phi - \phi')]} }{4\pi r'} = \frac{\mu I^e L e^{-jk r' + jkr \cos \theta' + jkr \sin \theta' \cos(\phi - \phi')}}{4\pi r'} \quad (3.136)$$

จากสมการ (3.136) และ $\bar{E} = -j\omega\bar{A} - j \frac{1}{\omega\mu\epsilon} \nabla(\nabla \cdot \bar{A})$ ดังนั้นสนามไฟฟ้าเนื่องจากไดโพลไฟฟ้าขนาดสั้นมากในทิศทางตามแนวแกน z ที่จุดสังเกตใด ๆ เป็นดังสมการ (3.137)

$$E_z^i = -j \frac{1}{\omega\mu\epsilon} \left(\frac{\partial^2}{\partial z^2} + k^2 \right) A_z \quad (3.137)$$

และเมื่อแทนสมการ (3.136) ลงในสมการ (3.137) จะได้

$$E_z^i = -j \frac{1}{\omega\mu\epsilon} \left[(jk \cos \theta')^2 + k^2 \right] A_z = - \frac{j\omega\mu I^e L \sin^2 \theta' e^{-jk r'}}{4\pi r'} e^{jkz \cos \theta' + jkr \sin \theta' \cos(\phi - \phi')} \quad (3.138)$$

สมการ (3.138) แสดงถึงสนามไฟฟ้าเนื่องจากไดโพลไฟฟ้าขนาดสั้นมากที่จุดสังเกต (r, θ, ϕ) เมื่อ $r' \rightarrow \infty$ และถ้าให้ $E_o = -\frac{j\omega\mu^e L \sin^2 \theta' e^{-jk'r}}{4\pi r'}$ สมการ (3.138) บ่งบอกว่าสนามไฟฟ้าเนื่องจากไดโพลไฟฟ้าขนาดสั้นมากที่จุดสังเกต (r, θ, ϕ) เมื่อ $r' \rightarrow \infty$ ประพฤติตัวเป็นคลื่นระนาบที่มีขนาด E_o ตกกระทบในทิศทาง (θ', ϕ') และเมื่อจุดสังเกตอยู่ที่จุดกำเนิด $r=0$ ซึ่งเป็นจุดที่เกิดการเลี้ยวเบน สนามไฟฟ้าเนื่องจากไดโพลไฟฟ้าขนาดสั้นมากที่ตกกระทบที่จุดเลี้ยวเบน Q_D เมื่อ $r' \rightarrow \infty$ เป็นดังสมการ (3.139)

$$E_z^e(Q_D) = -\frac{j\omega\mu^e L \sin^2 \theta' e^{-jk'r}}{4\pi r'} \quad (3.139)$$

เมื่อแทนสมการ (3.139) ลงในสมการ (3.133) จะได้

$$E_z^e = E_z^e(Q_D) \sum_{m=1}^{\infty} \frac{4\pi}{\Psi_o} \sin\left(\frac{m\pi}{\Psi_o} \phi\right) \sin\left(\frac{m\pi}{\Psi_o} \phi'\right) J_{v_m}(k\rho \sin \theta') e^{jkz \cos \theta' + jv_m \frac{\pi}{2}} \quad (3.140n)$$

$$\text{หรือ} \quad E_z^e = E_z^e(Q_D) \sum_{m=1}^{\infty} \frac{4\pi}{\Psi_o} J_{v_m}(k\rho \sin \theta') e^{jkz \cos \theta' + jv_m \frac{\pi}{2}} \left[\frac{\cos[v_m(\phi - \phi')] - \cos[v_m(\phi + \phi')]}{2} \right] \quad (3.140ข)$$

จากภาคผนวก ก. ฟังก์ชันเบสเซลชนิดที่หนึ่งอันดับที่ v_m สามารถเขียนอยู่ในรูปอินทิกรัลตามเส้นทางในระนาบเชิงซ้อน w ดังสมการ (3.141)

$$J_{v_m}(k\rho \sin \theta') = \begin{cases} \frac{1}{2\pi} \int_L e^{j[k\rho \sin \theta' \cos w + v_m(w - \frac{\pi}{2})]} dw \\ \frac{1}{2\pi} \int_{L'} e^{j[k\rho \sin \theta' \cos w - v_m(w + \frac{\pi}{2})]} dw \end{cases} \quad (3.141)$$

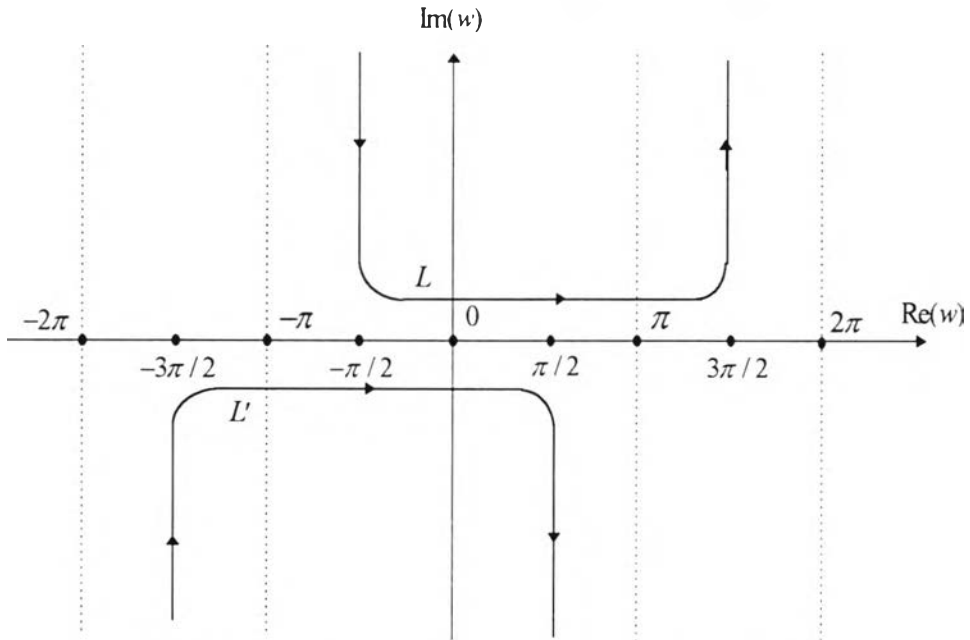
โดยที่ L และ L' เป็นเส้นทางการอินทิเกรตดังรูป 3.17 เนื่องจาก $\cos[v_m(\phi \pm \phi')] = \frac{e^{jv_m(\phi \pm \phi')} + e^{-jv_m(\phi \pm \phi')}}{2}$ และจากรูป

3.13 $\Psi_o = n\pi$ ดังนั้น $v_m = \frac{m\pi}{\Psi_o} = \frac{m}{n}$ ทำให้เขียนสมการ (3.140ข) ใหม่ได้เป็น

$$E_z^e = E_z^e(Q_D) \left[\left\{ \frac{1}{2\pi n} \int_L e^{jk\rho \sin \theta' \cos w} \sum_{m=1}^{\infty} e^{-j\frac{m}{n}(\phi - \phi' + w)} dw + \frac{1}{2\pi n} \int_{L'} e^{jk\rho \sin \theta' \cos w} \sum_{m=1}^{\infty} e^{-j\frac{m}{n}(\phi - \phi' + w)} dw \right\} \right. \\ \left. - \left\{ \frac{1}{2\pi n} \int_L e^{jk\rho \sin \theta' \cos w} \sum_{m=1}^{\infty} e^{-j\frac{m}{n}(\phi - \phi' + w)} dw + \frac{1}{2\pi n} \int_{L'} e^{jk\rho \sin \theta' \cos w} \sum_{m=1}^{\infty} e^{-j\frac{m}{n}(\phi - \phi' + w)} dw \right\} \right] e^{jkz \cos \theta'} \quad (3.142n)$$

หรือ

$$E_z^e = E_z(Q_D) \left\{ \begin{aligned} & \left\{ \frac{1}{2\pi n} \int_L e^{jk_D \sin \theta' \cos w} \sum_{m=0}^{\infty} e^{j \frac{m}{n} (\phi - \phi' + w)} dw + \frac{1}{2\pi n} \int_L e^{jk_D \sin \theta' \cos w} \sum_{m=1}^{\infty} e^{-j \frac{m}{n} (\phi - \phi' + w)} dw \right\} \\ & - \left\{ \frac{1}{2\pi n} \int_L e^{jk_D \sin \theta' \cos w} \sum_{m=0}^{\infty} e^{j \frac{m}{n} (\phi - \phi' + w)} dw + \frac{1}{2\pi n} \int_L e^{jk_D \sin \theta' \cos w} \sum_{m=1}^{\infty} e^{-j \frac{m}{n} (\phi - \phi' + w)} dw \right\} \end{aligned} \right\} e^{jk_z \cos \theta} \quad (3.142ข)$$



รูป 3.17 เส้นทาง L และ L' ของฟังก์ชันเบสเซลชนิดที่หนึ่งในระนาบเชิงซ้อน w

และจากคุณสมบัติของอนุกรมอนันต์

$$\sum_{m=0}^{\infty} x^{-m} = 1 + \sum_{m=1}^{\infty} x^{-m} \quad (3.143ก)$$

$$\sum_{m=1}^{\infty} x^{-m} = \frac{x^{-1}}{1-x^{-1}} \quad (3.143ข)$$

$$\sum_{m=0}^{\infty} x^m = 1 + \sum_{m=1}^{\infty} x^m \quad (3.143ค)$$

$$\sum_{m=1}^{\infty} x^m = \frac{x}{1-x} \quad (3.143ง)$$

ดังนั้น

$$\begin{aligned} \sum_{m=1}^{\infty} e^{j \frac{m}{n} (\phi \pm \phi' + w)} &= \frac{e^{j \frac{\phi \pm \phi' + w}{n}}}{1 - e^{j \frac{\phi \pm \phi' + w}{n}}} = \frac{e^{j \frac{\phi \pm \phi' + w}{2n}}}{e^{-j \frac{\phi \pm \phi' + w}{2n}} - e^{j \frac{\phi \pm \phi' + w}{2n}}} = \frac{\cos \left[\frac{\phi \pm \phi' + w}{2n} \right] + j \sin \left[\frac{\phi \pm \phi' + w}{2n} \right]}{-2j \sin \left[\frac{\phi \pm \phi' + w}{2n} \right]} \\ &= -\frac{1}{2j} \cot \left[\frac{\phi \pm \phi' + w}{2n} \right] - \frac{1}{2} \end{aligned} \quad (3.144)$$

และ

$$\sum_{m=1}^{\infty} e^{-j\frac{m}{n}(\phi \pm \phi' + w)} = \frac{e^{-j\frac{\phi \pm \phi' + w}{n}}}{1 - e^{-j\frac{\phi \pm \phi' + w}{n}}} = \frac{e^{-j\frac{\phi \pm \phi' + w}{2n}}}{e^{j\frac{\phi \pm \phi' + w}{2n}} - e^{-j\frac{\phi \pm \phi' + w}{2n}}} = \frac{\cos\left[\frac{\phi \pm \phi' + w}{2n}\right] - j \sin\left[\frac{\phi \pm \phi' + w}{2n}\right]}{2j \sin\left[\frac{\phi \pm \phi' + w}{2n}\right]} \quad (3.145)$$

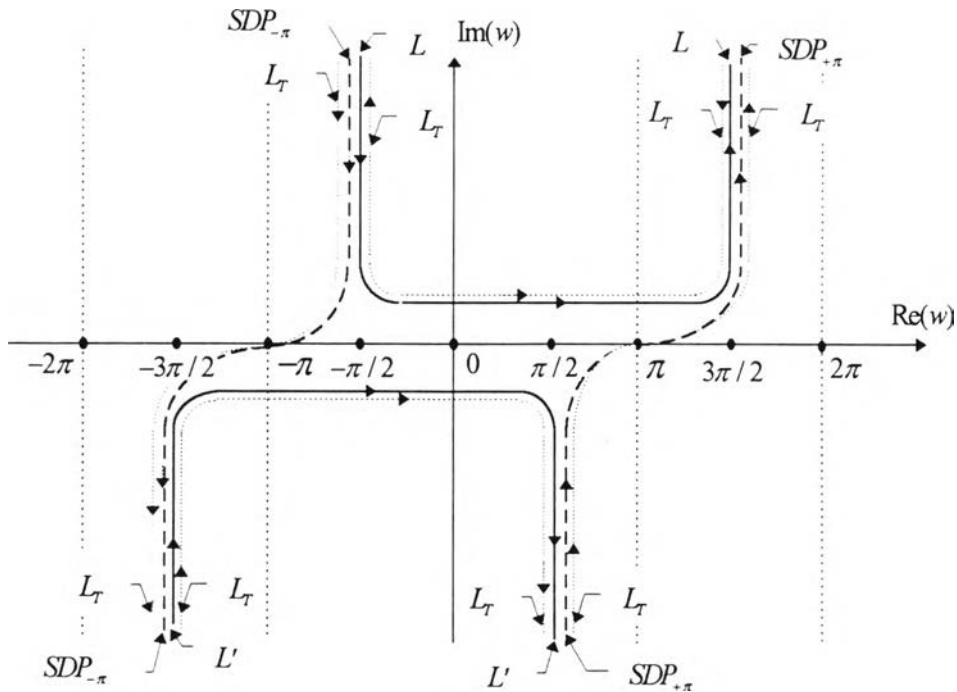
$$= \frac{1}{2j} \cot\left[\frac{\phi \pm \phi' + w}{2n}\right] - \frac{1}{2}$$

ซึ่งเมื่อแทนสมการ (3.144) และ (3.145) ลงในสมการ (3.142ข) จะได้

$$E_z^e = E_z(Q_D) \frac{1}{2\pi n} \left\{ \int_L e^{jk\rho \sin\theta \cos w} \left(-\frac{1}{2j} \cot\left[\frac{\phi - \phi' + w}{2n}\right] + \frac{1}{2} \right) dw + \int_{L'} e^{jk\rho \sin\theta \cos w} \left(\frac{1}{2j} \cot\left[\frac{\phi - \phi' + w}{2n}\right] - \frac{1}{2} \right) dw \right\} e^{jkz \cos\theta}$$

$$- \left\{ \int_L e^{jk\rho \sin\theta \cos w} \left(-\frac{1}{2j} \cot\left[\frac{\phi + \phi' + w}{2n}\right] + \frac{1}{2} \right) dw + \int_{L'} e^{jk\rho \sin\theta \cos w} \left(\frac{1}{2j} \cot\left[\frac{\phi + \phi' + w}{2n}\right] - \frac{1}{2} \right) dw \right\} \quad (3.146)$$

และจากภาคผนวก ก. $\int_L e^{jk\rho \sin\theta \cos w} A dw = \int_{L'} e^{jk\rho \sin\theta \cos w} A dw$ โดยที่ A คือ ค่าคงที่ใด ๆ และถ้ากำหนดให้ $\int_{L'-L} f(w) dw = \int_{L'} f(w) dw - \int_L f(w) dw$ สมการ (3.146) เขียนใหม่เป็น



รูป 3.18 เส้นทาง steepest descent $SDP_{\pm\pi}$ เส้นทางวงปิด L_T และเส้นทาง L และ L' ของฟังก์ชันเบสเซลชนิดที่หนึ่ง

$$E_z^e = E_z^i(Q_D) \left[\frac{1}{4\pi j n} \left\{ \int_{L'-L} \cot \left[\frac{\phi - \phi' + w}{2n} \right] e^{jkps \sin \theta' \cos w} dw - \int_{L'-L} \cot \left[\frac{\phi + \phi' + w}{2n} \right] e^{jkps \sin \theta' \cos w} dw \right\} \right] e^{jkz \cos \theta'} \quad (3.147)$$

อินทิกรัลตามเส้นทาง $L' - L$ ในสมการ (3.147) สามารถหาได้โดยใช้ทฤษฎีบทค่าเรซิดิว (residue theorem) และทฤษฎีบทของโคชี (Cauchy's theorem) ซึ่งเมื่อพิจารณาเส้นทางวงปิด L_T ในระนาบเชิงซ้อน w ดังรูป 3.18 พบว่า เส้นทางวงปิด L_T เกิดจากผลรวมของเส้นทาง $L' + SDP_{-\pi} - L + SDP_{\pi}$ โดยที่ $SDP_{\pm\pi}$ คือ เส้นทาง steepest descent ที่ผ่านจุดอานม้าซึ่งเป็นจุดที่ทำให้ $\frac{dh_{1,2}}{dw} = 0$ ดังสมการ (3.148)

$$\frac{dh_{1,2}(w_s)}{dw} = -j \sin(w_s) = 0 \quad (3.148)$$

ซึ่งจะได้ $w_s = \pm\pi$ เป็นจุดอานม้าในระนาบเชิงซ้อน w และเมื่อกำหนดให้อินทิกรัลตามเส้น $L' - L$ ในสมการ (3.147) เป็น

$$\int_{L'-L} H_1(w) e^{kps \sin \theta' h_1(w)} dw \quad (3.149ก)$$

และ
$$\int_{L'-L} H_2(w) e^{kps \sin \theta' h_2(w)} dw \quad (3.149ข)$$

โดยที่ $H_1(w) = \cot \left[\frac{\phi - \phi' + w}{2n} \right]$ และ $H_2(w) = \cot \left[\frac{\phi + \phi' + w}{2n} \right]$ และ $h_1(w) = h_2(w) = j \cos w$ ดังนั้นเมื่อใช้ทฤษฎีบทค่าเรซิดิวและทฤษฎีบทของโคชี อินทิกรัลในสมการ (3.149ก) และ (3.149ข) จะเป็น

$$\int_{L'-L} H_{1,2}(w) e^{kps \sin \theta' h_{1,2}(w)} dw = \oint_{L_T} H_{1,2}(w) e^{kps \sin \theta' h_{1,2}(w)} dw - \int_{SDP_{-\pi}} H_{1,2}(w) e^{kps \sin \theta' h_{1,2}(w)} dw \quad (3.150)$$

โดยที่ $\int_{SDP_{\pm\pi}} H_{1,2}(w) e^{kps \sin \theta' h_{1,2}(w)} dw = \int_{SDP_{-\pi}} H_{1,2}(w) e^{kps \sin \theta' h_{1,2}(w)} dw + \int_{SDP_{\pi}} H_{1,2}(w) e^{kps \sin \theta' h_{1,2}(w)} dw$ และประกอบด้วยส่วนที่เป็นอินทิกรัลวงปิด L_T และส่วนที่เป็นอินทิกรัลตามเส้นทาง steepest descent $SDP_{\pm\pi}$ โดยส่วนที่เป็นอินทิกรัลวงปิด L_T สามารถหาได้โดยใช้ทฤษฎีบทค่าเรซิดิวดังสมการ (3.151)

$$\begin{aligned} \oint_{L_T} H_{1,2}(w) e^{kps \sin \theta' h_{1,2}(w)} dw &= \oint_{L_T} \cot \left[\frac{\phi \mp \phi' + w}{2n} \right] e^{jkps \sin \theta' \cos w} dw = \oint_{L_T} \frac{N_{1,2}(w)}{D_{1,2}(w)} dw \\ &= 2\pi j \sum_{P_{1,2}} \text{Res}(w = w_{P_{1,2}}) \end{aligned} \quad (3.151)$$

โดยที่ $N_{1,2}(w) = \cos \left[\frac{\phi \mp \phi' + w}{2n} \right] e^{jkps \sin \theta' \cos w}$ และ $D_{1,2}(w) = \sin \left[\frac{\phi \mp \phi' + w}{2n} \right]$ ซึ่งมีขั้วเกิดขึ้นเมื่อ $D_{1,2}(w) = 0$ ดังสมการ (3.152)

$$D_{1,2}(w_{A,1}) = \sin\left[\frac{\phi \mp \phi' + w_{A,1}}{2n}\right] = 0 \quad (3.152)$$

ซึ่งจะได้ $\left[\frac{\phi \mp \phi' + w_{A,1}}{2n}\right] = \pi V$ หรือ $w_{A,1} = -(\phi \mp \phi') + 2n\pi V$ และเนื่องจาก $w_{A,1}$ เป็นจำนวนจริงที่อยู่ภายในเส้นทางวงปิด L_T ดังนั้น $w_{A,1}$ มีค่าอยู่บนแกนส่วนจริงของ w ภายในเส้นทางวงปิด L_T ทำให้ $-\pi \leq w_{A,1} \leq \pi$ ดังรูป 3.18 และเนื่องจาก $\frac{N_{1,2}(w)}{D_{1,2}(w)}$ มีโพลเชิงเดียว (simple pole) ดังนั้นค่าเรซิดิวที่ขั้วภายในวงปิด L_T คือ

$$\begin{aligned} \text{Res}(w = w_{A,1}) &= \frac{N_{1,2}(w = w_{A,1})}{D'_{1,2}(w = w_{A,1})} = \frac{\cos\left[\frac{\phi \mp \phi' + w_{A,1}}{2n}\right] e^{jkp \sin \theta' \cos w_{A,1}}}{\frac{1}{2n} \cos\left[\frac{\phi \mp \phi' + w_{A,1}}{2n}\right]} \\ &= \frac{\cos(\pi V) e^{jkp \sin \theta' \cos[-(\phi \mp \phi') + 2n\pi V]}}{\frac{1}{2n} \cos(\pi V)} \\ &= 2ne^{jkp \sin \theta' \cos[-(\phi \mp \phi') + 2n\pi V]} \end{aligned} \quad (3.153)$$

และเมื่อแทนสมการ (3.153) ลงในสมการ (3.151) จะได้

$$\oint_{L_T} H_{1,2}(w) e^{kp \sin \theta' h_2(w)} dw = 2\pi j \cdot 2ne^{jkp \sin \theta' \cos[-(\phi \mp \phi') + 2n\pi V]} U[\pi - |-(\phi \mp \phi') + 2n\pi V|] \quad (3.154)$$

โดยที่ $U(t)$ คือ ฟังก์ชันขั้นบันได (step function) ซึ่งกำหนดดังสมการ (3.155)

$$U(t) = \begin{cases} 1 & , t > 0 \\ \frac{1}{2} & , t = 0 \\ 0 & , t < 0 \end{cases} \quad (3.155)$$

ฟังก์ชันขั้นบันไดกำหนดขึ้นเพื่อให้สอดคล้องกับ $-\pi \leq w_{A,1} \leq \pi$ หรือ $|-(\phi \mp \phi') + 2n\pi V| \leq \pi$ กล่าวคือ อินทิกรัลในสมการ (3.154) เกิดขึ้นจากขั้วภายในวงปิด L_T เท่านั้นซึ่งจะมีค่าเมื่อ $|-(\phi \mp \phi') + 2n\pi V| \leq \pi$ โดยที่ขั้วภายนอกวงปิด L_T ไม่ถูกรวมเข้าไป และสำหรับกรณี $N = 0$ จะได้

$$\oint_{L_T} H_{1,2}(w) e^{kp \sin \theta' h_2(w)} dw = 4\pi j n e^{jkp \sin \theta' \cos(\phi \mp \phi')} U[\pi - |-(\phi \mp \phi')|] \quad (3.156)$$

ซึ่งเมื่อแทนสมการ (3.156) ลงในสมการ (3.147) จะได้

$$\begin{aligned}
E_z^e &= E_z^i(Q_D) \left[\begin{array}{l} \left\{ \frac{1}{4\pi jn} \int_{L_T} H_1(w) e^{k\rho \sin \theta' h_1(w)} dw - \frac{1}{4\pi jn} \int_{SDP_{z,x}} H_1(w) e^{k\rho \sin \theta' h_1(w)} dw \right\} \\ - \left\{ \frac{1}{4\pi jn} \int_{L_T} H_2(w) e^{k\rho \sin \theta' h_2(w)} dw - \frac{1}{4\pi jn} \int_{SDP_{z,x}} H_2(w) e^{k\rho \sin \theta' h_2(w)} dw \right\} \end{array} \right] e^{jkz \cos \theta'} \\
&= E_z^i(Q_D) \left[\begin{array}{l} \left\{ e^{jk\rho \sin \theta' \cos(\phi - \phi')} U[\pi - |\phi - \phi'|] - \frac{1}{4\pi jn} \int_{SDP_{z,x}} H_1(w) e^{k\rho \sin \theta' h_1(w)} dw \right\} \\ - \left\{ e^{jk\rho \sin \theta' \cos(\phi + \phi')} U[\pi - |\phi + \phi'|] - \frac{1}{4\pi jn} \int_{SDP_{z,x}} H_2(w) e^{k\rho \sin \theta' h_2(w)} dw \right\} \end{array} \right] e^{jkz \cos \theta'}
\end{aligned} \tag{3.157}$$

จากสมการ (3.157) พจน์ $E_z^i(Q_D) e^{jk\rho \sin \theta' \cos(\phi - \phi')} U[\pi - |\phi - \phi'|]$ แสดงถึงสนามไฟฟ้าจากไดโพลไฟฟ้าที่วางอยู่ไกลมากมายังจุดสังเกต (ρ, ϕ, z) ซึ่งมีลักษณะเป็นคลื่นระนาบขนาด $E_z^i(Q_D)$ ตกกระทบในทิศทาง (ϕ', θ') หรือเรียกว่า สนามไฟฟ้ตกกระทบตามกรรมวิธีทัศนศาสตร์เชิงเรขาคณิต (incident geometrical optics fields)

และพจน์ $-E_z^i(Q_D) e^{jk\rho \sin \theta' \cos(\phi + \phi')} U[\pi - |\phi + \phi'|]$ แสดงถึงสนามไฟฟ้าจากภาพเสมือนของไดโพลไฟฟ้าตามทฤษฎีภาพเสมือน (image theory) ที่วางอยู่ไกลมากมายังจุดสังเกต (ρ, ϕ, z) ซึ่งมีลักษณะเป็นคลื่นระนาบขนาด $E_z^i(Q_D)$ ตกกระทบในทิศทาง $(-\phi', \theta')$ หรือเรียกว่า สนามไฟฟ้าสะท้อนตามกรรมวิธีทัศนศาสตร์เชิงเรขาคณิต (reflected geometrical optics fields)

และพจน์ $-E_z^i(Q_D) \frac{e^{jkz \cos \theta'}}{4\pi jn} \int_{SDP_{z,x}} H_1(w) e^{k\rho \sin \theta' h_1(w)} dw$ และพจน์ $E_z^i(Q_D) \frac{e^{jkz \cos \theta'}}{4\pi jn} \int_{SDP_{z,x}} H_2(w) e^{k\rho \sin \theta' h_2(w)} dw$ เป็นสนามไฟฟ้าที่เกิดจากการสร้างขึ้นจากจุดอานม้าทุก ๆ จุดตามเส้นทาง steepest descent ซึ่งจากสมการ (3.148) มีจุดอานม้าบนเส้นทาง steepest descent ในระนาบเชิงซ้อน w เพียง 2 จุดคือที่ $w_s = \pm\pi$ และจากแนวความคิดของ Keller พจน์ทั้ง 4 นี้ทำให้เกิดสนามไฟฟ้าเลี้ยวเบนจากขอบของรูปสี่เหลี่ยมที่จุดกำเนิดไปสู่บริเวณเงาและบริเวณอื่น ๆ ซึ่งเมื่อข้อยู่ไกลจากจุดอานม้าพจน์ทั้ง 4 สามารถทำได้โดยใช้กรรมวิธี steepest descent มาประมาณค่าในย่านความถี่สูง ($k \rightarrow \infty$) ดังนี้

$$\int_{SDP} H_1(w) e^{k\rho \sin \theta' h_1(w)} dw \cong H_1(w_s = \pi) \sqrt{\frac{2\pi}{k\rho \sin \theta' |h_1'(w_s = \pi)|}} e^{k\rho \sin \theta' h_1(w_s = \pi) + j\gamma} \tag{3.158}$$

โดยที่ γ คือ มุมที่เส้นทาง steepest descent SDP_π ทำกับแกนส่วนจริงของ w ซึ่งต้องเลือกให้ $[e^{j2\gamma} h_1'(w_s = \pi)]$ เป็นจำนวนจริงลบ และเนื่องจาก $h_1'(w_s = \pi) = -j \cos(\pi) = j$ ดังนั้น

$$2\gamma + \frac{\pi}{2} = \pm\pi$$

ซึ่งจะได้ γ เท่ากับ $\frac{\pi}{4}$ หรือ $-\frac{3\pi}{4}$ ขึ้นอยู่กับเส้นทาง steepest descent โดย $\gamma = \frac{\pi}{4}$ ถ้าเส้นทาง steepest descent เริ่มจากจุดภาคที่ 3 มายังจุดภาคที่ 1 หรือจากจุดภาคที่ 2 มายังจุดภาคที่ 4 และ $\gamma = -\frac{3\pi}{4}$ ถ้าเส้นทาง steepest descent

เริ่มจากจุดภาคที่ 1 มายังจุดภาคที่ 3 หรือจากจุดภาคที่ 4 มายังจุดภาคที่ 2 สำหรับเส้นทาง steepest descent SDP_{π} ดังรูป 3.18 เริ่มจากจุดภาคที่ 3 มายังจุดภาคที่ 1 ดังนั้น $\gamma = \frac{\pi}{4}$ ทำให้สมการ (1.68) เป็น

$$\int_{SDP_{\pi}} H_1(w) e^{k\rho \sin \theta' h_1(w)} dw \stackrel{k\rho \sin \theta' \rightarrow -\infty}{\cong} \cot \left[\frac{\pi + (\phi - \phi')}{2n} \right] \sqrt{\frac{2\pi}{k\rho \sin \theta'}} e^{-jk\rho \sin \theta' + j\frac{\pi}{4}} \quad (3.159)$$

และจะได้

$$-E_z'(Q_D) \frac{e^{j/z \cos \theta'}}{4\pi jn} \int_{SDP_{\pi}} H_1(w) e^{k\rho \sin \theta' h_1(w)} dw = -E_z'(Q_D) \frac{e^{-j\frac{\pi}{4}}}{2n\sqrt{2\pi k}} \cot \left[\frac{\pi + (\phi - \phi')}{2n} \right] \sqrt{\frac{1}{\rho \sin \theta'}} e^{-jk\rho \sin \theta' + j/z \cos \theta'} \quad (3.160)$$

จากกฎของการเลียวน $\theta' = \pi - \theta$ ดังนั้น $\rho \sin \theta' = \rho \sin \theta = r \sin^2 \theta$ และ $z \cos \theta' = -z \cos \theta$ และ $r = \rho \sin \theta + z \cos \theta$ ซึ่งเมื่อแทนลงในสมการ (3.160) จะได้

$$-E_z'(Q_D) \frac{e^{j/z \cos \theta'}}{4\pi jn} \int_{SDP_{\pi}} H_1(w) e^{k\rho \sin \theta' h_1(w)} dw = -E_z'(Q_D) \frac{e^{-j\frac{\pi}{4}}}{2n\sqrt{2\pi k} \sin \theta} \cot \left[\frac{\pi + (\phi - \phi')}{2n} \right] \frac{e^{-j/z}}{\sqrt{r}} \quad (3.161)$$

เช่นเดียวกับสมการ (3.158) เมื่อทำอินทิกรัลตามเส้นทาง steepest descent $SDP_{-\pi}$ ค่าของ $h_1'(w_s = -\pi) = j$ และเนื่องจากเส้นทาง steepest descent $SDP_{-\pi}$ เริ่มจากจุดภาคที่ 1 มายังจุดภาคที่ 3 ดังรูป 3.18 ทำให้ γ ที่สอดคล้องคือ $\gamma = -\frac{3\pi}{4}$ ดังนั้น

$$\int_{SDP_{-\pi}} H_1(w) e^{k\rho \sin \theta' h_1(w)} dw \stackrel{k\rho \sin \theta' \rightarrow -\infty}{\cong} \cot \left[\frac{-\pi + (\phi - \phi')}{2n} \right] \sqrt{\frac{2\pi}{k\rho \sin \theta'}} e^{-jk\rho \sin \theta' - j\frac{3\pi}{4}} \quad (3.162)$$

เนื่องจาก $\cot(-\theta) = -\cot(\theta)$ และ $e^{-j\frac{3\pi}{4}} = e^{-j(\pi - \frac{\pi}{4})} = -e^{j\frac{\pi}{4}}$ ดังนั้น

$$-E_z'(Q_D) \frac{e^{j/z \cos \theta'}}{4\pi jn} \int_{SDP_{-\pi}} H_1(w) e^{k\rho \sin \theta' h_1(w)} dw = -E_z'(Q_D) \frac{e^{-j\frac{\pi}{4}}}{2n\sqrt{2\pi k}} \cot \left[\frac{\pi - (\phi - \phi')}{2n} \right] \sqrt{\frac{1}{\rho \sin \theta'}} e^{-jk\rho \sin \theta' + j/z \cos \theta'} \quad (3.163)$$

จากกฎของการเลียวน $\theta' = \pi - \theta$ ดังนั้น $\rho \sin \theta' = \rho \sin \theta = r \sin^2 \theta$ และ $z \cos \theta' = -z \cos \theta$ และ $r = \rho \sin \theta + z \cos \theta$ ซึ่งเมื่อแทนลงในสมการ (3.163) จะได้

$$-E_z'(Q_D) \frac{e^{j/kz \cos \theta'}}{4\pi jn} \int_{SDP_*} H_1(w) e^{k\rho \sin \theta' h_1(w)} dw = -E_z'(Q_D) \frac{e^{-j\frac{\pi}{4}}}{2n\sqrt{2\pi k} \sin \theta} \cot \left[\frac{\pi - (\phi - \phi')}{2n} \right] \frac{e^{-jkr}}{\sqrt{r}} \quad (3.164)$$

ในทำนองเดียวกัน

$$E_z'(Q_D) \frac{e^{j/kz \cos \theta'}}{4\pi jn} \int_{SDP_*} H_2(w) e^{k\rho \sin \theta' h_2(w)} dw = E_z'(Q_D) \frac{e^{-j\frac{\pi}{4}}}{2n\sqrt{2\pi k} \sin \theta} \cot \left[\frac{\pi + (\phi + \phi')}{2n} \right] \frac{e^{-jkr}}{\sqrt{r}} \quad (3.165)$$

และ

$$E_z'(Q_D) \frac{e^{j/kz \cos \theta'}}{4\pi jn} \int_{SDP_*} H_2(w) e^{k\rho \sin \theta' h_2(w)} dw = E_z'(Q_D) \frac{e^{-j\frac{\pi}{4}}}{2n\sqrt{2\pi k} \sin \theta} \cot \left[\frac{\pi - (\phi + \phi')}{2n} \right] \frac{e^{-jkr}}{\sqrt{r}} \quad (3.166)$$

สมการ (3.161) (3.164) (3.165) และ (3.166) เป็นพจน์ที่ทำให้เกิดสนามไฟฟ้าเนื่องจากการเลี้ยวเบนที่ขอบจากรูปลิมิตตัวนำอนันต์เมื่อถูกกระตุ้นด้วยไดโพลไฟฟ้าขนาดสั้นมากที่วางอยู่ที่ตำแหน่งไกล ๆ และเนื่องจากสนามไฟฟ้าที่มาจากไดโพลไฟฟ้าขนาดสั้นมากที่วางอยู่ที่ตำแหน่งไกล ๆ มีลักษณะเป็นคลื่นระนาบที่มีขนาดเท่ากับ $E_z'(Q_D)$ ดังนั้นเหมือนกับว่าสนามไฟฟ้าเนื่องจากการเลี้ยวเบนที่ขอบจากรูปลิมิตตัวนำในกรณีนี้เกิดจากมีคลื่นระนาบตกกระทบที่จุดกำเนิดซึ่งเป็นจุดที่เกิดการเลี้ยวเบนในทิศทาง (ϕ', θ') และเมื่อรวมพจน์ทั้ง 4 เข้าด้วยกัน สนามไฟฟ้าเนื่องจากการเลี้ยวเบนที่ขอบในทิศทางตามแนวแกน z เป็นดังสมการ (3.167)

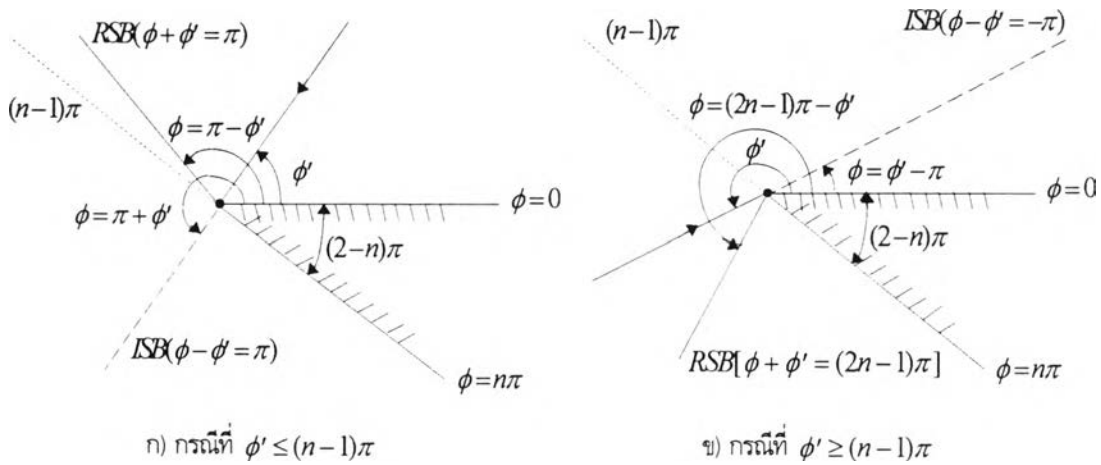
$$E_z^d = E_z'(Q_D) \left[\begin{aligned} & \left[\frac{e^{-j\frac{\pi}{4}}}{2n\sqrt{2\pi k} \sin \theta} \cot \left[\frac{\pi + (\phi - \phi')}{2n} \right] - \frac{e^{-j\frac{\pi}{4}}}{2n\sqrt{2\pi k} \sin \theta} \cot \left[\frac{\pi - (\phi - \phi')}{2n} \right] \right] \\ & + \left[\frac{e^{-j\frac{\pi}{4}}}{2n\sqrt{2\pi k} \sin \theta} \cot \left[\frac{\pi + (\phi + \phi')}{2n} \right] + \frac{e^{-j\frac{\pi}{4}}}{2n\sqrt{2\pi k} \sin \theta} \cot \left[\frac{\pi - (\phi + \phi')}{2n} \right] \right] \end{aligned} \right] \frac{e^{-jkr}}{\sqrt{r}} \quad (3.167)$$

และเนื่องจาก $\cot A + \cot B = \frac{\sin(A+B)}{\sin A \sin B} = \frac{2 \sin(A+B)}{\cos(A-B) - \cos(A+B)}$ ดังนั้นสมการ (3.167) เขียนใหม่เป็น

$$E_z^d = E_z'(Q_D) \left[\begin{aligned} & \frac{e^{-j\frac{\pi}{4}}}{n\sqrt{2\pi k} \sin \theta} \left\{ \frac{\sin\left(\frac{\pi}{n}\right)}{\cos\left(\frac{\pi}{n}\right) - \cos\left(\frac{\phi - \phi'}{n}\right)} \right\} - \frac{e^{-j\frac{\pi}{4}}}{n\sqrt{2\pi k} \sin \theta} \left\{ \frac{\sin\left(\frac{\pi}{n}\right)}{\cos\left(\frac{\pi}{n}\right) - \cos\left(\frac{\phi + \phi'}{n}\right)} \right\} \right] \frac{e^{-jkr}}{\sqrt{r}} \quad (3.168) \end{aligned}$$

สนามไฟฟ้าเนื่องจากการเลี้ยวเบนที่ขอบในทิศทางตามแนวแกน z ตามสมการ (3.167) นั้นมีค่าเมื่อขั้วไม่อยู่ใกล้จุดอาน้ำหรือมีค่าเมื่อจุดสังเกตไม่อยู่ใกล้ ๆ กับขอบเขตเงาของการตกกระทบ (incident shadow boundaries, ISB) และการ

สะท้อน (reflection shadow boundaries, RSB) ดังรูป 3.19 เนื่องจากที่บริเวณใกล้ ๆ กับขอบเขตเงาทั้งสอง ค่าของสนามไฟฟ้าเนื่องจากการเลี้ยวเบนที่ขอบในทิศทางตามแนวแกน z มีค่าเข้าใกล้ค่าอนันต์



รูป 3.19 ขอบเขตเงาของการตกกระทบและการสะท้อน

ในกรณีที่ช่วยใกล้เคียงกับจุดอานม้าหรือจุดสังเกตุอยู่ใกล้ ๆ กับขอบเขตเงาทั้งสองนั้น สนามเนื่องจากการเลี้ยวเบนที่ขอบซึ่งเกิดจากอินทิกรัลตามเส้นทาง $SDP_{\pm\pi}$ ในสมการ (3.157) หาได้โดยใช้กรรมวิธี steepest descent ชนิดดัดแปลงของ Pauli-Clemmow (L. B. Felsen and N. Marcuvitz, 1973) ซึ่งต่างกับกรรมวิธี steepest descent ตรงที่เพิ่มฟังก์ชันที่ลดเสยความไม่ต่อเนื่องตรงบริเวณขอบเขตเงาทั้งสองดังนี้

$$\int_{SDP_+} H_{1,2}(w) e^{k\rho \sin \theta' h_2(w)} dw \cong H_{1,2}(w_s = \pi) \sqrt{\frac{2\pi}{k\rho \sin \theta' |h_2'(w_s = \pi)|}} F[kLa^+(\phi \mp \phi')] e^{k\rho \sin \theta' h_2(w_s = \pi) + j\frac{\pi}{4}}$$

และ

$$\int_{SDP_-} H_{1,2}(w) e^{k\rho \sin \theta' h_2(w)} dw \cong H_{1,2}(w_s = -\pi) \sqrt{\frac{2\pi}{k\rho \sin \theta' |h_2'(w_s = -\pi)|}} F[kLa^-(\phi \mp \phi')] e^{k\rho \sin \theta' h_2(w_s = -\pi) + j\frac{3\pi}{4}}$$

ดังนั้นจะได้

$$-\frac{e^{-j\frac{\pi}{4}}}{4\pi jn} \int_{SDP_+} H_1(w) e^{k\rho \sin \theta' h_1(w)} dw = -\frac{e^{-j\frac{\pi}{4}}}{2n\sqrt{2\pi k} \sin \theta} \cot \left[\frac{\pi + (\phi - \phi')}{2n} \right] F[kLa^+(\phi - \phi')] \frac{e^{-jkr}}{\sqrt{r}} \quad (3.169\text{ก})$$

$$-\frac{e^{-j\frac{\pi}{4}}}{4\pi jn} \int_{SDP_-} H_1(w) e^{k\rho \sin \theta' h_1(w)} dw = -\frac{e^{-j\frac{\pi}{4}}}{2n\sqrt{2\pi k} \sin \theta} \cot \left[\frac{\pi - (\phi - \phi')}{2n} \right] F[kLa^-(\phi - \phi')] \frac{e^{-jkr}}{\sqrt{r}} \quad (3.169\text{ข})$$

$$\frac{e^{-j\frac{\pi}{4}}}{4\pi jn} \int_{SDP_+} H_2(w) e^{k\rho \sin \theta' h_2(w)} dw = \frac{e^{-j\frac{\pi}{4}}}{2n\sqrt{2\pi k} \sin \theta} \cot \left[\frac{\pi + (\phi + \phi')}{2n} \right] F[kLa^+(\phi + \phi')] \frac{e^{-jkr}}{\sqrt{r}} \quad (3.169\text{ค})$$

$$\frac{e^{-j\frac{\pi}{4}}}{4\pi jn} \int_{SDP_-} H_2(w) e^{k\rho \sin \theta' h_2(w)} dw = \frac{e^{-j\frac{\pi}{4}}}{2n\sqrt{2\pi k} \sin \theta} \cot \left[\frac{\pi - (\phi + \phi')}{2n} \right] F[kLa^-(\phi + \phi')] \frac{e^{-jkr}}{\sqrt{r}} \quad (3.169\text{ง})$$

โดยที่ $F[kLa^*(\phi \mp \phi')] = 2j\sqrt{kLa^*(\phi \mp \phi')}e^{ikLa^*(\phi \mp \phi')} \int_{\sqrt{kLa^*(\phi \mp \phi')}}^{\infty} \frac{e^{-j\tau^2}}{\sqrt{kLa^*(\phi \mp \phi')}} d\tau$ คือ ฟังก์ชันทรานซิชัน (transition function) ซึ่งเป็นฟังก์ชันที่บ่งบอกการแยกกันของข้อกับจุดอานม้าและเป็นฟังก์ชันที่ชดเชยความไม่ต่อเนื่องที่เกิดขึ้นที่ขอบเขตเงาทั้งสอง และค่าปัจจัย L ในฟังก์ชันทรานซิชันคือ ค่าปัจจัยทางระยะทาง (distance parameter) สำหรับในกรณีนี้คลื่นตกกระทบเป็นคลื่นระนาบ $L = \rho \sin \theta = r^2 \sin \theta$ แต่ถ้าคลื่นตกกระทบและคลื่นสะท้อนมีหน้าคลื่นใด ๆ ค่าปัจจัยทางระยะทางหาได้โดยพิจารณาความไม่ต่อเนื่องของสนามที่ขอบเขตเงาของการตกกระทบและการสะท้อน ซึ่ง R. G. Kouyoumjian และ P. H. Pathak (1974) ได้กำหนดเป็นดังสมการ (3.170ก-ข)

$$L' = \frac{s(\rho'_e + s)\rho'_i \rho'_2 \sin^2 \theta}{\rho'_e(\rho'_i + s)(\rho'_2 + s)} \quad (3.170ก)$$

$$L' = \frac{s(\rho'_e + s)\rho'_i \rho'_2 \sin^2 \theta}{\rho'_e(\rho'_i + s)(\rho'_2 + s)} \quad (3.170ข)$$

โดยที่ ρ'_i, ρ'_2 คือ รัศมีความโค้งหลักของหน้าคลื่นตกกระทบที่จุดเลี้ยวเบน

ρ'_e คือ รัศมีความโค้งของหน้าคลื่นตกกระทบที่จุดเลี้ยวเบนในระนาบการตกกระทบ

ρ'_i, ρ'_2 คือ รัศมีความโค้งหลักของหน้าคลื่นสะท้อนที่จุดเลี้ยวเบน

ρ'_e คือ รัศมีความโค้งของหน้าคลื่นสะท้อนที่จุดเลี้ยวเบนในระนาบการสะท้อน

s คือ ระยะทางจากจุดเลี้ยวเบนมายังจุดสังเกต

และ $a^*(\phi \mp \phi')$ ในฟังก์ชันทรานซิชันกำหนดดังสมการ (1.81)

$$a^*(\phi \mp \phi') = 1 + \cos[(\phi \mp \phi') - 2n\pi N^+] = 2 \cos^2 \left[\frac{(\phi \mp \phi') - 2n\pi N^+}{2} \right] \quad (3.171ก)$$

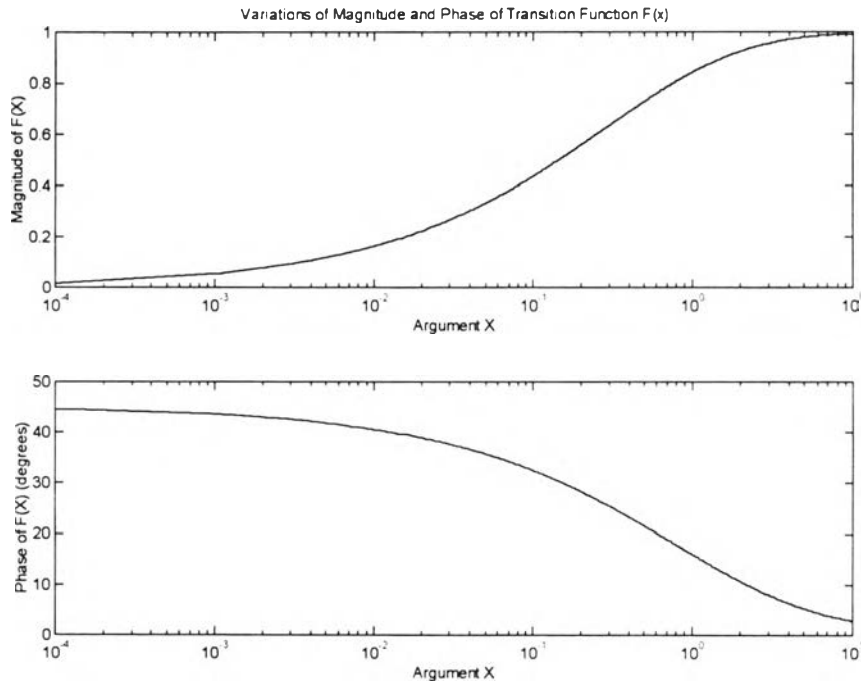
$$a^-(\phi \mp \phi') = 1 + \cos[(\phi \mp \phi') - 2n\pi N^-] = 2 \cos^2 \left[\frac{(\phi \mp \phi') - 2n\pi N^-}{2} \right] \quad (3.171ข)$$

โดยที่ N^+ และ N^- เป็นจำนวนเต็มที่สุดคล้ายกับสมการ (3.172ก) และ (3.172ข) มากที่สุด

$$2n\pi N^+ - (\phi \mp \phi') = +\pi \quad (3.172ก)$$

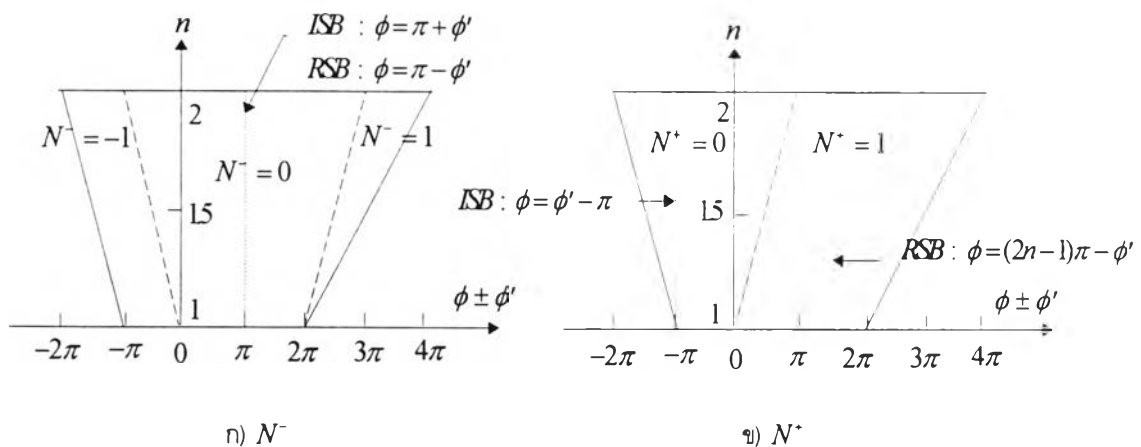
$$2n\pi N^- - (\phi \mp \phi') = -\pi \quad (3.172ข)$$

ฟังก์ชันทรานซิชันข้างต้นสามารถหาค่าโดยประมาณได้ดังแสดงในภาคผนวก จ. ซึ่งขนาดและเฟสของฟังก์ชันทรานซิชันจากการประมาณเป็นดังรูป 3.20



รูป 3.20 ขนาดและเฟสของฟังก์ชันทรานซิชัน

สำหรับรูปลิมิตที่ $1 \leq n \leq 2$ (exterior wedge) ค่าของ N^+ และ N^- ที่สอดคล้องกับสมการ (3.172ก) และ (3.172ข) คือ $N^+ = 0$ หรือ 1 และ $N^- = -1$ หรือ 1 และค่าของ n , $-2\pi \leq \phi \pm \phi' \leq 4\pi$, N^+ และ N^- มีความสัมพันธ์กันดังรูป 3.21ก สำหรับ $N^- = -1$ หรือ 1 และดังรูป 3.21ข สำหรับ $N^+ = 0$ หรือ 1



รูป 3.21 ความสัมพันธ์ของ N^+, N^-, n และ $\phi \pm \phi'$ สำหรับรูปลิมิตที่ $1 \leq n \leq 2$

จากสมการ (3.169ก-ง) สนามไฟฟ้าเนื่องจากการเลี้ยวเบนที่ขอบในทิศทางตามแนวแกน z สำหรับโนกรณิที่ชี้ขั้วอยู่ใกล้หรือไกลจากจุดอานมาเป็น

$$E_z^d = E_z'(Q_D) \left[\begin{array}{l} \{C^-(\xi^-, n, \theta)F[kL'a^-(\xi^-)] + C^-(\xi^-, n, \theta)F[kL'a^-(\xi^-)]\} \\ -\{C^+(\xi^+, n, \theta)F[kL'a^+(\xi^+)] + C^-(\xi^+, n, \theta)F[kL'a^-(\xi^+)]\} \end{array} \right] \frac{e^{-jkz}}{\sqrt{r}} \quad (3.173)$$

โดยที่ $C^\pm(\xi, n, \theta) = -\frac{e^{-j\frac{\pi}{4}}}{2n\sqrt{2\pi k} \sin\theta} \cot\left[\frac{\pi \pm \xi}{2n}\right]$ และ $\xi = \xi^\pm = \phi \mp \phi'$

ในทำนองเดียวกันกับการพิจารณาสนามเนื่องจากการเลี้ยวเบนที่ขอบจากรูปลิมิตตัวนำเมื่อกระตุ้นด้วยไดโพลไฟฟ้า ขนาดสั้นมากข้างต้น สนามเนื่องจากการเลี้ยวเบนที่ขอบจากรูปลิมิตตัวนำเมื่อกระตุ้นด้วยไดโพลแม่เหล็กขนาดสั้นมากสามารถหาได้โดยใช้เฮิร์ตซ์เวกเตอร์ $\bar{\Pi}^m$ ซึ่งสอดคล้องกับสมการอนุพันธ์ดังสมการ (3.174)

$$(\nabla^2 + k^2)\bar{\Pi}^m = -\frac{\bar{M}_s}{j\omega\mu} \quad (3.174)$$

โดยความหนาแน่นกระแสแม่เหล็ก \bar{M}_s เป็นดังสมการ (3.175)

$$\bar{M}_s = I^m L \delta(\bar{r} - \bar{r}') \bar{a}_z \quad (3.175)$$

เนื่องจากความหนาแน่นกระแสแม่เหล็กอยู่ในทิศทาง z ดังนั้นสมการ (3.174) ลดรูปลงเป็น

$$(\nabla^2 + k^2)\Pi_z^m = -\frac{I^m L \delta(\bar{r} - \bar{r}')}{j\omega\mu} \quad (3.176)$$

และเขียนอยู่ในรูปของกรีนฟังก์ชันได้ดังสมการ (3.177)

$$\left(\frac{\partial^2}{\partial \rho^2} + \frac{1}{\rho} \frac{\partial}{\partial \rho} + \frac{1}{\rho^2} \frac{\partial^2}{\partial \phi^2} + \frac{\partial^2}{\partial z^2} + k^2 \right) G^h(\rho, \phi, z, \rho', \phi', z') = -\frac{\delta(\rho - \rho')\delta(\phi - \phi')\delta(z - z')}{\rho} \quad (3.177)$$

โดยที่ $\Pi_z^m = \frac{I^m L}{j\omega\mu} G^h(\bar{r}, \bar{r}')$ และสอดคล้องกับเงื่อนไขขอบเขตแบบนอยมันน์ (Neumann boundary condition) คือ

$$\left. \frac{\partial H_\rho^m}{\partial \phi} \right|_{\phi=0, \Psi} = 0 \quad \text{และ} \quad \left. \frac{\partial H_z^m}{\partial \phi} \right|_{\phi=0, \Psi} = 0 \quad \text{และเนื่องจาก} \quad \bar{H}^m = \nabla(\nabla \cdot \bar{\Pi}^m) + k^2 \bar{\Pi}^m \quad \text{ดังนั้น} \quad \frac{\partial \Pi_z^m}{\partial \phi} = 0 \quad \text{บนพื้นผิวรูปลิมิตตัวนำ}$$

และจะได้

$$\frac{\partial G^h(\rho, \phi, z, \rho', \phi', z')}{\partial \phi} = 0 \quad \text{ที่} \quad \phi = 0 \quad \text{และ} \quad \phi = \Psi \quad (3.178)$$

ซึ่งเมื่อกำหนดกรีนฟังก์ชันเช่นเดียวกับในการณิการกระตุ้นด้วยไดโพลไฟฟ้าขนาดสั้นมากจะได้

$$G^h(\rho, \phi, z, \rho', \phi', z') = \sum_{m=0}^{\infty} \varepsilon_m \frac{1}{2\Psi_0} \cos\left(\frac{m\pi}{\Psi_0} \phi\right) \cos\left(\frac{m\pi}{\Psi_0} \phi'\right) J_{\nu_m}(k\rho \sin\theta') e^{jkz \cos\theta' + j\nu_m \frac{\pi}{2}} \frac{e^{-jkr'}}{r'} \quad (3.179)$$

โดยที่ $\varepsilon_m = \begin{cases} 1, & m=0 \\ 2, & m \neq 0 \end{cases}$ และเนื่องจาก $\bar{\Pi}^m = \Pi_z^m \bar{a}_z = \frac{I^m L}{j\omega\mu} G^h(\bar{r}, \bar{r}') \bar{a}_z$ และ $\bar{H}^m = \nabla(\nabla \cdot \bar{\Pi}^m) + k^2 \bar{\Pi}^m$ ดังนั้น

$$H_z^m = \left(\frac{\partial^2}{\partial z^2} + k^2 \right) \Pi_z^m = \left(\frac{\partial^2}{\partial z^2} + k^2 \right) \frac{I^m L}{j\omega\mu} G^h(\bar{r}, \bar{r}') \quad (3.180)$$

เมื่อแทนสมการ (3.179) ลงในสมการ (3.180) สนามแม่เหล็กในทิศทางตามแกน z ที่จุดสังเกตใด ๆ รอบรูปลิ่มตัวนำที่ถูกกระตุ้นด้วยไดโพลแม่เหล็กขนาดสั้นมากที่วางอยู่ที่ตำแหน่งไกลมากเป็น

$$H_z^m = -j\omega\varepsilon I^m L \sin^2 \theta' \sum_{m=1}^{\infty} \varepsilon_m \frac{1}{2\Psi_0} \cos\left(\frac{m\pi}{\Psi_0} \phi\right) \cos\left(\frac{m\pi}{\Psi_0} \phi'\right) J_{\nu_m}(k\rho \sin\theta') e^{jkz \cos\theta' + j\nu_m \frac{\pi}{2}} \frac{e^{-jkr'}}{r'} \quad (3.181)$$

และสนามแม่เหล็กที่มาจากไดโพลแม่เหล็กขนาดสั้นมากที่วางตัวอยู่ในทิศทาง z ดังสมการ (3.175) อยู่ที่ตำแหน่งไกลมากสามารถหาได้จากศักย์เวกเตอร์ไฟฟ้า (electric vector potential) ดังสมการ (3.182)

$$F_z = \frac{\varepsilon}{4\pi} \int_{-L/2}^{+L/2} \frac{I^m e^{-jk|\bar{r}-\bar{r}'|}}{|\bar{r}-\bar{r}'|} dz \approx \frac{\varepsilon I^m L e^{-jkz \cos\theta' + jk\rho \sin\theta' \cos(\phi-\phi')}}{4\pi r'} \quad (3.182)$$

จากสมการ (3.182) และ $\bar{H} = -j\omega\bar{F} - j\frac{1}{\omega\mu\varepsilon} \nabla(\nabla \cdot \bar{F})$ สนามแม่เหล็กเนื่องจากไดโพลแม่เหล็กขนาดสั้นมากที่วางตัวในทิศทาง z ที่จุดสังเกตใด ๆ เป็น

$$H_z^m = -j \frac{1}{\omega\mu\varepsilon} \left[(jk \cos\theta')^2 + k^2 \right] F_z = -\frac{j\omega\varepsilon I^m L \sin^2 \theta' e^{-jkr'}}{4\pi r'} e^{jkz \cos\theta' + jk\rho \sin\theta' \cos(\phi-\phi')} \quad (3.183)$$

สมการ (3.183) แสดงถึงสนามแม่เหล็กเนื่องจากไดโพลแม่เหล็กขนาดสั้นมากที่จุดสังเกต (r, θ, ϕ) เมื่อ $r' \rightarrow \infty$ และถ้าให้ $H_0 = -\frac{j\omega\varepsilon I^m L \sin^2 \theta' e^{-jkr'}}{4\pi r'}$ สมการ (3.183) บ่งบอกว่าสนามแม่เหล็กเนื่องจากไดโพลแม่เหล็กขนาดสั้นมากที่จุดสังเกต (r, θ, ϕ) เมื่อ $r' \rightarrow \infty$ ประพฤติตัวเป็นคลื่นระนาบที่มีขนาด H_0 ตกกระทบในทิศทาง (θ', ϕ') และเมื่อจุดสังเกตอยู่ที่จุดกำเนิด $r=0$ ซึ่งเป็นจุดที่เกิดการเลี้ยวเบน สนามแม่เหล็กเนื่องจากไดโพลแม่เหล็กขนาดสั้นมากที่ตกกระทบที่จุดเลี้ยวเบน Q_D เมื่อ $r' \rightarrow \infty$ เป็นดังสมการ (3.184)

$$H_z^m(Q_D) = -\frac{j\omega\varepsilon I^m L \sin^2 \theta' e^{-jkr'}}{4\pi r'} \quad (3.184)$$

เมื่อแทนสมการ (3.184) ลงในสมการ (3.181) จะได้

$$H_z^m = H_z(Q_D) \sum_{m=0}^{\infty} \varepsilon_m \frac{2\pi}{\Psi_0} \cos\left(\frac{m\pi}{\Psi_0} \phi\right) \cos\left(\frac{m\pi}{\Psi_0} \phi'\right) J_{\nu_m}(k\rho \sin \theta') e^{jkz \cos \theta' + j\nu_m \frac{\pi}{2}} \quad (3.185ก)$$

หรือ
$$H_z^m = H_z(Q_D) \sum_{m=0}^{\infty} \varepsilon_m \frac{2\pi}{\Psi_0} J_{\nu_m}(k\rho \sin \theta') e^{jkz \cos \theta' + j\nu_m \frac{\pi}{2}} \left[\frac{\cos[\nu_m(\phi - \phi')] + \cos[\nu_m(\phi + \phi')]}{2} \right] \quad (3.185ข)$$

เนื่องจากฟังก์ชันเบสเซลชนิดที่หนึ่งอันดับที่ ν_m เขียนอยู่ในรูปอินทิกรัลตามเส้นทางในระนาบเชิงซ้อน w ดังสมการ (3.141) และ $\cos[\nu_m(\phi \pm \phi')] = \frac{e^{j\nu_m(\phi \pm \phi')} + e^{-j\nu_m(\phi \pm \phi')}}{2}$ และ $\nu_m = \frac{m\pi}{\Psi_0} = \frac{m}{n}$ ดังนั้นเขียนสมการ (3.185ข) ใหม่ได้เป็น

$$H_z^m = H_z(Q_D) \left[\begin{array}{l} \left\{ \begin{array}{l} \frac{1}{2\pi n} \int_L \frac{1}{2} e^{jk\rho \sin \theta' \cos w} dw + \frac{1}{2\pi n} \int_L e^{jk\rho \sin \theta' \cos w} \sum_{m=1}^{\infty} e^{j\frac{m}{n}(\phi - \phi' - w)} dw \\ + \frac{1}{2\pi n} \int_L \frac{1}{2} e^{jk\rho \sin \theta' \cos w} dw + \frac{1}{2\pi n} \int_L e^{jk\rho \sin \theta' \cos w} \sum_{m=1}^{\infty} e^{-j\frac{m}{n}(\phi - \phi' + w)} dw \end{array} \right\} \\ + \left\{ \begin{array}{l} \frac{1}{2\pi n} \int_L \frac{1}{2} e^{jk\rho \sin \theta' \cos w} dw + \frac{1}{2\pi n} \int_L e^{jk\rho \sin \theta' \cos w} \sum_{m=1}^{\infty} e^{j\frac{m}{n}(\phi - \phi' + w)} dw \\ + \frac{1}{2\pi n} \int_L \frac{1}{2} e^{jk\rho \sin \theta' \cos w} dw + \frac{1}{2\pi n} \int_L e^{jk\rho \sin \theta' \cos w} \sum_{m=1}^{\infty} e^{-j\frac{m}{n}(\phi - \phi' - w)} dw \end{array} \right\} \end{array} \right] e^{jkz \cos \theta'} \quad (3.186)$$

เมื่อใช้คุณสมบัติของอนุกรมอนันต์ดังสมการ (3.144) และ (3.145) จะได้

$$H_z^m = H_z(Q_D) \frac{1}{2\pi n} \left[\left\{ \int_L e^{jk\rho \sin \theta' \cos w} \left(-\frac{1}{2j} \cot \left[\frac{\phi - \phi' + w}{2n} \right] \right) dw + \int_L e^{jk\rho \sin \theta' \cos w} \left(\frac{1}{2j} \cot \left[\frac{\phi - \phi' + w}{2n} \right] \right) dw \right\} \right. \\ \left. + \left\{ \int_L e^{jk\rho \sin \theta' \cos w} \left(-\frac{1}{2j} \cot \left[\frac{\phi + \phi' + w}{2n} \right] \right) dw + \int_L e^{jk\rho \sin \theta' \cos w} \left(\frac{1}{2j} \cot \left[\frac{\phi + \phi' + w}{2n} \right] \right) dw \right\} \right] e^{jkz \cos \theta'} \quad (3.187)$$

ถ้ากำหนดให้ $\int_{L-L} f(w) dw = \int_L f(w) dw - \int_L f(w) dw$ สมการ (3.187) เขียนใหม่เป็น

$$H_z^m = H_z(Q_D) \left[\frac{1}{4\pi j n} \left\{ \int_{L-L} \cot \left[\frac{\phi - \phi' + w}{2n} \right] e^{jk\rho \sin \theta' \cos w} dw + \int_{L-L} \cot \left[\frac{\phi + \phi' + w}{2n} \right] e^{jk\rho \sin \theta' \cos w} dw \right\} \right] e^{jkz \cos \theta'} \quad (3.188)$$

อินทิกรัลตามเส้นทาง $L-L$ ในสมการ (3.188) สามารถทำได้โดยใช้ทฤษฎีบทค่าเรซิดิว (residue theorem) เช่นเดียวกับในกรณีระดับด้วยไดโพลไฟฟ้าขนาดสั้นมากซึ่งจะได้

$$H_z^m = H_z^i(Q_D) \left[\begin{array}{l} \left\{ e^{jk\rho \sin\theta \cos(\phi-\phi')} U[\pi-|\phi-\phi'|] - \frac{1}{4\pi jn} \int_{SDP_{z^+}} H_1(w) e^{jk\rho \sin\theta h_1(w)} dw \right\} \\ + \left\{ e^{jk\rho \sin\theta \cos(\phi+\phi')} U[\pi-|\phi+\phi'|] - \frac{1}{4\pi jn} \int_{SDP_{z^-}} H_2(w) e^{jk\rho \sin\theta h_2(w)} dw \right\} \end{array} \right] e^{jkz \cos\theta} \quad (3.189)$$

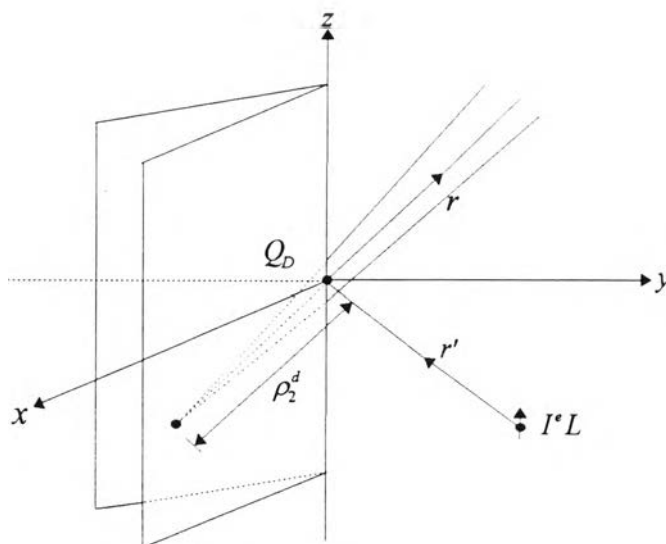
และสนามแม่เหล็กเนื่องจากการเลี้ยวเบนที่ขอบในทิศทางตามแนวแกน z เป็น

$$H_z^d = H_z^i(Q_D) \left[\begin{array}{l} \left\{ C^-(\xi^-, n, \theta) F[kL^+ a^-(\xi^-)] + C^-(\xi^-, n, \theta) F[kL^- a^-(\xi^-)] \right\} \\ + \left\{ C^+(\xi^+, n, \theta) F[kL^+ a^+(\xi^+)] + C^+(\xi^+, n, \theta) F[kL^- a^+(\xi^+)] \right\} \end{array} \right] \frac{e^{-jkz}}{\sqrt{r}} \quad (3.190)$$

โดยที่ $C^\pm(\xi, n, \theta) = -\frac{e^{-j\frac{\pi}{4}}}{2n\sqrt{2\pi k \sin\theta}} \cot\left[\frac{\pi \pm \xi}{2n}\right]$ และ $\xi = \xi^\mp = \phi \mp \phi'$ และจากสมการ (3.93) เมื่อพิจารณาองค์ประกอบในแนว z จะได้

$$E_z^d = E_z^i(Q_D) D_s \sqrt{\frac{\rho_2^d}{r(\rho_2^d + r)}} e^{-jkz} \quad (3.191)$$

และเนื่องจากรูปลิ่มตัวนำที่ทำกรวิเคราะห์มีขอบเป็นเส้นตรงยาวอนันต์ตามแนวแกน z และไดโพลไฟฟ้าขนาดสั้นมากวางอยู่ที่ตำแหน่งไกลมาก ดังนั้นจากทฤษฎีภาพเสมือน $\rho_2^d = r' \rightarrow \infty$ ดังรูป 3.22 ทำให้



รูป 3.22 ระยะตัดกันของรังสีของรูปลิ่มตัวนำที่มีขอบเป็นเส้นตรงยาวอนันต์ตามทฤษฎีภาพเสมือน

เมื่อเปรียบเทียบกับสมการ (3.192) กับ (3.173) พบว่า

$$D_s(\xi, n, \theta) = \begin{bmatrix} \{C^+(\xi^-, n, \theta)F[kL'a^+(\xi^-)] + C^-(\xi^-, n, \theta)F[kL'a^-(\xi^-)]\} \\ -\{C^+(\xi^+, n, \theta)F[kL'a^+(\xi^+)] + C^-(\xi^+, n, \theta)F[kL'a^-(\xi^+)]\} \end{bmatrix} \quad (3.193)$$

โดยที่ $C^\pm(\xi, n, \theta) = -\frac{e^{-j\frac{\pi}{4}}}{2n\sqrt{2\pi k \sin\theta}} \cot\left[\frac{\pi \pm \xi}{2n}\right]$ และ $\xi = \xi^\mp = \phi \mp \phi'$ และ D_s เรียกว่า สัมประสิทธิ์การเลี้ยวเบนที่สอดคล้องกับเงื่อนไขขอบเขตแบบดิริชเลต์หรือสำหรับโพลาริเซชันแบบอ่อน (soft polarization) ในทำนองเดียวกัน

$$H_z^d = \lim_{\rho_2^d \rightarrow \infty} H_z(Q_D) D_h \sqrt{\frac{\rho_2^d}{r(\rho_2^d + r)}} e^{-jk\rho} = H_z(Q_D) D_h \frac{e^{-jk\rho}}{\sqrt{r}} \quad (3.194)$$

และเมื่อเปรียบเทียบกับสมการ (3.194) กับสมการ (3.190) พบว่า

$$D_h(\xi, n, \theta) = \begin{bmatrix} \{C^+(\xi^-, n, \theta)F[kL'a^+(\xi^-)] + C^-(\xi^-, n, \theta)F[kL'a^-(\xi^-)]\} \\ +\{C^+(\xi^+, n, \theta)F[kL'a^+(\xi^+)] + C^-(\xi^+, n, \theta)F[kL'a^-(\xi^+)]\} \end{bmatrix} \quad (3.195)$$

โดย D_h เรียกว่า สัมประสิทธิ์การเลี้ยวเบนที่สอดคล้องกับเงื่อนไขขอบเขตแบบนอยมันน์หรือสำหรับโพลาริเซชันแบบแข็ง (hard polarization)

จากข้างต้นเป็นการหาสนามไฟฟ้าและสนามแม่เหล็กเนื่องจากการกระตุ้นด้วยไดโพลไฟฟ้า (TM^z) และไดโพลแม่เหล็กขนาดสั้นมาก (TE^z) ซึ่งสามารถนำมาใช้หาสนามไฟฟ้าและสนามแม่เหล็กที่เกิดจากคลื่นมีโพลาริเซชันแบบใด ๆ (arbitrary polarization) ตกกระทบบนรูปลิมิตวนำได้โดยรวมสนามไฟฟ้าและสนามแม่เหล็กที่เกิดจากการกระตุ้นทั้ง 2 กรณีเข้าด้วยกัน ดังนั้นสนามไฟฟ้าและสนามแม่เหล็กที่เกิดจากคลื่นมีโพลาริเซชันแบบใด ๆ ตกกระทบบนรูปลิมิตวนำเป็น

$$\vec{H} = \vec{H}^e + \vec{H}^m \quad (3.196ก)$$

$$\vec{E} = \vec{E}^e + \vec{E}^m \quad (3.196ข)$$

โดยที่ e และ m ที่กำกับไว้ในสมการ (3.196ก-ข) แสดงถึงสนามไฟฟ้าและสนามแม่เหล็กที่มาจากการกระตุ้นด้วยไดโพลไฟฟ้าและไดโพลแม่เหล็กขนาดสั้นมากตามลำดับ และเมื่อพิจารณาองค์ประกอบของสนามในทิศทาง z พบว่า $H_z = H_z^m$ เนื่องจาก $\vec{H}^e = j\omega\epsilon\nabla \times \vec{\Pi}^e = j\omega\epsilon\nabla \times \Pi_z^e \vec{a}_z$ ทำให้ $H_z^e = 0$ และ $E_z = E_z^e$ เนื่องจาก $\vec{E}^m = -j\omega\mu\nabla \times \vec{\Pi}^m = -j\omega\mu\nabla \times \Pi_z^m \vec{a}_z$ ทำให้ $E_z^m = 0$ และจากการวิเคราะห์ข้างต้น H_z^m, E_z^e ประกอบด้วยสนามที่มาจากสองส่วนคือ สนามตามกรรมวิธิตันตศาสตร์เชิงเรขาคณิตกับสนามเนื่องจากการเลี้ยวเบนที่ขอบ ดังนั้น

$$H_z = H_z^m = H_z^{CO} + H_z^d = H_z^{CO} + H_z^d D_h \frac{e^{-jk\rho}}{\sqrt{r}} \quad (3.197ก)$$

$$E_z = E_z^e = E_z^{GO} + E_z^d = E_z^{GO} + E_z^d D_s \frac{e^{-jkz}}{\sqrt{r}} \quad (3.197ข)$$

จากภาคผนวก ง. เมื่อทราบองค์ประกอบในทิศทาง z ของสนามไฟฟ้าและสนามแม่เหล็กที่มีการเปลี่ยนแปลงอยู่ในรูปเอกซ์โพเนนเชียล e^{-jkz} สนามไฟฟ้าและสนามแม่เหล็กในทิศทางตั้งฉากกับ z เป็น

$$\vec{H}_t = -\frac{jk_z \nabla_t H_z}{k^2 - k_z^2} - \frac{j\omega \vec{a}_z \times \nabla_t E_z}{k^2 - k_z^2} \quad (3.198ก)$$

$$\vec{E}_t = -\frac{jk_z \nabla_t E_z}{k^2 - k_z^2} + \frac{j\omega \mu \vec{a}_z \times \nabla_t H_z}{k^2 - k_z^2} \quad (3.198ข)$$

เนื่องจาก H_z, E_z ในสมการ (3.197ก-ข) มีการเปลี่ยนแปลงในทิศทาง z อยู่ในรูปเอกซ์โพเนนเชียล $e^{-jk \cos \theta z}$ ดังนั้น

$$\vec{H}_t = -\frac{jk \cos \theta \nabla_t H_z}{k^2 \sin^2 \theta} - \frac{j\omega \vec{a}_z \times \nabla_t E_z}{k^2 \sin^2 \theta} \quad (3.199ก)$$

$$\vec{E}_t = -\frac{jk \cos \theta \nabla_t E_z}{k^2 \sin^2 \theta} + \frac{j\omega \mu \vec{a}_z \times \nabla_t H_z}{k^2 \sin^2 \theta} \quad (3.199ข)$$

และเนื่องจาก ∇ เป็นตัวดำเนินการแบบเชิงเส้น ดังนั้นเมื่อแทน H_z, E_z ลงในสมการ (3.199ก-ข) สนามเนื่องจากการเลี้ยวเบนที่ขอบในทิศทางตั้งฉากกับ z เป็น

$$\vec{H}_t^d = -\frac{jk \cos \theta \nabla_t H_z^d}{k^2 \sin^2 \theta} - \frac{j\omega \vec{a}_z \times \nabla_t E_z^d}{k^2 \sin^2 \theta} \quad (3.200ก)$$

$$\vec{E}_t^d = -\frac{jk \cos \theta \nabla_t E_z^d}{k^2 \sin^2 \theta} + \frac{j\omega \mu \vec{a}_z \times \nabla_t H_z^d}{k^2 \sin^2 \theta} \quad (3.200ข)$$

โดยที่

$$\begin{aligned} \nabla_t E_z^d &= \nabla_t \left(E_z^d D_s \frac{e^{-jkz}}{\sqrt{r}} \right) = \nabla_t \left(E_z^d D_s \frac{e^{-jk \rho \sin \theta - jkz \cos \theta} \sqrt{\sin \theta}}{\sqrt{\rho}} \right) \\ &= \frac{\partial}{\partial \rho} \left(E_z^d D_s \frac{e^{-jk \rho \sin \theta - jkz \cos \theta} \sqrt{\sin \theta}}{\sqrt{\rho}} \right) \vec{a}_\rho + \frac{1}{\rho} \frac{\partial}{\partial \phi} \left(E_z^d D_s \frac{e^{-jk \rho \sin \theta - jkz \cos \theta} \sqrt{\sin \theta}}{\sqrt{\rho}} \right) \vec{a}_\phi \\ &= E_z^d D_s (-jk \sin^2 \theta) \frac{e^{-jk \rho \sin \theta - jkz \cos \theta}}{\sqrt{\rho}} \vec{a}_\rho + \left(\frac{1}{\sqrt{k\rho}} \right) \end{aligned} \quad (3.201ก)$$

$$\begin{aligned}
\nabla_t H_z^d &= \nabla_t \left(H_z^i D_h \frac{e^{-jk\rho}}{\sqrt{r}} \right) = \nabla_t \left(H_z^i D_h \frac{e^{-jk\rho \sin\theta - jkz \cos\theta} \sqrt{\sin\theta}}{\sqrt{\rho}} \right) \\
&= \frac{\partial}{\partial \rho} \left(H_z^i D_h \frac{e^{-jk\rho \sin\theta - jkz \cos\theta} \sqrt{\sin\theta}}{\sqrt{\rho}} \right) \bar{a}_\rho + \frac{1}{\rho} \frac{\partial}{\partial \phi} \left(H_z^i D_h \frac{e^{-jk\rho \sin\theta - jkz \cos\theta} \sqrt{\sin\theta}}{\sqrt{\rho}} \right) \bar{a}_\phi \\
&= H_z^i D_h (-jk \sin^2 \theta) \frac{e^{-jk\rho \sin\theta - jkz \cos\theta}}{\sqrt{\rho}} \bar{a}_\rho + O\left(\frac{1}{\sqrt{k\rho}}\right)
\end{aligned} \tag{3.201ข)$$

จากสมการ (3.201ก-ข) เมื่อ $k\rho$ มีค่าใหญ่เพียงพอ สามารถละเลยพจน์ $O\left(\frac{1}{\sqrt{k\rho}}\right)$ ได้ ดังนั้น

$$\nabla_t E_z^d \approx E_z^i D_s (-jk \sin\theta) \frac{e^{-jk\rho}}{\sqrt{r}} \bar{a}_\rho \tag{3.202ก)$$

$$\nabla_t H_z^d \approx H_z^i D_h (-jk \sin\theta) \frac{e^{-jk\rho}}{\sqrt{r}} \bar{a}_\rho \tag{3.202ข)$$

ซึ่งเมื่อแทนสมการ (3.202ก-ข) ลงในสมการ (3.200ก-ข) จะได้

$$\begin{aligned}
\bar{H}_t^d &= -\frac{jk \cos\theta}{k^2 \sin^2 \theta} H_z^i (-jk \sin\theta) D_h \frac{e^{-jk\rho}}{\sqrt{r}} \bar{a}_\rho - \frac{j\omega \epsilon \bar{a}_z}{k^2 \sin^2 \theta} \times \left(E_z^i (-jk \sin\theta) D_s \frac{e^{-jk\rho}}{\sqrt{r}} \bar{a}_\rho \right) \\
&= -\frac{\cos\theta}{\sin\theta} H_z^i D_h \frac{e^{-jk\rho}}{\sqrt{r}} \bar{a}_\rho - \frac{1}{Z \sin\theta} E_z^i D_s \frac{e^{-jk\rho}}{\sqrt{r}} \bar{a}_\phi
\end{aligned} \tag{3.203ก)$$

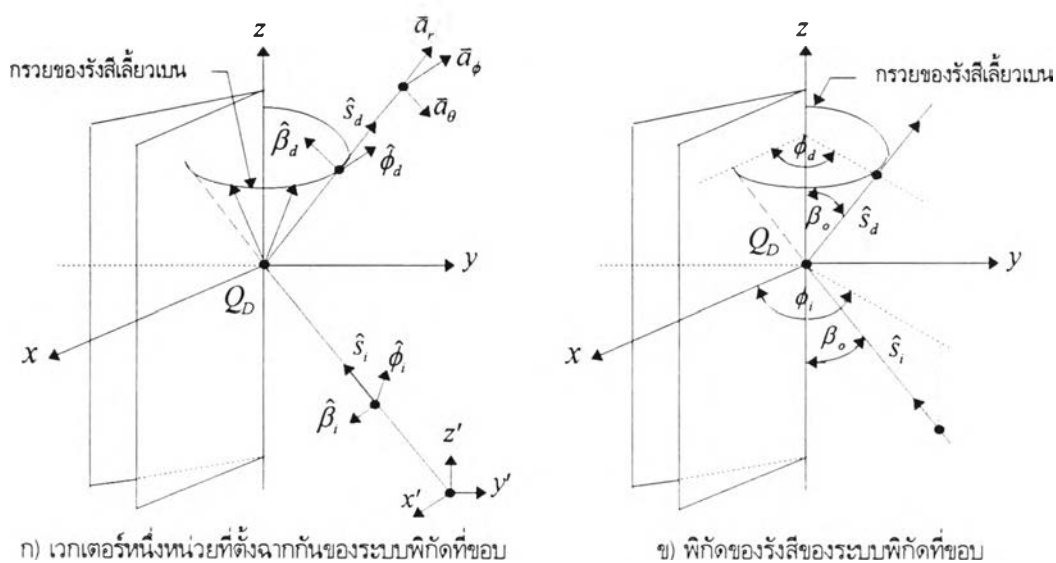
$$\begin{aligned}
\bar{E}_t^d &= -\frac{jk \cos\theta}{k^2 \sin^2 \theta} E_z^i (-jk \sin\theta) D_s \frac{e^{-jk\rho}}{\sqrt{r}} \bar{a}_\rho + \frac{j\omega \mu \bar{a}_z}{k^2 \sin^2 \theta} \times \left(H_z^i (-jk \sin\theta) D_h \frac{e^{-jk\rho}}{\sqrt{r}} \bar{a}_\rho \right) \\
&= -\frac{\cos\theta}{\sin\theta} E_z^i D_s \frac{e^{-jk\rho}}{\sqrt{r}} \bar{a}_\rho + \frac{Z}{\sin\theta} H_z^i D_h \frac{e^{-jk\rho}}{\sqrt{r}} \bar{a}_\phi
\end{aligned} \tag{3.203ข)$$

และเพื่อสะดวกในการพิจารณาสถานเนื่องจากการเลี้ยวเบนที่จุดเลี้ยวเบน Q_D ใด ๆ ระบบพิกัดที่จุดขอบซึ่งประกอบด้วย ระบบพิกัดของรังสีตกกระทบ (s_i, β_i, ϕ_i) และระบบพิกัดของรังสีเลี้ยวเบน (s_d, β_d, ϕ_d) โดยเวกเตอร์หนึ่งหน่วยที่ตั้งฉากกันของระบบพิกัดที่จุดขอบทั้งสองคือ $(\hat{s}_i, \hat{\beta}_i, \hat{\phi}_i)$ และ $(\hat{s}_d, \hat{\beta}_d, \hat{\phi}_d)$ ดังรูป 3.23 ถูกนำมาใช้ โดยที่ความสัมพันธ์ของระบบพิกัดเป็น

$$\hat{\beta}_i = \hat{s}_i \times \hat{\phi}_i \tag{3.204ก)$$

$$\hat{\beta}_d = \hat{s}_d \times \hat{\phi}_d \tag{3.204ข)$$

$$\beta_i = \beta_d = \beta_o \tag{3.204ค)$$



รูป 3.23 ระบบพิกัดที่ขอบของรังสีตกกระทบและรังสีเลี้ยวเบนสำหรับรูปลิ้มตัวนำ

และมีความสัมพันธ์กับระบบพิกัดทรงกลม (r, θ, ϕ) ที่ใช้ในการแก้ปัญหารูปลิ้มตัวนำข้างต้นดังนี้คือ

$$\hat{s}_i = -\hat{a}_r, \quad \hat{\beta}_i = \hat{a}_\theta, \quad \hat{\phi}_i = \hat{a}_\phi \quad (3.205ก)$$

$$\hat{s}_d = \hat{a}_r, \quad \hat{\beta}_d = -\hat{a}_\theta, \quad \hat{\phi}_d = \hat{a}_\phi \quad (3.205ข)$$

$$s_i = r', \quad \beta_i = \pi - \theta', \quad \phi_i = \phi' \quad (3.205ค)$$

$$s_d = r, \quad \beta_d = \theta, \quad \phi_d = \phi \quad (3.205ง)$$

และเนื่องจากคลื่นที่แผ่กระจายจากไดโพลไฟฟ้าและไดโพลแม่เหล็กขนาดสั้นมากซึ่งวางอยู่ที่ตำแหน่งไกลมากที่มาตกกระทบมีลักษณะเป็นคลื่นระนาบซึ่งไม่มีองค์ประกอบของสนามไฟฟ้าและสนามแม่เหล็กในทิศทางการเคลื่อนที่ ดังนั้นสนามไฟฟ้าและสนามแม่เหล็กตกกระทบสามารถแสดงในระบบพิกัดที่ขอบของรังสีตกกระทบได้เป็น

$$\vec{E} = E_\beta \hat{\beta}_i + E_\phi \hat{\phi}_i \quad (3.206ก)$$

$$\vec{H} = H_\beta \hat{\beta}_i + H_\phi \hat{\phi}_i \quad (3.206ข)$$

และ

$$\vec{H} = \frac{\hat{s}_i \times \vec{E}_i}{Z} \quad (3.206ค)$$

โดยที่ Z คือ อิมพีแดนซ์ลักษณะสมบัติของตัวกลางในบริเวณแผ่กระจายคลื่น และเมื่อแทนสมการ (3.206ค) ลงในสมการ

(3.206ข) และใช้ความสัมพันธ์ของระบบพิกัดที่ขอบของรังสีตกกระทบดังสมการ (3.204ก) จะได้ $H'_\beta = \frac{E'_\phi}{Z}$ และ

$H'_\phi = -\frac{E'_\beta}{Z}$ และจากความสัมพันธ์ของระบบพิกัดของรังสีตกกระทบกับระบบพิกัด (ρ, ϕ, z) จะได้

$$H_z^i = \vec{H}^i \cdot \vec{a}_z = -H_\beta^i \sin \beta_o = -\frac{E_\beta^i}{Z} \sin \beta_o \quad (3.207ก)$$

$$E_z^i = \vec{E}^i \cdot \vec{a}_z = -E_\beta^i \sin \beta_o = H_\beta^i Z \sin \beta_o \quad (3.207ข)$$

เนื่องจาก $\vec{a}_\rho = \vec{a}_r \sin \theta + \vec{a}_\theta \cos \theta = \hat{s}_d \sin \beta_o - \hat{\beta}_d \cos \beta_o$ และ $\vec{a}_\phi = \hat{\phi}_d$ ดังนั้นเมื่อแทนลงในสมการ (3.203ก-ข) จะได้

$$\vec{H}_t^d = \left[H_\beta^i D_h (\cos \beta_o \sin \beta_o \hat{s}_d - \cos^2 \beta_o \hat{\beta}_d) - H_\phi^i D_s \hat{\phi}_d \right] \frac{e^{-jk_s d}}{\sqrt{s_d}} \quad (3.208ก)$$

$$\vec{E}_t^d = \left[E_\beta^i D_s (\cos \beta_o \sin \beta_o \hat{s}_d - \cos^2 \beta_o \hat{\beta}_d) - E_\phi^i D_h \hat{\phi}_d \right] \frac{e^{-jk_s d}}{\sqrt{s_d}} \quad (3.208ข)$$

และ $\vec{a}_z = \vec{a}_r \cos \theta - \vec{a}_\theta \sin \theta = \hat{s}_d \cos \beta_o + \hat{\beta}_d \sin \beta_o$ ดังนั้น

$$H_z^d \vec{a}_z = H_z^i D_h \frac{e^{-jk_r}}{\sqrt{r}} \vec{a}_z = \left[-H_\beta^i D_h (\cos \beta_o \sin \beta_o \hat{s}_d + \sin^2 \beta_o \hat{\beta}_d) \right] \frac{e^{-jk_s d}}{\sqrt{s_d}} \quad (3.209ก)$$

$$E_z^d \vec{a}_z = E_z^i D_s \frac{e^{-jk_r}}{\sqrt{r}} \vec{a}_z = \left[-E_\beta^i D_s (\cos \beta_o \sin \beta_o \hat{s}_d + \sin^2 \beta_o \hat{\beta}_d) \right] \frac{e^{-jk_s d}}{\sqrt{s_d}} \quad (3.209ข)$$

จากสมการ (3.208ก-ข) และ (3.209ก-ข) ทำให้สนามไฟฟ้าและสนามแม่เหล็กเนื่องจากการเลี้ยวเบนที่ขอบเป็น

$$\vec{H}^d = \vec{H}_t^d + H_z^d \vec{a}_z = \left[-H_\beta^i D_h \hat{\beta}_d - H_\phi^i D_s \hat{\phi}_d \right] \frac{e^{-jk_s d}}{\sqrt{s_d}} \quad (3.210ก)$$

$$\vec{E}^d = \vec{E}_t^d + E_z^d \vec{a}_z = \left[-E_\beta^i D_s \hat{\beta}_d - E_\phi^i D_h \hat{\phi}_d \right] \frac{e^{-jk_s d}}{\sqrt{s_d}} \quad (3.210ข)$$

และ
$$\vec{H}^d = \frac{\hat{s}_d \times \vec{E}^d}{Z} \quad (3.210ค)$$

จากข้างต้น $\frac{1}{\sqrt{s_d}}$ คือ ตัวประกอบการลดทอนซึ่งเกิดจากการพิจารณารูปสมมติตัวนำที่มีสันขอบตรงยาวอนันต์และคลื่น

ตกกระทบเป็นคลื่นระนาบ แต่สำหรับกรณีที่เป็นสันขอบโค้งตัวประกอบการลดทอนเป็น $\sqrt{\frac{\rho_2^d}{s_d(\rho_2^d + s_d)}}$ ดังสมการ (3.93)

ดังนั้นสำหรับในกรณีสันขอบโค้ง สมการ (3.210ก-ข) สามารถเขียนใหม่ในรูปของสัมประสิทธิ์การเลี้ยวเบนแบบไดแอดิกได้เป็น

$$\bar{H}^d = \bar{H}'(Q_D) \cdot \bar{D}_H \sqrt{\frac{\rho_2^d}{s_d(\rho_2^d + s_d)}} e^{-jks_d} \quad (3.211ก)$$

$$\bar{E}^d = \bar{E}'(Q_D) \cdot \bar{D}_E \sqrt{\frac{\rho_2^d}{s_d(\rho_2^d + s_d)}} e^{-jks_d} \quad (3.211ข)$$

โดยที่สัมประสิทธิ์การเลี้ยวเบนแบบไดแอดิก $\bar{D}_H = -D_h \hat{\beta}_i \hat{\beta}_d - D_\phi \hat{\phi}_i \hat{\phi}_d$ และ $\bar{D}_E = -D_s \hat{\beta}_i \hat{\beta}_d - D_h \hat{\phi}_i \hat{\phi}_d$ และสัมประสิทธิ์การเลี้ยวเบน D_s กับ D_h เป็นดังสมการ (3.193) และ (3.195) ซึ่งเขียนในระบบพิกัดที่ขอบของรังสีตกกระทบและรังสีเลี้ยวเบนได้เป็น

$$D_s(\xi, n, \beta_o) = \begin{bmatrix} \{C^-(\xi^-, n, \beta_o) F[kLa^+(\xi^-)] + C^-(\xi^-, n, \beta_o) F[kLa^-(\xi^-)]\} \\ -\{C^+(\xi^+, n, \beta_o) F[kLa^+(\xi^+)] + C^+(\xi^+, n, \beta_o) F[kLa^-(\xi^+)]\} \end{bmatrix} \quad (3.212ก)$$

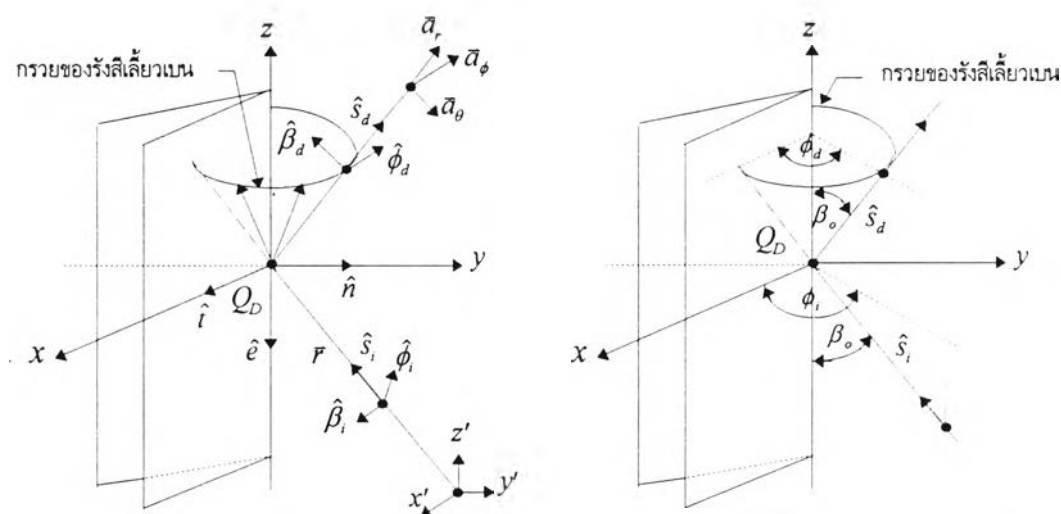
$$D_h(\xi, n, \beta_o) = \begin{bmatrix} \{C^-(\xi^-, n, \beta_o) F[kLa^+(\xi^-)] + C^-(\xi^-, n, \beta_o) F[kLa^-(\xi^-)]\} \\ +\{C^+(\xi^+, n, \beta_o) F[kLa^+(\xi^+)] + C^+(\xi^+, n, \beta_o) F[kLa^-(\xi^+)]\} \end{bmatrix} \quad (3.212ข)$$

โดยที่ $C^-(\xi, n, \beta_o) = -\frac{e^{-j\frac{\pi}{4}}}{2n\sqrt{2\pi k \sin \beta_o}} \cot\left[\frac{\pi \pm \xi}{2n}\right]$ และ $\xi = \xi^\mp = \phi_d \mp \phi$ และเมื่อพิจารณาค่าสัมประสิทธิ์การเลี้ยวเบนแบบไดแอดิกข้างต้นพบว่า สัมประสิทธิ์การเลี้ยวเบนแบบไดแอดิกเป็นฟังก์ชันของมุม ϕ , ϕ_d , β_o และทิศทางของเวกเตอร์หนึ่งหน่วยที่ตั้งฉากกันของระบบพิกัดที่ขอบของรังสีตกกระทบ \hat{r}_i , $\hat{\phi}_i$, $\hat{\beta}_i$ และของรังสีเลี้ยวเบน \hat{r}_d , $\hat{\phi}_d$, $\hat{\beta}_d$ ซึ่งสามารถหาได้โดยพิจารณาจากเวกเตอร์พื้นผิวที่จุดขอบที่ประกอบด้วย เวกเตอร์หนึ่งหน่วยในทิศทางสัมผัสกับพื้นผิวที่จุดขอบซึ่งมีทิศพุ่งจากจุดขอบเข้าหาพื้นผิว \hat{i} เวกเตอร์หนึ่งหน่วยในทิศทางสัมผัสกับขอบที่จุดขอบ \hat{e} และเวกเตอร์หนึ่งหน่วยในทิศทางตั้งฉากกับพื้นผิวที่จุดขอบ \hat{h} ดังรูป 3.24 โดยกำหนดให้

$$\hat{e} = -\frac{\vec{r}'}{|\vec{r}'|} \quad (3.213ก)$$

$$\hat{i} = \hat{e} \times \hat{h} \quad (3.213ข)$$

และ \vec{r}' คือ อนุพันธ์ของเวกเตอร์บอกตำแหน่งบนขอบ \vec{r} ที่จุดขอบ



รูป 3.24 เวกเตอร์พื้นผิวที่จุดขอบ $\hat{i}, \hat{e}, \hat{n}$ ที่ใช้หามุมและทิศทางของเวกเตอร์หนึ่งหน่วยที่ตั้งฉากกันของระบบพิกัดที่ขอบ

จากรูป 3.24 ทิศทางของเวกเตอร์หนึ่งหน่วยที่ตั้งฉากกันของระบบพิกัดที่ขอบของรังสีตกกระทบ $\hat{s}_i, \hat{\phi}_i, \hat{\beta}_i$ และของรังสีเลี้ยวเบน $\hat{s}_d, \hat{\phi}_d, \hat{\beta}_d$ และมุม β_o เป็นดังนี้

$$\hat{\phi}_i = \frac{\hat{e} \times \hat{s}_i}{|\hat{e} \times \hat{s}_i|} \tag{2.214ก}$$

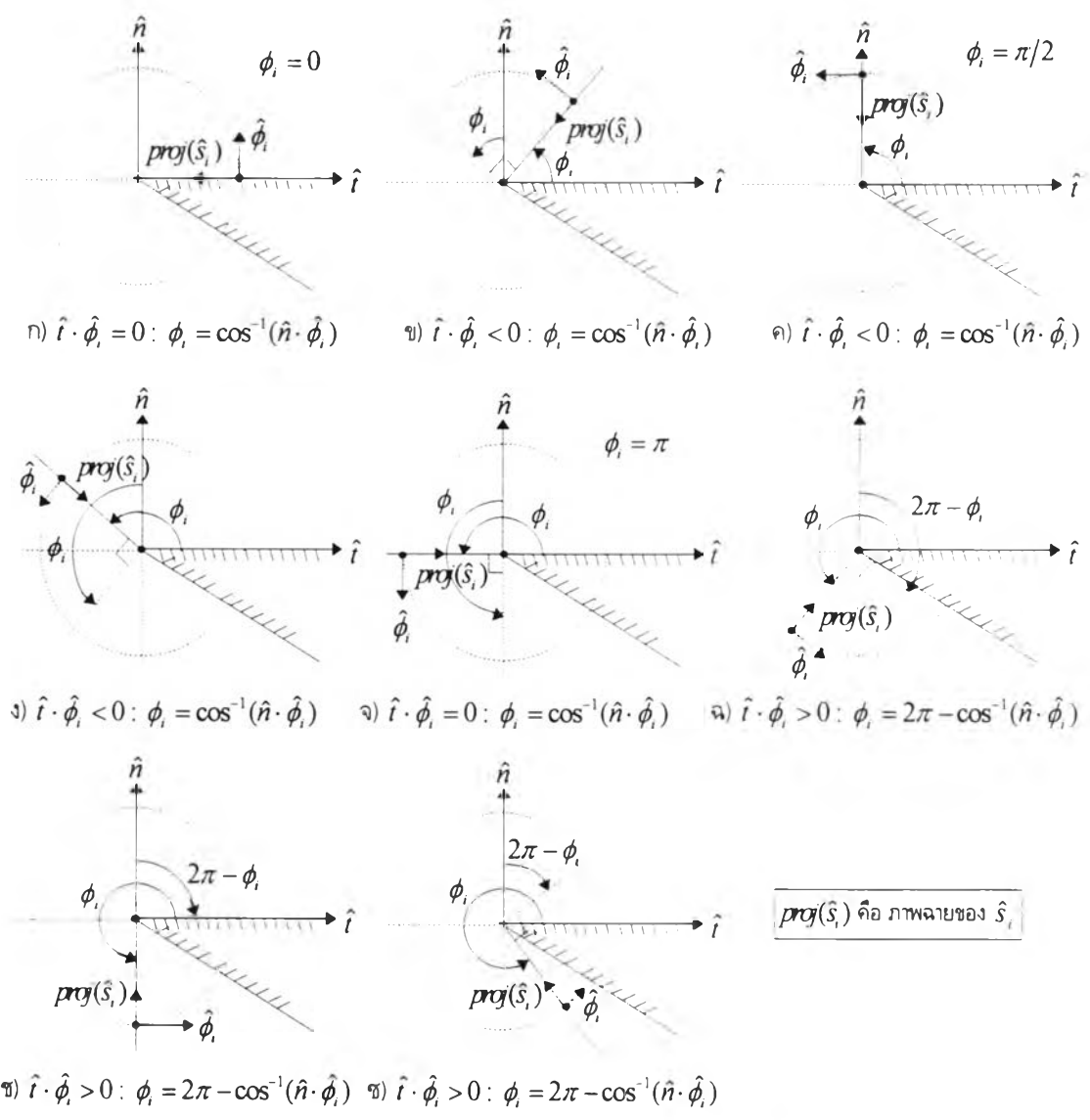
$$\hat{\beta}_i = \hat{s}_i \times \hat{\phi}_i \tag{3.214ข}$$

$$\hat{\phi}_d = \frac{\hat{s}_d \times \hat{e}}{|\hat{s}_d \times \hat{e}|} \tag{3.214ค}$$

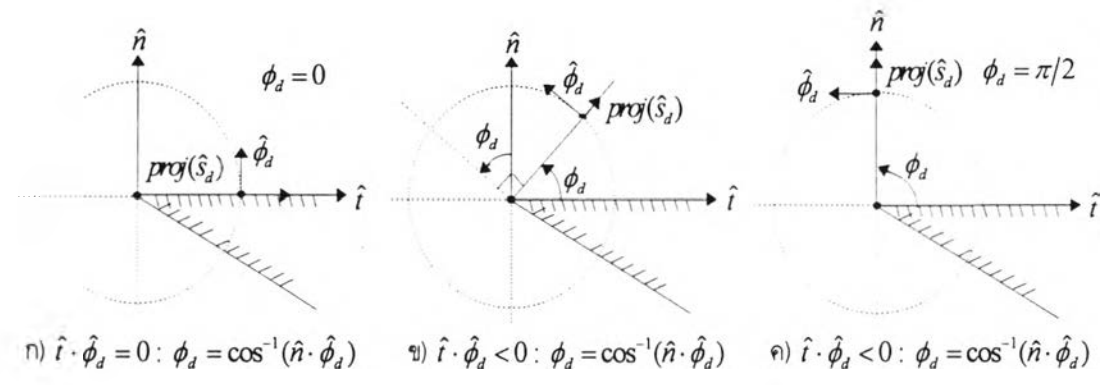
$$\hat{\beta}_d = \hat{s}_d \times \hat{\phi}_d \tag{3.214ง}$$

$$\sin \beta_o = \sqrt{1 - (\hat{s}_i \cdot \hat{e})^2} \tag{3.214จ}$$

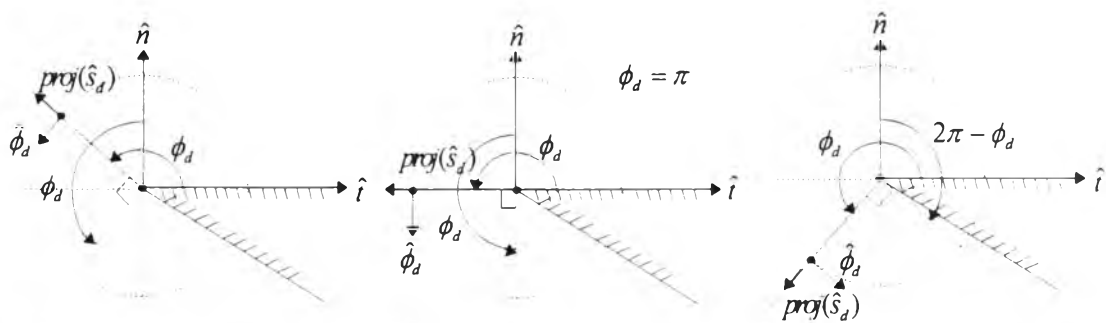
และมุม ϕ_i, ϕ_d หาได้โดยพิจารณากรณีต่าง ๆ ที่เกิดขึ้นจากการตกกระทบและการเลี้ยวเบนที่ขอบดังรูป 3.25 และ 3.26



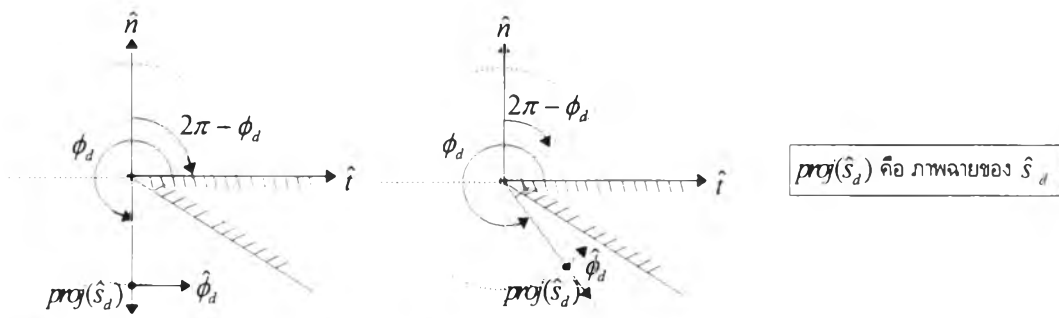
รูป 3.25 กรณีต่าง ๆ ที่เกิดขึ้นจากการตกกระทบที่ขอบของรูปสี่ม้วน



รูป 3.26 กรณีต่าง ๆ ที่เกิดขึ้นจากการเลียวนที่ขอบของรูปสี่ม้วน



ง) $\hat{i} \cdot \hat{\phi}_d < 0 : \phi_d = \cos^{-1}(\hat{n} \cdot \hat{\phi}_d)$ จ) $\hat{i} \cdot \hat{\phi}_d = 0 : \phi_d = \cos^{-1}(\hat{n} \cdot \hat{\phi}_d)$ ฉ) $\hat{i} \cdot \hat{\phi}_d > 0 : \phi_d = 2\pi - \cos^{-1}(\hat{n} \cdot \hat{\phi}_d)$



ช) $\hat{i} \cdot \hat{\phi}_d > 0 : \phi_d = 2\pi - \cos^{-1}(\hat{n} \cdot \hat{\phi}_d)$ ซ) $\hat{i} \cdot \hat{\phi}_d > 0 : \phi_d = 2\pi - \cos^{-1}(\hat{n} \cdot \hat{\phi}_d)$

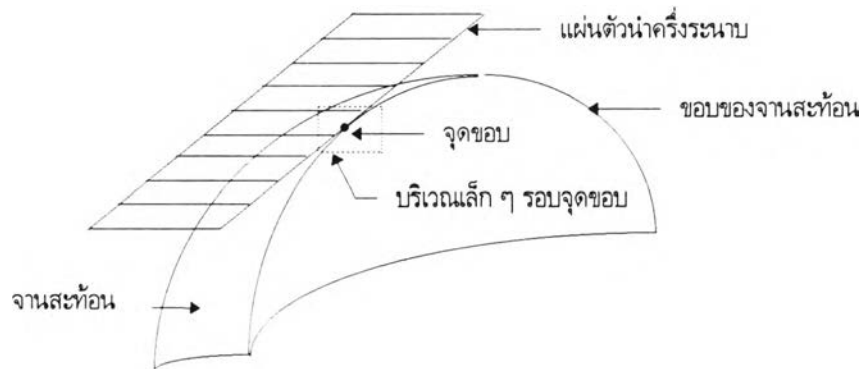
รูป 3.26 (ต่อ) กรณีต่าง ๆ ที่เกิดขึ้นจากการเลี้ยวเบนที่ขอบของรูปลิ่มตัวนำ

จากกรณีต่าง ๆ ที่เกิดขึ้นจากการตกกระทบและการเลี้ยวเบนในรูป 3.25 และ 3.26 เมื่อพิจารณาค่าปัจจัยทดสอบ $\hat{i} \cdot \hat{\phi}_i$ และ $\hat{i} \cdot \hat{\phi}_d$ พบว่า

$$\phi_i = \begin{cases} \cos^{-1}(\hat{n} \cdot \hat{\phi}_i) & , \hat{i} \cdot \hat{\phi}_i \leq 0 \\ 2\pi - \cos^{-1}(\hat{n} \cdot \hat{\phi}_i) & , \hat{i} \cdot \hat{\phi}_i > 0 \end{cases} \quad (3.215ก)$$

$$\phi_d = \begin{cases} \cos^{-1}(\hat{n} \cdot \hat{\phi}_d) & , \hat{i} \cdot \hat{\phi}_d \leq 0 \\ 2\pi - \cos^{-1}(\hat{n} \cdot \hat{\phi}_d) & , \hat{i} \cdot \hat{\phi}_d > 0 \end{cases} \quad (3.215ข)$$

จากการวิเคราะห์หาสนามเนื่องจากการเลี้ยวเบนที่ขอบข้างต้นสามารถนำมาประยุกต์ใช้กับปัญหาการเลี้ยวเบนที่ขอบของจานสะท้อนในระบบสายอากาศชนิดจานสะท้อนเดี่ยวรูปพาราโบลา โดยค่าประสิทธิภาพการเลี้ยวเบนแบบไดแอดติกที่นำมาใช้ขึ้นอยู่กับลักษณะที่ขอบของจานสะท้อน ซึ่งเมื่อพิจารณาบริเวณเล็ก ๆ รอบจุดขอบของจานสะท้อนพบว่า บริเวณขอบโค้งที่จุดขอบของจานสะท้อนนั้นสามารถแทนได้ด้วยแผ่นตัวนำครึ่งระนาบ (conducting half plane) ที่ซึ่งสัมผัสกับพื้นผิวจานสะท้อนที่จุดขอบดังรูป 3.27 เนื่องจากมีลักษณะโครงสร้างคล้ายเดียวกันในช่วงบริเวณเล็ก ๆ ดังนั้นค่าสัมประสิทธิ์การเลี้ยวเบนแบบไดแอดติกที่ใช้ในการหาสนามเนื่องจากการเลี้ยวเบนที่ขอบของจานสะท้อนสอดคล้องกับค่าสัมประสิทธิ์การเลี้ยวเบนแบบไดแอดติกของรูปลิ่มตัวนำที่ซึ่งมุมภายในของรูปลิ่มเป็นศูนย์หรือ $n = 2$



รูป 3.27 บริเวณเล็ก ๆ รอบจุดขอบโค้งที่จุดขอบของจานสะท้อน

และเมื่อพิจารณาฟังก์ชัน $a^-(\xi)$ ในฟังก์ชันทรานซิชันของค่าสัมประสิทธิ์การเลี้ยวเบนในกรณี $n=2$ พบว่า ค่า N^- และ N^+ ที่สอดคล้องตามสมการ (3.172ก-ข) นั้นเป็นดังรูป 3.21 โดยในช่วง $-2\pi \leq \xi < \pi$ $N^+ = 0$ ทำให้ค่าของ $a^+(\xi) = 2 \cos^2\left(\frac{-\xi}{2}\right) = 1 + \cos \xi$ และในช่วง $\pi \leq \xi < 4\pi$ $N^+ = 1$ ทำให้ค่าของ $a^+(\xi) = 2 \cos^2\left(\frac{4\pi - \xi}{2}\right) = 1 + \cos \xi$ และสำหรับค่าของ N^- นั้น ในช่วง $-2\pi \leq \xi < -\pi$ $N^- = -1$ ซึ่งทำให้ $a^-(\xi) = 2 \cos^2\left(\frac{-4\pi - \xi}{2}\right) = 1 + \cos \xi$ และในช่วง $-\pi \leq \xi < 2\pi$ $N^- = 0$ ทำให้ $a^-(\xi) = 2 \cos^2\left(\frac{-\xi}{2}\right) = 1 + \cos \xi$ และในช่วง $2\pi \leq \xi < 4\pi$ $N^- = 1$ ทำให้ $a^-(\xi) = 2 \cos^2\left(\frac{4\pi - \xi}{2}\right) = 1 + \cos \xi$ ดังนั้นสำหรับในกรณี $n=2$ ฟังก์ชัน $a^+(\xi) = a^-(\xi) = 2 \cos^2\left(\frac{\xi}{2}\right)$ ซึ่งเมื่อแทนลงในค่าสัมประสิทธิ์การเลี้ยวเบนแบบไดแอดติกจะได้

$$D_s(\xi, n=2, \beta_o) = \begin{bmatrix} F[kL'a(\xi^-)] \{C^+(\xi^-, n=2, \beta_o) + C^-(\xi^-, n=2, \beta_o)\} \\ -F[kL'a(\xi^+)] \{C^+(\xi^+, n=2, \beta_o) + C^-(\xi^+, n=2, \beta_o)\} \end{bmatrix}$$

เนื่องจาก $\cot A + \cot B = \frac{\sin(A+B)}{\sin A \sin B} = \frac{2 \sin(A+B)}{\cos(A-B) - \cos(A+B)}$ ดังนั้น

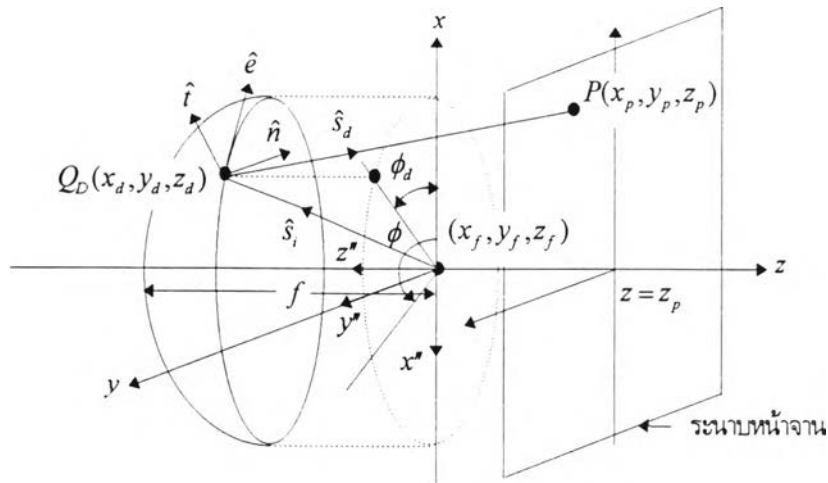
$$D_s(\xi, \beta_o) = -\frac{e^{-j\frac{\pi}{3}}}{2\sqrt{2\pi k} \sin \beta_o} \left[\frac{F[kL'a(\xi^-)]}{\cos\left(\frac{\xi^-}{2}\right)} - \frac{F[kL'a(\xi^+)]}{\cos\left(\frac{\xi^+}{2}\right)} \right] \tag{3.216ก}$$

ในทำนองเดียวกัน

$$D_h(\xi, \beta_o) = -\frac{e^{-j\frac{\pi}{4}}}{2\sqrt{2\pi k} \sin \beta_o} \left[\frac{F[kL'a(\xi^-)]}{\cos\left(\frac{\xi^-}{2}\right)} + \frac{F[kL'a(\xi^+)]}{\cos\left(\frac{\xi^+}{2}\right)} \right] \quad (3.216\text{ข})$$

โดยที่ $a(\xi) = 2 \cos^2\left(\frac{\xi}{2}\right)$ และ $\xi = \xi^\mp = \phi_d \mp \phi$

ค่าสัมประสิทธิ์การเลี้ยวเบนแบบไดแอดิกเป็นพจน์ที่บ่งบอกถึงโพลาไรเซชันที่เกิดขึ้นของสนามเนื่องจากการเลี้ยวเบน ซึ่งแสดงอยู่ในระบบพิกัดที่ขอบของรังสีตกกระทบและรังสีเลี้ยวเบน สำหรับในการวิเคราะห์ระบบสายอากาศชนิดจานสะท้อนเดี่ยวรูปพาราโบลิกในวิทยานิพนธ์นี้ เวกเตอร์หนึ่งหน่วยที่ตั้งฉากกันของระบบพิกัดที่ขอบของรังสีตกกระทบและรังสีเลี้ยวเบนที่ปรากฏในค่าสัมประสิทธิ์การเลี้ยวเบนแบบไดแอดิกนั้นแสดงอยู่ในพจน์ของเวกเตอร์หนึ่งหน่วย \hat{a}_x, \hat{a}_y และ \hat{a}_z ของระบบพิกัดคาร์ทีเซียน (xyz) ของระบบพิกัดของจานสะท้อน เนื่องจากการง่ายต่อการหาความสัมพันธ์ระหว่างระบบพิกัดต่าง ๆ ที่ใช้ในการวิเคราะห์ สำหรับการวิเคราะห์ระบบสายอากาศชนิดจานสะท้อนเดี่ยวรูปพาราโบลิกแบบสมมาตรดังรูป 3.28 เวกเตอร์หนึ่งหน่วยที่ตั้งฉากกันของระบบพิกัดที่ขอบของรังสีตกกระทบและรังสีเลี้ยวเบนที่จุดเลี้ยวเบนสามารถหาได้โดยพิจารณาจากเวกเตอร์พื้นผิวที่จุดขอบที่เกิดการเลี้ยวเบน Q_D ตามที่กำหนดในสมการ (3.213ก-ข) ดังนี้



รูป 3.28 ระบบสายอากาศชนิดจานสะท้อนเดี่ยวรูปพาราโบลิกแบบสมมาตร

จากรูป 3.28 สมมุติว่าสายอากาศป้อนกำลังคลื่นวางอยู่ที่พิกัด (x_f, y_f, z_f) ในระบบพิกัดของจานสะท้อน และให้ $Q_D(x_d, y_d, z_d)$ เป็นจุดบนขอบของจานสะท้อนรูปพาราโบลิกใด ๆ และ $P(x_p, y_p, z_p)$ เป็นจุดสังเกตใด ๆ บนระนาบหน้าจาน ดังนั้นเวกเตอร์บอกตำแหน่ง \vec{r} แสดงอยู่ในระบบพิกัดของจานสะท้อนรูปพาราโบลิกได้เป็น

$$\vec{r} = (x - x_f)\hat{a}_x + (y - y_f)\hat{a}_y + (z - z_f)\hat{a}_z \quad (3.217)$$

ในวิทยานิพนธ์นี้ศูนย์กลางเฟส (phase center) ของสายอากาศป้อนกำลังเคลื่อนอยู่ที่จุดโฟกัสของจานสะท้อนรูปพาราโบลา ดังนั้น $x_f = 0, y_f = 0$ และ $z_f = 0$ ซึ่งเมื่อแทนลงในสมการ (3.217) จะได้

$$\vec{r} = x\vec{a}_x + y\vec{a}_y + z\vec{a}_z \quad (3.218)$$

และเนื่องจากขอบของจานสะท้อนรูปพาราโบลาสามารถกำหนดโดยสมการอิงตัวแปรเสริมคือ

$$x = \frac{D}{2} \cos \phi$$

$$y = \frac{D}{2} \sin \phi$$

และ

$$z = \frac{x^2 + y^2}{4f} - f = \frac{(D/2)^2}{4f} - f$$

โดยที่ f คือ ระยะโฟกัสของจานสะท้อนรูปพาราโบลา ดังนั้นเมื่อแทนลงในสมการ (3.218) เวกเตอร์บอกตำแหน่งบนเส้นโค้งของขอบที่จุดขอบเป็น

$$\vec{r}(\phi) = \frac{D}{2} \cos \phi \vec{a}_x + \frac{D}{2} \sin \phi \vec{a}_y + \left[\frac{(D/2)^2}{4f} - f \right] \vec{a}_z \quad (3.219)$$

เมื่อแทนสมการ (3.219) ลงในสมการ (3.213ก) เวกเตอร์หนึ่งหน่วยในทิศทางสัมผัสกับขอบที่จุดเลี้ยวเบน $Q_0(x_d, y_d, z_d)$ เป็น

$$\hat{e} = -\frac{\vec{r}'}{|\vec{r}'|} = \sin \phi_d \vec{a}_x - \cos \phi_d \vec{a}_y \quad (3.220)$$

จากสมการ (3.220) เวกเตอร์หนึ่งหน่วยในทิศทางสัมผัสกับขอบที่จุดเลี้ยวเบน \hat{e} มีทิศดังรูป 3.28 ดังนั้นเวกเตอร์หนึ่งหน่วยในทิศทางสัมผัสพื้นผิวรูปพาราโบลาที่จุดเลี้ยวเบนและมีทิศพุ่งจากจุดเลี้ยวเบนเข้าหาพื้นผิวสามารถหาได้ดังสมการ (3.213ข) โดยที่เวกเตอร์หนึ่งหน่วยในทิศทางตั้งฉากกับพื้นผิวรูปพาราโบลาที่จุดเลี้ยวเบนกำหนดเป็นดังสมการ (3.221) ซึ่งมีทิศทางดังรูป 3.28

$$\hat{n} = \frac{-x_d \vec{a}_x - y_d \vec{a}_y + 2f \vec{a}_z}{\sqrt{x_d^2 + y_d^2 + 4f^2}} = \frac{-\frac{D}{2} \cos \phi_d \vec{a}_x - \frac{D}{2} \sin \phi_d \vec{a}_y + 2f \vec{a}_z}{\sqrt{(D/2)^2 + 4f^2}} \quad (3.221)$$

และสำหรับในระบบพิกัดที่ขอบ เวกเตอร์หนึ่งหน่วยในทิศทางการตกกระทบ \hat{s}_i มีทิศพุ่งจากแหล่งกำเนิดไปยังจุดเลี้ยวเบนและเวกเตอร์หนึ่งหน่วยในทิศทางการเลี้ยวเบน \hat{s}_d มีทิศพุ่งจากจุดเลี้ยวเบนไปยังจุดสังเกตใด ๆ ดังนั้น

$$\hat{s}_i = \frac{\bar{s}_i}{s_i} = \frac{x_d \bar{a}_x + y_d \bar{a}_y + z_d \bar{a}_z}{\sqrt{x_d^2 + y_d^2 + z_d^2}} = \frac{\frac{D}{2} \cos \phi_d \bar{a}_x + \frac{D}{2} \sin \phi_d \bar{a}_y + \left[\frac{(D/2)^2}{4f} - f \right] \bar{a}_z}{\sqrt{\left(\frac{D}{2} \right)^2 + \left[\frac{(D/2)^2}{4f} - f \right]^2}} \quad (3.222)$$

$$\begin{aligned} \hat{s}_d &= \frac{\bar{s}_d}{s_d} = \frac{(x_p - x_d) \bar{a}_x + (y_p - y_d) \bar{a}_y + (z_p - z_d) \bar{a}_z}{\sqrt{(x_p - x_d)^2 + (y_p - y_d)^2 + (z_p - z_d)^2}} \\ &= \frac{\left(x_p - \frac{D}{2} \cos \phi_d \right) \bar{a}_x + \left(y_p - \frac{D}{2} \sin \phi_d \right) \bar{a}_y + \left[z_p - \left(\frac{(D/2)^2}{4f} - f \right) \right] \bar{a}_z}{\sqrt{\left(x_p - \frac{D}{2} \cos \phi_d \right)^2 + \left(y_p - \frac{D}{2} \sin \phi_d \right)^2 + \left[z_p - \left(\frac{(D/2)^2}{4f} - f \right) \right]^2}} \end{aligned} \quad (3.223)$$

เมื่อแทนสมการ (3.220) (3.222) และ (3.223) ลงในสมการ (3.214ก-จ) และ (3.215ก-ข) ก็จะได้เวกเตอร์หนึ่งหน่วยที่ตั้งฉากกันและมุมของระบบพิกัดที่ขอบที่จุดเลี้ยวเบนของรังสีตกกระทบและรังสีเลี้ยวเบน

จากข้างต้นจุดเลี้ยวเบน $Q_D(x_d, y_d, z_d)$ หรือ $\left(\frac{D}{2} \cos \phi_d, \frac{D}{2} \sin \phi_d, \frac{(D/2)^2}{4f} - f \right)$ เป็นจุดขอบที่สอดคล้องกฎของการเลี้ยวเบนดังสมการ (3.224)

$$\hat{s}_i \cdot \hat{e} = \hat{s}_d \cdot \hat{e} \quad (3.224)$$

โดยที่ \hat{s}_i, \hat{s}_d และ \hat{e} เป็นดังสมการ (3.222) (3.223) และ (3.220) ตามลำดับ และในการหาแก้หาค่า ϕ_d จากสมการ (3.224) ซึ่งเป็นสมการแบบไม่เชิงเส้น (nonlinear equation) ทำได้โดยกรรมวิธีเชิงเลข ซึ่งในที่นี้ใช้วิธีของนิวตัน-ราฟสันมาคำนวณหาโดยใช้ฟังก์ชัน fsolve ในโปรแกรม MATLAB และกำหนดให้มีการวนซ้ำมากที่สุด 60 รอบ ความแม่นยำของคำตอบอยู่ในเกณฑ์ 10^{-10} และกำหนดให้คำตอบเริ่มต้นอยู่ในแต่ละจุดภาค และเมื่อแทนค่า ϕ_d ที่ได้ (อาจมีมากกว่าหนึ่งค่า) ลงในสมการต่าง ๆ ข้างต้นก็ทำให้ได้เวกเตอร์และมุมต่าง ๆ ซึ่งนำมาใช้ในการคำนวณหาค่าปัจจัยอื่น ๆ ในค่าสัมประสิทธิ์การเลี้ยวเบนแบบไดแอดิกและตัวประกอบการลดทอนได้ดังนี้

โดยสมมุติว่าคลื่นที่แผ่กระจายมาจากสายอากาศป้อนกำลังคลื่นเป็นคลื่นทรงกลม รัศมีความโค้งหลักของคลื่นตกกระทบที่จุดเลี้ยวเบน $\rho'_1 = \rho'_2 = s_i$ และรัศมีความโค้งของคลื่นตกกระทบที่จุดเลี้ยวเบนในระนาบการตกกระทบ ρ'_3 ซึ่งเป็นระนาบที่ประกอบด้วยเวกเตอร์หนึ่งหน่วยในทิศทางตกกระทบ \hat{s}_i กับเวกเตอร์หนึ่งหน่วยในทิศทางสัมผัสกับขอบที่จุดเลี้ยวเบน \hat{e} มีค่าเท่ากับ s_i ซึ่งเมื่อแทนลงในสมการ (3.170ก) จะได้

$$L = \frac{s_d s_i \sin^2 \beta_o}{(s_i + s_d)} \quad (3.225)$$

และจากสมการ (3.170ข) L เป็นฟังก์ชันของรัศมีความโค้งหลักของคลื่นสะท้อนที่จุดเลี้ยวเบน ρ'_1, ρ'_2 และรัศมีความโค้งของคลื่นสะท้อนที่จุดเลี้ยวเบนในระนาบการสะท้อน ρ'_3 ซึ่งเป็นระนาบที่ประกอบด้วยเวกเตอร์หนึ่งหน่วยในทิศทางสะท้อน \hat{s}_r กับเวกเตอร์หนึ่งหน่วยในทิศทางสัมผัสกับขอบที่จุดเลี้ยวเบน \hat{e} สำหรับ ρ'_1, ρ'_2 สามารถทำได้ดังสมการ (3.89)

ในหัวข้อกรรมวิธีทัศนศาสตร์เชิงเรขาคณิต และ ρ_e^r สามารถหาได้เช่นเดียวกับระยะตัดกันของรังสีเลี้ยวเบนที่เกิดขึ้นในระนาบการเลี้ยวเบนดั่งสมการ (3.94) โดยแทน ρ_2^d ด้วย ρ_e^r และ \hat{s}_d ด้วย \hat{s}_r โดยที่ $\hat{s}_r = \hat{s}_i - 2(\hat{n} \cdot \hat{s}_i)\hat{n}$ ตามจากกฎการสะท้อนของสเนลล์ ดังนั้น

$$\frac{1}{\rho_e^r} = \frac{1}{\rho_e^i} - \frac{\hat{n}_e \cdot (\hat{s}_i - \hat{s}_r)}{R_E \sin^2 \beta_o} = \frac{1}{s_i} - \frac{2(\hat{n}_e \cdot \hat{n})(\hat{n} \cdot \hat{s}_i)}{R_E \sin^2 \beta_o} \quad (3.226)$$

โดยที่ R_E คือ รัศมีความโค้งของขอบที่จุดเลี้ยวเบนและ \hat{n}_e คือ เวกเตอร์หนึ่งหน่วยตั้งฉากกับขอบที่จุดเลี้ยวเบนและมีทิศทางออกจากศูนย์กลางความโค้ง ซึ่งสามารถหาดั่งสมการ (2.48) และ (2.50) ดังนั้น

$$L' = \frac{s_d(\rho_e^r + s_d)\rho_e^r \rho_2^r \sin^2 \beta_o}{\rho_e^r(\rho_e^r + s_d)(\rho_2^r + s_d)} \quad (3.227)$$

และฟังก์ชัน $a(\phi_d \mp \phi_i) = 2 \cos^2 \left(\frac{\phi_d \mp \phi_i}{2} \right)$ และระยะระหว่างจุดขอบหรือจุดตัดกันของลำรังสีเลี้ยวเบนลำดับที่หนึ่งกับจุดตัดกันของลำรังสีเลี้ยวเบนลำดับที่สอง ρ_2^d ในตัวประกอบการลดทอนเป็น

$$\frac{1}{\rho_2^d} = \frac{1}{\rho_e^i} - \frac{\hat{n}_e \cdot (\hat{s}_i - \hat{s}_d)}{R_E \sin^2 \beta_o} \quad (3.228)$$

จากค่าปัจจัยต่าง ๆ และเวกเตอร์หนึ่งหน่วยที่ตั้งฉากกันของระบบพิกัดของรังสีตกกระทบและรังสีเลี้ยวเบนข้างต้น เมื่อแทนลงในสมการ (3.211ข) จะได้สนามไฟฟ้าและสนามแม่เหล็กเนื่องจากการเลี้ยวเบนที่ขอบจานสะท้อนรูปพาราโบลิกแบบสมมาตรมายังจุดสังเกต $P(x_p, y_p, z_p)$ ใด ๆ บนระนาบหน้าจานเป็น

$$\bar{E}^d(P) = \left[-(\bar{E}^i(Q_D) \cdot \hat{\beta}_1) D_s \hat{\beta}_d - (\bar{E}^i(Q_D) \cdot \hat{\phi}_1) D_h \hat{\phi}_d \right] \sqrt{\frac{\rho_2^d}{s_d(\rho_2^d + s_d)}} e^{-jkz} \quad (3.229a)$$

และ
$$\bar{H}^d(P) = \frac{\hat{s}_d \times \bar{E}^d(P)}{Z} \quad (3.229b)$$

โดยที่ $\bar{E}^i(Q_D)$ คือ สนามไฟฟ้าที่ตกกระทบที่จุดเลี้ยวเบน $Q_D(x_d, y_d, z_d)$ ซึ่งในกรณีของระบบสายอากาศชนิดจานสะท้อนเดี่ยวรูปพาราโบลิกคือ สนามไฟฟ้าจากสายอากาศป้อนกำลังคลื่นมายังจุดเลี้ยวเบน $Q_D(x_d, y_d, z_d)$ จากหัวขอสายอากาศป้อนกำลังคลื่นจะได้

$$\bar{E}^i(Q_D) = \bar{E}^{feed}(x_d, y_d, z_d) = \begin{bmatrix} E_x^{feed} \\ E_y^{feed} \\ E_z^{feed} \end{bmatrix} = \begin{bmatrix} \cos \theta_o \cos \phi_o & -\sin \phi_o & \sin \theta_o \cos \phi_o \\ \cos \theta_o \sin \phi_o & \cos \phi_o & \sin \theta_o \sin \phi_o \\ -\sin \theta_o & 0 & \cos \theta_o \end{bmatrix} \begin{bmatrix} E_x \\ E_y \\ E_z \end{bmatrix} \quad (3.230)$$

โดยที่

$$\begin{bmatrix} E_x \\ E_y \\ E_z \end{bmatrix} = \begin{bmatrix} \sin \theta'' \cos \phi'' & \cos \theta'' \cos \phi'' & -\sin \phi'' \\ \sin \theta'' \sin \phi'' & \cos \theta'' \sin \phi'' & \cos \phi'' \\ \cos \theta'' & -\sin \theta'' & 0 \end{bmatrix} \begin{bmatrix} 0 \\ f_E(\theta'') \sin \phi'' \\ f_H(\theta'') \cos \phi'' \end{bmatrix} \frac{e^{-jk_0 r''}}{r''}$$

และระบบพิกัด $x''y''z''$ เกิดจาก $\theta_0 = \pi$ และ $\phi_0 = 0$ และระบบพิกัด $x''y''z''$ มีความสัมพันธ์กับระบบพิกัด $r''\theta''\phi''$ คือ $r'' = \sqrt{x''^2 + y''^2 + z''^2}$, $\theta'' = \tan^{-1}\left(\frac{\sqrt{x''^2 + y''^2}}{z''}\right)$ และ $\phi'' = \tan^{-1}\left(\frac{y''}{x''}\right)$ โดย

$$\begin{bmatrix} x'' \\ y'' \\ z'' \end{bmatrix} = \begin{bmatrix} \cos \theta_0 \cos \phi_0 & \cos \theta_0 \sin \phi_0 & -\sin \theta_0 \\ -\sin \phi_0 & \cos \phi_0 & 0 \\ \sin \theta_0 \cos \phi_0 & \sin \theta_0 \sin \phi_0 & \cos \theta_0 \end{bmatrix} \begin{bmatrix} x_d \\ y_d \\ z_d \end{bmatrix}$$

จากสมการ (3.229ก-ข) สนามเนื่องจากการเลี้ยวเบนที่ขอบของจานสะท้อนรูปพาราโบลิกแบบสมมาตรมายังจุดสังเกตใด ๆ บนระนาบหน้างานแสดงอยู่ในพจน์ของเวกเตอร์หนึ่งหน่วย \hat{a}_x, \hat{a}_y และ \hat{a}_z ของระบบพิกัดของจานสะท้อนซึ่งเกิดจากจุดเลี้ยวเบน $Q_0(x_d, y_d, z_d)$ ที่สอดคล้องกับกฎของการเลี้ยวเบน และถ้าจุดเลี้ยวเบน $Q_0(x_d, y_d, z_d)$ ที่ทำให้เกิดสนามเนื่องจากการเลี้ยวเบนไปยังจุดสังเกตบนระนาบหน้างานมีหลายจุด สนามเนื่องจากการเลี้ยวเบนที่ขอบของจานสะท้อนรูปพาราโบลิกแบบสมมาตรมายังจุดสังเกตบนระนาบหน้างานเป็น

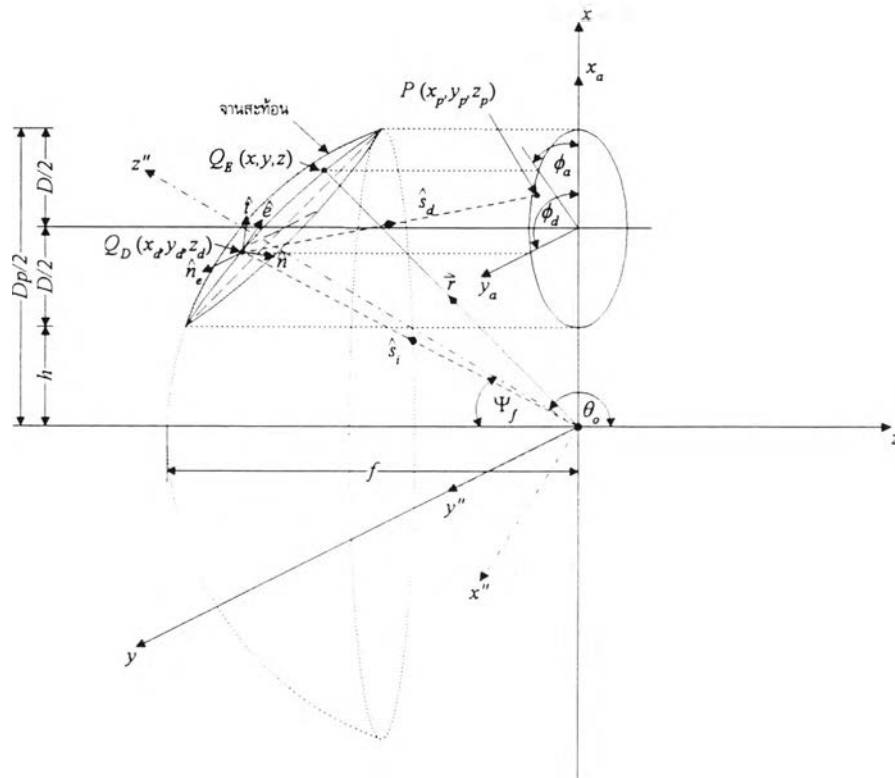
$$\bar{E}^d(P) = \sum_{n=1}^m \bar{E}_n^d(P) \quad (3.231ก)$$

$$\bar{H}^d(P) = \sum_{n=1}^m \frac{\hat{s}_d^n \times \bar{E}_n^d(P)}{Z} \quad (3.231ข)$$

$$\text{โดยที่ } \bar{E}_n^d(P) = \left[-(\bar{E}^i(Q_{Ln}) \cdot \hat{\beta}_i^n) D_s^n \hat{\beta}_d^n - (\bar{E}^i(Q_{Dn}) \cdot \hat{\phi}_i^n) D_h^n \hat{\phi}_d^n \right] \sqrt{\frac{\rho_2^{dn}}{s_d^n (\rho_2^{dn} + s_d^n)}} e^{-jk_0 s_d^n}$$

ในทำนองเดียวกัน สนามเนื่องจากการเลี้ยวเบนที่ขอบของระบบสายอากาศชนิดจานสะท้อนเดี่ยวรูปพาราโบลิกแบบไม่สมมาตรมายังจุดสังเกต $P(x_p, y_p, z_p)$ ใด ๆ บนระนาบหน้างานดังรูป 3.29 สามารถหาได้เช่นเดียวกับในระบบสายอากาศชนิดจานสะท้อนเดี่ยวรูปพาราโบลิกแบบสมมาตร โดยสมมุติว่าสายอากาศป้อนกำลังคลื่นวางอยู่ที่พิกัด (x_f, y_f, z_f) ในระบบพิกัดของจานสะท้อน และให้ $Q_0(x_d, y_d, z_d)$ เป็นจุดบนขอบของจานสะท้อนรูปพาราโบลิกใด ๆ และ $P(x_p, y_p, z_p)$ เป็นจุดสังเกตใด ๆ บนระนาบหน้างาน และจากรูป 3.29 ขอบของจานสะท้อนของระบบสายอากาศชนิดจานสะท้อนเดี่ยวรูปพาราโบลิกแบบไม่สมมาตรนั้นสามารถกำหนดโดยสมการอิงตัวแปรเสริมคือ

$$\begin{aligned} x &= \frac{D}{2} + h + \frac{D}{2} \cos \phi_a \\ y &= \frac{D}{2} \sin \phi_a \end{aligned}$$



รูป 3.29 ระบบสายอากาศชนิดจานสะท้อนเดี่ยวรูปพาราโบลิกแบบไม่สมมาตร

และ

$$z = \frac{x^2 + y^2}{4f} - f = \frac{\left(\frac{D}{2} \cos \phi_a + \frac{D}{2} + h\right)^2 + \left(\frac{D}{2} \sin \phi_a\right)^2}{4f} - f$$

โดยที่ f คือ ระยะโฟกัสของจานสะท้อนรูปพาราโบลิก ดังนั้นเวกเตอร์บอกตำแหน่งบนเส้นโค้งของขอบที่จุดขอบเป็น

$$\begin{aligned} \vec{r} &= x\vec{a}_x + y\vec{a}_y + z\vec{a}_z \\ &= \left(\frac{D}{2} + h + \frac{D}{2} \cos \phi_a\right)\vec{a}_x + \frac{D}{2} \sin \phi_a \vec{a}_y + \left[\frac{\left(\frac{D}{2} + h + \frac{D}{2} \cos \phi_a\right)^2 + \left(\frac{D}{2} \sin \phi_a\right)^2}{4f} - f \right] \vec{a}_z \end{aligned} \quad (3.232)$$

เมื่อแทนสมการ (3.232) ลงในสมการ (3.213ก) เวกเตอร์หนึ่งหน่วยในทิศทางสัมผัสกับขอบที่จุดเลี้ยวเบน $Q_D(x_d, y_d, z_d)$ ดังรูป 3.29 เป็น

$$\hat{e} = \frac{\vec{r}'}{|\vec{r}'|} = \frac{\frac{D}{2} \sin \phi_d \vec{a}_x - \frac{D}{2} \cos \phi_d \vec{a}_y + D\left(\frac{D}{2} + h\right) \sin \phi_d \vec{a}_z}{\sqrt{\left(\frac{D}{2}\right)^2 + D^2\left(\frac{D}{2} + h\right)^2 \sin^2 \phi_d}} \quad (3.233)$$

เวกเตอร์หนึ่งหน่วยในทิศทางสัมผัสกับขอบที่จุดเลี้ยวเบน \hat{e} ดังสมการ (3.233) มีทิศดังรูป 3.29 ดังนั้นเวกเตอร์หนึ่งหน่วยในทิศทางสัมผัสพื้นผิวรูปพาราโบลิกที่จุดเลี้ยวเบนและมีทิศพุ่งจากจุดเลี้ยวเบนเข้าหาพื้นผิวสามารถหาดังสมการ (3.213ข) โดยที่เวกเตอร์หนึ่งหน่วยในทิศทางตั้งฉากกับพื้นผิวรูปพาราโบลิกที่จุดเลี้ยวเบนกำหนดเป็นดังสมการ (3.234) ซึ่งมีทิศทางดังรูป 3.29

$$\hat{n} = \frac{-x_d \bar{a}_x - y_d \bar{a}_y + 2f \bar{a}_z}{\sqrt{x_d^2 + y_d^2 + 4f^2}} = \frac{-\left(\frac{D}{2} + h + \frac{D}{2} \cos \phi_d\right) \bar{a}_x - \frac{D}{2} \sin \phi_d \bar{a}_y + 2f \bar{a}_z}{\sqrt{\left(\frac{D}{2} + h + \frac{D}{2} \cos \phi_d\right)^2 + \left(\frac{D}{2} \sin \phi_d\right)^2 + 4f^2}} \quad (3.234)$$

และสำหรับในระบบพิกัดที่ขอบ เวกเตอร์หนึ่งหน่วยในทิศทางการตกกระทบ \hat{s}_i มีทิศพุ่งจากแหล่งกำเนิดไปยังจุดเลี้ยวเบนและเวกเตอร์หนึ่งหน่วยในทิศทางการเลี้ยวเบน \hat{s}_d มีทิศพุ่งจากจุดเลี้ยวเบนไปยังจุดสังเกตใด ๆ ดังนั้น

$$\hat{s}_i = \frac{\bar{s}_i}{s_i} = \frac{x_d \bar{a}_x + y_d \bar{a}_y + z_d \bar{a}_z}{\sqrt{x_d^2 + y_d^2 + z_d^2}} \quad (3.235)$$

$$\hat{s}_d = \frac{\bar{s}_d}{s_d} = \frac{(x_p - x_d) \bar{a}_x + (y_p - y_d) \bar{a}_y + (z_p - z_d) \bar{a}_z}{\sqrt{(x_p - x_d)^2 + (y_p - y_d)^2 + (z_p - z_d)^2}} \quad (3.236)$$

โดยที่

$$x_d = \frac{D}{2} + h + \frac{D}{2} \cos \phi_d$$

$$y_d = \frac{D}{2} \sin \phi_d$$

และ

$$z_d = \frac{x_d^2 + y_d^2}{4f} - f = \frac{\left(\frac{D}{2} \cos \phi_d + \frac{D}{2} + h\right)^2 + \left(\frac{D}{2} \sin \phi_d\right)^2}{4f} - f$$

ส่วนเวกเตอร์และค่าปัจจัยอื่น ๆ สามารถหาได้ในลักษณะเดียวกันกับที่กล่าวไว้ในระบบสายอากาศชนิดจานสะท้อนเดี่ยวรูปพาราโบลิกแบบสมมาตร ยกเว้นสนามไฟฟ้าจากสายอากาศป้อนกำลังคลื่นมายังจุดเลี้ยวเบน $Q_D(x_d, y_d, z_d)$ เกิดจากระบบพิกัด $x''y''z''$ ที่ซึ่ง $\theta_o = \pi - \psi_f$ และ $\phi_o = 0$ โดยที่ ψ_f มุมที่แกนของสายอากาศป้อนกำลังคลื่นทำกับแนวแกนของระบบสายอากาศดังรูป 3.29

จากข้างต้นเป็นการหาสนามเนื่องจากการเลี้ยวเบนที่ขอบของระบบสายอากาศชนิดจานสะท้อนเดี่ยวรูปพาราโบลิกแบบสมมาตรและแบบไม่สมมาตรมายังจุดสังเกตใด ๆ บนระนาบหน้าจาน เพื่อนำไปใช้ในการหาสนามในบริเวณย่านสนามไกลตามแผนภาพในรูป 3.1 ดังแสดงไว้หัวข้อถัดจากัดเกี่ยวกับสมรรถนะของระบบสายอากาศชนิดจานสะท้อนเดี่ยวรูปพาราโบลิกที่กล่าวต่อไป

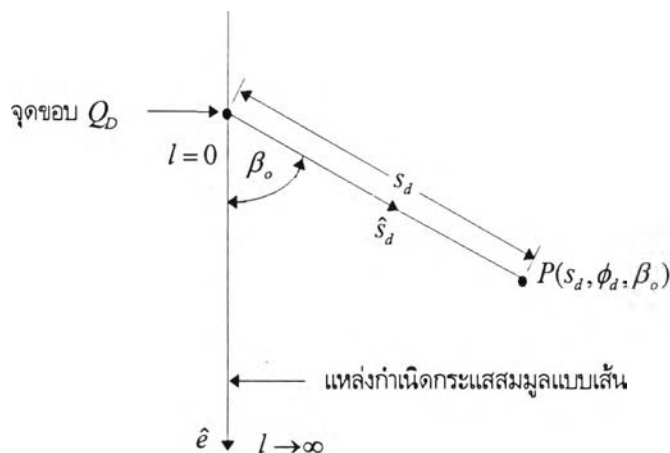
กรรมวิธีกระแสสมมูลที่ขอบ

จากหัวข้อที่แล้วสนามไฟฟ้าและสนามแม่เหล็กเนื่องจากการเลี้ยวเบนที่ขอบของจานสะท้อนสามารถคำนวณหาได้จากทฤษฎีการเลี้ยวเบนเชิงเรขาคณิตดังสมการ (3.237) และ (3.238)

$$\bar{E}^d(P) = \left[-(\bar{E}^i(Q_D) \cdot \hat{\beta}_i) D_s \hat{\beta}_d - (\bar{E}^i(Q_D) \cdot \hat{\phi}_i) D_h \hat{\phi}_d \right] \sqrt{\frac{\rho_2^d}{s_d(\rho_2^d + s_d)}} e^{-jks_d} \quad (3.237)$$

$$\bar{H}^d(P) = \left[-(\bar{H}^i(Q_D) \cdot \hat{\beta}_i) D_h \hat{\beta}_d - (\bar{H}^i(Q_D) \cdot \hat{\phi}_i) D_s \hat{\phi}_d \right] \sqrt{\frac{\rho_2^d}{s_d(\rho_2^d + s_d)}} e^{-jks_d} \quad (3.238)$$

เมื่อพิจารณาสมการ (3.237) และ (3.238) พบว่า สนามไฟฟ้าและสนามแม่เหล็กเนื่องจากการเลี้ยวเบนนั้นไม่สามารถคำนวณค่าได้เมื่อ $s_d = 0$ หรือเมื่อ $\rho_d < 0$ และ $s_d = |\rho_2^d|$ ซึ่งเป็นจุดที่เกิดการตัดกันรังสี (caustic point) เพื่อที่จะคำนวณค่าสนามไฟฟ้าและสนามแม่เหล็กเนื่องจากการเลี้ยวเบนที่จุดดังกล่าวนี้ แนวความคิดเกี่ยวกับกระแสสมมูลที่ขอบ (equivalent edge current) (C. E. Ryan and L. Peter, 1969; A. Michaeli, 1984) สามารถนำมาประยุกต์หาสนามไฟฟ้าและสนามแม่เหล็กเนื่องจากการเลี้ยวเบนที่ขอบในบริเวณรอบ ๆ จุดตัดกันของรังสีได้ โดยสมมติว่ามีแหล่งกระแสไฟฟ้าสมมูลแบบเส้น (equivalent electric line source) และแหล่งกระแสแม่เหล็กสมมูลแบบเส้น (equivalent magnetic line source) ที่ให้กำเนิดสนามไฟฟ้าและสนามแม่เหล็กออกมาเท่ากับสนามไฟฟ้าและสนามแม่เหล็กเนื่องจากการเลี้ยวเบนที่ขอบไปยังจุดใด ๆ



รูป 3.30 แหล่งกำเนิดกระแสไฟฟ้าและแม่เหล็กสมมูลแบบเส้นที่วางตัวตามแนวสัมผัสกับขอบ

จากข้อสมมุติข้างต้น ถ้าให้จุดสังเกต $P(s_d, \phi_d, \beta_o)$ ใด ๆ เป็นจุดที่อยู่ในทิศทางที่ทำให้เกิดการตัดกันของรังสี (caustic direction) โดยกำหนดให้ $s_d \ll |\rho_2^d|$ และสำหรับในย่านความถี่สูง $ks_d \rightarrow \infty$ ดังนั้นเมื่อพิจารณาสถาปัตยกรรมไฟฟ้าที่

แผ่พลังงานโดยแหล่งกำเนิดกระแสไฟฟ้าสมมูลแบบเส้นที่วางตัวตามแนวสัมผัสกับขอบและถูกกระตุ้นด้วยกระแสไฟฟ้าคงที่ J_o ดังรูป 3.30 พบว่า สนามไฟฟ้าตามแนวสัมผัส \hat{e} ที่จุดสังเกต $P(s_d, \phi_d, \beta_o)$ เป็น (C. A. Balanis, 1989)

$$E_e^{eq} \cong -J_o (Zk \sin \beta_o) e^{j\frac{\pi}{4}} \sqrt{\frac{1}{8\pi k}} \frac{e^{-jk_s d}}{\sqrt{s_d}} \quad (3.239)$$

ในทำนองเดียวกัน เมื่อพิจารณาสนามแม่เหล็กที่แผ่พลังงานโดยแหล่งกำเนิดกระแสแม่เหล็กสมมูลแบบเส้นที่วางตัวตามแนวสัมผัสกับขอบและถูกกระตุ้นด้วยกระแสแม่เหล็กคงที่ M_o พบว่า สนามแม่เหล็กตามแนวสัมผัส \hat{e} ที่จุดสังเกต $P(s_d, \phi_d, \beta_o)$ เป็น

$$H_e^{eq} \cong -M_o \left(\frac{k \sin \beta_o}{Z} \right) e^{j\frac{\pi}{4}} \sqrt{\frac{1}{8\pi k}} \frac{e^{-jk_s d}}{\sqrt{s_d}} \quad (3.240)$$

จากข้างต้นเราจะพิจารณาเพียงองค์ประกอบตามแนวสัมผัสของสนามไฟฟ้าและสนามแม่เหล็กของแหล่งกำเนิดกระแสสมมูลทั้งสอง เนื่องจากแหล่งกำเนิดกระแสไฟฟ้าสมมูลแบบเส้นที่วางตัวตามแนวสัมผัสไม่ทำให้เกิดสนามแม่เหล็กตามแนวสัมผัส และแหล่งกำเนิดกระแสแม่เหล็กสมมูลแบบเส้นที่วางตัวตามแนวสัมผัสไม่ทำให้เกิดสนามไฟฟ้าตามแนวสัมผัส ดังนั้นเมื่อพิจารณาสนามไฟฟ้าและสนามแม่เหล็กเนื่องจากการเลี้ยวเบนตามแนวสัมผัส \hat{e} ที่จุดสังเกต $P(s_d, \phi_d, \beta_o)$ จากสมการ (3.237) และ (2.238) จะได้

$$\begin{aligned} E_e^d(P) &\cong \left. \hat{E}^d(P) \cdot \hat{e} \right|_{s_d \ll |\rho_2^d|} = \left[-E_{\beta_i}^d(Q_D) D_s(\hat{\beta}_d \cdot \hat{e}) \right] \frac{e^{-jk_s d}}{\sqrt{s_d}} \\ &= E_{\beta_i}^d(Q_D) D_s \sin \beta_o \frac{e^{-jk_s d}}{\sqrt{s_d}} \end{aligned} \quad (3.241)$$

$$\begin{aligned} H_e^d(P) &\cong \left. \hat{H}^d(P) \cdot \hat{e} \right|_{s_d \ll |\rho_2^d|} = \left[-H_{\beta_i}^d(Q_D) D_h(\hat{\beta}_d \cdot \hat{e}) \right] \frac{e^{-jk_s d}}{\sqrt{s_d}} \\ &= H_{\beta_i}^d(Q_D) D_h \sin \beta_o \frac{e^{-jk_s d}}{\sqrt{s_d}} \end{aligned} \quad (3.242)$$

เมื่อเปรียบเทียบสมการ (3.239) กับ (3.241) และ (3.240) กับ (3.242) พบว่า สนามไฟฟ้าเนื่องจากการเลี้ยวเบนที่จุดขอบ Q_D ไปยังจุดสังเกต $P(s_d, \phi_d, \beta_o)$ แผ่พลังงานออกมาจากแหล่งกำเนิดกระแสไฟฟ้าสมมูล J_o ที่จุดขอบ Q_D ดังสมการ (3.243)

$$J_o(Q_D) = -E_{\beta_i}^d(Q_D) Y D_s \sqrt{\frac{8\pi}{k}} e^{-j\frac{\pi}{4}} \quad (3.243)$$

และสนามแม่เหล็กเนื่องจากการเลี้ยวเบนที่ขอบที่จุดขอบ Q_D ไปยังจุดสังเกต $P(s_d, \phi_d, \beta_o)$ แผ่พลังงานออกมาจากแหล่งกำเนิดกระแสแม่เหล็กสมมูล M_o ที่จุดขอบ Q_D ดังสมการ (3.244)

$$M_o(Q_D) = -H'_\beta(Q_D) ZD_h \sqrt{\frac{8\pi}{k}} e^{-j\frac{\pi}{4}} \quad (3.244)$$

เนื่องจาก $E' \cdot \hat{e} = E'_\beta (\hat{e} \cdot \hat{\beta}_1) = E'_\beta \sin \beta_o$ และ $H' \cdot \hat{e} = H'_\beta (\hat{e} \cdot \hat{\beta}_1) = H'_\beta \sin \beta_o$ ดังนั้นเมื่อแทนลงในสมการ (3.243) และ (3.244) จะได้

$$J_o(Q_D) = \left[\frac{\bar{E}'(Q_D) \cdot \hat{e}}{\sin \beta_o} \right] YD_s \sqrt{\frac{8\pi}{k}} e^{-j\frac{\pi}{4}} \quad (3.245)$$

$$M_o(Q_D) = \left[\frac{\bar{H}'(Q_D) \cdot \hat{e}}{\sin \beta_o} \right] ZD_h \sqrt{\frac{8\pi}{k}} e^{-j\frac{\pi}{4}} \quad (3.246)$$

และเนื่องจากทุก ๆ จุดบนขอบทำให้เกิดสนามไฟฟ้าและสนามแม่เหล็กในทิศทางที่ตัดกันของรังสี ดังนั้นสนามไฟฟ้ารวมที่แผ่พลังงานออกมาจากทุก ๆ จุดซึ่งเป็นแหล่งกระแสสมมูลมายังจุดตัดกันของรังสีสามารถหาได้โดยทำการอินทิเกรตแหล่งกระแสไฟฟ้า J_o และแม่เหล็กสมมูล M_o (Silver, 1949) ดังสมการ (3.247)

$$\bar{E}^d(P) = -\frac{j\omega\mu}{4\pi} \oint \left[J_o \hat{e} - (J_o \hat{e} \cdot \hat{s}_d) \hat{s}_d + Y M_o \hat{e} \times \hat{s}_d \right] \frac{e^{-jks_d}}{s_d} dl \quad (3.247)$$

ในการวิเคราะห์ระบบสายอากาศชนิดจานสะท้อนเดี่ยวรูปพาราโบลิกในวิทยานิพนธ์นี้ ได้ทำการพิจารณาจุดที่เกิดการตัดกันของรังสีโดยตรวจสอบจากเงื่อนไข $|s_d + \rho_z^d| \leq 10^{-10}$ ซึ่งถ้าเป็นตามเงื่อนไขนี้แสดงว่าจุดสังเกตที่คำนวณหาเป็นจุดการตัดกันของรังสี ดังนั้นในการคำนวณหาสนามไฟฟ้าและสนามแม่เหล็กที่จุดสังเกตนี้สามารถคำนวณหาโดยใช้กรรมวิธีกระแสสมมูลที่ขอบข้างต้น

จากสมการ (3.247) เมื่อนำมาใช้กับระบบสายอากาศชนิดจานสะท้อนเดี่ยวรูปพาราโบลิกแบบสมมาตร สนามไฟฟ้าเนื่องจากการเลี้ยวเบนที่จุดการตัดกันของรังสีสามารถเขียนในรูปแบบใหม่เป็น

$$\bar{E}^d(x_p, y_p, z_p) = -\frac{j\omega\mu}{4\pi} \oint \left[J_o \hat{e} - (J_o \hat{e} \cdot \hat{s}_d) \hat{s}_d + Y M_o \hat{e} \times \hat{s}_d \right] \frac{e^{-jks_d}}{s_d} |d\bar{r}(\phi)| \quad (3.248)$$

โดยที่ $\bar{r}(\phi)$ คือ เวกเตอร์บอกตำแหน่งบนเส้นโค้งขอบของจานสะท้อนรูปพาราโบลิกแบบสมมาตร ซึ่งจากสมการ (2.44) จะได้

$$\bar{r}(\phi) = \frac{D}{2} \cos \phi \bar{a}_x + \frac{D}{2} \sin \phi \bar{a}_y + \left[\frac{(D/2)^2}{4f} - f \right] \bar{a}_z \quad (3.249n)$$

และ \hat{e} คือ เวกเตอร์หนึ่งหน่วยในทิศทางสัมผัสกับขอบที่จุดขอบ ซึ่งจากสมการ (2.49) จะได้

$$\hat{e} = \sin \phi \bar{a}_x - \cos \phi \bar{a}_y \quad (3.249ข)$$

$$\hat{s}_d = \frac{\bar{s}_d}{s_d} = \frac{\left(x_p - \frac{D}{2} \cos \phi\right) \bar{a}_x + \left(y_p - \frac{D}{2} \sin \phi\right) \bar{a}_y + \left[z_p - \left(\frac{(D/2)^2}{4f} - f\right)\right] \bar{a}_z}{\sqrt{\left(x_p - \frac{D}{2} \cos \phi\right)^2 + \left(y_p - \frac{D}{2} \sin \phi\right)^2 + \left[z_p - \left(\frac{(D/2)^2}{4f} - f\right)\right]^2}} \quad (3.249ค)$$

และแหล่งกระแสไฟฟ้า J_o และแม่เหล็กสมมูล M_o ซึ่งเป็นฟังก์ชันของ ϕ สามารถหาได้ดังสมการ (3.245) และ (3.246) และเนื่องจาก $|d\mathcal{F}(\phi)| = |\mathcal{F}'(\phi)| d\phi$ ดังนั้นสมการ (3.248) สามารถเขียนใหม่เป็น

$$\bar{E}^d(x_p, y_p, z_p) = -\frac{j\omega\mu}{4\pi} \int_0^{2\pi} \left[J_o \hat{e} - (J_o \hat{e} \cdot \hat{s}_d) \hat{s}_d + Y M_o \hat{e} \times \hat{s}_d \right] \frac{e^{-jks_d}}{s_d} |\mathcal{F}'(\phi)| d\phi \quad (3.250)$$

โดยที่ $|\mathcal{F}'(\phi)| = \frac{D}{2}$ ในทำนองเดียวกันสนามไฟฟ้าเนื่องจากการเลี้ยวเบนที่จุดการตัดกันของรังสีของระบบสายอากาศชนิดจานสะท้อนเดี่ยวรูปพาราโบลิกแบบไม่สมมาตรสามารถหาได้ดังสมการ (3.251)

$$\bar{E}^d(x_p, y_p, z_p) = -\frac{j\omega\mu}{4\pi} \oint \left[J_o \hat{e} - (J_o \hat{e} \cdot \hat{s}_d) \hat{s}_d + Y M_o \hat{e} \times \hat{s}_d \right] \frac{e^{-jks_d}}{s_d} |d\mathcal{F}(\phi_a)| \quad (3.251)$$

โดยที่ $\mathcal{F}(\phi_a)$ คือ เวกเตอร์บอกตำแหน่งบนเส้นโค้งขอบของจานสะท้อนรูปพาราโบลิกแบบไม่สมมาตร ซึ่งจากสมการ (2.51) จะได้

$$\mathcal{F}(\phi_a) = \left(\frac{D}{2} + h + \frac{D}{2} \cos \phi_a\right) \bar{a}_x + \frac{D}{2} \sin \phi_a \bar{a}_y + \left[\frac{\left(\frac{D}{2} + h + \frac{D}{2} \cos \phi_a\right)^2 + \left(\frac{D}{2} \sin \phi_a\right)^2}{4f} - f \right] \bar{a}_z \quad (3.252)$$

และเวกเตอร์หนึ่งหน่วยในทิศทางสัมผัสกับขอบที่จุดขอบ \hat{e} หาได้จากสมการ (2.56) เป็น

$$\hat{e} = \frac{\frac{D}{2} \sin \phi_a \bar{a}_x - \frac{D}{2} \cos \phi_a \bar{a}_y + D \left(\frac{D}{2} + h\right) \sin \phi_a \bar{a}_z}{\sqrt{\left(\frac{D}{2}\right)^2 + D^2 \left(\frac{D}{2} + h\right)^2 \sin^2 \phi_a}} \quad (3.253)$$

$$\hat{s}_d = \frac{\vec{s}_d}{s_d} = \frac{(x_p - x_d)\vec{a}_x + (y_p - y_d)\vec{a}_y + (z_p - z_d)\vec{a}_z}{\sqrt{(x_p - x_d)^2 + (y_p - y_d)^2 + (z_p - z_d)^2}} \quad (3.254)$$

โดยที่

$$x_d = \frac{D}{2} + h + \frac{D}{2} \cos \phi_a$$

$$y_d = \frac{D}{2} \sin \phi_a$$

และ

$$z_d = \frac{x_d^2 + y_d^2}{4f} - f = \frac{\left(\frac{D}{2} \cos \phi_a + \frac{D}{2} + h\right)^2 + \left(\frac{D}{2} \sin \phi_a\right)^2}{4f} - f$$

และแหล่งกระแสไฟฟ้า J_o และแม่เหล็กสมมูล M_o เป็นฟังก์ชันของ ϕ_o สามารถหาได้ดังสมการ (3.245) และ (3.246) และเนื่องจาก $d\vec{r}(\phi_o) = |\vec{r}'(\phi_o)| d\phi_o$ ดังนั้นสมการ (3.251) สามารถเขียนใหม่เป็น

$$\vec{E}^d(x_p, y_p, z_p) = -\frac{j\omega\mu}{4\pi} \int_0^{2\pi} \left[J_o \hat{e} - (J_o \hat{e} \cdot \hat{s}_d) \hat{s}_d + Y M_o \hat{e} \times \hat{s}_d \right] \frac{e^{-jks_d}}{s_d} |\vec{r}'(\phi_a)| d\phi_a \quad (3.255)$$

$$\text{โดยที่ } |\vec{r}'(\phi_a)| = \sqrt{\left(\frac{D}{2}\right)^2 + D^2 \left(\frac{D}{2} + h\right)^2 \sin^2 \phi_a}$$

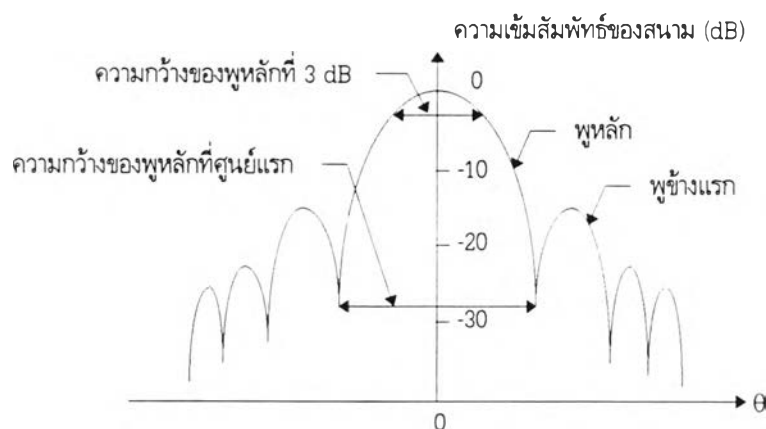
การวิเคราะห์ข้างต้นเป็นการนำเอากรรมวิธีกระแสสมมูลที่ขอมมาใช้หาสนามไฟฟ้าที่เกิดขึ้นในบริเวณใกล้ ๆ จุดตัดกันของรังสี เพื่อแก้ไขข้อบกพร่องที่เกิดขึ้นในทฤษฎีการเลี้ยวเบนเชิงเรขาคณิตที่ได้กล่าวมาก่อนหน้านี้

ขีดจำกัดเกี่ยวกับสมรรถนะของระบบสายอากาศชนิดงานสะท้อนเต็ยรูปพาราโบลิก

สมรรถนะของระบบสายอากาศโดยทั่วไปสามารถพิจารณาได้จากค่าปัจจัยต่าง ๆ เช่น อิมพีแดนซ์ขาเข้า (input impedance) ความกว้างแถบความถี่ (bandwidth) อัตราขยาย (gain) แบบรูปการแผ่พลังงานย่านสนามไกล (radiation pattern) โพลาริเซชัน และค่าปัจจัยอื่น ๆ ขึ้นอยู่กับการนำสายอากาศไปประยุกต์ใช้งาน สำหรับสายอากาศชนิดงานสะท้อนเต็ยรูปพาราโบลิกนั้นเป็นระบบสายอากาศที่ถูกนำไปใช้งานอย่างมากในการสื่อสารดาวเทียมและในการสื่อสารด้วยไมโครเวฟ โดยใช้งานเป็นสายอากาศบนดาวเทียมและสายอากาศรับส่งสัญญาณของสถานีภาคพื้นดิน ซึ่งมีคุณลักษณะที่พึงประสงค์หลายประการ เช่น เมื่อใช้งานเป็นระบบสายอากาศบนดาวเทียม ระดับขั้วของลำคลื่นที่ตำแหน่งเชิงมุมไกล ๆ นั้นเป็นค่าปัจจัยหนึ่งที่ต้องพิจารณา เนื่องจากถ้าระดับขั้วขั้วไกล ๆ มีระดับสูงก็จะทำให้ไปรบกวนลำคลื่นหลักของระบบสายอากาศของดาวเทียมใกล้เคียงได้ และเมื่อใช้งานเป็นสายอากาศรับส่งสัญญาณของสถานีภาคพื้นดิน อัตราขยายของระบบสายอากาศถูกกำหนดตามมาตรฐาน CCIR และในการส่งสัญญาณได้มีการนำเทคนิคการใช้ความถี่ซ้ำ (frequency reuse) มาใช้งานโดยใช้โพลาริเซชันที่ตั้งฉากกันมาเพิ่มช่องสัญญาณ ดังนั้นขีดจำกัดเกี่ยวกับสมรรถนะของระบบสายอากาศชนิดงานสะท้อนเต็ยรูปพาราโบลิกในวิทยานพธรณีจึงพิจารณาจากแบบรูปการแผ่พลังงานย่านสนามไกล อัตราขยาย โพลาริเซชันรวม (co polarization) และโพลาริเซชันไขว้ (cross polanzation) ซึ่งมีรายละเอียดดังนี้

1. แบบรูปการแผ่พลังงานย่านสนามไกล

แบบรูปการแผ่พลังงานย่านสนามไกลเป็นค่าคุณลักษณะที่สำคัญของระบบสายอากาศซึ่งบ่งบอกถึงการเปลี่ยนแปลงของสนามไฟฟ้าและสนามแม่เหล็กที่จุดห่างไกลจากระบบสายอากาศในทิศทางต่าง ๆ โดยแสดงอยู่ในรูปของความสัมพันธ์ระหว่างความเข้มของสนามกับตำแหน่งเชิงมุมของจุดสังเกตที่ระยะสนามไกล ถ้าระบบสายอากาศวางตัวในระบบพิกัดทรงกลม สนามไฟฟ้าและสนามแม่เหล็กที่ย่านสนามไกลของระบบสายอากาศถูกกำหนดเป็นฟังก์ชันของมุม θ และ ϕ ดังนั้นแบบรูปการแผ่พลังงานย่านสนามไกลแสดงได้ด้วยรูป 3 มิติที่ประกอบด้วยการเปลี่ยนแปลงของสนามไฟฟ้าและสนามแม่เหล็กในระนาบของมุม θ หรือ ϕ ต่าง ๆ ซึ่งถ้าต้องการดูการเปลี่ยนแปลงของสนามไฟฟ้าและสนามแม่เหล็กในระนาบ ϕ ใด ๆ แบบรูปการแผ่พลังงานย่านสนามไกลแสดงได้ด้วยรูป 2 มิติของความสัมพันธ์ระหว่างความเข้มของสนามกับมุม θ ต่าง ๆ โดยที่ความเข้มของสนามถูกทำการปรับเทียบกับความเข้มสนามในทิศทางที่มีค่ามากที่สุด ในหน่วยเดซิเบลและกำหนดให้ทิศทางของความเข้มสนามที่มีค่ามากที่สุดอยู่ในทิศทาง $\theta = 0$ ดังรูป 3.31



รูป 3.31 แบบรูปการแผ่พลังงานย่านสนามไกลของระบบสายอากาศ

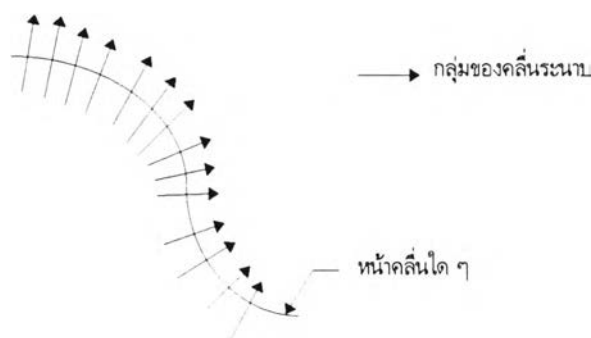
แบบรูปการแผ่พลังงานย่านสนามไกลของระบบสายอากาศชนิดจานสะท้อนคลื่นโดยทั่วไปมีลักษณะดังรูป 3.31 ซึ่งประกอบด้วยพู่ต่าง ๆ โดยพู่ที่มีความเข้มสนามที่มีค่ามากที่สุดอยู่เรียกว่า พู่หลักหรือพู่ประธาน ส่วนพู่อื่น ๆ นอกเหนือจากพู่หลักเรียกว่า พู่ข้าง และตำแหน่งเชิงมุมที่แบ่งแยกพู่ต่าง ๆ ออกจากกันถูกเรียกว่า ตำแหน่งศูนย์ และความกว้างเชิงมุมที่ความเข้มสนามต่ำกว่าความเข้มสนามที่มีค่ามากที่สุด 3 เดซิเบลเรียกว่า ความกว้างของพู่หลักที่ 3 เดซิเบล และความกว้างเชิงมุมที่ตำแหน่งศูนย์แรกเรียกว่า ความกว้างของพู่หลักที่ศูนย์แรก

ในการวิเคราะห์ระบบสายอากาศใด ๆ แบบรูปการแผ่พลังงานย่านสนามไกลของระบบสายอากาศเป็นค่าคุณลักษณะสำคัญที่ต้องคำนวณหา เนื่องจากองค์ประกอบต่าง ๆ ของแบบรูปการแผ่พลังงานย่านสนามไกลข้างต้นเป็นค่าปัจจัยที่ใช้กำหนดขีดจำกัดเกี่ยวกับสมรรถนะของระบบสายอากาศและใช้ในการออกแบบระบบสายอากาศให้มีสมรรถนะสูงสุด

การหาแบบรูปการแผ่พลังงานย่านสนามไกลของระบบสายอากาศสามารถทำได้หลายวิธี เช่น การแก้สมการคลื่นโดยตรงหรือใช้ศักยภาพเตอร์ การอินทิเกรตแหล่งกระแสบนพื้นผิวโดยกรรมวิธีทัศนศาสตร์เชิงกายภาพ การอินทิเกรตสนามบนช่องเปิด หรือกรรมวิธีแปลงฟูรีเยร์ของสเปกตรัมคลื่นระนาบ เป็นต้น

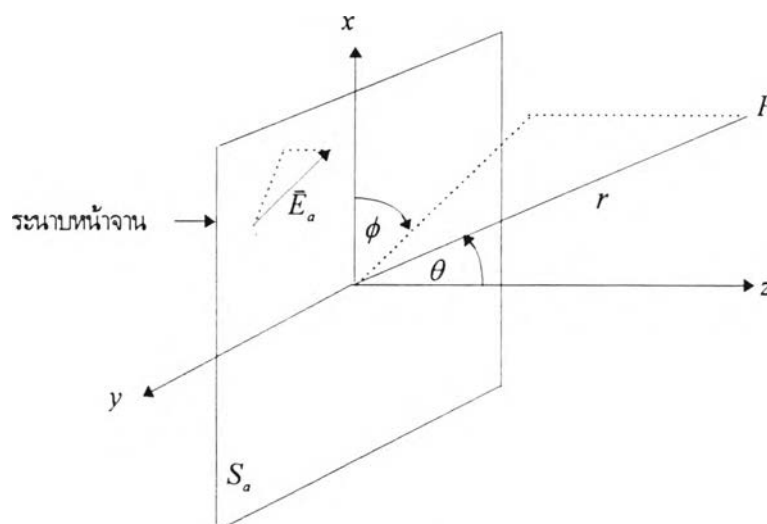
สำหรับการหาแบบรูปการแผ่พลังงานย่านสนามไกลของระบบสายอากาศชนิดจานสะท้อนคลื่น สามารถทำได้จากกรรมวิธีทัศนศาสตร์เชิงกายภาพ การอินทิเกรตสนามบนช่องเปิด หรือกรรมวิธีแปลงฟูรีเยร์ของสเปกตรัมคลื่นระนาบ ซึ่งในวิทยานิพนธ์นี้ทำการหาแบบรูปการแผ่พลังงานย่านสนามไกลโดยกรรมวิธีแปลงฟูรีเยร์ของสเปกตรัมคลื่นระนาบ

หน้าจางตามแผนภาพขั้นตอนการวิเคราะห์ในรูป 3.1 เพราะว่าเป็นกรรมวิธีที่สามารถอธิบายให้เห็นพฤติกรรมทางกายภาพของคลื่นโดยใช้คุณสมบัติของการแปลงฟูรีเยร์มาใช้อธิบายการแผ่พลังงานของคลื่นที่มีหน้าคลื่นใด ๆ ในลักษณะของกลุ่มของคลื่นระนาบในทิศทางต่าง ๆ หรือที่เรียกว่า สเปกตรัมคลื่นระนาบดังรูป 3.32 ซึ่งการมองเป็นสเปกตรัมคลื่นระนาบทำให้สามารถมองเห็นพฤติกรรมของคลื่นได้ง่ายเนื่องจากเป็นเพียงการรวมตัวกันในทิศทางต่าง ๆ ของคลื่นระนาบ



รูป 3.32 การแทนคลื่นที่มีหน้าคลื่นใด ๆ ด้วยกลุ่มของคลื่นระนาบในทิศทางต่าง ๆ

จากแผนภาพขั้นตอนการวิเคราะห์ในรูป 3.1 สนามบนระนาบหน้าจางเกิดจากสนามสะท้อนจากพื้นผิวจางสะท้อนและสนามเลี้ยวเบนจากขอบของจางสะท้อนมายังระนาบหน้าจางซึ่งมีหน้าคลื่นแบบใด ๆ และเมื่อหาผลการแปลงฟูรีเยร์ทำให้สามารถมองได้ว่าบนระนาบหน้าจางประกอบด้วยสเปกตรัมของคลื่นระนาบ และเพื่อให้เห็นถึงความสัมพันธ์ระหว่างสเปกตรัมคลื่นระนาบกับสนามบนระนาบหน้าจาง และการหาแบบรูปการแผ่พลังงานย่านสนามไกลจากสเปกตรัมคลื่นระนาบสามารถอธิบายได้ดังนี้



รูป 3.33 สนามไฟฟ้าบนระนาบหน้าจาง S_a

สมมุติว่ามีสนามไฟฟ้า E_a บนระนาบหน้าจาง S_a ซึ่งอยู่บนระนาบ $z=0$ ดังรูป 3.33 เกิดขึ้นจากโดยแหล่งกำเนิดที่เหมาะสมในบริเวณ $z < 0$ สำหรับระบบสายอากาศชนิดจางสะท้อนเดี่ยวรูปพาราโบลิก สนามไฟฟ้า E_a เกิดจากสนามที่สะท้อนจากพื้นผิวจางสะท้อนและสนามการเลี้ยวเบนที่ขอบของจางสะท้อนซึ่งแผ่พลังงานออกไปในบริเวณ $z > 0$ สอดคล้องกับสมการคลื่นดังนี้

$$\nabla \times \nabla \times \vec{E} - k^2 \vec{E} = -j\omega \vec{J} \quad (3.256)$$

จากเอกลักษณ์เวกเตอร์ $\nabla \times \nabla \times \vec{E} \equiv \nabla \nabla \cdot \vec{E} - \nabla^2 \vec{E}$ และเนื่องจากในบริเวณ $z > 0$ เป็นบริเวณเปิดและปราศจากแหล่งกำเนิด (source free) กล่าวคือ \vec{J} และ ρ เป็นศูนย์ ดังนั้น $\nabla \cdot \vec{E} = 0$ ทำให้สมการ (3.256) เขียนใหม่ได้เป็น

$$\nabla^2 \vec{E} + k^2 \vec{E} = 0 \quad (3.257ก)$$

และ
$$\nabla \cdot \vec{E} = 0 \quad (3.257ข)$$

เนื่องจากบริเวณที่พิจารณาคือเป็นบริเวณเปิด ดังนั้นสนามไฟฟ้าที่เป็นผลเฉลยของสมการ (3.257ก-ข) ต้องสอดคล้องกับเงื่อนไขการแผ่พลังงาน จากภาคผนวก ค. สนามไฟฟ้าในบริเวณนี้สามารถหาได้โดยหาผลการแปลงฟูรีเยร์ ซึ่งในภาคผนวก ค. ได้กล่าวไว้เพียงกรณีการแปลงฟูรีเยร์ 1 ตัวแปร แต่จากนิยามของการแปลงฟูรีเยร์ ถ้ามีฟังก์ชันของ x เป็น $w(x)$ เมื่อทำการแปลงฟูรีเยร์จะได้

$$W(k_x) = \int_{-\infty}^{+\infty} w(x) e^{jk_x x} dx \quad (2.258ก)$$

และมีคูการแปลงกลับฟูรีเยร์เป็น

$$w(x) = \frac{1}{2\pi} \int_{-\infty}^{+\infty} W(k_x) e^{-jk_x x} dk_x \quad (2.258ข)$$

ตัวแปร k_x และ x เป็นไปตามกฎเช่นเดียวกับเวลา t และความถี่เชิงมุม ω ในการวิเคราะห์ฟูรีเยร์ของสัญญาณเชิงเวลา และในลักษณะคล้าย ๆ กัน ถ้ามี $u(x,y)$ เป็นฟังก์ชันของ x และ y ก็สามารถประยุกต์การแปลงฟูรีเยร์สำหรับสองตัวแปรเป็น

$$U(k_x, k_y) = \int_{-\infty}^{+\infty} \int_{-\infty}^{+\infty} u(x,y) e^{jk_x x + jk_y y} dx dy \quad (3.259ก)$$

ซึ่งมีคูการแปลงกลับฟูรีเยร์เป็น

$$u(x,y) = \frac{1}{4\pi^2} \int_{-\infty}^{+\infty} \int_{-\infty}^{+\infty} U(k_x, k_y) e^{-jk_x x - jk_y y} dk_x dk_y \quad (3.259ข)$$

ผลการแปลงฟูรีเยร์ในสมการ (3.258ก-ข) และ (3.259ก-ข) มีคุณสมบัติดังนี้

$$\mathfrak{F}_x \left\{ \frac{\partial u(x,y)}{\partial x} \right\} = -jk_x \mathfrak{F}_x \{ u(x,y) \} \quad (3.260น)$$

$$\mathfrak{I}_x \left\{ \frac{\partial^2 u(x,y)}{\partial x^2} \right\} = (-jk_x)^2 \mathfrak{I}_x \{u(x,y)\} \quad (3.260\text{ข})$$

$$\mathfrak{I}_{xx} \left\{ \frac{\partial^2 u(x,y)}{\partial x^2} \right\} = (-jk_x)^2 \mathfrak{I}_{xx} \{u(x,y)\} \quad (3.260\text{ค})$$

\mathfrak{I} ในสมการ (3.260ก-ค) คือ ตัวดำเนินการที่ใช้แทนการแปลงฟูรีเยร์ และดรรชนีล่างของตัวดำเนินการ \mathfrak{I} เป็นสัญลักษณ์ที่บ่งชี้ว่าเป็นการแปลงฟูรีเยร์ที่เกิดขึ้นเทียบกับตัวแปรที่เป็นดรรชนีล่าง และเมื่อเขียนสมการ (3.257ก-ข) ใหม่เป็น

$$\left(\frac{\partial^2}{\partial x^2} + \frac{\partial^2}{\partial y^2} + \frac{\partial^2}{\partial z^2} + k^2 \right) \bar{E}(x,y,z) = 0 \quad (3.261\text{ก})$$

$$\frac{\partial E_x(x,y,z)}{\partial x} + \frac{\partial E_y(x,y,z)}{\partial y} + \frac{\partial E_z(x,y,z)}{\partial z} = 0 \quad (3.261\text{ข})$$

และจากคุณสมบัติในสมการ (3.260ก-ค) เมื่อทำการแปลงฟูรีเยร์กับสมการ (3.261ก) เทียบกับ x และ y จะได้

$$(-jk_x)^2 \mathfrak{I}_{xx} \{ \bar{E}(x,y,z) \} + (-jk_y)^2 \mathfrak{I}_{yy} \{ \bar{E}(x,y,z) \} + \left(\frac{\partial^2}{\partial z^2} + k^2 \right) \mathfrak{I}_{xx} \{ \bar{E}(x,y,z) \} = 0$$

หรือ

$$-k_x^2 \bar{E}(k_x, k_y, z) - k_y^2 \bar{E}(k_x, k_y, z) + \left(\frac{\partial^2}{\partial z^2} + k^2 \right) \bar{E}(k_x, k_y, z) = 0$$

ดังนั้น

$$\left(\frac{\partial^2}{\partial z^2} + k^2 - k_x^2 - k_y^2 \right) \bar{E}(k_x, k_y, z) = 0 \quad (3.262\text{ก})$$

ในทำนองเดียวกัน เมื่อทำการแปลงฟูรีเยร์กับสมการ (3.261ข) ก็จะได้

$$-jk_x \mathfrak{I}_{xx} \{ E_x(x,y,z) \} - jk_y \mathfrak{I}_{yy} \{ E_y(x,y,z) \} + \frac{\partial}{\partial z} \mathfrak{I}_{xx} \{ E_z(x,y,z) \} = 0$$

ดังนั้น

$$k_x E_x(k_x, k_y, z) + k_y E_y(k_x, k_y, z) + j \frac{\partial}{\partial z} E_z(k_x, k_y, z) = 0 \quad (3.262\text{ข})$$

โดยที่ $\bar{E}(k_x, k_y, z)$ เป็นผลการแปลงฟูรีเยร์ของสนามไฟฟ้า $\bar{E}(x,y,z)$ เทียบกับ x และ y และเนื่องจากเวกเตอร์การแผ่กระจายคลื่น $\bar{k} = k_x \hat{a}_x + k_y \hat{a}_y + k_z \hat{a}_z$ ดังนั้น $|\bar{k}|^2 = k^2 = k_x^2 + k_y^2 + k_z^2$ หรือ $k_x^2 = k^2 - k_y^2 - k_z^2$ ทำให้สมการ (3.262ก) กลายเป็น

$$\left(\frac{\partial^2}{\partial z^2} + k_z^2\right)\bar{E}(k_x, k_y, z) = 0 \quad (3.263)$$

ผลเฉลยทั่วไปของสมการ (3.263) อยู่ในรูปของ $e^{\pm jk_z z}$ และเนื่องจากสนามบนระนาบหน้างานที่แผ่พลังงานออกไปในบริเวณ $z > 0$ ต้องสอดคล้องกับเงื่อนไขการแผ่พลังงาน ดังนั้นสนามไฟฟ้าในบริเวณ $z > 0$ ที่เคลื่อนที่ไปตามแนวแกน z จากระนาบหน้างานจะเป็นฟังก์ชันของ $e^{-jk_z z}$ ทำให้ผลเฉลยทั่วไปของสมการ (3.263) คือ

$$\bar{E}(k_x, k_y, z) = \bar{f}(k_x, k_y)e^{-jk_z z} \quad (3.264)$$

โดยที่ $\bar{f}(k_x, k_y)$ เรียกว่า สเปกตรัมคลื่นระนาบ เมื่อแทนสมการ (3.264) ลงในสมการ (3.262ข) จะได้

$$k_x f_x + k_y f_y + k_z f_z = 0 \quad (3.265ก)$$

หรือ
$$\bar{k} \cdot \bar{f} = 0 \quad (3.265ข)$$

จากสมการ (3.265ก) พบว่า มีเพียงสององค์ประกอบของ \bar{f} ที่เป็นอิสระต่อกัน ผลนี้สอดคล้องกับข้อบังคับของสนามไฟฟ้าที่ทำให้ไดเวอร์เจนซ์ของสนามไฟฟ้าเป็นศูนย์ และเมื่อทำการแปลงกลับฟูรีเยร์ของสมการ (3.264) จะได้ผลเฉลยของสนามไฟฟ้าในบริเวณ $z > 0$ เป็นดังสมการ (3.266)

$$\bar{E}(x, y, z) = \frac{1}{4\pi^2} \int_{-\infty}^{+\infty} \int_{-\infty}^{+\infty} \bar{f}(k_x, k_y) e^{-j\bar{k} \cdot \bar{r}} dk_x dk_y \quad (3.266)$$

โดยที่ $\bar{k} \cdot \bar{r} = k_x x + k_y y + k_z z$ และจากสมการ (3.247) อาจกล่าวได้ว่าสนามไฟฟ้าที่บริเวณ $z > 0$ นั้นเกิดจากสเปกตรัมคลื่นระนาบ เนื่องจาก $\bar{f}(k_x, k_y)e^{-j\bar{k} \cdot \bar{r}}$ เป็นคลื่นระนาบที่มีเวกเตอร์เชิงขนาด \bar{f} เคลื่อนที่ในทิศทางของเวกเตอร์ค่าคงตัวการแผ่กระจาย \bar{k} และเมื่อพิจารณาค่าคงตัวการแผ่กระจายคลื่นในทิศทาง z พบว่า $k_z = \pm \sqrt{k^2 - k_x^2 - k_y^2}$ และสำหรับกรณี $k_x^2 + k_y^2 > k^2$ ค่าคงตัวการแผ่กระจายคลื่น k_z จะเป็นจำนวนจินตภาพแท้ดังสมการ (3.267)

$$k_z = -j\chi \quad (3.267)$$

โดยที่ $\chi = \sqrt{k_x^2 + k_y^2 - k^2}$ เพราะว่า ถ้า $k_z = j\chi$ จะทำให้ $\bar{f}(k_x, k_y)e^{-j\bar{k} \cdot \bar{r}} = \bar{f}(k_x, k_y)e^{-jk_x x - jk_y y - \chi z}$ มีค่าเป็นอนันต์เมื่อ z มีค่าเป็นอนันต์ ซึ่งไม่สอดคล้องกับเงื่อนไขการแผ่พลังงาน ดังนั้น k_z จึงเป็นดังสมการ (3.267) ซึ่งทำให้คลื่นระนาบในทิศทางที่สอดคล้องกับค่า $k_x^2 + k_y^2 > k^2$ นั้นลดลงแบบเอกซ์โพเนนเชียลและจางหายไปในทิศทาง z คลื่นที่จางหายไปนี้เกิดขึ้นที่บริเวณใกล้ ๆ ระนาบหน้างาน ทำให้มีเพียงคลื่นระนาบที่มาจากทิศทางที่สอดคล้องกับค่า $k_x^2 + k_y^2 \leq k^2$ ที่สร้างสนามแผ่กระจายออกไปในบริเวณ $z > 0$ และจากสมการ (3.266) ถ้า $z=0$ สนามไฟฟ้าในแนวแกน x และ y ที่ได้ก็คือสนามไฟฟ้าในแนวแกน x และ y บนระนาบหน้างานดังนั้น

$$E_{\alpha}(x, y, 0) = E_x(x, y, 0) = \frac{1}{4\pi^2} \int_{-\infty}^{+\infty} \int_{-\infty}^{+\infty} f_x(k_x, k_y) e^{-jk_x x - jk_y y} dk_x dk_y \quad (3.268\text{ก})$$

และ

$$E_{\phi}(x, y, 0) = E_y(x, y, 0) = \frac{1}{4\pi^2} \int_{-\infty}^{+\infty} \int_{-\infty}^{+\infty} f_y(k_x, k_y) e^{-jk_x x - jk_y y} dk_x dk_y \quad (3.268\text{ข})$$

สมการ (3.268ก-ข) เป็นผลการแปลงฟูรีเยร์สองชั้น ดังนั้นจากสมการ (3.259ก) จะได้

$$f_x(k_x, k_y) = \iint_{S_0} E_{\alpha}(x, y, 0) e^{jk_x x + jk_y y} dx dy \quad (3.269\text{ก})$$

$$f_y(k_x, k_y) = \iint_{S_0} E_{\phi}(x, y, 0) e^{jk_x x + jk_y y} dx dy \quad (3.269\text{ข})$$

โดยที่ $f_x(k_x, k_y)$, $f_y(k_x, k_y)$ คือ สเปกตรัมคลื่นระนาบซึ่งเกิดจากสนามไฟฟ้าในแนวแกน x และ y บนระนาบหน้าจานมารวมกันในทิศทาง k_x และ k_y ตามลำดับ และเนื่องจากโดเวอร์เจนซ์ของสนามไฟฟ้าเป็นศูนย์ ดังนั้น $\vec{f}(k_x, k_y)$ ต้องสอดคล้องกับสมการ (3.265ข) ทำให้ $f_z(k_x, k_y)$ เป็นดังสมการ (3.270)

$$f_z(k_x, k_y) = \frac{-k_x f_x - k_y f_y}{\sqrt{k^2 - k_x^2 - k_y^2}} \quad (3.270)$$

จากที่กล่าวมาข้างต้นสนามไฟฟ้าที่ตำแหน่งใด ๆ ในบริเวณ $z > 0$ สามารถคำนวณได้จากสมการ (3.266) ซึ่งอยู่ในรูปอินทิเกรชันที่มีขอบเขตอนันต์ทำให้ไม่สามารถหาค่าแม่นยำตรงได้ แต่เนื่องจากสนามที่ต้องการทราบส่วนใหญ่อยู่ในบริเวณย่านสนามไกลกล่าวคือ เมื่อระยะทางจากจุดกำเนิดไปยังจุดสังเกต r ดังรูป 3.33 มีค่าเป็นอนันต์ ดังนั้นสามารถใช้เทคนิคการคำนวณค่าโดยประมาณที่เรียกว่า วิธีการเฟสคงตัว (method of stationary phase) มาใช้หาค่าโดยประมาณของสมการ (3.266) ได้ดังนี้

เมื่อพิจารณานิพจน์ของสมการ (3.266) พบว่า เมื่อค่า r มีค่ามาก ๆ ฟังก์ชัน $e^{-jk\cdot\mathbf{r}}$ มีการแกว่งอย่างมาก ดังนั้นการอินทิเกรตมีแนวโน้มหักล้างกัน แต่ไม่เกิดขึ้นเมื่อมีจุดซึ่ง $\bar{k} \cdot \mathbf{r}$ ที่เป็นฟังก์ชันของ k_x และ k_y ไม่เปลี่ยนแปลงในช่วงเล็ก ๆ ของ k_x และ k_y โดยที่จุดนั้นเรียกว่า จุดเฟสคงตัว (stationary phase point) ซึ่งเป็นจุดที่ทำให้อนุพันธ์อันดับหนึ่งของ $\bar{k} \cdot \mathbf{r}$ เทียบกับ k_x และ k_y เป็นศูนย์ดังสมการ (3.271)

$$\frac{\partial \bar{k} \cdot \mathbf{r}}{\partial k_x} = 0, \quad \frac{\partial \bar{k} \cdot \mathbf{r}}{\partial k_y} = 0 \quad (3.271)$$

ในบริเวณเล็ก ๆ รอบ ๆ จุดเฟสคงตัว เฟสของฟังก์ชัน $e^{-jk\cdot\mathbf{r}}$ มีการเปลี่ยนแปลงอย่างช้า ๆ และการอินทิเกรตจุดต่าง ๆ บนระนาบ $k_x - k_y$ ไม่เป็นศูนย์ และการเปลี่ยนแปลงของ $\vec{f}(k_x, k_y)$ เป็นไปอย่างช้า ๆ ซึ่งสามารถประมาณได้ว่ามีค่า

เท่ากับที่จุดเฟสคงตัว ดังนั้นอินทิกรัลในสมการ (3.268ก-ข) เหลือเพียงส่วนของฟังก์ชัน $e^{-jk\bar{r}}$ และเนื่องจาก $\bar{k} \cdot \bar{r}$ เท่ากับ $k_x x + k_y y + k_z z$ และสำหรับในระบบพิกัดทรงกลม $x = r \sin \theta \cos \phi$, $y = r \sin \theta \sin \phi$ และ $z = r \cos \theta$ ดังนั้น

$$\bar{k} \cdot \bar{r} = r \left(k_x \sin \theta \cos \phi + k_y \sin \theta \sin \phi + \sqrt{k^2 - k_x^2 - k_y^2} \cos \theta \right) \quad (3.272)$$

และจุดเฟสคงตัวสามารถหาได้จากแทน $\bar{k} \cdot \bar{r}$ ในสมการ (3.272) ลงไปในสมการ (3.271) จะได้

$$\frac{\partial \bar{k} \cdot \bar{r}}{\partial k_x} = \frac{\partial \left(k_x \sin \theta \cos \phi + k_y \sin \theta \sin \phi + \sqrt{k^2 - k_x^2 - k_y^2} \cos \theta \right)}{\partial k_x} = r \left(\sin \theta \cos \phi - \frac{k_x \cos \theta}{\sqrt{k^2 - k_x^2 - k_y^2}} \right) = 0$$

หรือ
$$k_x \cos \theta = \sqrt{k^2 - k_x^2 - k_y^2} \sin \theta \cos \phi \quad (3.273ก)$$

และ
$$\frac{\partial \bar{k} \cdot \bar{r}}{\partial k_y} = \frac{\partial \left(k_x \sin \theta \cos \phi + k_y \sin \theta \sin \phi + \sqrt{k^2 - k_x^2 - k_y^2} \cos \theta \right)}{\partial k_y} = r \left(\sin \theta \sin \phi - \frac{k_y \cos \theta}{\sqrt{k^2 - k_x^2 - k_y^2}} \right) = 0$$

หรือ
$$k_y \cos \theta = \sqrt{k^2 - k_x^2 - k_y^2} \sin \theta \sin \phi \quad (3.273ข)$$

จากสมการ (3.273ก-ข) k_x และ k_y ที่สอดคล้องที่ทำให้เกิดจุดเฟสคงตัว (k_x^s, k_y^s) คือ

$$k_x = k_x^s = k \sin \theta \cos \phi, \quad k_y = k_y^s = k \sin \theta \sin \phi \quad (3.274)$$

และเมื่อกระจาย $\bar{k} \cdot \bar{r}$ ในรูปของอนุกรมเทย์เลอร์รอบ ๆ จุดเฟสคงตัว (k_x^s, k_y^s) จะได้

$$\begin{aligned} \bar{k} \cdot \bar{r} &\cong kr + \frac{1}{2} \frac{\partial^2 \bar{k} \cdot \bar{r}}{\partial k_x^2} \Big|_{\substack{k_x=k_x^s \\ k_y=k_y^s}} (k_x - k_x^s)^2 + \frac{\partial^2 \bar{k} \cdot \bar{r}}{\partial k_x \partial k_y} \Big|_{\substack{k_x=k_x^s \\ k_y=k_y^s}} (k_x - k_x^s)(k_y - k_y^s) + \frac{1}{2} \frac{\partial^2 \bar{k} \cdot \bar{r}}{\partial k_y^2} \Big|_{\substack{k_x=k_x^s \\ k_y=k_y^s}} (k_y - k_y^s)^2 \\ &= kr - (Au^2 + Cuv + Bv^2) \end{aligned}$$

โดยที่ $u = k_x - k_x^s$, $v = k_y - k_y^s$, A , B และ C เป็นค่าคงที่ที่กำหนดดังสมการ ดังนั้นผลเฉลยโดยประมาณของสนามไฟฟ้าในสมการ (3.266) เป็น

$$\bar{E}(r, \theta, \phi) \cong \frac{e^{-jk\bar{r}}}{4\pi^2} \bar{f}(k \sin \theta \cos \phi, k \sin \theta \sin \phi) \iint_{\Delta S} e^{j(Au^2 + Cuv + Bv^2)} du dv \quad (3.275)$$

โดยที่ $\vec{f}(k \sin \theta \cos \phi, k \sin \theta \sin \phi)$ คือ ค่าของฟังก์ชัน \vec{f} ที่จุดเฟสคงที่ และ ΔS เป็นบริเวณเล็ก ๆ รอบ ๆ จุดเฟสคงตัว ซึ่งก็คือจุดที่ $u, v=0$ ในระนาบ $u-v$ และเนื่องจากค่าคงที่ A, B และ C เป็นสัดส่วนกับ kr ซึ่งมีค่ามากเมื่อ r มีค่ามาก ดังนั้นฟังก์ชัน $e^{j(Au^2 + Cv + Bv^2)}$ เกิดการแกว่งอย่างรวดเร็วเมื่อ u และ v ไม่เป็นศูนย์ ทำให้การอินทิเกรตบนระนาบ $u-v$ ภายนอกบริเวณ ΔS จะถูกหักล้างจากการรวมกันทางเฟส และการอินทิเกรตของสมการ (3.275) สามารถขยายขอบเขตครอบคลุมระนาบ $u-v$ ทั้งหมดได้ดังสมการ (3.276)

$$\iint_{\Delta S} e^{j(Au^2 + Cv + Bv^2)} du dv \cong \int_{-\infty}^{+\infty} \int_{-\infty}^{+\infty} e^{j(Au^2 + Cv + Bv^2)} du dv \quad (3.276)$$

การคำนวณหาอินทิกรัลในสมการ (3.276) สามารถทำได้โดยกำหนดให้

$$Au^2 + Cv + Bv^2 = \left(\sqrt{A}u + \frac{Cv}{2\sqrt{A}} \right)^2 - \frac{Cv^2}{4A} + Bv^2$$

เมื่อให้ $w = \sqrt{A}u + \frac{Cv}{2\sqrt{A}}$ อินทิกรัลในสมการ (3.276) เขียนใหม่ได้เป็น

$$I = \int_{-\infty}^{+\infty} \int_{-\infty}^{+\infty} e^{jw^2} e^{j(4AB-C^2)v^2/4A} \frac{dw}{\sqrt{A}} dv$$

และจาก $\int_{-\infty}^{+\infty} e^{j\xi(x-x_0)^2} dx = \sqrt{\frac{\pi}{\xi}} e^{j\pi/4}$ ดังนั้น

$$I = \frac{1}{\sqrt{A}} \int_{-\infty}^{+\infty} e^{jw^2} dw \int_{-\infty}^{+\infty} e^{j(4AB-C^2)v^2/4A} dv = \frac{2\pi e^{j\pi/2}}{\sqrt{4AB-C^2}} = \frac{j2\pi}{\sqrt{4AB-C^2}} = \frac{j2\pi k}{r} \cos \theta \quad (3.277)$$

โดยที่ $A = \frac{r}{2} \left(\frac{1}{k} + \frac{(k'_x)^2}{k^3 \cos^2 \theta} \right)$, $B = \frac{r}{2} \left(\frac{1}{k} + \frac{(k'_y)^2}{k^3 \cos^2 \theta} \right)$ และ $C = \frac{k'_x k'_y}{k^3 \cos^2 \theta}$ ซึ่งเมื่อแทนสมการ (3.277) ลงในสมการ

(3.275) ทำให้ได้ผลเฉลยโดยประมาณของสนามไฟฟ้าเป็นดังสมการ (3.278)

$$\vec{E}(r, \theta, \phi) \cong jk \frac{\cos \theta}{2\pi r} e^{-jkr} \vec{f}(k \sin \theta \cos \phi, k \sin \theta \sin \phi) \quad (3.278)$$

โดยที่ θ และ ϕ เป็นมุมในระบบพิกัดทรงกลมดังแสดงในรูป 3.33 และจากสมการ (3.278) พบว่า แบบรูปการแผ่พลังงานบริเวณสนามไกลมีความสัมพันธ์กับ $\vec{f}(k \sin \theta \cos \phi, k \sin \theta \sin \phi)$ ซึ่งเกิดจากการแปลงฟูริเยร์ของสนามบนระนาบหน้าจานในทิศทางที่เกิดจุดเฟสคงตัวคือเมื่อ k_x เท่ากับ $k \sin \theta \cos \phi$ และ k_y เท่ากับ $k \sin \theta \sin \phi$ ซึ่งเป็นองค์ประกอบที่เหมาะสมของเวกเตอร์ค่าคงตัวการแผ่กระจายเมื่อคลื่นแผ่กระจายไปยังจุดสังเกต (r, θ, ϕ) ใด ๆ

เนื่องจาก $\vec{k} \cdot \vec{f} = 0$ ดังนั้น \vec{f} ไม่มีองค์ประกอบในทิศทางของจุดสังเกตซึ่งคือทิศทางของเวกเตอร์ค่าคงตัวการแผ่กระจาย \vec{k} ดังนั้นสนามที่แผ่กระจายออกไปในบริเวณย่านสนามไกลจะเป็นสนามแม่เหล็กไฟฟ้าตามขวาง (transverse

electromagnetic waves) ซึ่งเมื่อพิจารณาสนามที่แผ่กระจายไปในทิศทางตามแนวแกน z พบว่า สนามไฟฟ้าจะมีเพียงองค์ประกอบในแนว x และ y ซึ่งเป็นสัดส่วนกับ f_x และ f_y เนื่องจาก $f_z = 0$ สำหรับในทิศทางอื่น ๆ ของจุดสังเกตนั้นสามารถพิจารณาได้จากสมการ (3.278) ดังนี้

$$\vec{E}(r, \theta, \phi) = jk \frac{\cos \theta}{2\pi r} e^{-jk r} \left[f_x(k_x, k_y) \vec{a}_x + f_y(k_x, k_y) \vec{a}_y + f_z(k_x, k_y) \vec{a}_z \right] \quad (3.279)$$

โดยที่ $k_x = k \sin \theta \cos \phi$ และ $k_y = k \sin \theta \sin \phi$ และเมื่อแทน f_z จากสมการ (3.270) ลงในสมการ (3.279) จะได้

$$\vec{E}(r, \theta, \phi) = jk \frac{\cos \theta}{2\pi r} e^{-jk r} \left[f_x \vec{a}_x + f_y \vec{a}_y + \frac{-k \sin \theta \cos \phi f_x - k \sin \theta \sin \phi f_y}{\sqrt{k^2 - (k \sin \theta \cos \phi)^2 - (k \sin \theta \sin \phi)^2}} \vec{a}_z \right]$$

และเมื่อแสดงในระบบพิกัดทรงกลมจะได้

$$\begin{aligned} \vec{E}(r, \theta, \phi) &= jk \frac{\cos \theta}{2\pi r} e^{-jk r} \left[\begin{aligned} & f_x (\vec{a}_r \sin \theta \cos \phi + \vec{a}_\theta \cos \theta \cos \phi - \vec{a}_\phi \sin \phi) + \\ & f_y (\vec{a}_r \sin \theta \sin \phi + \vec{a}_\theta \cos \theta \sin \phi + \vec{a}_\phi \cos \phi) + \\ & \frac{-k \sin \theta \cos \phi f_x - k \sin \theta \sin \phi f_y}{k \cos \theta} (\vec{a}_r \cos \theta - \vec{a}_\theta \sin \theta) \end{aligned} \right] \\ &= jk \frac{e^{-jk r}}{2\pi r} \left[f_x (\vec{a}_\theta \cos \phi - \vec{a}_\phi \sin \phi \cos \theta) + f_y (\vec{a}_\theta \sin \phi + \vec{a}_\phi \cos \phi \cos \theta) \right] \end{aligned}$$

ดังนั้น
$$\vec{E}(r, \theta, \phi) = jk \frac{e^{-jk r}}{2\pi r} \left[(f_x \cos \phi + f_y \sin \phi) \vec{a}_\theta + (f_y \cos \phi - f_x \sin \phi) \cos \theta \vec{a}_\phi \right] \quad (3.280ก)$$

เนื่องจากสนามในบริเวณย่านสนามไกลเป็นสนามแม่เหล็กไฟฟ้าตามขวาง ดังนั้นสนามแม่เหล็กในบริเวณแผ่กระจายคลื่นย่านสนามไกลเป็น

$$\vec{H}(r, \theta, \phi) = \frac{\vec{a}_r \times \vec{E}(r, \theta, \phi)}{Z} \quad (3.280ข)$$

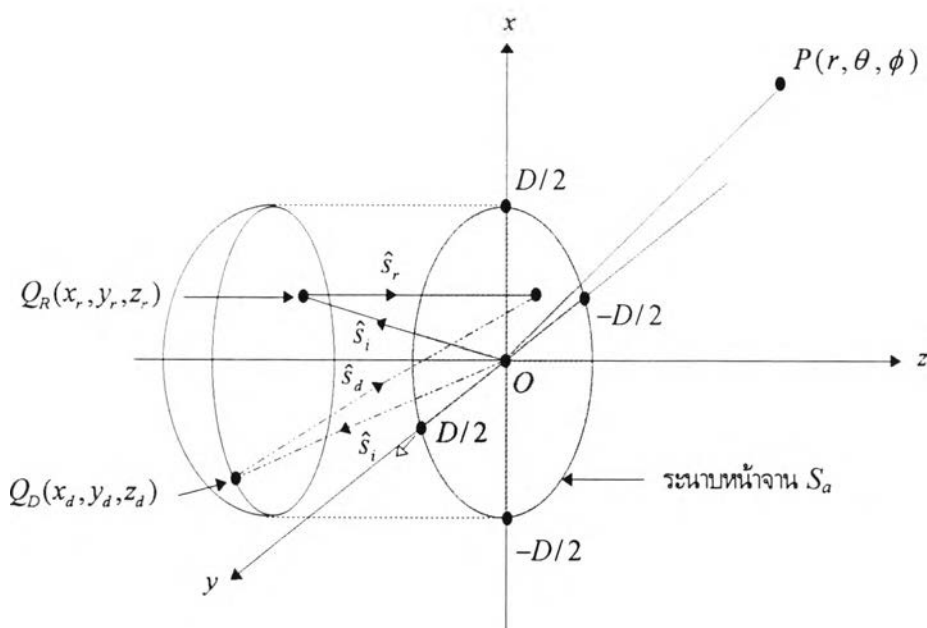
โดยที่ Z คือ อิมพีแดนซ์ลักษณะสมบัติของตัวกลางในบริเวณแผ่กระจายคลื่น

การหาสนามในย่านสนามไกลโดยกรรมวิธีการแปลงฟูริเยร์ของสเปกตรัมคลื่นระนาบข้างต้น สามารถนำมาใช้หาแบบรูปการแผ่พลังงานย่านสนามไกลของระบบสายอากาศชนิดจานสะท้อนเดี่ยวรูปพาราโบลิกได้โดยกำหนดให้ระนาบหน้าจานเป็นระนาบที่วางอยู่ที่จุดโฟกัสของจานสะท้อน และสนามไฟฟ้าบนระนาบหน้าจานนั้นเกิดจากสนามไฟฟ้าสะท้อนจากพื้นผิวจานสะท้อนซึ่งหาได้ดังสมการ (3.88) ในหัวข้อกรรมวิธีทัศนศาสตร์เชิงเรขาคณิตและสนามไฟฟ้าเลี้ยวเบนจากขอบของจานสะท้อน

ซึ่งหาได้ดังสมการ (3.231ก) ในหัวข้อทฤษฎีการเลี้ยวเบนเชิงเรขาคณิตมายังตำแหน่งต่าง ๆ บนระนาบนี้ ดังนั้นสนามไฟฟ้ารวมบนระนาบหน้าจานเป็น

$$\bar{E}_a(x, y, 0) = \bar{E}^r(x, y, 0) + \bar{E}^d(x, y, 0) \tag{3.281}$$

โดยที่ $\bar{E}^r(x, y, 0)$ คือ สนามไฟฟ้าที่สะท้อนจากพื้นผิวสะท้อนมายังระนาบหน้าจาน และ $\bar{E}^d(x, y, 0) = \sum_{n=1}^m \bar{E}_n^d(x, y, 0)$ คือ สนามไฟฟ้าที่เลี้ยวเบนจากขอบมายังระนาบหน้าจานซึ่งเกิดจากจุดเลี้ยวเบนทั้งหมด m จุดบนขอบจานสะท้อน



รูป 3.34 การหาแบบรูปการแผ่พลังงานย่านสนามไกลจากสนามบนระนาบหน้าจานของระบบสายอากาศชนิดจานสะท้อนเดี่ยวรูปพาราโบลิกแบบสมมาตร

สำหรับในวิทยานิพนธ์นี้เลือกระนาบหน้าจานให้มีขนาดเท่ากับภาพฉายของจานสะท้อน S_o เนื่องจากสนามบนระนาบหน้าจานนี้เกิดจากสนามที่สะท้อนออกมาจากพื้นผิวสะท้อนกับสนามเนื่องจากการเลี้ยวเบนที่ขอบของจานสะท้อน และพิจารณากรณีที่สายอากาศป้อนกำลังคลื่นดูควางที่ตำแหน่งไฟกัส สนามที่สะท้อนออกมาจากจานสะท้อนโดยกรรมวิธีทัศนศาสตร์เชิงเรขาคณิตจะเป็นคลื่นระนาบและมีเฉพาะในบริเวณภาพฉายนี้เท่านั้น ส่วนสนามที่มาจาก การเลี้ยวเบนที่ขอบภายนอกบริเวณภาพฉายมีขนาดน้อยมากเมื่อเปรียบเทียบกับสนามที่สะท้อนออกมาภายในบริเวณภาพฉาย ดังนั้นสนามไฟฟ้าในบริเวณย่านสนามไกลของระบบสายอากาศชนิดจานสะท้อนเดี่ยวรูปพาราโบลิกแบบสมมาตรดังรูป 3.34 เป็น

$$\bar{E}(r, \theta, \phi) = jk \frac{e^{-jkr}}{2\pi r} \left| \left(f_x \cos \phi + f_y \sin \phi \right) \bar{a}_\theta + \left(f_y \cos \phi - f_x \sin \phi \right) \cos \theta \bar{a}_\phi \right| \tag{3.282}$$

โดยที่

$$f_x(k_x, k_y) = \int_{-D/2}^{D/2} \int_{-\sqrt{(D/2)^2 - x^2}}^{\sqrt{(D/2)^2 - x^2}} E_{ax}(x, y, 0) e^{jk_x x + jk_y y} dy dx \tag{3.283ก}$$

$$f_y(k_x, k_y) = \int_{-D/2}^{D/2} \int_{-\sqrt{(D/2)^2 - x^2}}^{\sqrt{(D/2)^2 - x^2}} E_{ay}(x, y, 0) e^{jk_x x + jk_y y} dy dx \tag{3.283ข}$$

และ $k_x = k \sin \theta \cos \phi$ และ $k_y = k \sin \theta \sin \phi$

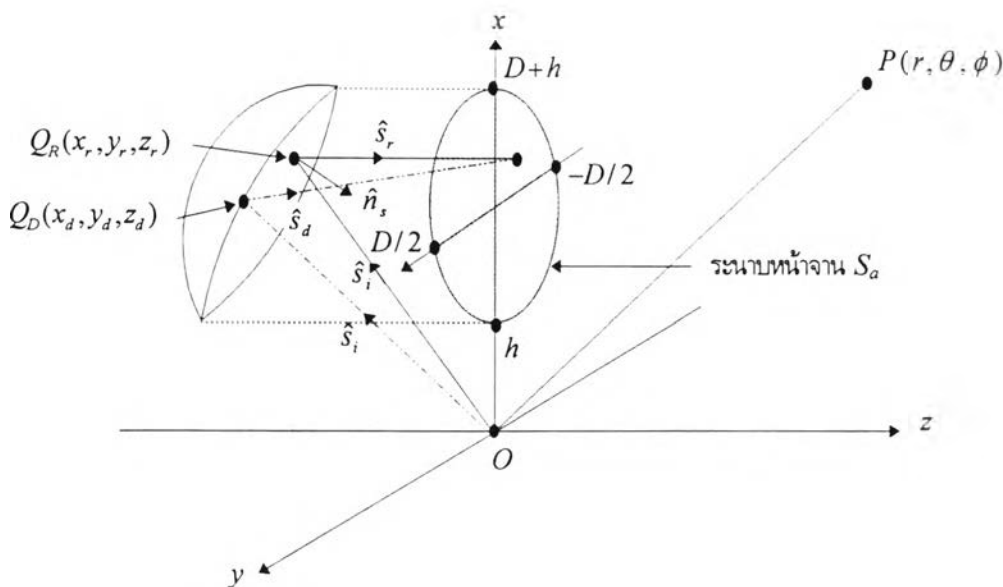
สมการ (3.283ก-ข) ไม่สามารถหาค่าแน่นอนตรงได้ ดังนั้นในการคำนวณหาค่าอินทิกรัลในสมการ (3.283ก-ข) จึงใช้กรรมวิธีเชิงเลข ซึ่งในวิทยานิพนธ์นี้ได้ใช้วิธีการของซิมป์สัน (Simpson method) (R. L. Burden and J. D. Faires, 1993) มาประมาณค่าอินทิกรัลดังกล่าว และทำการเปลี่ยนขอบเขตของการอินทิเกรตเป็นดังสมการ (3.284ก-ข)

$$f_x(k_x, k_y) = \int_{-D/2}^{D/2} \int_{-D/2}^{D/2} E_{ax}(x, y, 0) e^{jk_x x + jk_y y} dy dx \tag{3.284ก}$$

$$f_y(k_x, k_y) = \int_{-D/2}^{D/2} \int_{-D/2}^{D/2} E_{ay}(x, y, 0) e^{jk_x x + jk_y y} dy dx \tag{3.284ข}$$

โดยที่สนามไฟฟ้าบนระนาบหน้าจานนั้นถูกกำหนดว่า สนามไฟฟ้าภายในภาพฉายของจานสะท้อนเป็นดังสมการ (3.281) และสนามไฟฟ้าภายนอกบริเวณภาพฉายของจานสะท้อนกำหนดให้เป็นศูนย์ และช่วงการแบ่งส่วนย่อยที่ใช้ในการอินทิเกรตเท่ากับ $\lambda/8$ ตามการตรวจสอบอัลกอริทึมในภาคผนวก ฉ. เพื่อให้แบบรูปการแผ่พลังงานมีความแม่นยำอยู่ในเกณฑ์ที่เชื่อถือได้ถึงตำแหน่งเชิงมุมเท่ากับ 90 องศา

ในทำนองเดียวกัน สนามไฟฟ้าในบริเวณย่านสนามไกลของระบบสายอากาศชนิดจานสะท้อนเดี่ยวรูปพาราโบลิกแบบไม่สมมาตรดังรูป 3.35 เป็น



รูป 3.35 การหาแบบรูปการแผ่พลังงานย่านสนามไกลจากสนามบนระนาบหน้าจานของระบบสายอากาศชนิดจานสะท้อนเดี่ยวรูปพาราโบลิกแบบไม่สมมาตร

$$\vec{E}(r, \theta, \phi) = jk \frac{e^{-jkr}}{2\pi r} \left| (f_x \cos \phi + f_y \sin \phi) \vec{a}_\theta + (f_y \cos \phi - f_x \sin \phi) \cos \theta \vec{a}_\phi \right| \quad (3.285)$$

โดยที่

$$f_x(k_x, k_y) = \int_h^{D+h} \int_{-\sqrt{(D/2)^2 - (x-(D/2+h))^2}}^{\sqrt{(D/2)^2 - (x-(D/2+h))^2}} E_{\alpha}(x, y, 0) e^{jk_x x + jk_y y} dy dx \quad (3.286n)$$

$$f_y(k_x, k_y) = \int_h^{D+h} \int_{-\sqrt{(D/2)^2 - (x-(D/2+h))^2}}^{\sqrt{(D/2)^2 - (x-(D/2+h))^2}} E_{\alpha}(x, y, 0) e^{jk_x x + jk_y y} dy dx \quad (3.286ข)$$

และ $k_x = k \sin \theta \cos \phi$ และ $k_y = k \sin \theta \sin \phi$

การคำนวณค่าอินทิกรัลในสมการ (3.286ก-ข) ทำได้โดยใช้วิธีการของซิมป์สันมาประมาณ และทำการเปลี่ยนขอบเขตของการอินทิเกรตเป็นดังสมการ (3.287ก-ข)

$$f_x(k_x, k_y) = \int_h^{D+h} \int_{-D/2}^{D/2} E_{\alpha}(x, y, 0) e^{jk_x x + jk_y y} dy dx \quad (3.287ก)$$

$$f_y(k_x, k_y) = \int_h^{D+h} \int_{-D/2}^{D/2} E_{\alpha}(x, y, 0) e^{jk_x x + jk_y y} dy dx \quad (3.287ข)$$

โดยที่สนามไฟฟ้าบนระนาบหน้างานนั้นถูกกำหนดว่า สนามไฟฟ้าภายในภาพฉายของงานสะท้อนเป็นดังสมการ (3.281) ส่วนสนามไฟฟ้าภายนอกบริเวณภาพฉายของงานสะท้อนกำหนดให้เป็นศูนย์

2. โพลาริเซชันร่วมและโพลาริเซชันไขว้

โพลาริเซชันร่วมและโพลาริเซชันไขว้เป็นค่าคุณลักษณะที่สำคัญที่บ่งบอกถึงสมรรถนะของระบบสายอากาศที่ส่งสัญญาณแบบโพลาริเซชันคู่ (dual polarization) โดยใช้ความถี่เดียวกันหรือที่เรียกว่า การใช้ความถี่ซ้ำ (frequency reuse) มาเพิ่มความจุช่องสัญญาณ เนื่องจากถ้าระดับโพลาริเซชันไขว้ของช่องสัญญาณหนึ่งมีระดับสูงก็จะทำให้เกิดการรบกวนกับโพลาริเซชันที่ต้องการหรือโพลาริเซชันร่วมของอีกช่องสัญญาณหนึ่ง

การพิจารณาโพลาริเซชันร่วมและโพลาริเซชันไขว้นั้น Ludwig (1973) ได้ให้คำนิยามไว้ 3 แบบ ในวิทยานิพนธ์นี้ ได้ใช้คำนิยามที่ 3 ของ Ludwig มาอธิบายโพลาริเซชันร่วมและโพลาริเซชันไขว้ที่เกิดขึ้น

จากคำนิยามที่ 3 ของ Ludwig ถ้าแกน z เป็นแกนอ้างอิงในทิศทางแนวเล็ง (boresight direction) และจุดอ้างอิงอยู่ที่จุดศูนย์กลางเฟส และโพลาริเซชันร่วมกำหนดโดยเวกเตอร์หนึ่งหน่วยในทิศทาง $\theta = 0$ เป็นดังสมการ (3.288)

$$\left(\vec{a}_{cp} \right)_{\theta=0} = \cos \phi_{pol} \vec{a}_x + \sin \phi_{pol} \vec{a}_y \quad (3.288)$$

โดยที่ ϕ_{pol} คือ มุมการวางตัวของโพลาริเซชันร่วมจากแกน x แล้วโพลาริเซชันร่วมและโพลาริเซชันไขว้ในทิศทางอื่นที่ไม่ใช่ทิศทางแนวเล็งกำหนดโดยเวกเตอร์หนึ่งหน่วยดังสมการ (3.289) และ (3.290) ตามลำดับ

$$\vec{a}_{cp} = \cos(\phi - \phi_{pol}) \vec{a}_\theta - \sin(\phi - \phi_{pol}) \vec{a}_\phi \quad (3.289)$$

$$\vec{a}_{xp} = \sin(\phi - \phi_{pol})\vec{a}_\theta + \cos(\phi - \phi_{pol})\vec{a}_\phi \quad (3.290)$$

ดังนั้นสนามไฟฟ้าย่านสนามไกลในแนวโพลาริเซชันร่วมเป็น

$$E_{cp} = \vec{E} \cdot \vec{a}_{cp} = E_\theta \cos(\phi - \phi_{pol}) - E_\phi \sin(\phi - \phi_{pol}) \quad (3.291)$$

และสนามไฟฟ้าย่านสนามไกลในแนวโพลาริเซชันไขว้เป็น

$$E_{xp} = \vec{E} \cdot \vec{a}_{xp} = E_\theta \sin(\phi - \phi_{pol}) + E_\phi \cos(\phi - \phi_{pol}) \quad (3.292)$$

โดยที่ E คือ สนามไฟฟ้าในบริเวณย่านสนามไกล สำหรับระบบสายอากาศชนิดจานสะท้อนเดี่ยวรูปพาราโบลิก สนามไฟฟ้าในบริเวณย่านสนามไกลหาได้ดังหัวข้อแบบรูปการแผ่พลังงานย่านสนามไกล และโพลาริเซชันร่วมของระบบสายอากาศชนิดจานสะท้อนเดี่ยวรูปพาราโบลิกนี้พิจารณาจากโพลาริเซชันร่วมของสนามไฟฟ้าบนระนาบหน้าจานซึ่งถ้าใช้สายอากาศที่มีโพลาริเซชันในแนว y เป็นสายอากาศป้อนกำลังคลื่น โพลาริเซชันร่วมของสนามไฟฟ้าบนระนาบหน้าจานจะอยู่ในทิศ y ในทำนองเดียวกัน ถ้าใช้สายอากาศที่มีโพลาริเซชันในแนว x เป็นสายอากาศป้อนกำลังคลื่น โพลาริเซชันร่วมของสนามไฟฟ้าบนระนาบหน้าจานจะอยู่ในทิศ x ดังนั้นสำหรับระบบสายอากาศชนิดจานสะท้อนเดี่ยวรูปพาราโบลิกที่ใช้สายอากาศที่มีโพลาริเซชันในแนว y เป็นสายอากาศป้อนกำลังคลื่น ($\phi_{pol} = \pi/2$) สนามไฟฟ้าย่านสนามไกลในแนวโพลาริเซชันร่วมและไขว้เป็น

$$E_{cp} = E_\theta \sin \phi + E_\phi \cos \phi \quad (3.293)$$

$$E_{xp} = -E_\theta \cos \phi + E_\phi \sin \phi \quad (3.294)$$

และสำหรับระบบสายอากาศชนิดจานสะท้อนเดี่ยวรูปพาราโบลิกที่ใช้สายอากาศที่มีโพลาริเซชันในแนว x เป็นสายอากาศป้อนกำลังคลื่น ($\phi_{pol} = 0$) สนามไฟฟ้าย่านสนามไกลในแนวโพลาริเซชันร่วมและไขว้เป็น

$$E_{cp} = E_\theta \cos \phi - E_\phi \sin \phi \quad (3.295)$$

$$E_{xp} = E_\theta \sin \phi + E_\phi \cos \phi \quad (3.296)$$

จากข้างต้นเป็นการนำคำนิยามที่ 3 ของ Ludwig มาพิจารณาโพลาริเซชันร่วมและโพลาริเซชันไขว้ที่เกิดขึ้นในระบบสายอากาศชนิดจานสะท้อนเดี่ยวรูปพาราโบลิก เพื่อดูระดับโพลาริเซชันร่วมและโพลาริเซชันไขว้ในทิศทางต่าง ๆ โดยในวิทยานิพนธ์นี้ได้ดูโพลาริเซชันร่วมและโพลาริเซชันไขว้ที่เกิดขึ้นในระนาบ $\phi = 0^\circ$, $\phi = 45^\circ$ และ $\phi = 90^\circ$ และผลกรรภาพจากปรากฏการณ์เลียวเบนที่ขอบจานสะท้อนที่มีต่อโพลาริเซชันร่วมและโพลาริเซชันไขว้ดังแสดงในบทผลการวิเคราะห์ ซึ่งสามารถนำไปใช้เป็นข้อมูลสำหรับการสื่อสารที่ใช้เทคนิคการใช้ความถี่ซ้ำ

3. อัตราขยายและประสิทธิภาพต่าง ๆ

อัตราขยายของสายอากาศเป็นค่าปัจจัยที่สำคัญในการออกแบบระบบสายอากาศใด ๆ รวมทั้งระบบสายอากาศชนิดงานสะท้อนเดี่ยวรูปพาราโบลิกเนื่องจากอัตราขยายของสายอากาศเป็นค่าปัจจัยที่บ่งบอกถึงความสามารถในการรวบรวมพลังงานที่แผ่กระจายออกมาจากสายอากาศให้พุ่งไปในทิศทางที่ต้องการได้มากน้อยเพียงใด ซึ่งสามารถคำนวณได้จากอัตราส่วนของความหนาแน่นของกำลังคลื่นที่แผ่พลังงานในทิศทางที่ต้องการเทียบกับความหนาแน่นของกำลังคลื่นจากแหล่งกำเนิดคลื่นแบบจุด (point source) ที่ถูกบดบังด้วยกำลังงานเดียวกับที่บดบังให้ระบบสายอากาศนั้น ดังนั้นอัตราขยายของระบบสายอากาศ G ใด ๆ กำหนดได้ดังสมการ (3.297)

$$G(\theta, \phi) = \frac{P_{rad}(\theta, \phi)}{P_{in} / (4\pi)} = 4\pi \frac{P_{rad}(\theta, \phi)}{P_{in}} \quad (3.297)$$

โดยที่ P_{rad} คือ ความหนาแน่นของกำลังงานของคลื่นในแนวโพลาริเซชันร่วมที่แผ่พลังงานในทิศทางที่ต้องการ (θ, ϕ) มีหน่วยเป็น วัตต์ต่อสเตอเรเดียน และ P_{in} คือ กำลังที่บดบังให้ระบบสายอากาศ มีหน่วยเป็น วัตต์

สำหรับระบบสายอากาศชนิดงานสะท้อนเดี่ยวรูปพาราโบลิก อัตราขยายของระบบสายอากาศเป็นค่าปัจจัยที่มีความสำคัญต่อการออกแบบ เนื่องจากในการออกแบบระบบสายอากาศชนิดนี้เพื่อใช้เป็นระบบสายอากาศภาคพื้นดิน อัตราขยายของระบบสายอากาศได้รับการกำหนดมาตรฐานโดยสถาบัน CCIR เพื่อลดปัญหาการเกิดสัญญาณรบกวนกับสัญญาณของดาวเทียมที่อยู่ในแนวมุมเงยที่ใกล้เคียงกัน โดยกำหนดค่าสูงสุดของอัตราขยายที่มุมต่าง ๆ ดังตาราง 3.2

ตาราง 3.2 อัตราขยายของระบบสายอากาศภาคพื้นดินตามมาตรฐานที่กำหนดโดยสถาบัน CCIR (Recommendation 465-2)

ขนาดสายอากาศ	อัตราขยาย (dBi)	มุมออฟเซต (องศา)
$D/\lambda < 100$	$52 - 10\log(D/\lambda) - 25\log\theta$	$100\lambda/D \leq \theta < 48$
	$10 - 10\log(D/\lambda)$	$48 \leq \theta \leq 180$
$D/\lambda \geq 100$	$32 - 25\log\theta$	$1 \leq \theta < 48$
	-10	$48 \leq \theta \leq 180$

หมายเหตุ θ คือ มุมระหว่างทิศทางที่ต้องการกับแนวเล็งหลัก

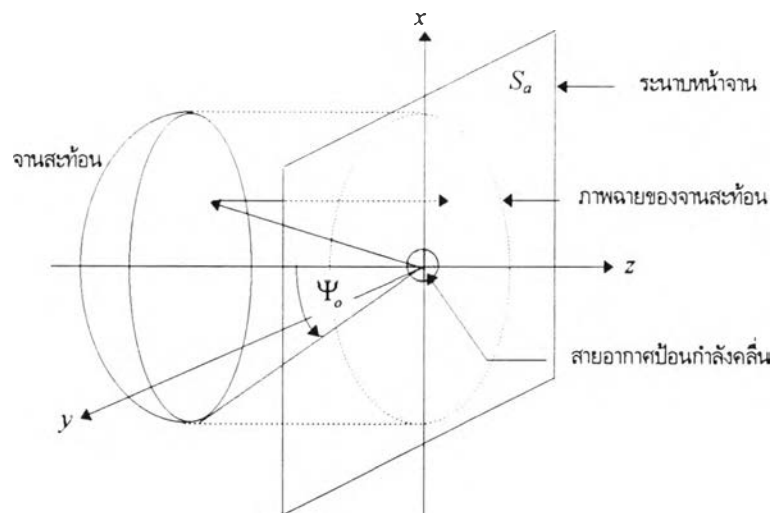
เมื่อพิจารณาการแผ่พลังงานของสายอากาศชนิดงานสะท้อนเดี่ยวรูปพาราโบลิกดังรูป 3.36 ซึ่งประกอบด้วยสายอากาศบดบังกำลังคลื่นและงานสะท้อนมีกลไกของการแผ่พลังงานดังนี้คือ เมื่อคลื่นแม่เหล็กไฟฟ้าจากสายอากาศบดบังกำลังคลื่นแผ่พลังงานไปตกกระทบบนพื้นผิวงานสะท้อนซึ่งเป็นตัวนำสมบูรณ์ก็จะทำให้เกิดการสะท้อนออกไปยังบริเวณระนาบหน้างาน โดยที่คลื่นแม่เหล็กไฟฟ้าบนระนาบหน้างานสามารถถูกมองได้ว่าเป็นสเปกตรัมของคลื่นระนาบที่เคลื่อนตัวออกไปในบริเวณย่านสนามไกล ดังนั้นในการหาอัตราขยายของระบบสายอากาศชนิดนี้สามารถพิจารณาได้จากการสูญเสียที่เกิดในแต่ละขั้นตอนของการแผ่พลังงาน โดยเริ่มจากการสูญเสียภายในสายอากาศบดบังกำลังคลื่น ซึ่งถ้าสมมุติว่ากำลังที่บดบังให้สายอากาศบดบังกำลังคลื่นเป็น P_{in} ดังนั้นกำลังทั้งหมดที่แผ่พลังงานออกไปจากสายอากาศบดบังกำลังคลื่น P_T จะเป็น

$$P_T = \eta_f P_{in} \quad (3.298)$$

โดยที่ η_f คือ ประสิทธิภาพของสายอากาศป้อนกำลังคลื่น และเนื่องจากงานสะท้อนถูกวางอยู่ในบริเวณย่านสนามไกลของสายอากาศป้อนกำลังคลื่น ดังนั้นกำลังทั้งหมดที่แผ่พลังงานออกไปจากสายอากาศป้อนกำลังคลื่นไปในบริเวณที่งานสะท้อนวางอยู่ ซึ่งเป็นบริเวณย่านสนามไกล P_T สามารถหาได้ดังสมการ (3.299)

$$\begin{aligned} P_T &= \frac{1}{2} \int_0^{2\pi} \int_0^\pi \operatorname{Re}(\vec{E}_{feed} \times \vec{H}_{feed}^*) \cdot \vec{a}_r r_f^2 \sin\theta_f d\theta_f d\phi_f \\ &= \frac{1}{2Z} \int_0^{2\pi} \int_0^\pi |\vec{E}_{feed}(r_f, \theta_f, \phi_f)|^2 r_f^2 \sin\theta_f d\theta_f d\phi_f \end{aligned} \quad (3.299)$$

และเมื่อกำลังทั้งหมดที่แผ่พลังงานจากสายอากาศป้อนกำลังคลื่นถูกส่งไปยังพื้นผิวงานสะท้อน พื้นผิวงานสะท้อนไม่สามารถรับกำลังที่ถูกส่งมาได้ทุกทิศทาง ซึ่งสำหรับระบบสายอากาศชนิดงานสะท้อนเดี่ยวรูปพาราโบลิกแบบสมมาตรดังรูป 3.36 กำลังที่ส่งออกมาจากสายอากาศป้อนกำลังคลื่นถูกรับโดยงานสะท้อนได้ถึงมุมกว้างเท่ากับ Ψ_0 กำลังในมุมที่เกินมุมกว้างของงานสะท้อนย่อมหลุดเลยออกไปจากงานสะท้อนทำให้เกิดการสูญเสีย ปรากฏการณ์ที่เกิดขึ้นในลักษณะนี้เรียกว่า การล้นงาน (spillover) ซึ่งทำให้กำลังที่รับได้บนพื้นผิวงานสะท้อน P_r จะเป็น



รูป 3.36 ระบบสายอากาศชนิดงานสะท้อนเดี่ยวรูปพาราโบลิกและระนาบหน้าจาน

$$P_r = \eta_s P_T \quad (3.300)$$

โดยที่ η_s คือ ประสิทธิภาพเนื่องจากการล้นงาน ซึ่งเป็นอัตราส่วนของกำลังที่งานสะท้อนรับได้ต่อกำลังทั้งหมดจากสายอากาศป้อนกำลังคลื่น โดยกำลังที่งานสะท้อนรับได้ P_r ในระบบสายอากาศชนิดงานสะท้อนเดี่ยวรูปพาราโบลิกแบบสมมาตรที่มีมุมกว้างของงานสะท้อนเท่ากับ Ψ_0 สามารถหาได้จากกำลังที่แผ่พลังงานมาจากสายอากาศป้อนกำลังคลื่นภายในกรวยที่มีมุมกว้างเท่ากับ $2\Psi_0$ ดังนั้น

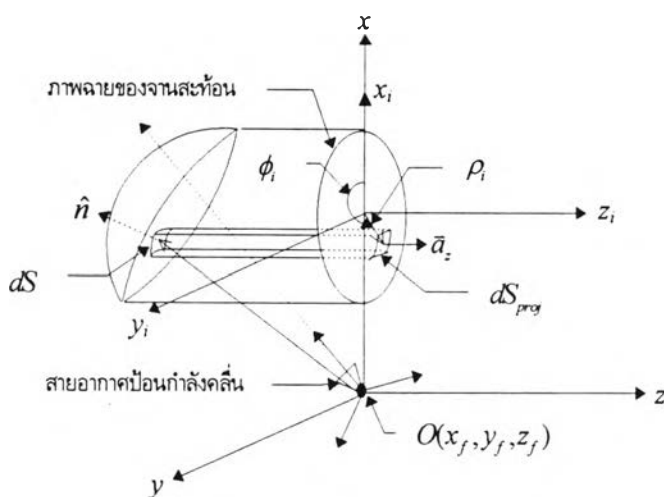
$$P_r = \frac{1}{2Z} \int_0^{2\pi} \int_0^{\Psi_0} |\vec{E}_{feed}(r_f, \theta_f, \phi_f)|^2 r_f^2 \sin \theta_f d\theta_f d\phi_f \quad (3.301)$$

สังเกตว่าสมการ (3.301) ใช้ได้กับระบบสายอากาศชนิดจานสะท้อนเดี่ยวแบบสมมาตรที่แกนของสายอากาศป้อนกำลังคลื่นพุ่งเข้าหาจานสะท้อนคลื่นและอยู่บนแกนเดียวกับแกนของจานสะท้อนเท่านั้น เนื่องจากกำลังที่ส่งออกมาจากสายอากาศป้อนกำลังคลื่นถูกจับโดยจานสะท้อนได้เท่ากับมุม Ψ_0 เท่ากันในทุกระนาบ แต่สำหรับระบบสายอากาศชนิดจานสะท้อนเดี่ยวแบบไม่สมมาตรกำลังที่ส่งออกมาจากสายอากาศป้อนกำลังคลื่นถูกจับโดยจานสะท้อนได้ไม่เท่ากันในแต่ละระนาบ ดังนั้นสำหรับระบบสายอากาศชนิดจานสะท้อนเดี่ยวรูปพาราโบลิกแบบไม่สมมาตร กำลังที่จานสะท้อนรับได้ P_r สามารถหาได้โดยอินทิเกรตกำลังเฉลี่ยบนพื้นผิวจานสะท้อนซึ่งจะได้

$$P_r = \frac{1}{2} \iint_S \operatorname{Re} \left[\vec{E}_{feed}(r_f, \theta_f, \phi_f) \times \vec{H}_{feed}^*(r_f, \theta_f, \phi_f) \right] \cdot \hat{n} dS \quad (3.302)$$

โดยที่ \hat{n} คือ เวกเตอร์หนึ่งหน่วยที่พุ่งเข้าตั้งฉากกับพื้นผิวจานสะท้อน และ dS คือ พื้นที่เล็ก ๆ บนพื้นผิวจานสะท้อนซึ่งมีความสัมพันธ์กับพื้นที่เล็ก ๆ ของภาพฉายของจานสะท้อน dS_{proj} บนระนาบ $z=0$ เป็น

$$dS = \frac{dS_{proj}}{|\hat{n} \cdot \vec{a}_z|} \quad (3.303)$$



รูป 3.37 การหากำลังที่จานสะท้อนรับได้โดยพิจารณาจากโดเมนภาพฉายของจานสะท้อน

และเนื่องจากภาพฉายของจานสะท้อนในระบบสายอากาศชนิดจานสะท้อนเดี่ยวรูปพาราโบลิกแบบไม่สมมาตรเป็นวงกลมที่มีเส้นผ่านศูนย์กลางเท่ากับ D ดังรูป 3.37 ดังนั้น $dS_{proj} = \rho_i d\rho_i d\phi_i$ ทำให้กำลังที่จานสะท้อนรับได้ P_r ของระบบสายอากาศชนิดจานสะท้อนเดี่ยวรูปพาราโบลิกแบบไม่สมมาตรเป็นดังสมการ (3.304)

$$P_r = \frac{1}{2} \int_0^{2\pi} \int_0^{D/2} \operatorname{Re} \left[\vec{E}_{feed}(x_s, y_s, z_s) \times \vec{H}_{feed}^*(x_s, y_s, z_s) \right] \cdot \hat{n} \rho_1 d\rho_1 d\phi_1 \quad (3.304)$$

โดยที่ $x_s = D/2 + h + \rho_1 \cos \phi_1$, $y_s = D/2 + h + \rho_1 \sin \phi_1$ และ $z_s = \frac{x_s^2 + y_s^2}{4f} - f$ คือ ตำแหน่งบนพื้นผิวจานสะท้อนรูปพาราโบลิกที่สนามไฟฟ้าจากสายอากาศป้อนกำลังคลื่นมาตกกระทบในระบบพิกัดคาร์ทีเซียน และ $\vec{E}_{feed}(x_s, y_s, z_s)$ คือ สนามไฟฟ้าจากสายอากาศป้อนกำลังคลื่นมายังที่จุด (x_s, y_s, z_s)

และเมื่อพิจารณาสนามไฟฟ้าที่แผ่พลังงานออกมาจากพื้นผิวจานสะท้อนมายังระนาบหน้าจานพบว่า สนามไฟฟ้าบนระนาบหน้าจานเกิดจากสนามไฟฟ้าที่สะท้อนออกมาจากพื้นผิวจานสะท้อนและสนามไฟฟ้าที่เกิดจากการเลี้ยวเบนที่ขอบของจานสะท้อน ซึ่งมีการกระจายไม่คงที่ที่หึ่งองค์ประกอบทางขนาดเนื่องมาจากตัวประกอบการลดทอนและทางเฟสเนื่องจากสนามไฟฟ้าที่มาจาก การเลี้ยวเบน และยังม้องค์ประกอบในแนวโพลาริเซชันไขว้เกิดขึ้นเนื่องจากสายอากาศป้อนกำลังคลื่นที่ใช้ และสนามไฟฟ้าที่มาจาก การเลี้ยวเบน ทำให้เกิดการสูญเสียในอัตราขยายเมื่อเทียบกับในกรณีที่สนามไฟฟ้ามีโพลาริเซชันแบบเชิงเส้นและมีการกระจายอย่างคงที่ที่หึ่งองค์ประกอบทางขนาดและทางเฟส (uniform distribution) การสูญเสียที่เกิดขึ้นนี้สามารถพิจารณาได้จากค่าปัจจัยที่เรียกว่า ประสิทธิภาพช่องเปิด (aperture efficiency) ซึ่งสามารถหาได้จากอัตราส่วนของความหนาแน่นของกำลังคลื่นในแนวโพลาริเซชันร่วมตามแนวแกนของสายอากาศต่อสเตอเรเดียนกับความหนาแน่นของกำลังคลื่นตามแนวแกนของสายอากาศที่เกิดจากสนามไฟฟ้าบนระนาบที่มีการกระจายอย่างคงที่ที่หึ่งองค์ประกอบทางขนาดและทางเฟส และมีโพลาริเซชันแบบเชิงเส้นที่แผ่พลังงานด้วยกำลังที่เท่ากัน และเนื่องจากสนามไฟฟ้าบนระนาบหน้าจานเกิดจากการสะท้อนออกมาจากพื้นผิวสะท้อนและจากการเลี้ยวเบนที่ขอบ ดังนั้น

$$\vec{E}_a(x, y, 0) = \vec{E}^r(x, y, 0) + \vec{E}^d(x, y, 0) \quad (3.305)$$

โดยที่ $\vec{E}^r(x, y, 0)$ คือ สนามไฟฟ้าที่สะท้อนจากพื้นผิวสะท้อนมายังระนาบหน้าจาน และ $\vec{E}^d(x, y, 0) = \sum_{n=1}^m \vec{E}_n^d(x, y, 0)$ คือ สนามไฟฟ้าที่เลี้ยวเบนจากขอบมายังระนาบหน้าจานซึ่งเกิดจากจุดเลี้ยวเบนทั้งหมด m จุดบนขอบ ในทำนองเดียวกันสนามแม่เหล็กบนระนาบหน้าจานจะเป็น

$$\vec{H}_a(x, y, 0) = \vec{H}^r(x, y, 0) + \vec{H}^d(x, y, 0) \quad (3.306)$$

โดยที่ $\vec{H}^r(x, y, 0) = \frac{\hat{s}_r \times \vec{E}^r(x, y, 0)}{Z}$ คือ สนามแม่เหล็กที่สะท้อนจากพื้นผิวสะท้อนมายังระนาบหน้าจาน และ $\vec{H}^d(x, y, 0) = \sum_{n=1}^m \frac{\hat{s}_n^d \times \vec{E}_n^d(x, y, 0)}{Z}$ คือ สนามแม่เหล็กที่เลี้ยวเบนจากขอบมายังระนาบหน้าจานซึ่งเกิดจากจุดเลี้ยวเบนทั้งหมด m จุดบนขอบ ดังนั้นกำลังทั้งหมดที่แผ่พลังงาน P_a จากระนาบหน้าจานเนื่องจากสนามไฟฟ้าและสนามแม่เหล็กบนระนาบหน้าจานดังสมการ (3.305) และ (3.306) จะเท่ากับ

$$P_a = \frac{1}{2} \iint_{S_a} \operatorname{Re} \left[\vec{E}_a(x, y, 0) \times \vec{H}_a^*(x, y, 0) \right] \cdot \vec{a}_z dS \quad (3.307)$$

โดยที่ S_a คือ พื้นที่ทั้งหมดบนระนาบหน้างาน ซึ่งในการเลือกขนาดระนาบหน้างานอาจมีสนามไฟฟ้าบางส่วนหลุดออกนอกระนาบหน้างานทำให้เกิดการสูญเสียเกิดขึ้น การสูญเสียที่เกิดขึ้นนี้เรียกว่า การสูญเสียเนื่องจากการล้นระนาบ ดังนั้นกำลังทั้งหมดที่แผ่พลังงานจากระนาบหน้างานมีความสัมพันธ์กับกำลังที่งานสะท้อนรับได้เป็นดังสมการ (3.308)

$$P_a = \eta_{sa} P_r \quad (3.308)$$

และจากหัวข้อแบบรูปการแผ่พลังงาน สนามไฟฟ้าที่แผ่พลังงานออกจากระนาบหน้างานไปในบริเวณย่านสนามไกลจะเท่ากับ

$$\vec{E}(r, \theta, \phi) = jk \frac{e^{-jkr}}{2\pi r} \left| (f_x \cos \phi + f_y \sin \phi) \vec{a}_\theta + (f_y \cos \phi - f_x \sin \phi) \cos \theta \vec{a}_\phi \right| \quad (3.309)$$

โดยที่

$$f_x(k_x, k_y) = \iint_{S_a} E_{ax}(x, y, 0) e^{jk_x x + jk_y y} dx dy \quad (3.310ก)$$

$$f_y(k_x, k_y) = \iint_{S_a} E_{ay}(x, y, 0) e^{jk_x x + jk_y y} dx dy \quad (3.310ข)$$

และ $k_x = k \sin \theta \cos \phi$ และ $k_y = k \sin \theta \sin \phi$ ซึ่งมีลักษณะเป็นคลื่นแม่เหล็กไฟฟ้าตามขวาง ดังนั้นความหนาแน่นของกำลังคลื่นที่แผ่พลังงานในทิศทางตามแนวแกนของสายอากาศต่อสเตอเรเดียนเป็น

$$\frac{r^2 |\vec{E}(r, 0, 0)|^2}{2Z} = \frac{k^2}{8\pi^2 Z} |f_x \vec{a}_\theta + f_y \vec{a}_\phi|^2 \quad (3.311)$$

ถ้ากำลังทั้งหมดที่แผ่พลังงานจากระนาบหน้างาน P_a เกิดจากสนามไฟฟ้าบนระนาบหน้างานที่เป็นคลื่นระนาบและมีโพลาไรเซชันแบบเชิงเส้นซึ่งสมมุติว่ามีโพลาไรเซชันอยู่ในทิศ $\vec{a}_u = \vec{a}_x \cos \phi_0 + \vec{a}_y \sin \phi_0$ และมีการกระจายคองที่ห้องค์ประกอบทางขนาดและทางเฟส ซึ่งสามารถกำหนดเป็น $\vec{E}_{au} = E_{au} \vec{a}_u$ ดังนั้นกำลังทั้งหมดที่แผ่พลังงานจากระนาบหน้างานในกรณีนี้เป็น

$$P_a = \frac{1}{2Z} \iint_{S_a} |\vec{E}_{au}|^2 dS = \frac{1}{2Z} \iint_{S_a} E_{au}^2 dS = \frac{E_{au}^2 S_a}{2Z}$$

ดังนั้น

$$\vec{E}_{au} = \left(\frac{2Z P_a}{S_a} \right)^{1/2} \vec{a}_u \quad (3.312)$$

และเมื่อทำการหาความหนาแน่นของกำลังคลื่นตามแนวแกนของสายอากาศต่อสเตอเรเดียนจากสนามไฟฟ้าบนระนาบหน้างานดังสมการ (3.312) จะได้

$$P_u(\theta = 0, \phi = 0) = \frac{k^2}{8\pi^2 Z} |f_x \bar{a}_\theta + f_y \bar{a}_\phi|^2 = \frac{k^2}{8\pi^2 Z} (|f_x|^2 + |f_y|^2) = \frac{k^2}{4\pi^2} P_a S_a \quad (3.313)$$

เนื่องจาก

$$f_x = \iint_{S_a} E_{ax} \cos \phi_o dx dy = \iint_{S_a} \left(\frac{2P_a Z}{S_a} \right)^{1/2} \cos \phi_o dx dy = \left(\frac{2P_a Z}{S_a} \right)^{1/2} S_a \cos \phi_o \quad (3.314ก)$$

$$f_y = \iint_{S_a} E_{ay} \sin \phi_o dx dy = \iint_{S_a} \left(\frac{2P_a Z}{S_a} \right)^{1/2} \sin \phi_o dx dy = \left(\frac{2P_a Z}{S_a} \right)^{1/2} S_a \sin \phi_o \quad (3.314ข)$$

และถ้าสนามไฟฟ้าบนระนาบหน้าจานมีโพลาริเซชันร่วมอยู่ในทิศทาง $\bar{a}_{cp} = \bar{a}_x \cos \phi_{pol} + \bar{a}_y \sin \phi_{pol}$ จากนิยามของโพลาริเซชันร่วมข้างต้น สนามไฟฟ้าในแนวโพลาริเซชันร่วมที่บริเวณย่านสนามไกลจะเป็น

$$E_{cp}(\theta, \phi) = E_\theta \cos(\phi - \phi_{pol}) - E_\phi \sin(\phi - \phi_{pol}) \quad (3.315)$$

โดยที่ E_θ, E_ϕ คือ องค์ประกอบของสนามไฟฟ้าในแนว $\bar{a}_\theta, \bar{a}_\phi$ ของสมการ (3.309) ตามลำดับ ดังนั้นจากสมการ (3.311) ความหนาแน่นของกำลังคลื่นที่แผ่พลังงานในแนวโพลาริเซชันร่วมตามแนวแกนของสายอากาศต่อสเตอเรเดียนเป็น

$$P_{cp}(\theta = 0, \phi = 0) = \frac{r^2 |E_{cp}(0,0)|^2}{2Z} = \frac{k^2 |f_x \cos \phi_{pol} + f_y \sin \phi_{pol}|^2}{8\pi^2 Z} \quad (3.316)$$

จากค่านิยามของประสิทธิภาพของช่องเปิด และจากสมการ (3.313) และ (3.316) จะได้

$$\eta_A = \frac{P_{cp}(0,0)}{P_u(0,0)} \quad (3.317)$$

จากค่านิยามของประสิทธิภาพช่องเปิดพบว่า ค่าปัจจัยนี้บ่งบอกถึงการสูญเสียไว้ 3 อย่างคือ การสูญเสียเนื่องจากการกระจายของขนาดของสนามไฟฟ้าบนระนาบหน้าจานไม่คงที่ การสูญเสียเนื่องจากการกระจายของเฟสของสนามไฟฟ้าบนระนาบหน้าจานไม่คงที่ และการสูญเสียเนื่องจากการเกิดสนามไฟฟ้าในแนวโพลาริเซชันไขว้บนระนาบหน้าจาน

จากการสูญเสียที่เกิดขึ้นทั้งหมดในขั้นตอนการแผ่พลังงานข้างต้นทำให้สามารถนำมาใช้หาอัตราขยายของระบบสายอากาศชนิดจานสะท้อนเดี่ยวรูปพาราโบลิกในทิศทางที่ต้องการ (θ, ϕ) ได้ ซึ่งจากค่านิยามของอัตราขยายในสมการ (3.297)

$$G_{cp}(\theta, \phi) = \frac{4\pi P_{cp}(\theta, \phi)}{P_{in}} \quad (3.318)$$

จากสมการ (3.298) (3.300) และ (3.308) $P_{in} = \frac{P_a}{\eta_i \eta_r \eta_o}$ ซึ่งเมื่อแทนลงในสมการ (3.318) จะได้

$$G_{cp}(\theta, \phi) = \frac{4\pi\eta_f\eta_s\eta_{sa}P_{cp}(\theta, \phi)}{P_a} \quad (3.319)$$

และจากสมการ (3.313) กับ (3.318) $P_{cp}(0,0) = \frac{\eta_A k^2}{4\pi^2} P_a S_a$ ดังนั้น $P_a = \frac{4\pi^2 P_{cp}(0,0)}{\eta_A k^2 S_a}$ ซึ่งเมื่อแทนลงในสมการ (3.319) จะได้

$$G_{cp}(\theta, \phi) = \frac{4\pi}{\lambda^2} \eta_f \eta_s \eta_{sa} \eta_A S_a \frac{P_{cp}(\theta, \phi)}{P_{cp}(0,0)} \quad (3.301)$$

จากสมการ (3.320) ถ้าไม่มีการสูญเสียใด ๆ เกิดขึ้นจะทำให้เกิดอัตราขยายสูงสุดเป็นดังสมการ (3.321)

$$G_{cp}^{\max}(\theta, \phi) = \frac{4\pi}{\lambda^2} S_a \frac{P_{cp}(\theta, \phi)}{P_{cp}(0,0)} \quad (3.321)$$

ถ้าพิจารณาอัตราขยายในแนวแกนของสายอากาศ ($\theta=0$ และ $\phi=0$) จะได้

$$G_{cp}(0,0) = \frac{4\pi}{\lambda^2} \eta_f \eta_s \eta_{sa} \eta_A S_a \quad (3.322)$$

และเมื่อเขียนสมการ (3.320) ให้อยู่ในหน่วย dB จะได้

$$G_{cp}(\theta, \phi) = 10 \log \left(\frac{4\pi}{\lambda^2} S_a \right) + 10 \log(\eta) + 10 \log \left(\frac{P_{cp}(\theta, \phi)}{P_{cp}(0,0)} \right) \quad (3.323)$$

โดยที่ $\eta = \eta_f \eta_s \eta_{sa} \eta_A$ คือ ประสิทธิภาพของสายอากาศ

เมื่อสังเกตพจน์ต่าง ๆ ในสมการ (3.323) พบว่า พจน์ $10 \log \left(\frac{4\pi}{\lambda^2} S_a \right)$ บ่งบอกถึงอัตราขยายมากที่สุดในแนวแกนของสายอากาศ และพจน์ $-10 \log(\eta)$ บ่งบอกถึงการสูญเสียที่เกิดขึ้นทั้งหมด ส่วนพจน์ $10 \log \left(\frac{P_{cp}(\theta, \phi)}{P_{cp}(0,0)} \right)$ เป็นพจน์ที่ปรับบรรทัดฐานอัตราขยายในทิศทางที่ต้องการกับอัตราขยายในแนวแกน

จากที่กล่าวไว้ในหัวข้อแบบรูปการแผ่พลังงานย่านสนามไกลได้เลือกระนาบหน้างานมีขนาดเท่ากับภาพฉายของจานสะท้อน เนื่องจากสนามบนระนาบหน้างานนี้เกิดจากสนามที่สะท้อนออกมาจากพื้นผิวสะท้อนกับสนามเนื่องจากการเลี้ยวเบนที่ขอบของจานสะท้อน และพิจารณากรณีที่สายอากาศป้อนกำลังคลื่นถูกวางที่ตำแหน่งโฟกัส สนามที่สะท้อนออกมาจากจานสะท้อนโดยกรรมวิธีทัศนศาสตร์เชิงเรขาคณิตจะเป็นคลื่นระนาบและมีเฉพาะในบริเวณภาพฉายนี้เท่านั้น ส่วนสนามที่มาจาก การเลี้ยวเบนที่ขอบภายนอกบริเวณภาพฉายมีขนาดน้อยมากเมื่อเปรียบเทียบกับสนามที่สะท้อนออกมาภายในบริเวณภาพฉาย

ดังนั้นในกรณีสายอากาศชนิดงานสะท้อนเตี้ยรูปพาราโบลิกแบบสมมาตรดังรูป 3.36 อัตราขยายในทิศทางที่ต้องการ และประสิทธิภาพต่าง ๆ ของระบบสายอากาศสามารถหาได้ดังนี้

1. ประสิทธิภาพของสายอากาศป้อนกำลังคลื่นถูกสมมติให้มีค่าเป็น 1 เนื่องจากในการวิเคราะห์ระบบสายอากาศชนิดงานสะท้อนคลื่นในที่นี้คิดว่าจะไม่มีการสูญเสียภายในสายอากาศป้อนกำลังคลื่น แต่ถ้าต้องการความถูกต้องมากขึ้นก็สามารถทำได้โดยทำการวิเคราะห์สายอากาศป้อนกำลังคลื่นที่นำมาใช้ และหาประสิทธิภาพของสายอากาศป้อนกำลังคลื่นนำมาคูณกับอัตราขยายที่คำนวณได้

2. ประสิทธิภาพเนื่องจากการล้นงานสามารถคำนวณได้จากสมการ (3.300) โดยที่มุมกว้างของงานสะท้อน Ψ_0 เป็นดังสมการ (2.6) และสายอากาศที่นำมาใช้เป็นสายอากาศป้อนกำลังคลื่นในวิทยานิพนธ์นี้ประกอบด้วยสายอากาศชนิดโคไซน์ฟังก์ชันกำลังต่าง ๆ สายอากาศชนิดไดโพลขนาดสั้นมาก และสายอากาศชนิดขอยเกน ดังนั้นประสิทธิภาพเนื่องจากการล้นงานสามารถคำนวณอยู่ในรูปแมนตรงได้ดังนี้

จากหัวข้อสายอากาศป้อนกำลังคลื่น แบบรูปการแผ่พลังงานย่านสนามไกลของสายอากาศป้อนกำลังคลื่นที่มีโพลาริเซชันแบบเชิงเส้นเขียนอยู่ในรูปแบบทั่วไปเป็น

$$\vec{E}^{feed}(r_f, \theta_f, \phi_f) = \begin{cases} \left| f_E(\theta_f) \sin(\phi_f - \phi_{pol}) \vec{a}_{\theta_f} + f_H(\theta_f) \cos(\phi_f - \phi_{pol}) \vec{a}_{\phi_f} \right| \frac{e^{-jk_r r_f}}{r_f}, & 0 \leq \theta_f \leq \frac{\pi}{2} \\ 0, & \theta_f > \frac{\pi}{2} \end{cases} \quad (3.324)$$

ซึ่งเมื่อแทนลงในสมการ (3.299) และ (3.301) จะได้

$$\begin{aligned} P_r &= \frac{1}{2Z} \int_0^{2\pi} \int_0^{\Psi_0} |\vec{E}^{feed}(r_f, \theta_f, \phi_f)|^2 r_f^2 \sin \theta_f d\theta_f d\phi_f \\ &= \frac{1}{2Z} \int_0^{2\pi} \int_0^{\Psi_0} \left(|f_E(\theta_f)|^2 \sin^2(\phi_f - \phi_{pol}) + |f_H(\theta_f)|^2 \cos^2(\phi_f - \phi_{pol}) \right) \sin \theta_f d\theta_f d\phi_f \end{aligned} \quad (3.325)$$

$$P_T = \frac{1}{2Z} \int_0^{2\pi} \int_0^{\pi/2} \left(|f_E(\theta_f)|^2 \sin^2(\phi_f - \phi_{pol}) + |f_H(\theta_f)|^2 \cos^2(\phi_f - \phi_{pol}) \right) \sin \theta_f d\theta_f d\phi_f \quad (3.326)$$

ดังนั้นจากสมการ (3.300) ประสิทธิภาพเนื่องจากการล้นงานของระบบสายอากาศชนิดงานสะท้อนเตี้ยรูปพาราโบลิกแบบสมมาตรเป็น

$$\eta_s = \frac{P_r}{P_T} = \frac{\int_0^{2\pi} \int_0^{\Psi_0} \left(|f_E(\theta_f)|^2 \sin^2(\phi_f - \phi_{pol}) + |f_H(\theta_f)|^2 \cos^2(\phi_f - \phi_{pol}) \right) \sin \theta_f d\theta_f d\phi_f}{\int_0^{2\pi} \int_0^{\pi/2} \left(|f_E(\theta_f)|^2 \sin^2(\phi_f - \phi_{pol}) + |f_H(\theta_f)|^2 \cos^2(\phi_f - \phi_{pol}) \right) \sin \theta_f d\theta_f d\phi_f} \quad (3.327)$$

สำหรับสายอากาศป้อนกำลังคลื่นชนิดโคไซน์กำลังต่าง ๆ ที่มีโพลาริเซชันในแนว y_f นั้น $f_E(\theta_f) = \cos^{q_E} \theta_f$, $f_H(\theta_f) = \cos^{q_H} \theta_f$ และ $\phi_{pol} = 0$ ดังนั้น

$$\begin{aligned}
P_r &= \frac{1}{2Z} \int_0^{2\pi} \int_0^{\Psi_0} \left(|\cos^{q_E} \theta_f|^2 \sin^2 \phi_f + |\cos^{q_H} \theta_f|^2 \cos^2 \phi_f \right) \sin \theta_f d\theta_f d\phi_f \\
&= \frac{1}{2Z} \left[\int_0^{2\pi} \sin^2 \phi_f d\phi_f \int_0^{\Psi_0} \cos^{2q_E} \theta_f \sin \theta_f d\theta_f + \int_0^{2\pi} \cos^2 \phi_f d\phi_f \int_0^{\Psi_0} \cos^{2q_H} \theta_f \sin \theta_f d\theta_f \right] \quad (3.328) \\
&= \frac{\pi}{2Z} \left[\int_0^{\Psi_0} \cos^{2q_E} \theta_f \sin \theta_f d\theta_f + \int_0^{\Psi_0} \cos^{2q_H} \theta_f \sin \theta_f d\theta_f \right]
\end{aligned}$$

$$\begin{aligned}
P_T &= \frac{1}{2Z} \left[\int_0^{2\pi} \sin^2 \phi_f d\phi_f \int_0^{\pi/2} \cos^{2q_E} \theta_f \sin \theta_f d\theta_f + \int_0^{2\pi} \cos^2 \phi_f d\phi_f \int_0^{\pi/2} \cos^{2q_H} \theta_f \sin \theta_f d\theta_f \right] \quad (3.329) \\
&= \frac{\pi}{2Z} \left[\int_0^{\pi/2} \cos^{2q_E} \theta_f \sin \theta_f d\theta_f + \int_0^{\pi/2} \cos^{2q_H} \theta_f \sin \theta_f d\theta_f \right]
\end{aligned}$$

และสำหรับสายอากาศป้อนกำลังคลื่นชนิดโคไซน์กำลังต่าง ๆ ที่มีโพลาไรเซชันในแนว x_f นั้น $f_E(\theta_f) = \cos^{q_E} \theta_f$, $f_H(\theta_f) = \cos^{q_H} \theta_f$ และ $\phi_{pol} = -\pi/2$ ดังนั้น

$$\begin{aligned}
P_r &= \frac{1}{2Z} \int_0^{2\pi} \int_0^{\Psi_0} \left(|\cos^{q_E} \theta_f|^2 \cos^2 \phi_f + |\cos^{q_H} \theta_f|^2 \sin^2 \phi_f \right) \sin \theta_f d\theta_f d\phi_f \quad (3.330) \\
&= \frac{\pi}{2Z} \left[\int_0^{\Psi_0} \cos^{2q_E} \theta_f \sin \theta_f d\theta_f + \int_0^{\Psi_0} \cos^{2q_H} \theta_f \sin \theta_f d\theta_f \right]
\end{aligned}$$

$$P_T = \frac{\pi}{2Z} \left[\int_0^{\pi/2} \cos^{2q_E} \theta_f \sin \theta_f d\theta_f + \int_0^{\pi/2} \cos^{2q_H} \theta_f \sin \theta_f d\theta_f \right] \quad (3.331)$$

จากสมการ (3.328) (3.329) (3.330) และ (3.331) ประสิทธิภาพเนื่องจากการล้นงานของระบบสายอากาศชนิดจานสะท้อนเดี่ยว รูปพาราโบลิกแบบสมมาตรเมื่อใช้ชนิดโคไซน์กำลังต่าง ๆ ที่มีโพลาไรเซชันแบบเชิงเส้นในแนว y_f หรือ x_f เป็นสายอากาศป้อน กำลังคลื่นเป็นดังสมการ (3.332)

$$\eta_s = \frac{\left[\int_0^{\Psi_0} \cos^{2q_E} \theta_f \sin \theta_f d\theta_f + \int_0^{\Psi_0} \cos^{2q_H} \theta_f \sin \theta_f d\theta_f \right]}{\left[\int_0^{\pi/2} \cos^{2q_E} \theta_f \sin \theta_f d\theta_f + \int_0^{\pi/2} \cos^{2q_H} \theta_f \sin \theta_f d\theta_f \right]} \quad (3.332)$$

เนื่องจาก $\int_0^{\theta} \cos^n \theta \sin \theta d\theta = \frac{1 - \cos^{n+1} \theta}{n+1}$ ดังนั้นสมการ (3.332) จะกลายเป็น

$$\eta_s = \frac{\frac{1 - \cos^{2q_E+1} \Psi_0}{2q_E+1} + \frac{1 - \cos^{2q_H+1} \Psi_0}{2q_H+1}}{\frac{1 - \cos^{2q_E+1}(\pi/2)}{2q_E+1} + \frac{1 - \cos^{2q_H+1}(\pi/2)}{2q_H+1}} = \frac{\frac{1 - \cos^{2q_E+1} \Psi_0}{2q_E+1} + \frac{1 - \cos^{2q_H+1} \Psi_0}{2q_H+1}}{\frac{1}{2q_E+1} + \frac{1}{2q_H+1}} \quad (3.333)$$

และสำหรับสายอากาศป้อนกำลังคลื่นชนิดขอยแกนนั้น $f_E(\theta_f) = f_H(\theta_f) = 1 + \cos \theta_f$ ดังนั้น

$$\begin{aligned}
P_r &= \frac{\pi}{2Z} \left[\int_0^{\Psi_0} (1 + \cos \theta_f)^2 \sin \theta_f d\theta_f + \int_0^{\Psi_0} (1 + \cos \theta_f)^2 \sin \theta_f d\theta_f d\phi_f \right] \\
&= \frac{\pi}{Z} \left[\int_0^{\Psi_0} (1 + 2\cos \theta_f + \cos^2 \theta_f) \sin \theta_f d\theta_f d\phi_f \right] \\
&= \frac{\pi}{Z} \left[(1 - \cos \Psi_0) + (1 - \cos^2 \Psi_0) + \frac{1 - \cos^3 \Psi_0}{3} \right]
\end{aligned} \tag{3.334}$$

$$P_T = \frac{\pi}{Z} \left[1 - \cos(\pi/2) + 1 - \cos^2(\pi/2) + \frac{1 - \cos^3(\pi/2)}{3} \right] = \frac{7\pi}{3Z} \tag{3.335}$$

ดังนั้นประสิทธิภาพเนื่องจากการล้นจานของระบบสายอากาศชนิดจานสะท้อนเดี่ยวรูปพาราโบลิกแบบสมมาตรเมื่อใช้สายอากาศชนิดขอยเกนที่มีโพลาริเซชันแบบเชิงเส้นในแนว y_f และ x_f เป็นสายอากาศป้อนกำลังคลื่นเป็น

$$\eta_s = \frac{(1 - \cos \Psi_0) + (1 - \cos^2 \Psi_0) + \frac{1 - \cos^3 \Psi_0}{3}}{\frac{7}{3}} \tag{3.336}$$

สำหรับในระบบสายอากาศชนิดจานสะท้อนเดี่ยวรูปพาราโบลิกแบบไม่สมมาตร ประสิทธิภาพเนื่องจากการล้นจานไม่สามารถคำนวณอยู่ในรูปแม่นยำตรงได้ แต่สามารถหาได้จากอัตราส่วนของสมการ (3.299) กับ (3.304) ได้เป็น

$$\eta_s = \frac{\frac{1}{2} \int_0^{2\pi} \int_0^{D/2} \text{Re} [\bar{E}_{feed}(x_s, y_s, z_s) \times \bar{H}_{feed}^*(x_s, y_s, z_s)] \cdot \hat{n} \rho_i d\rho_i d\phi_i}{\frac{1}{2Z} \int_0^{2\pi} \int_0^\pi |\bar{E}_{feed}(\theta_f, \phi_f)|^2 r_f^2 \sin \theta_f d\theta_f d\phi_f} \tag{3.337}$$

โดยในพจน์ที่เป็นส่วนสามารถหาอยู่ในรูปแม่นยำตรงได้เช่นเดียวกับในสมการ (3.331) และ (3.316) เมื่อสายอากาศป้อนกำลังคลื่นที่ใช้เป็นสายอากาศชนิดโคไซน์กำลังต่าง ๆ และสายอากาศชนิดขอยเกน ตามลำดับ การคำนวณหาค่าของสมการ (3.337) ในที่นี้ทำได้โดยใช้วิธีของซิมป์สันมาประมาณหาค่า

จากข้างต้นเราสมมุติว่า ประสิทธิภาพของสายอากาศป้อนกำลังคลื่นเท่ากับหนึ่ง ดังนั้นจากสมการ (3.298) กำลังทั้งหมดที่แผ่พลังงานออกไปจากสายอากาศป้อนกำลังคลื่นไปในบริเวณที่งานสะท้อนวางอยู่ซึ่งเป็นบริเวณย่านสนามไกล P_T มีค่าเท่ากับกำลังที่ป้อนให้ระบบสายอากาศ ทำให้อัตราขยายในแนวโพลาริเซชันร่วมของระบบสายอากาศชนิดจานสะท้อนเดี่ยวรูปพาราโบลิกสามารถหาได้ดังสมการ (3.338)

$$G_{cp}(\theta, \phi) = \frac{4\pi P_{cp}(\theta, \phi)}{P_T} \tag{3.338}$$

โดยที่กำลังทั้งหมดที่แผ่พลังงานออกไปจากสายอากาศป้อนกำลังคลื่นไปในบริเวณที่งานสะท้อนวางอยู่ซึ่งเป็นบริเวณย่านสนามไกล P_T เป็นดังสมการ (3.331) หรือ (3.335) ขึ้นอยู่กับสายอากาศป้อนกำลังคลื่นที่ใช้ และความหนาแน่นของกำลังคลื่นที่แผ่พลังงานในแนวโพลาริเซชันร่วมตามแนวแกนของสายอากาศต่อสเตอเรเดียน P_{φ} เป็น

$$P_{\varphi}(\theta, \phi) = \frac{r^2 |E_{\varphi}(\theta, \phi)|^2}{2Z} \quad (3.339)$$

โดยที่ $E_{\varphi}(\theta, \phi)$ คือ สนามไฟฟ้าในแนวโพลาริเซชันร่วมย่านสนามไกลซึ่งหาได้จากหัวข้อโพลาริเซชันร่วมและโพลาริเซชันไขว้ และเมื่อแทนสมการ (3.339) ลงในสมการ (3.338) อัตราขยายในแนวโพลาริเซชันร่วมของระบบสายอากาศชนิดงานสะท้อนเดี่ยวรูปพาราโบลิกจะเป็น

$$G_{\varphi}(\theta, \phi) = \frac{4\pi r^2 |E_{\varphi}(\theta, \phi)|^2}{2Z P_T} \quad (3.340)$$

ในทำนองเดียวกัน อัตราขยายในแนวโพลาริเซชันไขว้ของระบบสายอากาศชนิดงานสะท้อนเดี่ยวรูปพาราโบลิกจะเป็น

$$G_{\varphi}(\theta, \phi) = \frac{4\pi r^2 |E_{\varphi}(\theta, \phi)|^2}{2Z P_T} \quad (3.341)$$

ซึ่งเมื่อแทนอัตราขยายตามแนวแกนของสายอากาศที่ได้จากสมการ (3.340) ลงในสมการ (3.322) จะได้ประสิทธิภาพของสายอากาศเป็นดังสมการ (3.342)

$$\eta = \frac{G_{\varphi}(0,0) \mathcal{A}^2}{4\pi S_a} \quad (3.342)$$

จากเหตุผลที่กล่าวไว้ข้างต้น ระบายหน้างานมีขนาดเท่ากับขนาดภาพฉายของงานสะท้อน ดังนั้น $S_a = \frac{\pi D^2}{4}$ โดยที่ D คือ เส้นผ่านศูนย์กลางของภาพฉายของงานสะท้อน ซึ่งเมื่อแทนลงในสมการ (3.342) ทำให้

$$\eta = \frac{G_{\varphi}(0,0)}{\left(\frac{\pi D}{\lambda}\right)^2} \quad (3.343)$$

และเมื่อแทนประสิทธิภาพเนื่องจากการล้นงานข้างต้นลงในสมการ (3.343) จะได้

$$\eta_{sa}\eta_A = \frac{G_{cp}(0,0)}{\eta_s \left(\frac{\pi D}{\lambda}\right)^2} \quad (3.344)$$

โดยในวิทยานิพนธ์นี้รวมเรียก $\eta_{sa}\eta_A$ ว่า ประสิทธิภาพช่องเปิด

จากที่กล่าวมาข้างต้นเป็นการหาค่าปัจจัยต่าง ๆ ที่เป็นตัวกำหนดขีดจำกัดเกี่ยวกับสมรรถนะของระบบสายอากาศ ชนิดจานสะท้อนเดี่ยวรูปพาราโบลา ซึ่งในวิทยานิพนธ์นี้ได้ใช้ค่าปัจจัยดังกล่าวในการพิจารณาดูผลกระทบจากปรากฏการณ์ เลี้ยวเบนที่ขอบของจานสะท้อนดังแสดงไว้ในบทผลกรวิเคราะห์ที่จะกล่าวต่อไป